



วิทยานิพนธ์

การปรับปรุงสมรรถนะฟ้าผ่าสายส่งไฟฟ้าแรงสูงของการไฟฟ้าฝ่ายผลิต
แห่งประเทศไทยด้วยระบบการหาตำแหน่งฟ้าผ่า

**LIGHTNING PERFORMANCE IMPROVEMENTS OF EGAT
TRANSMISSION LINES BASED ON LIGHTNING LOCATION
SYSTEM**

นางสาวแคร์รียา ชวลิตชิติกร

บัณฑิตวิทยาลัย มหาวิทยาลัยเกษตรศาสตร์

พ.ศ. 2550



ใบรับรองวิทยานิพนธ์

บัณฑิตวิทยาลัย มหาวิทยาลัยเกษตรศาสตร์

วิศวกรรมศาสตร์มหาบัณฑิต (วิศวกรรมไฟฟ้า)

ปริญญา

วิศวกรรมไฟฟ้า

สาขา

วิศวกรรมไฟฟ้า

ภาควิชา

เรื่อง การปรับปรุงสมรรถนะฟ้าผ่าสายส่งไฟฟ้าแรงสูงของการไฟฟ้าฝ่ายผลิตแห่งประเทศไทย
ด้วยระบบการหาตำแหน่งฟ้าผ่า

Lightning Performance Improvements of EGAT Transmission Lines Based on Lightning
Location System

นามผู้วิจัย นางสาวแคร์เรีย ชวลิตธิติกิร

ได้พิจารณาเห็นชอบโดย

ประธานกรรมการ

(ผู้ช่วยศาสตราจารย์คุณยศพิเชษฐ์ ฤกษ์ปรีดาพงศ์, Ph.D.)

กรรมการ

(รองศาสตราจารย์เกียรติยุทธ กวีญานน, Ph.D.)

กรรมการ

(รองศาสตราจารย์ชัยวัฒน์ ชัยกุล, วศ.ม.)

หัวหน้าภาควิชา

(รองศาสตราจารย์มนต์รักษ์ รักษาพัชรวงศ์, Ph.D.)

บัณฑิตวิทยาลัย มหาวิทยาลัยเกษตรศาสตร์รับรองแล้ว

(รองศาสตราจารย์วินัย อาจคงหาญ, M.A.)

คณบดีบัณฑิตวิทยาลัย

วันที่ เดือน พ.ศ.

วิทยานิพนธ์

เรื่อง

การปรับปรุงสมรรถนะฟ้าผ่าสายส่งไฟฟ้าแรงสูงของการไฟฟ้าฝ่ายผลิตแห่งประเทศไทยด้วยระบบ
การหาตำแหน่งฟ้าผ่า

Lightning Performance Improvements of EGAT Transmission Lines Based on Lightning
Location System

โดย

นางสาวแครทธียา ชาลิตชิติกร

เสนอ

บัณฑิตวิทยาลัย มหาวิทยาลัยเกษตรศาสตร์
เพื่อความสมบูรณ์แห่งปริญญาวิศวกรรมศาสตรมหาบัณฑิต (วิศวกรรมไฟฟ้า)

พ.ศ. 2550

แคทรียา ชาลิตธิติกร 2550: การปรับปรุงสมรรถนะฟ้าผ่าสายส่งไฟฟ้าแรงสูงของการไฟฟ้าฝ่ายผลิตแห่งประเทศไทยด้วยระบบการหาตำแหน่งฟ้าผ่า ปริญญาวิศวกรรมศาสตรมหาบัณฑิต (วิศวกรรมไฟฟ้า) สาขาวิศวกรรมไฟฟ้า ภาควิชาวิศวกรรมไฟฟ้า ประธานกรรมการที่ปรึกษา: ผู้ช่วยศาสตราจารย์คุลย์พิเชษฐ์ ฤกษ์ปรีดาพงศ์, Ph.D. 176 หน้า

วิทยานิพนธ์นี้นำเสนอแนวทางการใช้ประโยชน์จากการหาตำแหน่งฟ้าผ่าของ การไฟฟ้าฝ่ายผลิตแห่งประเทศไทย โดยนำข้อมูลฟ้าผ่าที่ได้มาแสดงบนแผนที่ประเทศไทยด้วยโปรแกรม Arcview GIS 3.3 เพื่อหาความหนาแน่นฟ้าผ่าต่อพื้นที่ในแต่ละช่วงเวลา และกำหนดความหนาแน่นฟ้าผ่านี้ลงในโปรแกรม TFlash version 3.0.21 เพื่อคำนวณหาค่าสมรรถนะฟ้าผ่าของสายส่งระดับแรงดัน 115kV, 230kV, 500 kV และเปรียบเทียบสมรรถนะฟ้าผ่าที่คำนวณได้กับเหตุการณ์ขัดข้องจริงเนื่องจากฟ้าผ่าและมาตรฐานที่เกี่ยวข้อง นอกจากนี้ยังนำเสนอวิธีการปรับปรุงสมรรถนะฟ้าผ่าของสายส่งที่เกิดเหตุการณ์ขัดข้องเนื่องจากฟ้าผ่ามากที่สุด ในที่นี้คือ สายส่ง 115kV แกลง-จันทบุรี ด้วยโปรแกรม Optimizer of TFlash version 4.0.22 ขั้นตอนวิธีการคำนวณและขั้นตอนการปรับปรุงให้เป็นไปตามวิธีการของ Handbook for Improve Overhead Transmission Lines Lightning Performance (EPRI)

เมื่อเปรียบเทียบสมรรถนะฟ้าผ่าที่คำนวณได้จากโปรแกรมพบว่า คำนวณสำหรับสายส่ง 115kV แกลง-จันทบุรี และ 500kV ไทรน้อย-วังน้อย วงจรที่ 3 สูงกว่าเกณฑ์มาตรฐาน IEEE1313.2-1999 แต่มีค่าสมรรถนะฟ้าผ่าจากเหตุการณ์ขัดข้องจริงอยู่ในเกณฑ์มาตรฐานนี้ทั้ง 3 เส้นทาง สิ่งที่ทำให้สมรรถนะฟ้าผ่าที่ได้จากการคำนวณแตกต่างจากเหตุการณ์จริง คือ ข้อมูลสายส่ง ควรจะใช้ข้อมูลที่ได้จากการสำรวจมาใช้ในการคำนวณซึ่งจะทำให้ค่าสมรรถนะฟ้าผ่าใกล้เคียงความจริงมากขึ้น สำหรับการปรับปรุงสมรรถนะฟ้าผ่าของสายส่ง 115kV แกลง-จันทบุรี ด้วยเงินลงทุน 1 ล้านบาท พบว่า การลดความต้านที่ฐานเสาให้เหลือเพียง 5 โอม การเพิ่มลูกถ่วง 2 ลูกและการเพิ่มสายชีล์ดอีกหนึ่งเส้นเพื่อให้มุ่งชีล์ดคล่องในสถานที่มีปัญหา ช่วยให้สมรรถนะฟ้าผ่าลดลงเกือบ 60% ซึ่งเป็นวิธีการที่ให้ประสิทธิผลมากที่สุด วิธีการปรับปรุงนี้สามารถนำไปประยุกต์การออกแบบสร้างสายส่งใหม่ๆ บนพื้นที่ที่มีความหนาแน่นฟ้าผ่าสูงได้ เพื่อช่วยลดเหตุการณ์ไฟฟ้าขัดข้องเนื่องจากฟ้าผ่า และทำให้สายส่งมีสมรรถนะฟ้าผ่าดีขึ้นอีกด้วย

Cattareya Chavalitthitikorn 2007: Lightning Performance Improvements of EGAT Transmission Lines Based on Lightning Location System. Master of Engineering (Electrical Engineering), Major Field: Electrical Engineering, Department of Electrical Engineering. Thesis Advisor: Assistant Professor Dulwichet Rerkpreedapong, Ph.D. 176 pages.

This thesis purposed a methodology for evaluating and improving lightning performance of EGAT transmission lines using information from the Lightning Location System. Lightning location detected by LLS are shown on Thailand map by Arcview GIS 3.3 program to find ground flash density of each line span. The ground flash density is used as an input in TFlash version 3.0.21 program to calculate expected lightning performance for 115kV, 230kV, 500 kV EGAT transmission lines. The results are compared with actual interruption events caused by lightning using related standards. In addition, the most frequently faulted line, 115kV Klang-Chanthaburi, is selected for improvement by Optimizer of TFlash version 4.0.22. The steps in evaluating and improving lightning performance comply with "Handbook for Improve Overhead Transmission Lines Lightning Performance (EPRI)"

The calculated lightning performance of 115kV Klang-Chanthaburi and 500kV Sainoi-Wangnoi Circuit No.3 transmission lines are found above the allowable value in the IEEE1313.2-1999 Standard. However all 3 transmission lines have actual lightning performance from faulted events compliant with this standard. The differences between calculated and actual values can be reduced by using actual transmission line data from surveys. The 115kV Klang-Chanthaburi line is selected for improvement with a budget of 1 million baht. The optimal result is obtained by reducing ground resistance to 5 ohms, adding 2 insulators and adding 1 shield wire to the problem towers. This solution yields the number of flashover reduce by 60%. Also, It can be used to design a new transmission line on high ground flash density area to reduce faulted events caused by lightning, and also results in the good lightning performance.

Student's signature

Thesis Advisor's signature

/ /

กิตติกรรมประกาศ

ข้าพเจ้าขอขอบพระคุณอาจารย์ดุลย์พิเชษฐ์ ฤกษ์บริคาพงศ์ ประธานกรรมการที่ปรึกษา ที่ได้ให้คำปรึกษาแนะนำและตรวจข้อบกพร่องต่างๆ ในการทำวิทยานิพนธ์ ขอขอบพระคุณอาจารย์ช้านาญ ห่อเกียรติ อาจารย์ผู้ถ่วงดับไปแล้ว ที่ทำให้วิทยานิพนธ์นี้เริ่มต้นมาได้ ทึ้งความรู้ ทึ้งแนวคิด ที่อาจารย์สอนเป็นสิ่งที่นำมาใช้ประโยชน์ในการทำวิทยานิพนธ์อย่างมาก

ขอบคุณพี่จักรีผู้คุ้มครอง EGAT LLS ที่ได้ให้ข้อมูลฟ้าผ่าและเป็นที่ปรึกษาเกี่ยวกับระบบนี้ ขอบคุณพี่กรกนก พี่วิชที่ให้ข้อมูลพิกัดสายส่งของ กฟผ. และแนะนำให้รู้จักโปรแกรม Arcview ขอบคุณพี่นิยมที่ให้แนวทางคืนหาข้อมูลเหตุขัดข้องในระบบส่งของ กฟผ. ขอบคุณพี่ฯ น้องๆ ในกองวิศวกรรมสายส่ง ที่ช่วยแนะนำและช่วยคืนหาข้อมูลสายส่งทั้งหมด ขอบคุณอย่างยิ่ง สำหรับน้องจุ๊ย ที่ช่วยสอนและช่วยเหลือการใช้โปรแกรม Arcview ทำให้วิทยานิพนธ์นี้ได้มีโอกาส สำเร็จขึ้นมา

สุดท้ายขอบคุณพ่อ คุณแม่ ญาติพี่น้อง และเพื่อนๆ ทุกคนที่เป็นกำลังใจ ทำให้ข้าพเจ้ามี ความพยายามทำวิทยานิพนธ์นี้จนสำเร็จลุล่วงด้วยดี

แฉทรียา ชาลิตชิติกร

มกราคม 2550

สารบัญ

| | หน้า |
|-----------------------------|------|
| สารบัญ | (1) |
| สารบัญตาราง | (2) |
| สารบัญภาพ | (4) |
| คำนำ | 1 |
| วัตถุประสงค์ | 2 |
| การตรวจเอกสาร | 3 |
| อุปกรณ์และวิธีการ | 47 |
| อุปกรณ์ | 47 |
| วิธีการ | 47 |
| ผลและวิจารณ์ | 62 |
| ผล | 62 |
| วิจารณ์ | 107 |
| สรุปและข้อเสนอแนะ | 111 |
| สรุป | 111 |
| ข้อเสนอแนะ | 112 |
| เอกสารและสิ่งอ้างอิง | 113 |
| ภาคผนวก | 116 |
| ภาคผนวก ก | 117 |
| ภาคผนวก ข | 152 |
| ภาคผนวก ค | 173 |
| ประวัติการศึกษา และการทำงาน | 176 |

สารบัญตาราง

| ตารางที่ | | หน้า |
|----------|--|------|
| 1 | รายละเอียดเหตุการณ์ขัดข้องเนื่องจากไฟฟ้าผ่าปี พ.ศ. 2544-2548 (ค.ศ. 2001-2005) | 49 |
| 2 | ตารางแสดงเหตุการณ์ขัดข้องเนื่องจากไฟฟ้าผ่าเฉลี่ยของสายสั่ง 115 kV KLA-CT | 61 |
| 3 | ตารางแสดงเหตุการณ์ขัดข้องเนื่องจากไฟฟ้าผ่าเฉลี่ยของสายสั่ง 230 kV AT2-TL3 | 61 |
| 4 | ตารางแสดงเหตุการณ์ขัดข้องเนื่องจากไฟฟ้าผ่าเฉลี่ยของสายสั่ง 500 kV SNO-WN#3 | 62 |
| 5 | แสดงการเปรียบเทียบค่าเฉลี่ยสมรรถนะไฟฟ้าผ่ากับมาตรฐาน IEEE | 71 |
| 6 | สรุปจำนวนครั้งและเหตุการณ์ขัดข้องเนื่องจากไฟฟ้าผ่าที่เกิดขึ้น พ.ศ.2544-2548 | 71 |
| 7 | สภาพอากาศในเหตุการณ์ขัดข้องเนื่องจากไฟฟ้าผ่า พ.ศ.2544-2548 | 72 |
| 8 | แสดงการเปรียบเทียบทุกการณ์ไฟฟ้าผ่าและเหตุการณ์ขัดข้องของ สายสั่ง 115kV KLA-CT | 73 |
| 9 | แสดงการเปรียบเทียบทุกการณ์ไฟฟ้าผ่าและเหตุการณ์ขัดข้องของ สายสั่ง 230kV AT2-TL3 | 75 |
| 10 | แสดงการเปรียบเทียบทุกการณ์ไฟฟ้าผ่าและเหตุการณ์ขัดข้องของ สายสั่ง 500kV SNO-WN#3 | 76 |
| 11 | สมรรถนะไฟฟ้าผ่าของทั้ง 3 แนวสายสั่งคำนวณจาก โปรแกรม TFlash | 79 |
| 12 | เปรียบเทียบทุกการณ์ขัดข้องที่ได้จากการคำนวณและเกิดขึ้นจริง | 83 |
| 13 | สมรรถนะไฟฟ้าผ่าหลังจากใช้ข้อมูลสำรวจของสายสั่ง 115kV KLA-CT | 83 |
| 14 | รูปแบบทั้งหมดที่ใช้ปรับปรุงสมรรถนะไฟฟ้า 87 | |
| 15 | ผลที่ได้จากการ Optimization โดยใช้ 4 วิธี | 90 |

สารบัญตาราง (ต่อ)

| ตารางที่ | หน้า |
|---|------|
| 16 ผลที่ได้จากการ Optimization โดยใช้ 3 วิธี | 94 |
| 17 ผลที่ได้จากการ Optimization โดยใช้ 2 วิธี | 100 |
| 18 เปรียบเทียบทางเลือกที่ให้ประสิทธิผลที่สุด | 106 |
| | |
| ตารางผนวกที่ | |
| ก1 รายละเอียดสายส่ง 115kV แกลง-จันทบุรี (จำนวนเสา 169 ต้น ระยะทาง 56.085 กิโลเมตร) | 118 |
| ก2 รายละเอียดสายส่ง 230kV อ่างทอง2-ท่าลาน3 (จำนวนเสา 133 ต้น ระยะทาง 51.414 กิโลเมตร) | 126 |
| ก3 รายละเอียดสายส่ง 500 kV ไทรน้อย-วังน้อย วงจรที่3 (จำนวนเสา 252 ต้น ระยะทาง 89.609 กิโลเมตร) | 132 |
| ข1 ผลของสมรรถนะฟ้าผ่าแต่ละช่วงเสาสำหรับสายส่ง 115kV แกลง-จันทบุรี | 153 |
| ข2 ผลของสมรรถนะฟ้าผ่าแต่ละช่วงเสาสำหรับสายส่ง 230kV อ่างทอง2-ท่าลาน3 | 159 |
| ข3 ผลของสมรรถนะฟ้าผ่าแต่ละช่วงสำหรับสายส่ง 500kV ไทรน้อย-วังน้อย วงจรที่3 | 163 |
| ค1 ข้อมูลสำรวจและปรับปรุงความด้านท่านที่ฐานเสา (สายส่ง 115kV แกลง-จันทบุรี) | 174 |

สารบัญภาพ

| ภาพที่ | | หน้า |
|--------|---|------|
| 1 | ก้อนเมฆ Cumulonimbus | 3 |
| 2 | การกระจายของประจุในก้อนเมฆ | 4 |
| 3 | กลไกการเกิดฟ้าผ่า | 5 |
| 4 | แผนภาพหาค่าสนามแม่เหล็กที่ระดับ D เมื่อจากช่องแนวตั้ง y-x ซึ่งมีกระแส I ไฟล์ผ่าน | 6 |
| 5 | สายอากาศเครื่องรับสัญญาณ Model 141T ALDF ของบริษัท Lightning Location and Protection (LLP), USA | 8 |
| 6 | การหาตำแหน่งฟ้าผ่าแบบ Magnetic direction finding | 8 |
| 7 | การหาตำแหน่งฟ้าผ่าแบบ Time of arrival | 9 |
| 8 | รูปคลื่นฟ้าผ่าที่ได้จากการของสัญญาณแอบแครน | 10 |
| 9 | การทำหนดค่าบนระนาบ Azimuth-Elevation และตำแหน่งจุดเริ่มต้น ฟ้าผ่านก้อนเมฆ | 10 |
| 10 | ตำแหน่งเครื่องรับสัญญาณฟ้าผ่าของ กฟพ. ในปัจจุบันและติดตั้งเพิ่มเติมอีก 2 สถานี | 12 |
| 11 | EGAT LLS Network Configuration | 13 |
| 12 | แผนที่จำนวนฟ้าคะนองเท่าของ WMO, 1953 | 14 |
| 13 | ความกว้างระยะทางของสายชีลด์ | 15 |
| 14 | Electrogeometric model สำหรับสายชีลด์สองเส้น | 16 |
| 15 | การกระจายความถี่สูงของขนาดกระแสฟ้าผ่านในการเกิดฟ้าผ่าประจุลบ | 17 |
| 16 | รูปร่างคลื่นของกระแสฟ้าผ่า | 18 |
| 17 | แรงดันฟ้าผ่าที่เกิดบนสายล่างและเสาสูง | 19 |
| 18 | ความสัมพันธ์ระหว่างค่ายอดกระแสฟ้าผ่า, เวลาหน้าคลื่น, อัตราเวลา ขึ้นสู่ค่ายอดของรูปร่างคลื่นแบบ Ramp function | 22 |
| 19 | ผลกระทบของแรงดันบนลูกถ้วยเนื่องจากฟ้าผ่าที่มีเวลาหน้าคลื่นต่างกัน แต่ขนาดเท่ากัน | 23 |

สารบัญภาพ (ต่อ)

| ภาพที่ | หน้า |
|--|------|
| 20 กระแสไฟผ่าแบบ Ramp function ที่ใช้เพื่อกำนัณแรงดันของลูกถ้วยเพียงสองจุด | 24 |
| 21 องค์ประกอบพื้นฐานในการคำนวณหาแรงดันของวนลูกลูกถ้วย | 26 |
| 22 กราฟแรงดัน-เวลาสำหรับการวานไฟตามผิวของวนลูกลูกถ้วย (CIGRE) | 29 |
| 23 ระยะสุดท้ายเข้าสู่สายตัวนำในแบบจำลองเรขาคณิต | 31 |
| 24 หน้าต่างการกำหนดตัวแปรพื้นฐานของสายส่ง | 36 |
| 25 หน้าต่างการกำหนดค่าต่างๆ ของแต่ละเสาส่ง | 37 |
| 26 ทางเดินการวานไฟสำหรับชุดลูกถ้วยแบบ V-String | 40 |
| 27 กราฟแรงดัน-เวลา | 41 |
| 28 หน้าต่างผลลัพธ์ที่ได้จากโปรแกรม TFlash | 43 |
| 29 หน้าต่างการตั้งค่าและผลที่ได้จาก TFlash Optimizer | 44 |
| 30 หน้าต่างแรกของโปรแกรม Arcview | 45 |
| 31 การแสดงผลตำแหน่งต่างๆ บนแผนที่ของโปรแกรม Arcview | 46 |
| 32 หน้าต่างการก้นหาข้อมูลเหตุการณ์สายส่งไฟฟ้าแรงสูงขัดข้อง | 48 |
| 33 แสดงแนวสายส่งบน Shapefile ที่สร้างจากข้อมูลไฟฟ้า LLS | 52 |
| 34 การหาจำนวนไฟฟ้าแต่ละช่วงเสาของโปรแกรม Arcview | 53 |
| 35 เสาโครงเหล็กแบบวงจรเดียว | 54 |
| 36 เสาโครงเหล็กวงจรคู่ | 54 |
| 37 สายตัวนำ 1272MCM ACSR | 56 |
| 38 สาย 3/8" OHGW | 57 |
| 39 ชุดลูกถ้วยแบบhexagonคู่ | 58 |
| 40 ชุดลูกถ้วยแบบhexagonรูปตัว V | 59 |
| 41 Ground rod ที่ฝังในดินของเสาส่ง | 60 |
| 42 ลักษณะการติดตั้งใช้งาน NGK Arrester | 60 |
| 43 ความหนาแน่นไฟฟ้าแบบเมมลังดินทั้งหมดของปี พ.ศ.2548 | 63 |

สารบัญภาพ (ต่อ)

| ภาพที่ | หน้า | |
|--------|--|----|
| 44 | พื้นที่แบบแม่ลงดินในแต่ละเดือนของปี พ.ศ.2548 | 64 |
| 45 | กระแสไฟฟ้าที่เกิดขึ้นในปี พ.ศ.2548 | 65 |
| 46 | ความนำจะเป็นของไฟฟ้าผ่านวากปี พ.ศ.2548 (จำนวนไฟฟ้าผ่านวากทั้งหมด 388,365 ครั้ง) | 66 |
| 47 | สรุปค่าสูงสุด-ต่ำสุด-เฉลี่ยของกระแสไฟฟ้าผ่านวากปี พ.ศ. 2548 | 66 |
| 48 | ความนำจะเป็นของไฟฟ้าลับปี พ.ศ.2548 (จำนวนไฟฟ้าลับทั้งหมด 4,038,151 ครั้ง) | 67 |
| 49 | สรุปค่าสูงสุด-ต่ำสุด-เฉลี่ยของกระแสไฟฟ้าลับปี พ.ศ.2548 | 67 |
| 50 | เปรียบเทียบความนำจะเป็นของกระแสไฟฟ้า LLS, CIGRE, IEEE | 68 |
| 51 | ความหนาแน่นไฟฟ้าบนแนวสายส่ง 115 kV KLA-CT | 68 |
| 52 | เปรียบเทียบความหนาแน่นไฟฟ้าที่ระยะ 0.5, 1 กิโลเมตรของสายส่ง 115 kV KLA-CT | 69 |
| 53 | ความหนาแน่นไฟฟ้าบนแนวสายส่ง 230 kV AT2-TL3 | 69 |
| 54 | เปรียบเทียบความหนาแน่นไฟฟ้าที่ระยะ 0.5, 1 กิโลเมตรของสายส่ง 230kV AT2-TL3 | 70 |
| 55 | ความหนาแน่นไฟฟ้าบนแนวสายส่ง 500 kV SNO-WN#3 | 70 |
| 56 | เปรียบเทียบความหนาแน่นไฟฟ้าที่ระยะ 0.5, 1 กิโลเมตรของสายส่ง 500kV SNO-WN#3 | 71 |
| 57 | เหตุการณ์ไฟฟ้าที่เป็นไปได้และเสารส่งที่เกิดเหตุขัดข้องของสายส่ง 115kV KLA-CT | 78 |
| 58 | เหตุการณ์ไฟฟ้าที่เป็นไปได้และเสารส่งที่เกิดเหตุขัดข้องของสายส่ง 230kV AT2-TL3 | 79 |
| 59 | เหตุการณ์ไฟฟ้าที่เป็นไปได้และเสารส่งที่เกิดเหตุขัดข้องของสายส่ง 500kV SNO-WN#3 | 79 |
| 60 | สมมติฐานไฟฟ้าผ่านของแต่ละช่วงเสาสำหรับสายส่ง 115kV KLA-CT | 81 |

สารบัญภาพ (ต่อ)

| ภาพที่ | | หน้า |
|-----------------------|--|------|
| 61 | สมรรถนะฟ้าผ่าของแต่ละช่วงเสาสำหรับสายส่ง 230kV AT2-TL3 | 82 |
| 62 | สมรรถนะฟ้าผ่าของแต่ละช่วงเสาสำหรับสายส่ง 500kV SNO-WN#3 | 83 |
| 63 | ผลกระทบต่อสมรรถนะฟ้าผ่าสายส่งจากการเปลี่ยนแปลง ค่าความด้านทานฐานเสา | 85 |
| 64 | ผลกระทบต่อสมรรถนะฟ้าผ่าสายส่งจากการเปลี่ยนแปลงค่าอนุวน | 85 |
| 65 | ผลกระทบสมรรถนะฟ้าผ่าสายส่งจากการติดตั้งอะเรสเตอร์ | 86 |
| 66 | วิธีการข้ายางชีลเด็ตให้สูงขึ้นของโปรแกรม TFlash | 86 |
| 67 | ผลกระทบสมรรถนะฟ้าผ่าจากการข้ายางชีลเด็ตให้สูงขึ้น | 87 |
| 68 | การเพิ่มสายชีลเด็ตด้วยโปรแกรม TFlash | 87 |
| 69 | ผลกระทบสมรรถนะฟ้าผ่าจากการเพิ่มสายชีลเด็ต | 87 |
| 70 | การทำหนดเป้าหมาย, เงินทุนและทางเลือกปรับปรุงสมรรถนะใน Optimizer of TFlash | 90 |
| 71 | การทำหนดค่าและราคาในวิธีการทั้ง 4 วิธี | 91 |
| 72 | กราฟแสดงสมรรถนะฟ้าผ่าที่ลดลงจากการ Optimization 4 วิธี | 104 |
| 73 | กราฟแสดงสมรรถนะฟ้าผ่าที่ลดลงจากการ Optimization 3 วิธี | 104 |
| 74 | กราฟแสดงสมรรถนะฟ้าผ่าที่ลดลงจากการ Optimization 2 วิธี | 105 |
| ภาพผนวกที่ | | |
| 1 | ชนิดของเสาสำหรับสายส่ง 115kV แกลง-จันทบุรี | 125 |
| 2 | ความยาวชุดลูกถ้วยของเสาชนิดต่างๆ สำหรับสายส่ง 115kV แกลง-จันทบุรี | 125 |
| 3 | ชนิดของเสาสำหรับสายส่ง 230kV อ่างทอง2-ท่าลาน3 | 131 |
| 4 | ความยาวชุดลูกถ้วยของเสาชนิดต่างๆ สำหรับสายส่ง 230 kV อ่างทอง2-ท่าลาน3 | 131 |

สารบัญภาพ (ต่อ)

| ภาพนวนที่ | | หน้า |
|-----------|--|------|
| 5 | ชนิดเส่าและความยาวชุดคู่กล้องถ่ายสำหรับสายส่ง 500kV ไทรน้อบ-วังน้อบ วงจรที่ 3 | 150 |
| 6 | ชนิดเส่าและความยาวชุดคู่กล้องถ่ายสำหรับสายส่ง 500kV ไทรน้อบ-วังน้อบ วงจรที่ 3 (ต่อ) | 151 |

การปรับปรุงสมรรถนะฟ้าผ่าสายส่งไฟฟ้าแรงสูงของการไฟฟ้าฝ่ายผลิต แห่งประเทศไทยด้วยระบบการหาตำแหน่งฟ้าผ่า

Lightning Performance Improvements of EGAT Transmission Lines Based on Lightning Location System

คำนำ

ฟ้าผ่าเป็นปรากฏการณ์ทางธรรมชาติอย่างหนึ่งที่ส่งผลกระทบต่อระบบส่งจ่ายไฟฟ้ากำลัง การพัฒนาเทคโนโลยีในปัจจุบันทำให้สามารถรู้ตำแหน่งฟ้าผ่าได้โดยใช้ระบบที่เรียกว่า Lightning Location System ซึ่งเริ่มนิยมใช้ในการไฟฟ้าฝ่ายผลิตแห่งประเทศไทย และลูกปรับปรุง เป็นระบบ IMPACT ให้มีความแม่นยำทางด้านเวลาและระยะทางมากขึ้น ข้อมูลที่ได้ประกอบไปด้วยตำแหน่งเป็นพิกัดทางภูมิศาสตร์ ขนาดกระแสฟ้าผ่า ชนิดของฟ้าผ่า และเวลาที่เกิดฟ้าผ่า จึงนำมาใช้ประโยชน์เป็นแนวทางในการหาสาเหตุความขัดข้อง หากค่าสมรรถนะฟ้าผ่า ปรับปรุง สายส่งที่ใช้งานอยู่ และเก็บค่าข้อมูลฟ้าผ่าในรูปแบบสถิติเพื่อใช้ออกแบบสายส่งที่จะสร้างใหม่ได้

เนื่องจากข้อมูลฟ้าผ่าที่ได้อัญในรูปพิกัดทางภูมิศาสตร์จึงต้องใช้โปรแกรม Arcview GIS ใน การวิเคราะห์ตำแหน่งและเวลาของฟ้าผ่า เพื่อกับตำแหน่งสายส่งของการไฟฟ้าฝ่ายผลิตบนแผนที่ ประเทศไทย และใช้โปรแกรม TFlash หากค่าสมรรถนะฟ้าผ่าของสายส่งที่เกิดเหตุการณ์ขัดข้องเนื่อง จากฟ้าผ่ามากที่สุดทั้ง 3 ระดับแรงคัน ในที่นี้คือ สายส่ง 115kV แกลง-จันทบุรี 230kV อ่างทอง 2 - ท่าล้าน 3 และ 500kV ไทรน้อย-วังน้อย วงจรที่ 3 โดยใช้รายละเอียดสายส่งจากข้อมูลการออกแบบ จากทางวิศวกรรมและข้อมูลการสำรวจจากทางปฏิบัติการ เพื่อเปรียบเทียบสมรรถนะฟ้าผ่าที่ได้จาก การคำนวณของโปรแกรมเปรียบเทียบกับมาตรฐาน และเหตุการณ์จริงของสายส่งที่ใช้งานอยู่ได้

ในการศึกษานี้ได้ทำการหาค่าและปรับปรุงสมรรถนะฟ้าผ่าตามแนวทางของคู่มือ Handbook for Improving Overhead Transmission Line Lightning Performance ซึ่งเป็นงานรายงานที่มีความร่วมมือของ Electric Power Research Institute (EPRI) โดยหากค่าสมรรถนะฟ้าผ่าทั้ง 3 เส้นทางของสายส่ง แต่เลือกปรับปรุงสมรรถนะฟ้าผ่าเฉพาะสายส่ง 115kV แกลง-จันทบุรี เนื่องจาก เกิดเหตุการณ์ขัดข้องจากฟ้าผ่าน้อยที่สุด การเลือกรูปแบบปรับปรุงใช้ Optimizer in TFlash หารูปแบบที่เหมาะสมที่ทำให้สมรรถนะฟ้าผ่าลดลงให้ประสิทธิผลมากที่สุดด้วยการจำลอง ลงทุน 1 ล้านบาท

วัตถุประสงค์

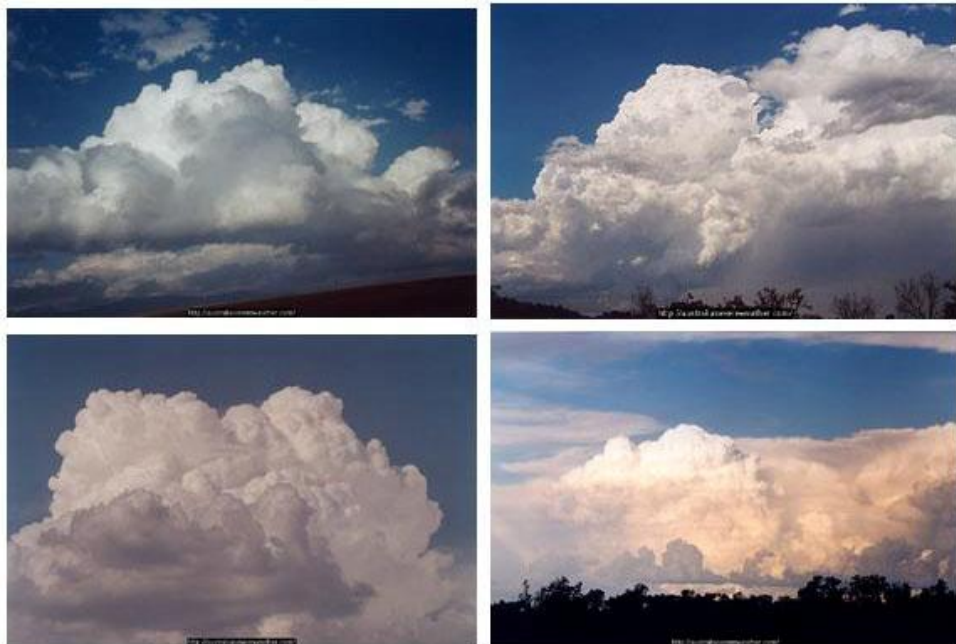
1. หาค่าทางสถิติของข้อมูลฟ้าผ่าปี พ.ศ. 2548 ที่ได้จากการหาราคาหน่วยฟ้าผ่า
2. หาความสัมพันธ์ระหว่างข้อมูลฟ้าผ่าและเหตุการณ์ขัดข้องในการส่งจ่ายไฟฟ้าของการไฟฟ้าฝ่ายผลิตแห่งประเทศไทย
3. สามารถใช้โปรแกรม TFlash หาค่าทางคุณลักษณะฟ้าผ่าของสายส่งไฟฟ้าแรงสูงได้ถูกต้อง
4. หาแนวทางแก้ไขคุณลักษณะฟ้าผ่าที่เหมาะสม และทำให้ค่าทางคุณลักษณะฟ้าผ่าดีขึ้น
5. สามารถวิเคราะห์ผลที่ได้จากโปรแกรม โดยเปรียบเทียบกับการออกแบบ มาตรฐานและเหตุการณ์ขัดข้องของระบบไฟฟ้าที่เกิดขึ้นจริง ได้
6. สามารถนำข้อมูลจากระบบการหาราคาหน่วยฟ้าผ่ามาใช้ประโยชน์ในการวิเคราะห์คุณลักษณะฟ้าผ่าของสายส่งที่มีอยู่เพื่อแก้ไขให้ดีขึ้นได้ และนำมาเป็นแนวทางในการออกแบบสายส่งเส้นทางใหม่ได้

การตรวจสอบสาร

ปรากฏการณ์ฟ้าผ่า

กลไกการเกิดฟ้าผ่า

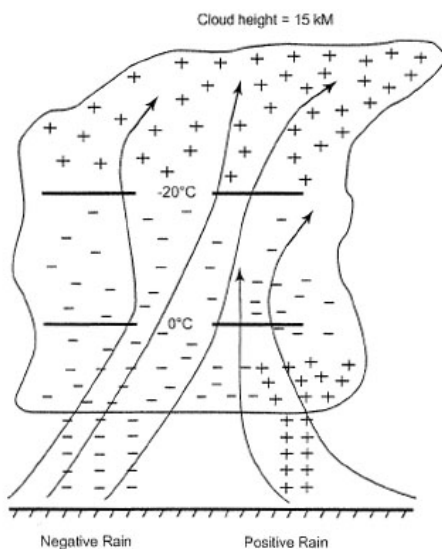
ฟ้าผ่าเป็นปรากฏการณ์เกิดขึ้นเมื่อเมฆที่มีประจุไฟฟ้าสะสมกันมีปริมาณมาก ทำให้ก้อนเมฆมีศักย์ไฟฟ้าสูงตั้งแต่ 10 เมกะโวลต์ ถึง 100 เมกะโวลต์ จนสามารถส่งกระแสข้ามตัวกลางที่ไม่ใช่ตัวนำที่ดีคืออากาศซึ่งวัดแนวความยาวได้เป็นกิโลเมตร สิ่งที่ทำให้เกิดฟ้าผ่ามากที่สุดคือ เมฆที่ทำให้เกิดพายุฝนฟ้าคะนอง (Thunderstorm clouds) ซึ่งนักอุตุนิยมวิทยาเรียกว่า Cumulonimbus หรือเมฆก้อนใหญ่หนาทึบเกิดจากการไหหลี้ของกระแสอากาศมีรูปลักษณะคล้ายภูเขาหรือหอสูง ที่มา เป็นเมฆที่แสดงถึงสภาพอากาศไม่ดีเมื่อก่อตัวเติบโต ลักษณะของเมฆชนิดนี้แสดงในภาพที่ 1 ฟ้าผ่าอาจเกิดขึ้นได้ในเมฆชนิดอื่นอยู่บ้างแต่เมฆเฉพาะกลุ่มนี้อยู่ใกล้พื้น จึงสังเกตการณ์ได้ง่ายที่สุด และจะเป็นฟ้าผ่าพากที่มีผลกระทบมากที่สุดด้วย



ภาพที่ 1 ก้อนเมฆ Cumulonimbus

ที่มา: คำศัพท์อุตุนิยมวิทยา (2006)

โดยทั่วไปฟ้าผ่าจะเริ่มต้นในก้อนเมฆซึ่งมีประจุสะสมที่ระดับสูง 1.5-10 กิโลเมตรเหนือพื้นโลก โดยที่ฐานของก้อนเมฆเป็นประจุลบ ส่วนด้านบนเป็นประจุบวกตามภาพที่ 2 ส่วนใหญ่ฟ้าผ่าเกิดขึ้นที่กลุ่มประจุลบ คือ ฐานของก้อนเมฆเนื่องจากอยู่ใกล้พื้นโลก เมื่อสานามไฟฟ้ามีค่าสูงถึงค่าวิกฤติ (Critical field gradient : E_c) ในก้อนเมฆค่าวิกฤตนี้มีค่าประมาณ 10 กิโลโวลต์ต่อเซนติเมตร ทำให้เกิดการแตกตัวของประจุ (Ionization) สำหรับในบรรยากาศที่ระดับพื้นโลก $E_c \sim 30$ กิโลโวลต์ต่อเซนติเมตรที่ 760 มิลลิเมตรปรอท 20 องศาเซลเซียส (ดร. สำราญ, 2547)

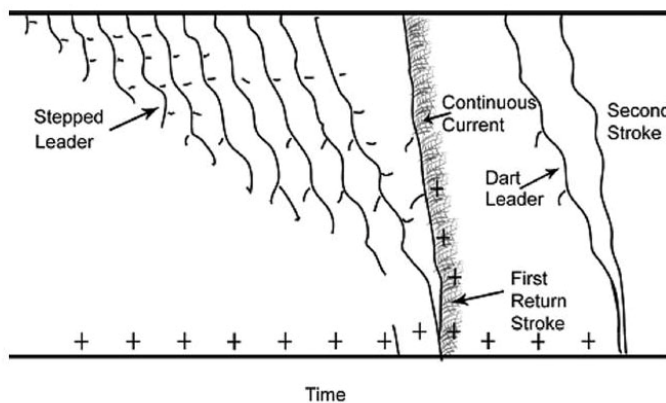


ภาพที่ 2 การกระจายของประจุในก้อนเมฆ

ที่มา: EPRI AC Transmission line reference book 200 kV and above (2004)

การแตกตัวของประจุในอากาศมีทิศทางลงสู่พื้นดินในลักษณะฟ้าผ่านำเป็นขั้น (Stepped leader) ซึ่งเป็นขั้นนำยาวประมาณ 50 เมตร มีการแตกตัวของประจุเป็นแบบโคโรนา (Corona) ทำให้เกิดแสงที่มองเห็นได้ด้วยตา อยู่รอบๆ เป็นรัศมีประมาณ 30 เมตร ขั้นนำนี้จะทำให้เกิดการแตกตัวของประจุในขั้นต่อๆ ไป ด้วยอัตราเร็วในแต่ละขั้นประมาณ 150 เมตรต่อไมโครวินาที โดยทุกขั้นนำจะแยกออกจากกันโดยมีระยะห่างของประจุที่พื้นโลก เช่น ที่ยอดอาคาร สิ่งปลูกสร้าง ต้นไม้ เป็นต้น เมื่อเข้าใกล้ที่จุดหนึ่งนานี้จะเกิดระยะเผชิญ (Striking distance : r_s) อากาศบริเวณนี้เกิดการเสียสภาพความเป็น健全จนลับพลัน (breakdown) และทำให้อากาศกลายเป็นตัวนำ มีการไหลของประจุตรงข้ามกับขั้นสู่ก้อนเมฆ เรียกว่า ลำฟ้าผ่าย้อนกลับ (Return stroke) เป็นแนวทางซึ่งมี

การไอลوخองประจุในอากาศที่ยังคงเป็นตัวนำไฟฟ้า และอาจมีการไอลوخองประจุเกิดขึ้นได้ซ้ำอีก เพื่อถ่ายเทประจุจากเมฆสูงพื้นดิน จึงเรียกว่า Dart leader ปรากฏการณ์ทั้งหมดแสดงในภาพที่ 3



ภาพที่ 3 กลไกการเกิดฟ้าผ่า

ที่มา: EPRI AC Transmission line reference book 200 kV and above (2004)

ฟ้าผ่าอาจมีแรงดันเทียบกับพื้นดินมากถึง 100 เมกกะ โวลต์ อุณหภูมิที่ลำฟ้าผ่า (Lightning stroke) สูงถึง 30,000 องศาเคลวิน และมีขนาดกระแสได้ถึง 100 กิโลแอมป์ ผลกระทบของฟ้าผ่า จึงมีดังนี้

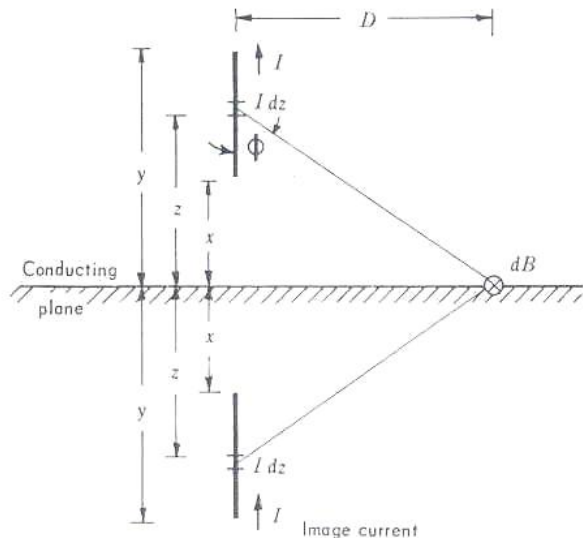
- 1) ผลกระทบด้านความร้อน ถ้าสิ่งที่ถูกฟ้าผ่าไม่สามารถถ่ายเทพลังงานลงสู่ดินได้ในเวลา อันสั้น ความร้อนที่เกิดขึ้นเนื่องจากอุณหภูมิที่สูงมากของลำฟ้าผ่าจะทำให้เกิดการระเบิดและ ไฟไหม้ได้อย่างรวดเร็ว
- 2) ผลกระทบด้านแรง เนื่องจากกระแสฟ้าผ่าทำให้เกิดแรงตามกฎหมายคูลอมบ์ (Coulomb's law) ในตัวนำไฟฟ้าที่รับกระแสฟ้าผ่า และความร้อนที่ขยายตัวจะทำให้เกิดแรงระเบิดได้ด้วย
- 3) ผลกระทบด้านไฟฟ้า สนามไฟฟ้าที่สูงมากอาจรบกวนระบบสื่อสารและไฟฟ้าต่างๆ เนื่องจากกระแสไฟฟ้าที่สูงมากนี้จะสร้างคลื่นแม่เหล็กไฟฟ้าไปรบกวนคลื่นอื่นๆ เกิดการเหนี่ยวนำ ทางแม่เหล็กไฟฟ้า และหนีบนำวัตถุข้างเคียง นอกจากนี้กระแสฟ้าผ่าทำให้เกิดเสิร์จ (Surge) ในระบบไฟฟ้า เช่น ระบบสายส่งซึ่งเป็นสาเหตุของแรงดันเกินฟ้าผ่าที่อุปกรณ์และลวนต่างๆ และ เป็นอันตรายต่อสิ่งมีชีวิตที่ถูกฟ้าผ่าหรืออยู่ข้างเคียง (สูรพล, 2535)

การหาตำแหน่งฟ้าผ่า

การหาตำแหน่งฟ้าผ่า (Lightning Location System : LLS) ส่วนมากใช้หลักการหาตำแหน่งจากความถี่วิทยุของคลื่นแม่เหล็กไฟฟ้า ข้อมูลของตำแหน่งที่ได้ขึ้นอยู่กับค่าความถี่ที่ใช้ตรวจวัดถ้าความถี่ของสัญญาณเป็นแบบความถี่สูงมาก (Very high frequency : VHF) ความถี่อยู่ระหว่าง 30-300 เมกกะไฮรดซ์ ข้อมูลที่ได้จะเป็นรูปภาพสามมิติ ถ้าความถี่ของสัญญาณเป็นแบบความถี่ต่ำมาก (Very low frequency : VLF) ความถี่อยู่ระหว่าง 3-30 กิโลไฮรดซ์และแบบความถี่ต่ำ (Low frequency : LF) ความถี่อยู่ระหว่าง 30-300 กิโลไฮรดซ์ ข้อมูลที่ได้จะเป็นเพียงพื้นที่ทางเดียวเท่านั้น ต้องนำไปประมาณค่าอีกรึ่งเพื่อหาจุดที่เกิดฟ้าผ่า ใช้ได้กับฟ้าผ่าแบบเมฆลงพื้นดิน (Cloud to ground : CG) สำหรับความแม่นยำของการตรวจวัดทั้ง 3 ความถี่นี้ มีความผิดพลาดอยู่ในช่วงหลักร้อยเมตร วิธีการที่ใช้หาตำแหน่งฟ้าผ่ามีดังนี้ (Rakov and Uman, 2003)

1) Magnetic direction finding : MDF

คำฟ้าผ่าขึ้นกับจะสร้างสนามแม่เหล็กเนื่องจากการเคลื่อนที่ของประจุผ่านช่องทางคำฟ้าผ่า ภาพที่ 4 เป็นการจำลองคำฟ้าผ่าเพื่ออธิบายถึงสนามแม่เหล็กที่เกิดขึ้นบนระนาบตัวนำด้วยวิธีภาพเงา (Image method)



ภาพที่ 4 แผนภาพหาค่าสนามแม่เหล็กที่ระยะ D เนื่องจากช่องแนวตั้ง $y-x$ ซึ่งมีกระแส I ไหลผ่านที่มา: Lightning (1984)

ถ้ากระแสไฟฟ้าจากที่สูง h ลงสู่ดิน ($y = h, x = 0$) สนามแม่เหล็กที่เกิดขึ้นเนื่องจากประจุ Dipole moment (M) ที่เปรตตามเวลา (t) มีค่าดังสมการที่ 1 (Uman, 1984)

$$B_\phi = \frac{\mu_o}{4\pi D^2} \left[\frac{dM}{dt} \right] + \frac{\mu_o}{4\pi cD} \left[\frac{d^2 M}{dt^2} \right] \quad (1)$$

| | |
|----------------|---------------------------------------|
| เมื่อ B_ϕ | คือ สนามแม่เหล็ก (เวบอร์ต่อตารางเมตร) |
| μ_o | ความซึมซาบได้ของอากาศ (permeability) |
| c | ความเร็วแสง (เมตรต่อวินาที) |
| D | ระยะทางจากลำฟ้าผ่า (เมตร) |

Uman et al. พบว่ากระแสเคลื่อนที่ด้วยความเร็ว (V) แบบเดียวกัน ทำให้อนุพันธ์ที่สองของประจุ M สอดคล้องกับกระแส (i) ตามสมการที่ 2

$$\frac{d^2 M}{dt^2} = 2Vc i(t) \quad (2)$$

และถ้าให้ $D \gg h$ การเปลี่ยนแปลงของประจุ M จะค่อนข้างคงที่ สามารถตัดเทอม dM/dt ได้ ทำให้ได้ค่าสนามแม่เหล็กเป็นไปตามสมการที่ 3 (Chisholm & Anderson, 2004)

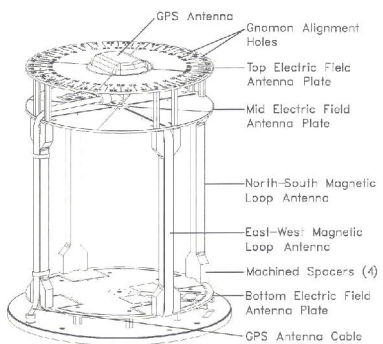
$$B_\phi \left(t + \frac{D}{c} \right) = \frac{\mu_o V}{2\pi c D} i(t) \quad (3)$$

แต่สำหรับการประมาณค่ายอดของกระแสที่นำมาใช้งาน The National Lightning Detection Network (NLDN) จะใช้การประมาณจากสนามแม่เหล็กค่ายอดที่วัดได้ตามสมการที่ 4 ซึ่งเป็นสมการที่จัดรูปใหม่จากสมการที่ 3 และใช้ในการหาค่ากระแสฟ้าผ่าของอุปกรณ์การหาตัวແහນงฟ้าผ่าแบบ MDF (EPRI Handbook, 2004)

$$I_{pk} = \frac{2\pi c D}{\mu_o V} B_{pk} \quad (4)$$

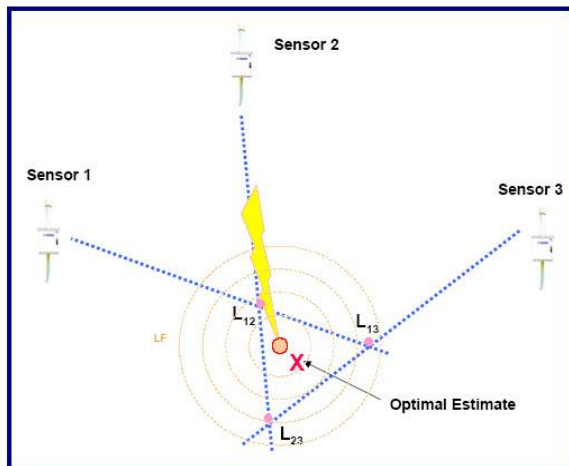
| | |
|----------------|---|
| เมื่อ I_{pk} | คือ กระแสค่ายอดฟ้าผ่า (แอมป์) |
| B_{pk} | สนามแม่เหล็กค่ายอด (เวบอร์ต่อตารางเมตร) |

เครื่องรับสัญญาณ (Sensors) สำหรับ MDF เป็นสายอากาศแบบวงรอบไขว้กัน (Crossed loop antenna) ประกอบจากการซองวงวนในแนวตั้งทางทิศเหนือ-ใต้ และทิศตะวันออก-ตะวันตก ลักษณะของสายอากาศเป็นตามภาพที่ 6 เมื่อมีฟ้าผ่าจะมีสัญญาณผ่านในวงรอบแนวตั้งนี้ นำมาคำนวณเป็นค่าระยะทางและค่ากระแสฟ้าผ่า นอกจากนี้ยังใช้อัตราส่วนของสัญญาณทั้งสองวงรอบหาค่ามุม tangent ของลำฟ้าผ่าได้อีก อย่างไรก็ตาม MDF จะเป็นต้องมีเครื่องรับสัญญาณอย่างน้อย 3 สถานี เพื่อที่จะใช้หลักการของสามเหลี่ยม จึงจะให้ความแม่นยำที่ดีในการหาตำแหน่งฟ้าผ่าแสดงได้ดังภาพที่ 6



ภาพที่ 5 สายอากาศเครื่องรับสัญญาณ Model 141T ALDF ของบริษัท Lightning Location and Protection (LLP), USA

ที่มา: Model 141T ALDF Manual (1993)

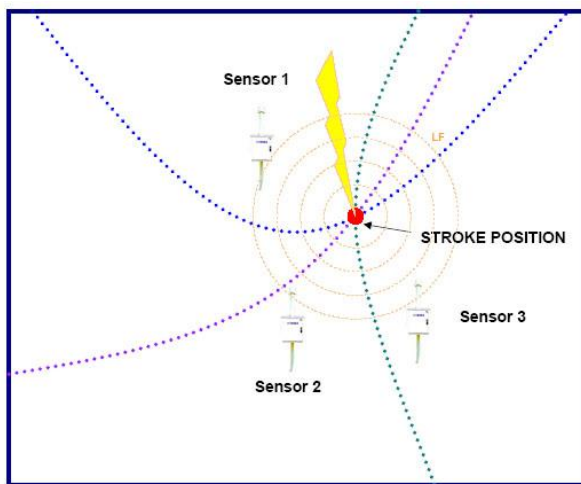


ภาพที่ 6 การหาตำแหน่งฟ้าผ่าแบบ Magnetic direction finding

ที่มา: Vaisala (2005)

2) Time of arrival : TOA

ในแต่ละสถานีจะระบุเวลาของสัญญาณคลื่นแม่เหล็กไฟฟ้าที่มาจากลำฟ้าผ่าถึงเครื่องรับสัญญาณ โดยใช้ในการระบบวัดพิกัดภูมิศาสตร์ (Global Positioning System : GPS) และใช้การประมวลผลศูนย์กลาง (Central processor) คำนวณความแตกต่างของเวลาที่มาถึงของแต่ละคู่สถานี สร้างเป็นวิถีทางเรขาคณิตแบบไฮเปอร์โนบลา (Hyperbola locus) จุดตัดของเส้นวิถีเหล่านี้จะได้เป็นตำแหน่งของฟ้าผ่าที่เกิดขึ้น แสดงได้ดังภาพที่ 7 (Scott Michael, 2001)

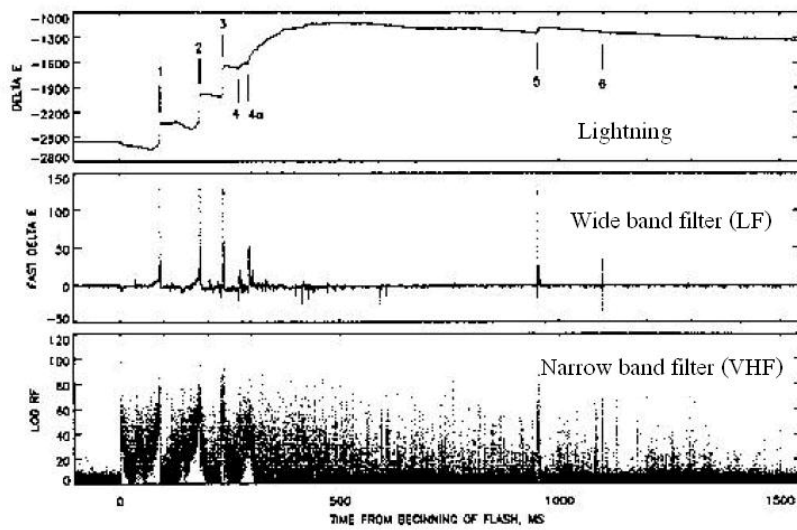


ภาพที่ 7 การหาตำแหน่งฟ้าผ่าแบบ Time of arrival

ที่มา: Vaisala (2005)

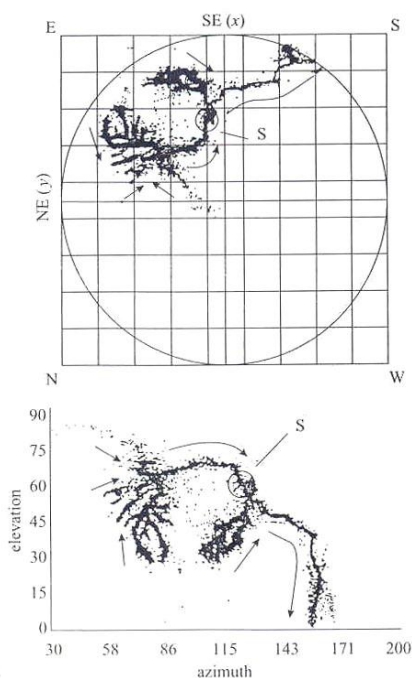
3) Interferometry

ฟ้าผ่าให้คลื่นรบกวนสนามแม่เหล็กไฟฟ้าอยู่เป็นเวลา 10-100 ไมโครวินาที วิธีการ Interferometry จะวัดความต่างเพ夫สของแรงดันระหว่างด้วยกรองสัญญาณแคบ (Narrow band signal filter) ตามภาพที่ 8 กับคลื่นรบกวนที่ได้รับจากเครื่องรับสัญญาณ ถ้ามีเครื่องรับสัญญาณมากกว่าสองสถานีขึ้นไป ความต่างเพ夫สนี้จะถูกแยกเป็นแต่ละคู่สถานีคล้ายกับวิธีการ TOA ความต่างเพ夫ส์ที่ได้ประมาณค่าไว้บนระนาบของทิศทางแกนบนพื้นโลก (Azimuth) และมุมเงย (Elevation) เพื่อหาตำแหน่งฟ้าผ่าในทิศทางแบบสามมิติ โดยทราบถึงจุดเริ่มต้นฟ้าผ่าในก้อนเมฆที่อยู่เหนือระดับพื้นโลก เป็นตำแหน่งวงกลมซึ่งแสดงไว้ในภาพที่ 9 (Rakov and Uman, 2003) (Cooray, 2003)



ภาพที่ 8 รูปคลื่นฟ้าผ่าที่ได้จากตัวกรองสัญญาณแบบแคบ

ที่มา: Vaisala (2005)



ภาพที่ 9 การกำหนดค่าบนระบบ Azimuth-Elevation และตำแหน่งจุดเริ่มต้นฟ้าผ่านก้อนเมฆ

ที่มา: The Lightning Flash (2003)

ระบบหาตำแหน่งฟ้าผ่าของการไฟฟ้าฝ่ายผลิตแห่งประเทศไทย

ระบบหาตำแหน่งฟ้าผ่าที่ติดตั้งในการไฟฟ้าฝ่ายผลิตแห่งประเทศไทย (กฟผ.) ซึ่งนำเข้าใช้ งานตั้งแต่ปลายเดือนสิงหาคม พ.ศ.2538 เป็นระบบของบริษัท Lightning Location and Protection (LLP), USA ใช้วิธีการแบบ MDF ผสมหลักการของระบบเวลา เรียกว่า Improved Accuracy from Combined (IMPACT) โดยเลือกใช้ Model 141T Advanced Lightning Direction Finder (ALDF) ประกอบด้วยเครื่องรับสัญญาณ 4 ชุด ติดตั้งที่ศูนย์ฝึกบางปะกง เสื่อหุ่นยนต์ ศอกน้ำตร และ นกราชสีมา ข้อมูลที่ได้จากเครื่องรับสัญญาณ ประกอบด้วยทิศทาง(มุม) เวลาคลื่นแม่เหล็กไฟฟ้า เคลื่อนที่ ซึ่งเกิดจากฟ้าผ่าใช้ในการเดินทางจนถึงเครื่องรับสัญญาณ และความแรงของสัญญาณ (Signal Strength) ข้อมูลเหล่านี้จะถูกส่งผ่านระบบสื่อสารด้วยสายโทรศัพท์ VHF หรือ UHF มาสั่ง เครื่องวิเคราะห์ตำแหน่ง (APA-383 Advanced Position Analyzer) ซึ่งตั้งอยู่ที่ศูนย์ควบคุมระบบ กำลังไฟฟ้า (บุญมากและสุพัตรา, 2539)

เนื่องจากกระบวนการสื่อสารด้วยสายโทรศัพท์ซึ่งมีข้อจำกัดเรื่องระยะทางในการวาง สายโทรศัพท์ และเทคโนโลยีระบบดาวเทียมมีการพัฒนามากขึ้น ในปี พ.ศ. 2547 จึงมีการเปลี่ยนไป ใช้ระบบดาวเทียมทำให้การติดต่อสื่อสารกับเครื่องรับสัญญาณฟ้าผ่าเป็นไปได้ง่ายยิ่งขึ้น ข้อมูล ฟ้าผ่าที่ได้จะมีความแม่นยำทั้งด้านทิศทางและด้านเวลามากขึ้น

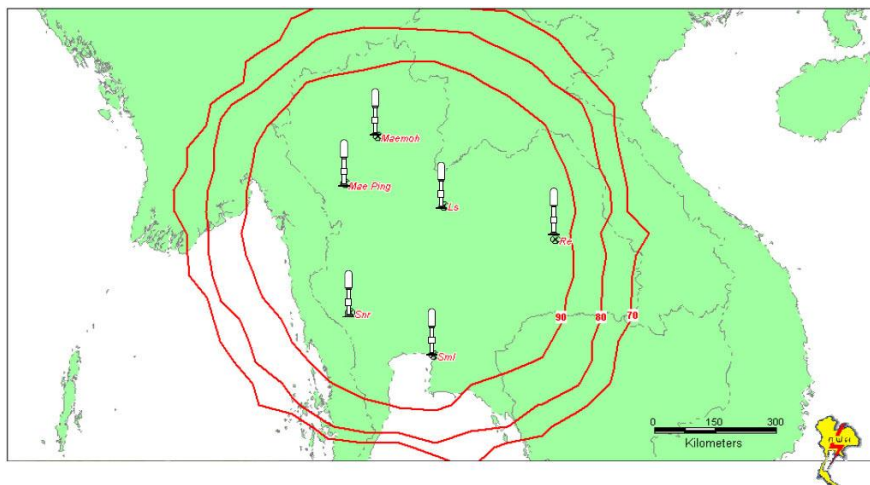
โครงการสร้างระบบกันหาตำแหน่งฟ้าผ่าปัจจุบันเปลี่ยนไปเป็นของบริษัท Vaisala Inc. ประกอบด้วยอุปกรณ์หลัก 3 ส่วน ดังนี้

- 1) อุปกรณ์ตรวจรับสัญญาณฟ้าผ่าความถี่ต่ำ โดยปรับปรุงระบบเครื่องรับสัญญาณเดิม 4 ชุดให้มีสมรรถนะสูงขึ้นจาก 141T-ALDF เป็น IMPACT-ESP ติดตั้งที่
 - เสื่อหุ่นยนต์ จ.กาญจนบุรี
 - ศูนย์ฝึกอบรมบางปะกง จ.ฉะเชิงเทรา
 - สถานีไฟฟ้าหล่มสัก จ.เพชรบูรณ์
 - สถานีทวนสัญญาณหนองไผ่ จ.ร้อยเอ็ด

และในปี พ.ศ.2549 จะดำเนินการติดตั้งเครื่องรับสัญญาณเพิ่มเติมอีก 2 สถานี ที่

- บริเวณหมู่บ้านแม่เมือง จ.ลำปาง
- เสื่อหุ่นยนต์ จ.ตาก

ตำแหน่งที่ติดตั้งแสดงไว้ในภาพที่ 10 เมื่อเครื่องรับสัญญาณฟ้าผ่าได้ จะส่งข้อมูลฟ้าผ่าพร้อมเวลาที่รับจากดาวเทียมผ่านทาง General Packet Radio Service (GPRS) Modem ในเครือข่ายโทรศัพท์มือถือของบริษัท Advanced Info Service Plc. (AIS) เข้ามายังเครื่องประมวลผลที่สำนักงานกลาง กฟผ. จ.นนทบุรี

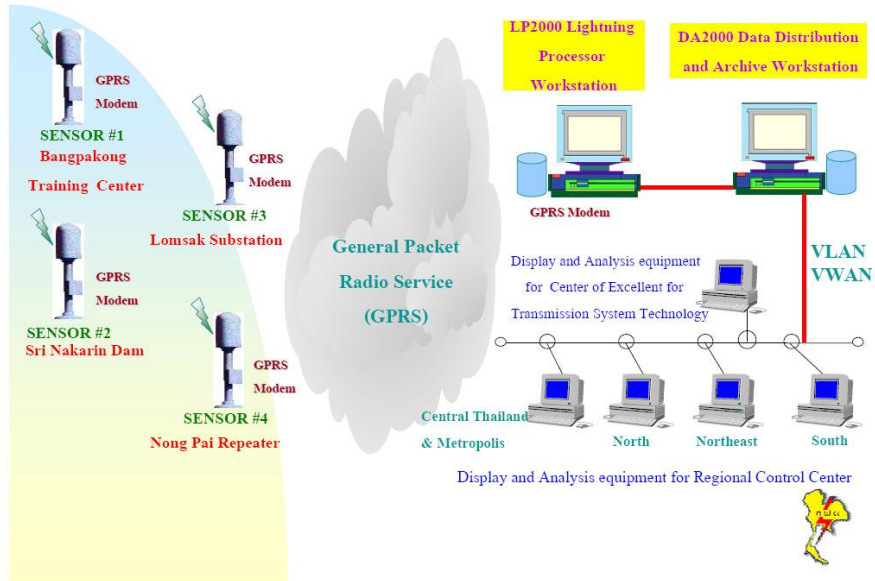


ภาพที่ 10 ตำแหน่งเครื่องรับสัญญาณฟ้าผ่าของ กฟผ. ในปัจจุบันและติดตั้งเพิ่มเติมอีก 2 สถานี
ที่มา: Overview of EGAT LLS (2005)

2) เครื่องประมวลผลและจัดเก็บประวัติข้อมูลฟ้าผ่า (LLS Network Control Center) ติดตั้งอยู่ที่อาคาร ท.208 ชั้น 2 โครงการศูนย์เชี่ยวชาญเทคโนโลยีด้านระบบส่ง ซึ่งประกอบด้วย Server 2 ชุดที่ใช้ UNIX Operating System เพื่อใช้งานโปรแกรมประยุกต์ Lightning Processor (LP2000) และ Data Distribution and Archive (DA2000)

3) เครื่องแสดงผลข้อมูลฟ้าผ่าตามเวลาที่เกิดจริงและสามารถสืบค้นประวัติข้อมูลฟ้าผ่าได้ เป็นเครื่องคอมพิวเตอร์ที่ใช้ Microsoft 2000 Operating System เพื่อใช้งานโปรแกรมประยุกต์ Real-time Lightning Tracking Software (LTRAX) ในการติดตามทิศทางการเคลื่อนที่ของการเกิดฟ้าผ่าน เวลาที่เกิดจริง โดยมีการกำหนดพื้นที่บริเวณสายส่งที่สำคัญ พร้อมส่งเสียงเตือนเมื่อฟ้าผ่านเคลื่อนที่เข้ามาใกล้บริเวณที่ระบุไว้ นอกจากนี้ยังใช้ค้นหาประวัติข้อนหลังของข้อมูลฟ้าผ่าที่เกิดขึ้นในอดีตได้อีกด้วย ปัจจุบันมีคอมพิวเตอร์ประเภทนี้ 2 เครื่องติดตั้งอยู่ที่ศูนย์นนทบุรี (สำหรับการใช้งานร่วมกันในเขตวิบัติการน้ำท่วม) และที่หน่วยเชี่ยวชาญเทคโนโลยีด้านระบบสื่อสารและควบคุมทางไกคล อาคาร ท.208 ชั้น 4 การทำงาน

ทั้งหมดของระบบการหาตำแหน่งฟ้าผ่าของกรุงเทพมหานครไฟฟ้าฝ่ายผลิตแห่งประเทศไทย (Electricity Generating Authority of Thailand's Lightning Location System : EGAT LLS) ได้แสดงไว้ในภาพที่ 11 (เรวดี, 2548)



ภาพที่ 11 EGAT LLS Network Configuration

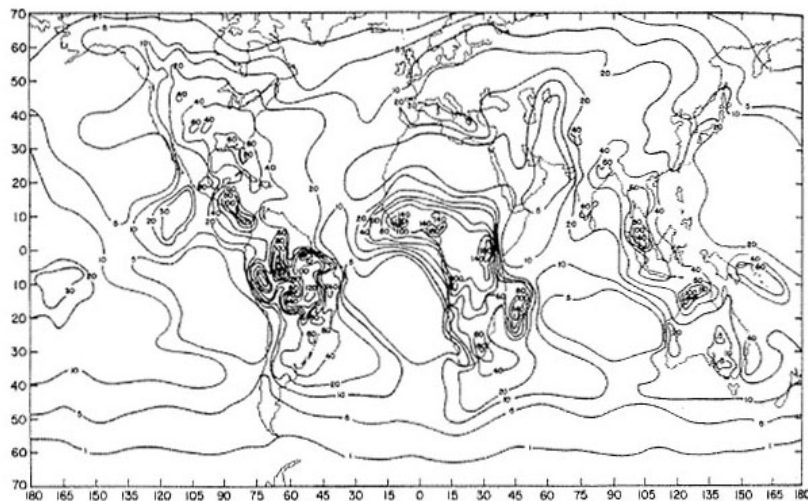
ที่มา: Overview of EGAT LLS (2005)

สมรรถนะฟ้าผ่าของสายส่ง

ตัวแปรฟ้าผ่าที่มีผลกับสายส่ง

1) ระดับและแผนที่จำนวนฟ้าคะนอง

ระดับจำนวนฟ้าคะนองเท่า (Keraunic levels) ใช้แสดงค่าเฉลี่ยจำนวนวันฟ้าคะนองต่อปี (Annual thunder days : TD) ของแต่ละสถานที่ ค่านี้ถูกกำหนดลงบนแผนที่จำนวนฟ้าคะนองเท่า (Isokeraunic maps) ตามภาพที่ 12 ที่เสน่ห์แล้วนี้มีค่าคงที่เท่ากันทั้งแผนที่ถูกทำขึ้นกับแผนที่แสดงความสูงต่างของพื้นดิน สำหรับค่า TD ได้มาจากการเก็บข้อมูลทางสถิติขึ้นกับความสามารถในการได้ยินเสียงของผู้สั่งเกตสภาพอากาศ (EPRI Reference book, 1987)



ภาพที่ 12 แผนที่จำนวนฟ้าคะนองเท่าของ WMO, 1953

ที่มา: EPRI AC Transmission line reference book 200 kV and above (2004)

2) ความหนาแน่นของฟ้าผ่าลงดิน

การหาความหนาแน่นของฟ้าผ่าลงดิน (Ground flashes density : GFD) เป็นอัตราส่วนอย่างขยายกับค่า TD มีงานวิจัยจำนวนมากหาความสัมพันธ์ของ GFD และ TD สำหรับ EPRI AC Transmission line reference book 200 kV and above ระบุความสัมพันธ์เพื่อใช้งานตามสมการที่ร (EPRI Reference book, 2004)

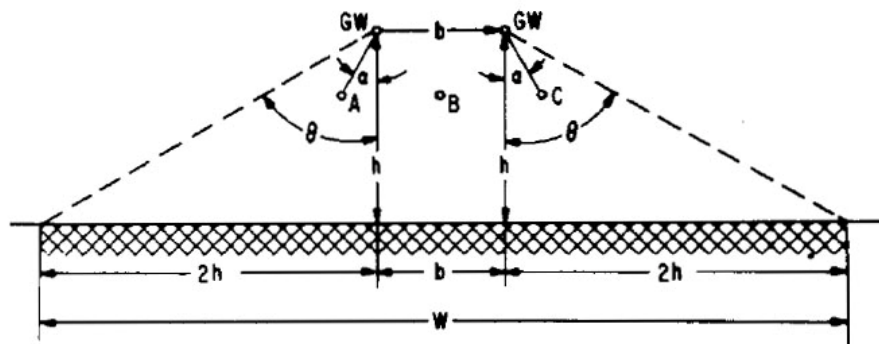
$$GFD = 0.04 TD^{1.25} \quad (5)$$

เมื่อ GFD คือ จำนวนฟ้าผ่าลงดิน (ครั้งต่อตารางกิโลเมตรต่อปี)

TD จำนวนวันฟ้าคะนองต่อปี

3) จำนวนฟ้าผ่าในสายส่ง

เมื่อมีฟ้าผ่าจะมีร่องรอย (Electrical shadow) ห่างจากสายส่งระยะหนึ่งที่ทำให้ฟ้าผ่าเข้ามาในสายเสมอแทนที่เป็นฟ้าผ่าลงดิน ระยะเจานี้แสดงไว้ในภาพที่ 13 เป็นการประมาณความกว้างร่องรอยของสายชีลด์ (Shield wire) ความสูงที่ใช้งานเป็นความสูงเฉลี่ยของสายไม่ใช่ที่ความสูงที่เสาส่ง สามารถหาค่าได้ตามสมการที่ 6 (EPRI Reference book, 1987)



θ = shadow angle (assumed 63½ degrees)

α = shield angle between shield wire and phase conductor

W = shadow width on earth's surface

GW = shield wire location

A, B, C = phase wires

ภาพที่ 13 ความกว้างร่องรอยของสายชีลด์

ที่มา: EPRI Transmission line reference book 345 kV and above (1987)

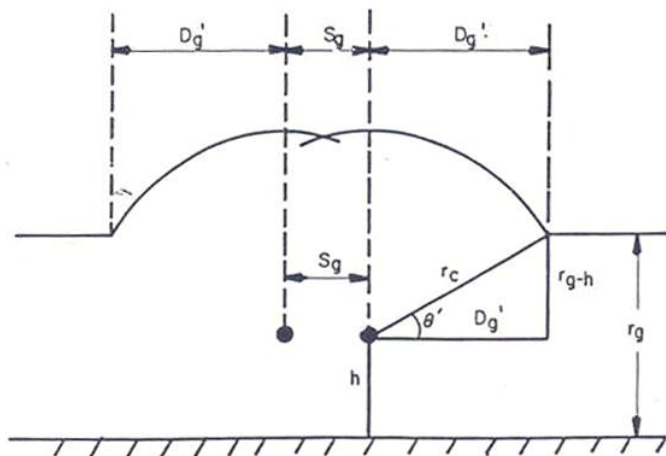
$$h = h_g - 2/3(h_g - h_{gw}) \quad (6)$$

เมื่อ h คือ ความสูงเฉลี่ยของสายชีลด์ (เมตร)

h_g ความสูงของสายชีลด์ที่เสาส่ง (เมตร)

h_{gw} ความสูงของสายชีลด์ที่กลางช่วงเสา (เมตร)

สำหรับค่าความกว้างระยะเงาในภาพที่ 13 เป็นการประมาณค่าจาก EPRI Transmission line reference book 345 kV and above (1987) แต่ในปัจจุบันนี้ใช้หลักการจำลองเรขาคณิต (Electro-Geometric Model : EGM) ซึ่งสร้างแบบจำลองจากระยะเพชิญของสายตัวนำ (Striking distance to conductor : r_c) และระยะเพชิญของดิน (Striking distance to ground : r_g) ได้ดังภาพที่ 14 (Hileman, 1999)



ภาพที่ 14 Electrogeometric model สำหรับสายชีล์ดส์สองเส้น

ที่มา: Insulation Coordination for Power Systems (1999)

ระยะเพชิญสามารถแสดงในรูปทั่วไปเป็น $r = AI^b$ ค่าคงที่ A , b ในที่นี้ใช้ค่าระยะเพชิญของสายตัวนำและพื้นดิน เป็นไปตามสมการที่ 7,8 ดังนี้ (IEEE Standard 1243, 1997)

$$r_c = 10I^{0.65} \quad (7)$$

$$\begin{aligned} r_g &= [3.6 + 1.7 \ln(43-h)] I^{0.65} & h < 40 \text{ m.} \\ &= 5.5 I^{0.65} & h \geq 40 \text{ m.} \end{aligned} \quad (8)$$

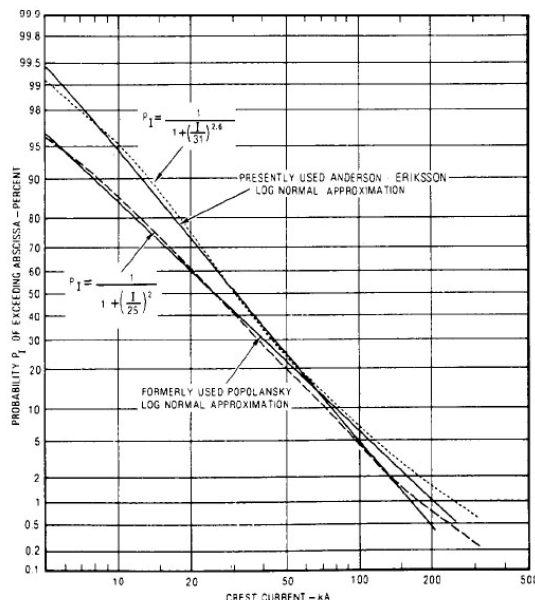
ดังนั้นการประมาณค่าจำนวนฟ้าผ่าในสายส่งภายในสายส่งภายใต้พื้นที่ระเบียงซึ่งใช้หลักการ EGM จึงมีค่าดังสมการที่ 9 (Hileman, 1999)

$$N_L = GFD \left(\frac{28h^{0.6} + S_g}{10} \right) \quad (9)$$

เมื่อ N_L คือ จำนวนฟ้าผ่าในสายส่ง (ครั้งต่อ 100 กิโลเมตรต่อปี)
 S_g ระยะห่างของสายชิลเดอร์ (เมตร)

4) ความน่าจะเป็นของกระแสฟ้าผ่า

ขนาดของกระแสฟ้าผ่าอธินายได้ในรูปแบบความน่าจะเป็น รูปแบบของกระแสฟ้าผ่านี้ จำเป็นต้องมีการเก็บค่าและวิจัยในทุกๆปี สำหรับความน่าจะเป็นถูกเก็บเป็นค่าทางสถิติตัวยกภาพ log-normal curve ตามภาพที่ 15 และเพื่อจ่ายแก่การคำนวณจึงมีการประมาณค่าเป็นสมการที่ 10, 11 มีความแม่นยำในช่วงกระแส 5-200 กิโลแอมป์ (EPRI Reference book, 1987)



ภาพที่ 15 การกระจายความถี่สะสมของขนาดกระแสฟ้าผ่าในการเกิดฟ้าผ่าประจุลบ

ที่มา: EPRI Transmission line reference book 345 kV and above (1987)

สำหรับ Popolansky curve

$$P_I = \frac{I}{I + \left(\frac{I}{25}\right)^2} \quad (10)$$

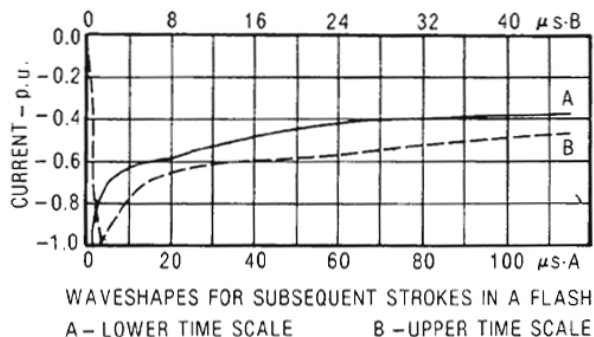
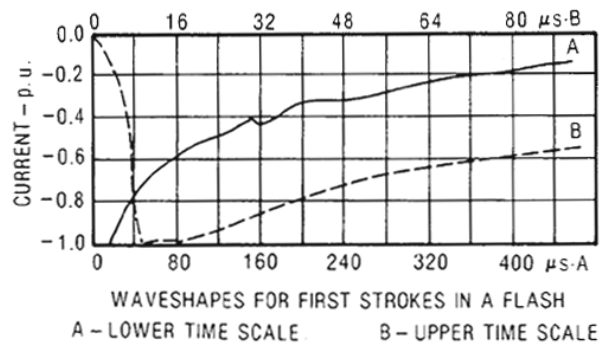
สำหรับ Anderson-Eriksson curve

$$P_I = \frac{I}{I + \left(\frac{I}{31}\right)^{2.6}} \quad (11)$$

5) รูปปร่างคลื่นฟ้าผ่า

รูปปร่างของคลื่นฟ้าผ่ามีผลกับแรงดันคร่อมนานาลักษณะด้วย โดยเฉพาะเสาส่งที่มีโครงสร้างสูงๆ ภาพที่ 16 แสดงรูปปร่างของคลื่นลำฟ้าผ่าแรก (First stroke) และคลื่นลำฟ้าผ่าลำดับหลัง (Subsequent stroke) ซึ่งได้จากการบันทึกของ Anderson and Eriksson พบว่าเวลาขึ้นสู่แรงดันยอดคลื่นของลำฟ้าผ่าลำดับหลังเร็วกว่าลำฟ้าผ่าแรก แต่เวลาที่แรงดันตกของลำฟ้าผ่าลำดับหลังก็ลดลงอย่างรวดเร็วด้วย ทำให้ช่วยลดผลกระทบของแรงดันเกินที่จะเกิดขึ้นได้

สำหรับขนาดของลำฟ้าผ่า Weck and Hileman พบว่า ขนาดของลำฟ้าผ่าแรกมีขนาดสูงกว่าเสมอ จึงทำให้ลำฟ้าผ่าลำดับหลังมีความสำคัญในการเกิดแรงดันเกินน้อยกว่าด้วย เมื่อเทียบกับลักษณะที่มีความคงทนทางนานาสูง ในการคำนวณสมรรถนะฟ้าผ่าทางปฏิบัติจะไม่คำนึงถึงผลของการลำฟ้าผ่าลำดับหลัง แต่สามารถนำผลผลกระทบนี้มาคำนวณได้ถ้าต้องการ โดยเฉพาะกรณีเสาส่งข้ามแม่น้ำ (EPRI Reference book, 1987)



ภาพที่ 16 รูปปร่างคลื่นของกระแสฟ้าผ่า

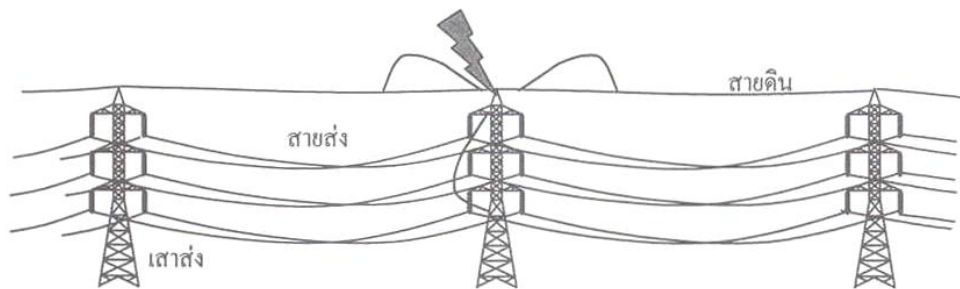
ที่มา: EPRI Transmission line reference book 345 kV and above (1987)

ชนิดของการวานไฟเนื่องจากฟ้าผ่า

การวานไฟสามารถแบ่งออกได้เป็น 4 ชนิด ดังนี้ (EPRI Handbook, 2004)

1) การวานไฟตามผิวข้อนกลับ (Back Flashover)

ในกรณีนี้การวานไฟจะเกิดข้อนจากเสาโอลิห์ข้ามช่วงไปยังสายตัวนำ เมื่อเกิดฟ้าผ่าลงบนสายดินหรือสายชีล์ด์ ทำให้มีคลื่นกระแสและแรงดันวิ่งไปบนสายชีล์ดดังภาพที่ 17



ภาพที่ 17 แรงดันฟ้าผ่าที่เกิดบนสายส่งและเสาส่ง
ที่มา: การวิเคราะห์ระบบไฟฟ้ากำลัง (2548)

ที่เสาส่งคลื่นนี้มีทั้งสะท้อนกลับ ส่งผ่านเสาลงสู่ดิน และส่งออกไปยังสายชีล์ดข้างเคียง เนื่องจากการอยู่ต่อที่มีค่าอิมพีเดนซ์ไม่เท่ากัน แรงดันเสร็จที่ถูกสร้างจะคร่อมนานาลูกถ้วงระหว่าง เฟลกับดิน คร่อมนานาอากาศของสายเฟลและสายเฟลกับสายชีล์ดตลอดช่วงเสา เมื่อไรถ้าแรงดัน เสร์จนี้สูงกว่าความคงทนของนานาการวานไฟ ก็จะเกิดขึ้น ตัวแปรที่มีผลกระทบกับการวานไฟตาม ผิวข้อนกลับ ได้แก่

- ความหนาแน่นของฟ้าผ่าลงดิน
- เสิร์จอิมพีเดนซ์ของสายชีล์ดและเสาส่ง
- ตัวประกอบเชื่อมต่อ (Coupling factors) ระหว่างตัวนำ
- แรงดันที่ความถี่กำลัง
- ความสูงของเสาและสายส่ง
- ความยาวช่วงเสา
- ความคงทนของนานา
- ความด้านทานที่ฐานเสาและส่วนประกอบของดิน

2) การวานไฟเนื่องจากความล้มเหลวในการชีลด์ (Shielding Failure Flashover)

ความล้มเหลวในการชีลด์ หมายถึง การเกิดฟ้าผ่าลงบนสายไฟส่วนตัวนำ สำหรับสายส่งที่ไม่มีการชีลด์ ฟ้าผ่าทำให้เกิดความล้มเหลวในการชีลด์เสมอ แต่สำหรับสายส่งที่มีสายชีลด์ ส่วนมาก ฟ้าผ่าลงบนสายชีลด์ทำให้คำนึงถึงความล้มเหลวในการชีลด์น้อยลง

การคำนวณหาจำนวนครั้งของความล้มเหลวในการชีลด์ขึ้นอยู่กับหากายปัจจัย ได้แก่ ตัวแปรแบบจำลองเรขาคณิต ความนำจะเป็นของฟ้าผ่า การชีลด์ตามธรรมชาติที่เกิดจากต้นไม้ ภูมิประเทศและอาคาร การเกิดความล้มเหลวในการชีลด์ไม่จำเป็นต้องเกิดการวานไฟตามผิวของลูกถ้วยเสมอไป ขึ้นอยู่กับกระแสวิกฤติ (Critical current ; I_c) ที่ฟ้าผ่าลงบนสายตัวนำ สามารถคำนวณได้จากการสมการที่ 12

$$I_c = \frac{2CFO}{Z} \quad (12)$$

เมื่อ CFO คือ แรงดันวานไฟตามผิววิกฤติของอิมพัลส์ฟ้าผ่าขั้วลบ (กิโลโวลต์)
 Z เส้นรัศมีแคนช์ของสายตัวนำ (โอห์ม)

3) การวานไฟเนี่ยวนำ (Induced Flashover)

การวานไฟเนี่ยวนำเป็นแรงดันเกินขั้วครูที่เกิดจากการเหนี่ยวนำบนสายส่งจากฟ้าผ่าที่อยู่ใกล้สายส่ง สำหรับสายส่งระบบจำหน่ายแรงดันต่ำฟ้าผ่าบริเวณข้างเคียงเป็นสาเหตุหลักของการวานไฟเนื่องจากฟ้าผ่า การประมาณจำนวนฟ้าผ่าบริเวณข้างเคียงที่ส่งผลต่อการบื้องกันและการประสานสัมพันธ์จำนวนของสายส่ง เป็นปัญหาที่ได้ใช้หลักการทำงานวิทยาศาสตร์หลายอย่างศึกษานานถึง 20 ปี ผลจากการพัฒนาทำให้แบบจำลองสามารถประมาณแรงดันเกินเนื่องจากฟ้าผ่าเหนี่ยวนำได้แม่นยำมากยิ่งขึ้น

การวิเคราะห์แรงดันเหนี่ยวนำจากฟ้าผ่ามีความสัมพันธ์ใกล้เคียงกับแบบการจำลองเรขาคณิต ทำให้การชีลด์เพื่อป้องกันฟ้าผ่าข้างเคียงสามารถลดจำนวนฟ้าผ่าลงสายส่งโดยตรงได้แต่ทั้งนี้ถ้าฟ้าผ่าที่ใกล้สายส่งมากๆ ก็ยังคงส่งผลกระทบให้เกิดแรงดันเหนี่ยวนำมากขึ้นเช่นเดิม

พยายามดูฐานทำให้การคำนวณแรงดันเหนี่ยวนำ่ายขึ้น โดยสมมุติให้ขนาดของหน้าตัดสายส่งเล็กมากเมื่อเทียบกับความยาวคลื่นทางไฟฟ้า และให้ผลกระทบของกระแสทั้งหมดบนสายส่งเท่ากับศูนย์ ดังนั้นเราจึงพิจารณาเพียงกระแสของสายส่งเท่านั้น ไม่คิดกระแสของสายอากาศ สุดท้าย

สมมุติให้ช่องลำไฟผ่าตรงและตั้งจากกันพื้นดิน ทั้งสามสมมุติฐานนี้ช่วยให้่ายต่อการคำนวณหาค่า
สนา�แม่เหล็กและค่าสนาમไฟฟ้า สามารถทำนายค่าได้แม่นยำจึงนิยมด้วย

สำหรับไฟผ่าภายใน 1 กิโลเมตรจากสายส่ง ส่วนประกอบแนวตั้งของสนามไฟฟ้าและ
แนวอนของสนามแม่เหล็กเป็นตัวสำคัญที่ทำให้เกิดแรงดันเกินบนสายส่ง ในปี ค.ศ. 1958 Rusck
ได้เตรียมแบบจำลองเชื่อมต่ออย่างง่าย (Simplified coupling model) ประมาณค่ายอดของแรงดัน
เหนี่ยวนำสายส่ง ใกล้กับตำแหน่งไฟผ่าที่สุด โดยสมมุติให้ความเร็วของลำไฟผ่านกันกลับมี
ค่าประมาณ 1.2×10^8 เมตรต่อวินาที ได้ตามสมการที่ 13 ดังนี้

$$V_{max} = 38.8 \frac{Ih}{y} \quad (13)$$

เมื่อ I คือ กระแสไฟผ่า (กิโลแอมป์)

h ความสูงของสายตัวนำจากพื้นดิน (เมตร)

y ระยะทางใกล้ที่สุดระหว่างตำแหน่งไฟผ่ากับสายส่ง (เมตร)

แบบจำลองอย่างง่ายนี้ได้มาจากการทดสอบของการศึกษาไฟผ่าด้วย Rocket-triggered
สิ่งสำคัญเกี่ยวกับการวานไฟเห็นช่วงนำเนื่องจากไฟผ่าข้างเคียงสรุปได้ คือ

- แรงดัน CFO ของลูกถ้วยที่มีค่ามากกว่า 400 กิโลโวลต์ ป้องกันการวานไฟเห็นช่วงนำได้
ทั้งหมด

- ผลของสายชีลด์จะช่วยลดแรงดันบนลูกถ้วย 30-40% ขึ้นอยู่กับลักษณะของสายส่ง

- การติดตั้งอะเรสเตอร์ทุกช่วงสามารถปรับปรุงสมรรถนะการวานไฟเห็นช่วงนำสำหรับ
สายส่งระบบจำหน่ายได้ทั้งหมด แต่ไม่แนะนำวิธีนี้ เพราะจะต้องติดตั้งอะเรสเตอร์มักใช้โดย
คำนึงถึงการปรับปรุงสมรรถนะการวานไฟของไฟผ่าโดยตรงมากกว่า

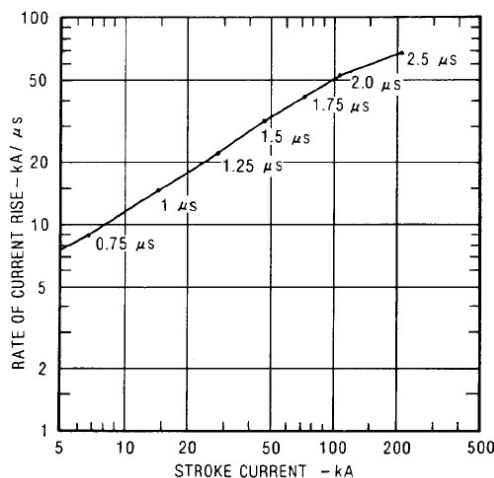
4) การวานไฟกลางช่วงเสาส่ง (Midspan Flashover)

Wagner and Hileman ได้ศึกษาถึงการเสียสภาพลับพลันนี้ในปี ค.ศ. 1960 การวานไฟกลาง
ช่วงเสาส่งเกิดขึ้นเมื่อระยะของตัวนำกลางช่วงเสาไม่ขนาดเล็กอย่างสายส่งระบบจำหน่าย หรือช่วง
เสาที่ยาวมาก (304.8 เมตรหรือมากกว่า) แรงดันบนตัวนำเป็นไปตามสมการของความล้มเหลวใน
การชีลด์ แต่ถ้าแรงดันเพิ่มขึ้นถึง 610 กิโลโวลต์ต่อมเมตรในช่องอากาศของสายตัวนำเป็นเวลานาน
การเสียสภาพลับพลันจะเกิดขึ้นอย่างช้าๆ จนสมบูรณ์ โดยใช้เวลาหลายไมโครวินาทีได้

การคำนวณสมรรถนะฟ้าผ่าการรวมไฟตามพิวัยข้อนกลับด้วยวิธี A Simplified Two-Point Method

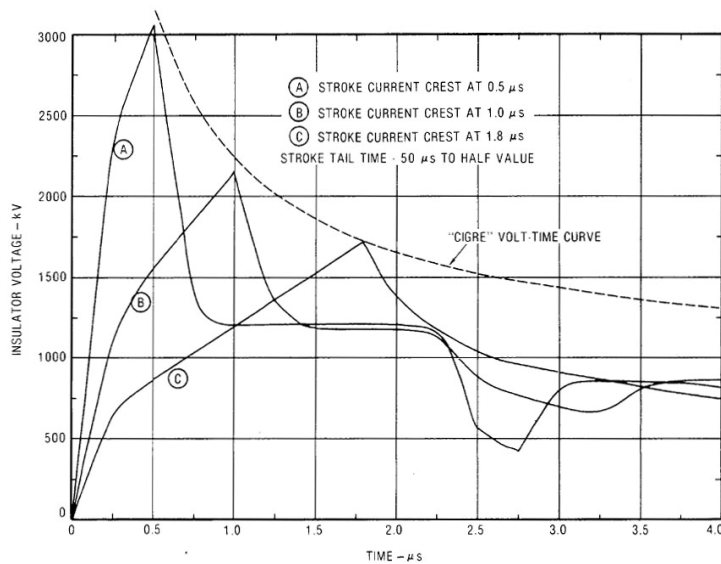
วิธีการนี้เป็นการคำนวณที่ถูกพัฒนาขึ้นใน Chapter 12, EPRI Transmission line reference book 345 kV and above เพื่อเป็นแนวทางช่วยให้ได้ค่าสมรรถนะฟ้าผ่าที่สามารถนำไปใช้งานได้โดยมีแนวคิดสรุปได้ดังนี้ (EPRI Reference book, 1987)

- ใช้รูปร่างคลื่นเพียงแบบเดียวเท่านั้นในการคำนวณ เนื่องจากค่ายอดของกระแสฟ้าผ่า และเวลาหน้าคลื่นมีความน่าจะเป็นแตกต่างกัน ทั้งยังส่งผลต่ออัตราเวลาขึ้นสู่ค่ายอดเมื่อจำลอง รูปร่างคลื่นแบบ Ramp function การตัดของวงจรเนื่องจากฟ้าผ่าแบบการรวมไฟตามพิวัยข้อนกลับซึ่ง มีขนาดของกระแสสูงกว่า 80 กิโลแอมป์ พบว่าเวลาหน้าคลื่นที่ได้อยู่ในช่วง 1.8-2.0 ไมโครวินาที แสดงได้ดังภาพที่ 18 นอกจากนี้ภาพที่ 19 เป็นกราฟแรงดัน-เวลา ยังแสดงได้อีกว่าเวลาหน้าคลื่นที่ เร็วขึ้นส่งผลกระแทบน้อย เพราะความคงทนทางคุณภาพของลูกถ้วยสูงขึ้นตามไปด้วย ดังนั้นวิธีการนี้ จึงเลือกรูปร่างคลื่นมาตรฐานเป็นแบบ Ramp function ที่เวลาหน้าคลื่น 2 ไมโครวินาที



ภาพที่ 18 ความสัมพันธ์ระหว่างค่ายอดกระแสฟ้าผ่า, เวลาหน้าคลื่น, อัตราเวลาขึ้นสู่ค่ายอดของ รูปร่างคลื่นแบบ Ramp function

ที่มา: EPRI Transmission line reference book 345 kV and above (1987)



ภาพที่ 19 ผลกระทบของแรงดันบนลูกถ่ายเมื่อจากฟ้าผ่าที่มีเวลาหน้าคลื่นต่างกันแต่ขนาดเท่ากัน
ที่มา: EPRI Transmission line reference book 345 kV and above (1987)

2. คลื่นสะท้อนจากเสาข้างเคียงถูกนำมาคำนวณด้วย เพราะช่วยลดแรงดันที่ด้านบนเสาส่ง และลดอัตราการเกิดวาไฟของสายส่ง แต่คลื่นสะท้อนนี้ถูกลดทอนขนาดจากการแสปโคลโนรา และความเร็วในการแพร่กระจายข้างลงเนื่องจากความต้านทาน ผลของโคลโนรา ทำให้ความเร็วลดลงเหลือ 0.9 เท่าของความเร็วแสง (300 เมตรต่อ ไมโครวินาที) ถ้าระยะระหว่างช่วงเสาอยู่คลื่นสะท้อนนี้จะหักล้างแรงดันฟ้าผ่าก่อนเพิ่มถึงค่ายอดได้ ค่าของคลื่นสะท้อนเป็นไปตามสมการที่ 14

$$V'_T(t_o) = \frac{-4K_s [V_T(t_o)]^2}{Z_s} \left[1 - \frac{2V_T(t_o)}{Z_s} \right] \left[\frac{t_o - 2\tau_s}{t_o} \right] \quad (14)$$

เมื่อ $V'_T(t_o)$ คือ ผลรวมคลื่นแรงดันสะท้อนจากเสาข้างเคียงที่ด้านบนเสาส่ง
ณ เวลาของคลื่น; t_o (ไมโครวินาที)

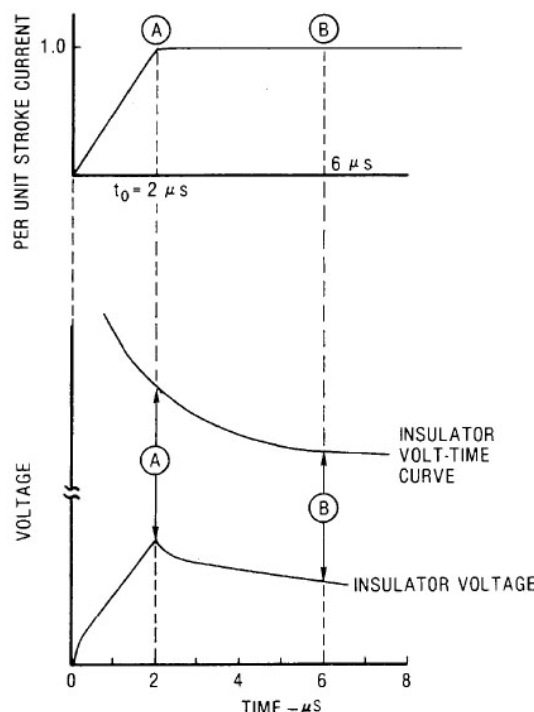
$V_T(t_o)$ แรงดันค่ายอดที่ด้านบนเสาส่งที่เวลา t_o โดยไม่มีผลแรงดัน
สะท้อนจากเสาข้างเคียง (ไมโครวินาที)

$2\tau_s$ เวลาเดินทางคลื่นถึงเสาข้างเคียงและย้อนกลับ (ไมโครวินาที)

Z_s เส้นเชื่อมพื้นที่ของสายชี้ดัด (โอห์ม)

K_s ตัวคูณลดทอน (สมมุติให้เป็น 0.85 ถ้าไม่มีข้อมูลใดๆ ให้)

3. กราฟแรงดัน-เวลา นำมาใช้เพียงสองจุดเท่านั้นตามภาพที่ 20 ซึ่งแสดงคลื่นกระแสฟ้าผ่าตามมาตรฐานและจุด A, B ที่นำมาคำนวณหาแรงดันคร่อมบนจำนวนลูกถ่าย จุดที่มีค่ากระแสฟ้าผ่าต่ำกว่าใช้คำนวณหาการวนไฟตามผิวอิเล็กตริก ควรวนไฟตามผิวที่เวลามากกว่า 6 ไมโครวินาที ให้สมมุติว่าไม่เกิดขึ้นบ่อยนัก เพราะกราฟแรงดัน-เวลาที่เวลาใดมีระดับค่อนข้างราบรื่นเสมอ ก็จะสามารถใช้ทั้งสองจุด A, B เพื่อตรวจสอบความคืนของแรงดันที่เกิดบนลูกถ่ายได้



ภาพที่ 20 กระแสฟ้าผ่าแบบ Ramp function ที่ใช้เพื่อกำหนดรูปแบบแรงดันของลูกถ่ายเพียงสองจุด
ที่มา: EPRI Transmission line reference book 345 kV and above (1987)

4. ฟ้าผ่าลำดับหลัง ไม่นำมาคิด เนื่องจากการวิเคราะห์เกี่ยวข้องกับความรุนแรงของ แรงดันคร่อมบนจำนวนลูกถ่าย ฟ้าผ่าลำดับหลังมีความรุนแรง ไม่เท่าฟ้าผ่าลำดับแรกในการเกิดฟ้าผ่าแต่ละครั้ง เวลาที่เกิดขึ้นมีค่าสั้นกว่าถึงแม้แรงดันคร่อมลูกถ่ายสูง ทำให้จำนวนลูกถ่ายสามารถทนต่อแรงดันนี้ได้

5. การเดือกเวลาที่ 2, 6 ไมโครวินาที ทำให้สมการแรงดันดูง่ายขึ้น โดยให้ t_0 เท่ากับ 2 ไมโครวินาที (จุด A ในภาพที่ 20) และ ไม่คิดผลสะสมต่อกันของลูกถ่ายที่เดียวกัน ดังนั้นแรงดันด้านบน เสาส่งที่ยอดคลื่นเป็นไปตามสมการที่ 15

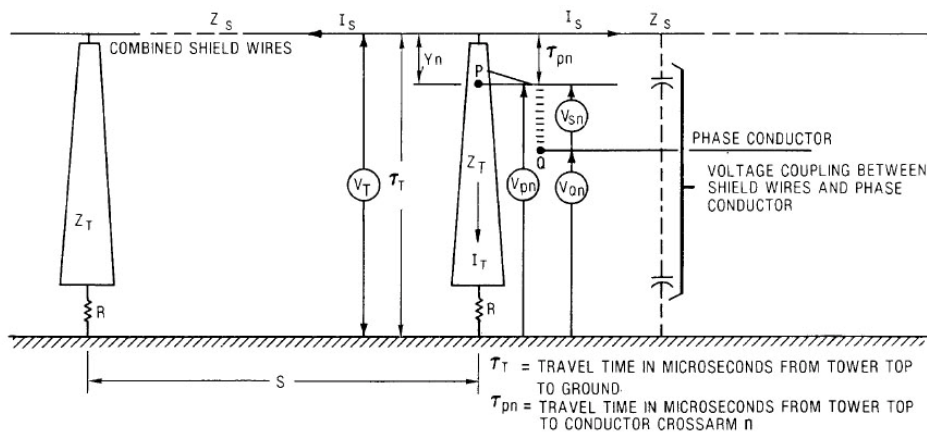
$$(V_T)_2 = \left[Z_I - \frac{Z_w}{1-\psi} \left(I - \frac{\tau_T}{1-\psi} \right) \right] I \quad (15)$$

$$Z_I = \frac{Z_s Z_T}{Z_s + 2Z_T} \quad (15A)$$

$$Z_w = \left[\frac{2Z_s^2 Z_T}{(Z_s + 2Z_T)^2} \right] \left[\frac{Z_T - R}{Z_T + R} \right] \quad (15B)$$

$$\psi = \left(\frac{2Z_T - Z_s}{2Z_T + Z_s} \right) \left(\frac{Z_T - R}{Z_T + R} \right) \quad (15C)$$

| | | | |
|-------|-----------|-----|---|
| เมื่อ | $(V_T)_2$ | คือ | ขนาดแรงดันด้านบนเสาส่งที่เวลา 2 ไมโครวินาทีสำหรับกระแส ฟ้าผ่าที่มียอดคลื่นที่ 2 ในโครวินาที (กิโลโวัลต์) |
| | Z_I | | intrinsic circuit impedance ที่นำกระแสฟ้าผ่านขณะนี้มาก วงจรสมมูลตามภาพที่ 21 (โอห์ม) |
| | Z_w | | constant wave impedance ของคลื่นกระแสฟ้าผ่าทั้งหมดที่ เคลื่อนที่ทำให้เกิดแรงดันด้านบนเสาส่ง (โอห์ม) |
| | Z_T | | เคอร์จอมพีแคนช์ของเสาส่ง (โอห์ม) |
| | Z_s | | เคอร์จอมพีแคนช์ของสายชีลเดอร์ (โอห์ม) |
| | R | | ความต้านทานที่ฐานของเสาส่ง (โอห์ม) |
| | τ_T | | เวลาในการเคลื่อนที่จากด้านบนถึงฐานของเสาส่ง หาได้โดยใช้ ความสูงของเสาหารด้วยความเร็วแสง 300 เมตรต่อ ไมโครวินาที (ไมโครวินาที) |
| | I | | ขนาดกระแสฟ้าผ่าเท่ากับ 1 P.U. |
| | ψ | | ค่าคงที่การหน่วง (Damping constant) |



ภาพที่ 21 องค์ประกอบพื้นฐานในการคำนวณหาแรงดันของจำนวนลูกถ่วง

ที่มา: EPRI Transmission line reference book 345 kV and above (1987)

ขนาดแรงดันของความต้านทานที่ฐานเสาเป็นไปตามสมการที่ 16

$$(V_R)_2 = \left[\frac{\bar{\alpha}_R Z_I}{I - \psi} \left(1 - \frac{\psi \tau_T}{I - \psi} \right) \right] I \quad (16)$$

$$\bar{\alpha}_R = \frac{2R}{Z_T + R} \quad (16A)$$

เมื่อ $(V_R)_2$ คือ ขนาดแรงดันคร่อมความต้านทานที่ฐานเสาส่างที่เวลา $(2 + \tau_T)$

ไมโครวินาทีสำหรับกระแสฟ้าผ่าที่มียอดคลื่นที่ 2 ไมโครวินาที

(กิโลโวลต์)

$\bar{\alpha}_R$ สัมประสิทธิ์หักเหของแรงดัน (Voltage refraction coefficient)

จากสมการที่ 14 แรงดันจะห้อนจากเสาส่างข้างเคียงที่เวลา 2 ไมโครวินาที (คิดในกรณีที่เวลาเดินทางของคลื่นถึงเสาข้างเคียงและข้อนกลับน้อยกว่า 2 ไมโครวินาที; $2\tau_s < 2 \mu\text{s}$) สามารถเขียนได้ ใหม่ตามสมการที่ 17

$$(V'_T)_2 = \frac{-4K_s (V_T)_2^2}{Z_s} \left[1 - \frac{2(V_T)_2}{Z_s} \right] (I - \tau_s) \quad (17)$$

เมื่อ $(V_T')_2$ กือ ผลรวมค่าเฉลี่ยแรงดันสะท้อนจากเสาข้างเคียงที่ด้านบนเสาส่ง ที่เวลา 2 ในโครวินาที (กิโลโวลต์)

ถ้า $\tau_s > 1 \mu s$ จะไม่มีแรงดันสะท้อนของเสาข้างเคียงมาที่เวลา 2 ในโครวินาที ดังนั้น แรงดันรวมทั้งหมดที่ด้านบนเสาส่งจึงได้ตามสมการที่ 18

$$(\bar{V}_T)_2 = (V_T)_2 + (V'_T)_2 \quad (18)$$

เมื่อ $(\bar{V}_T)_2$ กือ ขนาดแรงดันรวมทั้งหมดที่ด้านบนเสาส่ง (กิโลโวลต์)

สำหรับแรงดันที่ Crossarm อันดับ n เมื่อเวลา 2 ในโครวินาที สามารถหาได้ด้วยวิธี Interpolation ดังสมการที่ 19

$$(V_{pn})_2 = (V_R)_2 + \frac{\tau_T - \tau_{pn}}{\tau_T} [(V_T)_2 - (V_R)_2] \quad (19)$$

เมื่อ $(V_{pn})_2$ กือ ขนาดแรงดันที่ Crossarm อันดับ n (กิโลโวลต์)

τ_{pn} เวลาในการเคลื่อนที่จากด้านบนถึง Crossarm n ของเสาส่ง (ในโครวินาที)

แรงดันเสิร์จคร่อมชุดลูกกล้ำยเฟส n ที่เวลา 2 ในโครวินาที กือ ผลต่างของแรงดันเสิร์จที่ Crossarm อันดับ n และแรงดันเสิร์จของสายตัวนำเฟส ดังสมการที่ 20

$$(V_{sn})_2 = (V_{pn})_2 - K_n (\bar{V}_T)_2 \quad (20)$$

เมื่อ $(V_{sn})_2$ กือ ขนาดแรงดันคร่อมชุดลูกกล้ำยเฟส n ที่เวลา 2 ในโครวินาที (กิโลโวลต์)

K_n ตัวประกอบการเชื่อมต่อ (Coupling factor)

หลังจากคลื่นกระแสฟ้าผ่าค่ายอดไหกผ่านไปแล้ว ค่าต่างๆ ในส่วนของเสาส่งไม่นำมาใช้ เสิร์จอิมพีเด็นซ์ของเสาส่งจึงไม่มีผลกระทบในเวลาถัดมา ทำให้แรงดันในเวลาที่ 6 ในโครวินาที เป็นไปตามสมการที่ 21 ดังนี้

$$(V_T)_6 = (V_R)_6 = (V_{pn})_6 = \left[\frac{Z_s R}{Z_s + 2R} \right] I \quad (21)$$

| | |
|---------------------|---|
| เมื่อ $(V_T)_6$ คือ | ขนาดแรงดันด้านบนเสาส่งที่เวลา 6 ไมโครวินาทีสำหรับกระแสไฟฟ้าที่มียอดคลื่นที่ 2 ไมโครวินาที (กิโลโวลต์) |
| $(V_R)_6$ | ขนาดแรงดันคร่อมความด้านหนานที่ฐานเสาส่งที่เวลา $(6+\tau_T)$ ไมโครวินาที (กิโลโวลต์) |
| $(V_{pn})_6$ | ขนาดแรงดันที่ Crossarm อันดับ n (กิโลโวลต์) |

ผลกระแทบจากเสาข้างเคียงไม่มีผลด้วยเช่นกันที่เวลา 6 ไมโครวินาที สำหรับวิธีการนี้จะคิดการสะท้อนครั้งแรกเท่านั้น ดังนั้นจึงได้ค่าแรงดันสะท้อนด้านบนของเสาส่งตามสมการที่ 22 และแรงดันคร่อมชุดลูกถ้วยเฟส n ตามสมการที่ 23

$$(V'_T)_6 = -4K_s Z_s \left(\frac{R}{Z_s + 2R} \right)^2 \left[I - \frac{2R}{Z_s + 2R} \right] I \quad (22)$$

$$(V'_{sn})_6 = I(V'_T)_6 + (V'_T)_6 J(1 - K_n) \quad (23)$$

| | |
|----------------------|---|
| เมื่อ $(V'_T)_6$ คือ | ผลรวมคลื่นแรงดันสะท้อนทั้งหมดที่ด้านบนเสาส่งเมื่อเวลา 6 ไมโครวินาที (กิโลโวลต์) |
| $(V'_{sn})_6$ | ขนาดแรงดันคร่อมชุดลูกถ้วยเฟส n ที่เวลา 6 ไมโครวินาที (กิโลโวลต์) |

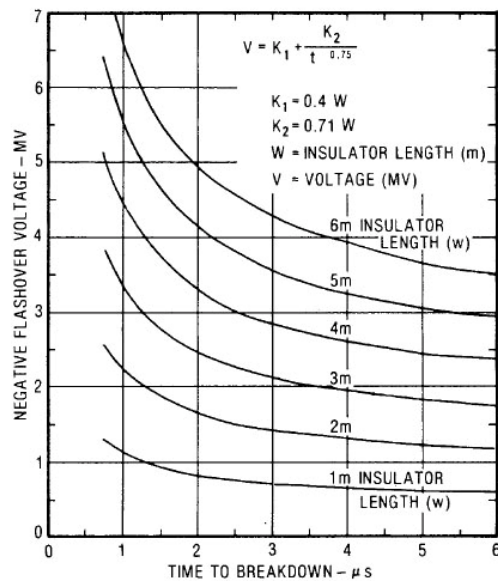
จากภาพที่ 22 ค่าความคงทนไอดิเอลิกตริก (Dielectric strength) ของชุดลูกถ้วยที่เวลา 2, 6 ไมโครวินาที สามารถหาได้ดังสมการที่ 24, 25 ตามลำดับ

$$(V_I)_2 = 820W \quad (24)$$

$$(V_I)_6 = 585W \quad (25)$$

| | |
|---------------------|---|
| เมื่อ $(V_I)_2$ คือ | ความคงทนต่อการรวมไฟตามผิวของจำนวนลูกถ้วยที่เวลา 2 ไมโครวินาที (กิโลโวลต์) |
|---------------------|---|

(V_{l_6}) คือ ความคงทนต่อการawanไฟตามผิวของฉนวนลูกถ้วยที่เวลา
6 ไมโครวินาที (กิโลโวลต์)
 W ความยาวของฉนวนลูกถ้วย (เมตร)



ภาพที่ 22 กราฟแรงดัน-เวลาสำหรับการawanไฟตามผิวของฉนวนลูกถ้วย (CIGRE)

ที่มา: EPRI Transmission line reference book 345 kV and above (1987)

สำหรับค่ากระแสสวิกฤติที่ทำให้เกิดการawanไฟตามผิวของลูกถ้วยเฟส n ที่เวลา 2, 6
ไมโครวินาที คิดได้จากสมการที่ 26, 27 ดังนี้ (ไม่คิดรวมแรงดันที่ความถี่กำลัง)

$$(I_{cn})_2 = \frac{(V_I)_2}{(V_{sn})_2} = \frac{820W}{(V_{sn})_2} \quad (26)$$

$$(I_{cn})_6 = \frac{(V_I)_6}{(V_{sn})_6} = \frac{585W}{(V_{sn})_6} \quad (27)$$

เมื่อ $(I_{cn})_2$ คือ กระแสสวิกฤติที่ทำให้เกิดการawanไฟตามผิวของลูกถ้วยเฟส n เมื่อ
เวลา 2 ไมโครวินาที (กิโลแอมป์)

$(I_{cn})_6$ กระแสสวิกฤติที่ทำให้เกิดการawanไฟตามผิวของลูกถ้วยเฟส n เมื่อ
เวลา 6 ไมโครวินาที (กิโลแอมป์)

6. การวิเคราะห์โดยทั่วไปของผลกระทบจากความถี่กำลัง จะรวมไปถึงแรงดันความถี่กำลังที่มีเฟสแตกต่างกันทำให้เกิดการตัดออกของวงจร (Tripouts) และขนาดแรงดันความถี่กำลังขณะนั้นซึ่งมีส่วนช่วยเพิ่มผลการตัดออกของวงจรทั้งหมด เมื่อนำค่าในสมการที่ 26, 27 มาใช้งานทำให้กระแสวิกฤตใหม่เมื่อคำนึงถึงความถี่กำลังเป็นไปตามสมการที่ 28, 29

$$(I'_{cn})_2 = \left[\frac{820W - V_{on} \sin(\theta_n - \alpha_n)}{(V_{sn})_2} \right] (I_{cn})_2 \quad (28)$$

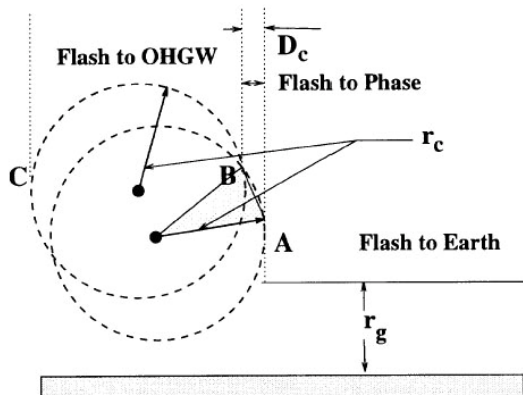
$$(I'_{cn})_6 = \left[\frac{585W - V_{on} \sin(\theta_n - \alpha_n)}{(V_{sn})_6} \right] (I_{cn})_6 \quad (29)$$

| | |
|-------------------------|--|
| เมื่อ $(I'_{cn})_2$ คือ | กระแสวิกฤตที่ทำให้เกิดการวานไฟตามผิวของลูกถ้วยเฟส n เมื่อเวลา 2 ไมโครวินาทีโดยคิดแรงดันความถี่กำลัง (กิโลแอมป์) |
| $(I'_{cn})_6$ | กระแสวิกฤตที่ทำให้เกิดการวานไฟตามผิวของลูกถ้้วยเฟส n เมื่อเวลา 6 ไมโครวินาทีโดยคิดแรงดันความถี่กำลัง (กิโลแอมป์) |
| V_{on} | ขนาดแรงดันค่ายอดจากสายเฟส n ลึงพืนดิน (กิโลโวลต์) |
| θ_n | มุมของแรงดันเฟส n ขณะลับพลัน (Instantaneous voltage angle) |
| α_n | มุมเฟสของแรงดันเฟส n ($0^\circ, -120^\circ, +120^\circ$) |

7. ความน่าจะเป็นในการวานไฟตามผิวหาได้โดยตรงจากการฟุ่มความน่าจะเป็นของฟ้าผ่า เมื่อได้ค่ากระแสฟ้าผ่าวิกฤตจากข้อ 6 ค่าความน่าจะเป็นกระแสฟ้าผ่าตามรูปที่ 15 และจำนวนฟ้าผ่าที่เข้ามาในสายส่ง ดังนี้นั้นจำนวนการวานไฟตามผิวข้อนอกลับจึงหาได้จากผลคูณของทั้งสามค่า โดยให้มีหน่วยเป็นครั้งต่อ 100 ไมล์ต่อปีหรือครั้งต่อ 100 กิโลเมตรต่อปี

การหาสมรรถนะฟ้าผ่าของความล้มเหลวในการชีล์ด

การวานไฟเนื่องจากความล้มเหลวในการชีล์ด ใช้แบบจำลองเรขาคณิตเพื่อหาระยะสุดท้ายสู่ตัวนำของกระแสฟ้าผ่า (Final leader step) ตามภาพที่ 23 โดยทั่วไปสามารถไฟฟ้ากรเดียนท์ (Electric field gradient) รอบๆ ตัวนำมักมีค่าสูงกว่าระดับพื้นดิน ทำให้ $r_c \geq r_g$ เสมอ สำหรับวงกลมรัศมี r_c มีศูนย์กลางที่อยู่ตัวนำไฟฟ้า สายชีล์ด และเส้นแนวอนุกอกกำหนดเป็นระยะทาง r_g ของพื้นดิน ถ้าฟ้าผ่าลงในโถง A,B จะผ่านสู่สายไฟซึ่งมีระยะเป็น D_c ระยะนี้จะลดลงเมื่อกระแสเพิ่มขึ้น ที่กระแสสูงสุดค่าหนึ่งที่ทำให้ $D_c = 0$ และกระแสต่ำสุดค่าหนึ่งที่ทำให้เกิดการวานไฟตามผิวของอนุกอกถ้ายังเป็นค่ากระแสปกติ เมื่ออินทิเกรตผ่านกระแสสองค่านี้ เราจะได้อัตราการวานไฟเนื่องจากความล้มเหลวในการชีล์ดเป็นดังสมการที่ 30 (IEEE Standard 1243, 1997)



ภาพที่ 23 ระยะสุดท้ายเข้าสู่สายตัวนำในแบบจำลองเรขาคณิต

ที่มา: IEEE Standard 1243-1997

$$SFFOR = 2N_g L \int_{I=I_c}^{I=I_{max}} D_c(I) f_l(I) dI \quad (30)$$

| | | |
|----------|-----------|---|
| เมื่อ | SFFOR คือ | จำนวนความล้มเหลวในการชีล์ด (ครั้งต่อ 100 กิโลเมตรต่อปี) |
| N_g | | จำนวนฟ้าผ่าลงดิน; GFD (ครั้งต่อตารางกิโลเมตรต่อปี) |
| L | | ความยาวของสายส่ง (กิโลเมตร) |
| $D_c(I)$ | | ระยะที่เกิดความล้มเหลวในการชีล์ดของกระแสฟ้าผ่า (เมตร) |
| $f_l(I)$ | | ความหนาแน่นของความน่าจะเป็นสำหรับกระแสฟ้าผ่า ลำดับแรก |

| | |
|-----------|---|
| I_c | กระแสไฟฟ้าผ่านวิกฤติต่ำสุดที่ทำให้เกิดการวางไฟตามผิวของ ถนนลูกล้ำวัย (กิโลแอนป์) |
| I_{max} | กระแสไฟฟ้าสูงสุดที่ทำให้ระยะ $D_c(I)=0$ (กิโลแอนป์) |

สำหรับกระแสไฟฟ้าผ่านวิกฤติตามสมการที่ 12 และเส้นร่องรอยเดนซ์ของสายตัวนำซึ่งคิดผลจากโคลโโนนาเป็นไปตามสมการที่ 31

$$Z = 60 \sqrt{\ln \frac{2h}{r} \ln \frac{2h}{R_c}} \quad (31)$$

| | |
|-------|---|
| เมื่อ | Z คือ เส้นร่องรอยเดนซ์ของสายตัวนำที่มีผลจากโคลโโนนา (โอห์ม) |
| h | ความสูงเฉลี่ยของสายตัวนำจากพื้นดิน (เมตร) |
| r | รัศมีของสายตัวนำ (เมตร) |
| R_c | รัศมีโคลโโนนาของสายตัวนำที่สนามไฟฟ้าเกรเดียนท์ 1500 กิโลโวลต์ ต่อมตร (เมตร) |

และสำหรับความหนาแน่นของความนำจะเป็นของกระแสไฟฟ้าลำดับแรก สามารถหาได้จากการกระจายแบบ log-normal ในรูปของฟังชันก์ตามสมการที่ 32

$$f_I(I) = \left(\frac{I}{\sqrt{2\pi} \sigma_{\ln} I} \right) e^{-\frac{1}{2} \left[\frac{\ln(I/\bar{I})}{\sigma_{\ln}} \right]^2} \quad (32)$$

$$I < 20 \text{ kA} \quad \bar{I} = 61.1 \text{ kA} \quad \sigma_{\ln} = 1.33 \quad (32A)$$

$$I > 20 \text{ kA} \quad \bar{I} = 33.3 \text{ kA} \quad \sigma_{\ln} = 0.605 \quad (32B)$$

| | |
|-----------|--|
| เมื่อ | σ_{\ln} คือ ความเบี่ยงเบนมาตรฐานแบบ log |
| \bar{I} | ค่ากลางของกระแสไฟฟ้า (กิโลแอนป์) |

การปรับปรุงสมรรถนะฟ้าผ่าของสายส่งที่มีอยู่

ปัญหาในการปรับปรุงสมรรถนะฟ้าผ่าของสายส่งไฟฟ้ากำลังที่มีอยู่ สิ่งแรกในการวิเคราะห์คือ หาว่าตัวแปรใดที่เปลี่ยนแปลงได้และตัวแปรใดที่เปลี่ยนแปลงไม่ได้ ตัวแปรสำคัญที่ส่งผลต่อสมรรถนะฟ้าผ่า ได้แก่ ภูมิประเทศและการซีด์ตามธรรมชาติของสายส่ง เงื่อนไขของลูกถ่ายที่ใช้งาน การกราดของโครงสร้างเสาส่ง ถ้าการหาความสัมพันธ์ของความขัดข้องทางไฟฟ้าเนื่องจากฟ้าผ่าสามารถระบุตำแหน่งส่วนที่เป็นปัญหาในสายส่งได้ การปรับปรุงจะได้ผลที่มีประสิทธิภาพเด็กว่าการปรับปรุงแก้ไขทั้งหมด รวมถึงควรเพิ่มการตรวจสอบพื้นที่ในเขตแนวสายส่ง ลูกถ่าย และการกราดเสาด้วย ก่อนทำการปรับปรุงสมรรถนะฟ้าผ่า (Chapter4 EPRI Handbook, 2004)

ขั้นตอนหลักในการวิเคราะห์และปรับปรุงสมรรถนะฟ้าผ่าของสายส่งไฟฟ้ากำลังที่มีอยู่สามารถสรุปได้ดังนี้

1. หาสาเหตุความขัดข้องทางไฟฟ้า

- 1.1 หาประวัติความขัดข้องทางไฟฟ้าเนื่องจากฟ้าผ่าโดยใช้ข้อมูลที่มีการบันทึกจากหน่วยงาน
- 1.2 เปรียบเทียบสมรรถนะฟ้าผ่ากับค่าเฉลี่ยของสายส่งนั้นหรือมาตรฐาน
- 1.3 ระบุผลของการขัดข้องทางไฟฟ้าว่าเป็นแบบใด
 - สร้างความเสียหายให้อุปกรณ์หลัก
 - ความขัดข้องเกิดขึ้นเป็นเวลานาน
 - เกิดการทำงานชั่วขณะของเบรกเกอร์

2. หาชนิดและตำแหน่งความขัดข้องทางไฟฟ้าเนื่องจากฟ้าผ่า

- 2.1 พิสูจน์ว่าฟ้าผ่าเป็นสาเหตุความขัดข้องทางไฟฟ้าจริงด้วยวิธี
 - หาความสัมพันธ์เหตุการณ์ขัดข้องและเหตุการณ์ฟ้าผ่าจากข้อมูลระบบการตรวจสอบฟ้าผ่า
 - ใช้ข้อมูลบันทึกสภาพอากาศที่แสดงให้เห็นว่ามีการเกิดพายุในพื้นที่ที่มีเหตุการณ์ขัดข้อง
- 2.2 หาตำแหน่งที่เกิดการรวมไฟตามผิวของลูกถ่ายในสายส่งด้วยวิธี
 - เข้าไปตรวจสอบสายส่ง
 - บันทึกข้อมูลของหน่วยงานที่ดำเนินการแก้ไขเหตุการณ์ขัดข้อง

- ข้อมูล NLDN/FALLS ในกรณีที่มี
 - ข้อมูลที่ถูกบันทึกจากเครื่องรับและเครื่องบันทึกเหตุการณ์กระแสผิดพร่อง (fault)
3. คำนวณสมรรถนะฟ้าผ่าของสายส่งจากข้อมูลการออกแบบที่หาได้
- 3.1 กำหนดคุณภาพของสมรรถนะฟ้าผ่าที่ต้องการว่าจะใช้วิธีการแก้ไขปัญหาหรือออกแบบใหม่ทั้งสายส่ง
 - 3.2 รวบรวมข้อมูลที่จำเป็นในการคำนวณสมรรถนะฟ้าผ่า ได้แก่
 - ประวัติการเกิดเหตุการณ์ขัดข้อง
 - ข้อมูลพื้นฐานในการออกแบบ
 - Plan and Profile และแบบ one line
 - ข้อมูลจากการตรวจสอบสายส่ง
 - การเดินคุณตามแนวสายส่ง
 - ภูมิประเทศ เส้นทางเขตแนวสายส่ง
 - เส้นทางอุปกรณ์ส่วนประกอบในเสารส่ง
 - การกำหนดกราวด์ที่ใช้งาน
 - 3.3 หารูปร่างและภูมิประเทศของสายส่ง ถ้ามีแค่หนังหรือสองรูปแบบ รายละเอียดในการจำลองของเสาทุกต้นก็ไม่จำเป็นต้องใช้
 - 3.4 ระบุค่าอัตราความขัดข้องทางไฟฟ้าที่เป็นมาหมาย
 - 3.5 ระบุข้อจำกัดของต้นทุนที่ใช้
 - 3.6 ถ้ามีโปรแกรม The Fault Analysis and Lightning Location System (FALLS) หากลุ่มเหตุการณ์ขัดข้องที่เกิดขึ้นในสายส่งด้วย
 - 3.7 คำนวณสมรรถนะฟ้าผ่า
 - หาว่าเหตุการณ์ขัดข้องจากการคำนวณเป็นแบบใด ได้แก่ ความล้มเหลวของชุดตัด ภาระไฟตามผิวชั้อนกลับ ภาระไฟเหนี่ยวนำ หรือเกิดความขัดข้องระหว่าง
 - หาว่าตำแหน่งใดในสายส่งที่เหตุการณ์ขัดข้องจากการคำนวณเกิดมากที่สุด
 - เหตุการณ์ขัดข้องจากการคำนวณและเกิดขึ้นจริงเหมือนกันหรือไม่
4. หาตัวแปรที่มีผลกระทบต่อสมรรถนะฟ้าผ่าของสายส่ง
- 4.1 แสดงการวิเคราะห์ตัวแปรที่มีผลกระทบกับสายส่งมากที่สุด

5. ประเมินวิธีการปรับปรุงที่ทำให้เกิดผลประโยชน์มากที่สุด ด้วยวิธีการปรับปรุง การจวน การซึ่งด์ การกราฟ และการเพิ่มอะเรสเตอร์
 - 5.1 ระบุทางเลือกที่เป็นไปได้ในการปรับปรุง
 - 5.2 คำนวณสมรรถนะไฟฟ้าใหม่จากแต่ละทางเลือกที่ปรับปรุง
 - 5.3 แสดงการวิเคราะห์ประโยชน์และต้นทุนที่ให้ประสิทธิผลมากที่สุด
 - 5.4 เลือกทางเลือกที่ทำให้การปรับปรุงเกิดประสิทธิผลมากที่สุด และพิสูจน์ด้วยว่า ทางเลือกนี้จะไม่ส่งผลกระทบกับพื้นที่อื่นในระบบไฟฟ้า

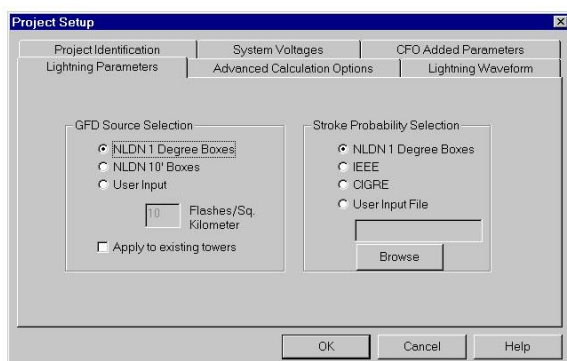
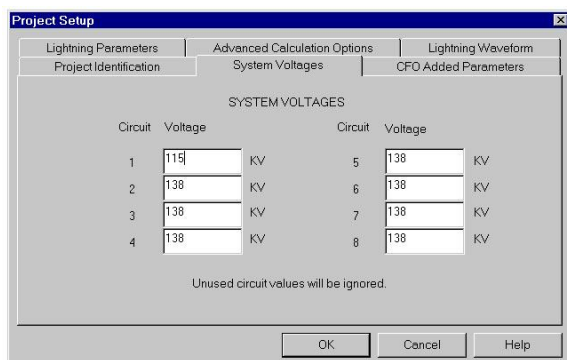
โปรแกรม TFlash และ Arcview GIS

โปรแกรม TFlash

TFlash เป็นโปรแกรมสำหรับค่าสมรรถนะฟ้าผ่าของสายส่งไฟฟ้ากำลัง ซึ่งพัฒนาโดย Electrical Power Research Institute (EPRI) เพื่อวิเคราะห์ผลกราฟจากฟ้าผ่านสายส่ง หากันที่มีปัญหา เปรียบเทียบผลหลังการแก้ไขปัญหาด้วยการปรับปรุงความด้านทันทีฐานเสา การชีลด์ การฉนวน และการใช้อาร์เรสเตอร์ (Arresters) ดังนั้นจึงสามารถวิเคราะห์ค่าสมรรถนะฟ้าผ่าเดิมของสายส่งที่มีอยู่ เพื่อกำหนดวิธีการปรับปรุงค่านี้ให้ดีขึ้น และออกแบบสายส่งใหม่ให้มีการป้องกันฟ้าผ่าที่ประยุกต์ได้ (TFlash Users' Guide, 2000)

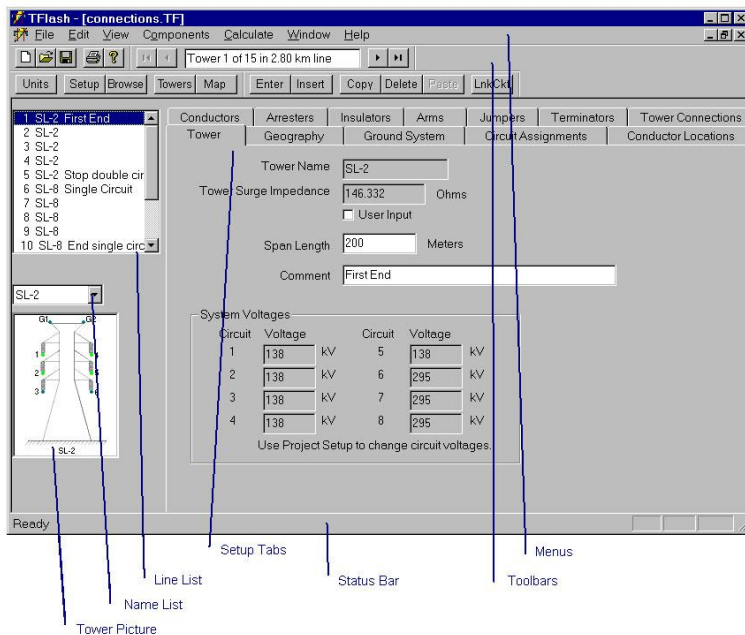
1. ข้อมูลที่จะกำหนดลงในโปรแกรม

- การกำหนดค่าตัวแปรพื้นฐานของสายส่ง ได้แก่ ระดับแรงดัน ค่าสอดคล้องตัวแปรฟ้าผ่า ลักษณะคลื่นฟ้าผ่า และค่าความแข็งแรงของการฉนวนในระบบ



ภาพที่ 24 หน้าต่างการกำหนดตัวแปรพื้นฐานของสายส่ง
ที่มา: TFlash Users' Guide

- การกำหนดค่าต่างๆ ของเสาส่งแต่ละต้น ได้แก่ ลักษณะภูมิประเทศ รูปร่างเสาส่ง
การกราฟ์ ความหนาแน่นไฟฟ้า สายไฟ ชุดลูกถ่าย และอะเรสเตอร์



ภาพที่ 25 หน้าต่างการกำหนดค่าต่างๆ ของแต่ละเสาส่ง

ที่มา: TFlash Users' Guide

2. ขั้นตอนการวิเคราะห์ของโปรแกรม

การคำนวณสมรรถนะของสายส่ง สำหรับโปรแกรม TFlash ใช้หลักการวิเคราะห์ด้วย
การเคลื่อนที่ของคลื่นเพื่อหารังดันคร่อมળวนแต่ละเฟส เวลาของการคำนวณ
แต่ละขั้นเท่ากับ 20 นาโนวินาที กระแสไฟฟ้าถูกจำลองที่หลายตำแหน่ง โดยให้กระแสและ
แรงดันเป็นคลื่นเคลื่อนที่ไปบนสายตัวนำ ซึ่งถูกสะท้อนกลับมาจากเสาข้างเคียงและระบบ
กราวด์ ด้วยวิธีการนี้สามารถวิเคราะห์กับโครงสร้างที่ซับซ้อน ส่วนประกอบที่ไม่เป็นเชิง
เดี่ยวของอะเรสเตอร์และจำนวนลูกถ่ายได้ สำหรับโปรแกรมนี้ใช้หลักการคำนวณทั้ง IEEE
และ CIGRE ซึ่งเป็นวิธีการคำนวณสมรรถนะไฟฟ้าของสายส่งใน Chapter 12, EPRI
Transmission line reference book 345 kV and above หากแรงดันหลังจากเกิดไฟฟ้าผ่าเทียบ
กับรูปแบบการบรรยายของลูกถ่าย สำหรับ TFlash ใช้ค่า Coupling factor = 0.7

3. ค่าตัวแปรสายส่งที่มีผลกับสมรรถนะฟ้าผ่า

3.1 รูปทรงการจัดวางของสายตัวนำ

การจัดวางของสายตัวนำเป็นปัจจัยสำคัญที่มีผลกับสมรรถนะฟ้าผ่า ขนาดและช่องว่างของสายเป็นสิ่งที่แสดงว่าฟ้าผ่ามีโอกาสเข้ามาในสายส่งมากน้อยเพียงใด ช่องว่างของสายสามารถกำหนดการเหนี่ยนนำทางแม่เหล็กไฟฟ้าเมื่อเกิดฟ้าผ่า ความสูงขนาดสาย การทำ bundle ของสายตัวนำส่งผลกับค่าเสิร์จอมพีเดนซ์

สำหรับความด้านทานของสายตัวนำ โดยปกติไม่นำมาใช้คำนวณสมรรถนะฟ้าผ่านี้ ออกจากกรณีเพียงของแรงดันกระแสและกระแสคลื่นฟ้าผ่านี้อยู่กับโคลอโนมามากกว่าความด้านทานของโลหะ โดยเฉพาะกรณีที่ช่วงสาระยะสั้นๆ ความเป็นเหล็กของสายชีลด์และความเป็นอิฐลูมิเนียมของสายไฟจะให้ผลไม่แตกต่างกัน

3.2 รูปร่างเสาส่ง

รูปร่างเสาส่งเป็นตัวแปรสำคัญกับการเพิ่มแรงดันคร่อมจนวนลูกถ้ายังรูปร่างของเสาและความสูงมีการออกแบบหลากหลายขนาด จากเดิมเป็นเสาไม้เสาเดียวที่มีสายดินเพียงหนึ่งเส้น ได้เปลี่ยนเป็นเสาโครงเหล็กสูง ดังนั้นตัวแปรพื้นฐานที่จำเป็นต้องวิเคราะห์ ได้แก่

3.3.1 ความสูงเสา - ความสูงเสาเป็นตัวกำหนดเวลาเคลื่อนที่ของคลื่นจากด้านบนสู่ฐานของเสา ยิ่งถ้าความสูงของเสาเพิ่มเป็นสองเท่า แรงดันคร่อมจนวนลูกถ้ายังเพิ่มขึ้นประมาณสองเท่าด้วย

3.3.2 เสิร์จอมพีเดนซ์เสา - เสาส่งสามารถพิจารณาเวลาเคลื่อนที่ของคลื่นกระแสชั่วครุ่งจากโครงสร้างของเหล็กแต่ละส่วน ได้ ซึ่งส่งผลกับคลื่นกระแสฟ้าผ่าของสายส่งที่เคลื่อนที่ผ่านสายชีลด์ที่ด้านบนเสาลงสู่ดิน ได้ ดังนั้นตัวเสาจึงคล้ายกับสายส่งวางในแนวตั้งหากกับดินที่มีค่าเสิร์จอมพีเดนซ์เป็นตัวกำหนดแรงดันคร่อมเสา และเสิร์จอมพีเดนซ์จะแตกต่างไปตามรูปร่างที่เปลี่ยนไปด้วยทั่วไปแล้วมีค่าประมาณ 150 โอม สำหรับใน TFlash ใช้สมการคำนวณค่าเสิร์จอมพีเดนซ์ตาม CIGRE ที่พัฒนาจาก Chisholm, Chow and Srivastava มีรูปแบบตามสมการที่ 33 ดังนี้

$$Z_{ave} = 60 \ln \left[\cot \left(0.5 \arctan \left(\frac{R_{ave}}{h_1 + h_2} \right) \right) \right] \quad (33)$$

$$R_{ave} = \frac{(r_1 h_1 + r_2 (h_1 + h_2) + r_3 h_1)}{h_1 + h_2} \quad (33A)$$

เมื่อ Z_{ave} คือ เสิร์จอมพีเดนซ์เสานลี่ย (โไอห์ม)

R_{ave} รัศมีเสานลี่ย (เมตร)

r_1 รัศมีเสาส่วนบน (เมตร)

r_2 รัศมีเสาส่วนกลาง (เมตร)

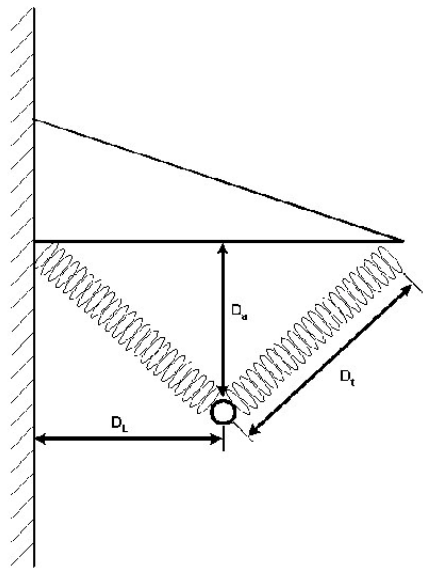
r_3 รัศมีเสาส่วนฐาน (เมตร)

h_1 ความสูงเสากฐานถึงกลางเสา (เมตร)

h_2 ความสูงเสากกลางเสาถึงด้านบน (เมตร)

3.3 ชนวนลูกถ่าย/ช่องว่างอากาศ

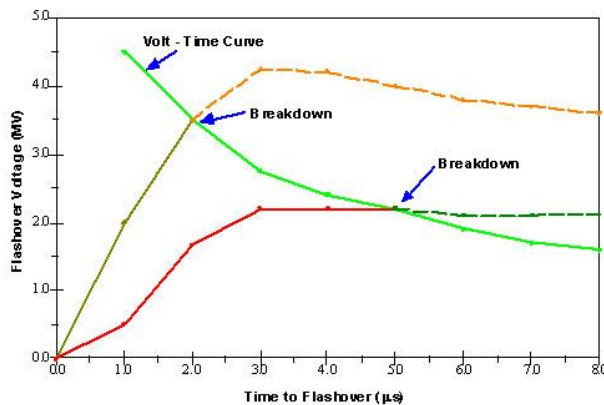
การวบไฟตามผิวจากฟ้าผ่ามักเกิดระหว่าง “โลหะมีไฟ” เช่น สายตัวนำ วงแหวนโคลโโนนา แผ่นเหล็ก เป็นต้น และ “โลหะกราวด์” เช่น ขากองเสา ครอบคลุมตัวแหวนลูกถ่าย เป็นต้น การออกแบบจึงคำนึงถึงการวบไฟแบบเฟส-เฟสจากความขาวของชุดลูกถ่ายเป็นลำดับแรกก่อน ซึ่งควรมีขนาดสั้นที่สุดแต่ทันการวบไฟแบบเฟส-เฟสได้ จากภาพที่ 26 ถ้า D_a และ D_L เป็นระยะจากสายตัวนำสู่ครอบคลุมและขาของเสาตามลำดับ มีค่าน้อยกว่าความขาวการเกิดอาร์กของลูกถ่าย (D_t) ระยะ D_a และ D_L จะกลายเป็นทางเดินของการวบไฟตามผิวแทน ทำให้ระยะตามผิวนวน (creepage distance) ไม่สามารถใช้เป็นทางเดินของการวบไฟเมื่อเกิดฟ้าผ่าได้



ภาพที่ 26 ทางเดินการวาบไฟสำหรับชุดลูกล้อแบบ V-String
ที่มา: TFlash Users' Guide

ปัญหาหลักในการกำหนดช่องว่างหรืออ่อนวนเพื่อthonการวาบไฟจากฟ้าผ่า ความคงทนนี้กำหนดจากรูปร่างคลื่นมาตรฐาน 1.2×50 ไมโครวินาที แต่รูปคลื่นนี้เกิดขึ้นจากฟ้าผ่าน้อยมาก ในโปรแกรมสามารถคำนวณแรงดันคร่อมลูกล้อที่ช่องว่างอากาศจากรูปคลื่นมาตรฐานได้ แต่ไม่สามารถใช้รูปคลื่นเฉพาะบางแบบได้ จึงทำให้ต้องมีวิธีการหาความทนได้ของอ่อนวน 3 วิธี คือ

3.3.1 วิธีกราฟแรงดันเวลา - กราฟแรงดันเวลาที่ได้จากการทดสอบของรูปคลื่นมาตรฐาน 1.2×50 ไมโครวินาทีตามภาพที่ 27 ถ้าการวาบไฟมากกว่ามาตรฐานจากกราฟแรงดันเวลา ลิ่งนี้จะเป็นตัวบอกความล้มเหลวที่เกิดขึ้นและเวลาเบรคดาวน์ วิธีการนี้ง่ายและคำนวณด้วยโปรแกรมได้เร็ว ความแม่นยำลดลงเนื่องจากเป็นรูปคลื่นมาตรฐาน แต่ยังสามารถยอมรับได้



ภาพที่ 27 กราฟแรงดัน-เวลา

ที่มา: TFlash Users' Guide

3.3.2 วิธีดัชนีการทำลาย (Disruptive index) - วิธีการคัดสิ่งเดิมถูกพัฒนาโดย Witzke and Bliss เพื่อประเมินความล้มเหลวของหม้อแปลงกำลังจากอิมพัลส์ฟ้าผ่าไม่เป็นมาตรฐาน แต่สามารถนำมาใช้กับลูกถ่ายหรือช่องว่างอากาศได้ วิธีการนี้กำหนดดัชนีการทำลายตามสมการที่ 34

$$DE = \int [V(t) - A]^B dt \quad (34)$$

เมื่อ DE คือ ดัชนีการทำลาย

V(t) ค่าแรงดันอิมพัลส์นับพลัน

A, B ค่าคงที่ได้จากการทดสอบ

ค่าคงที่ A แทนแรงดันต่ำสุดที่การเบรคดาวน์ซึ่งไม่เกิดขึ้นตลอดรูปคลื่น และเลขยกกำลัง B แสดงให้เห็นว่าการเบรคดาวน์ไม่เป็นเชิงเส้น ถ้า DE มีค่าถึงค่าวิกฤติ การเบรคดาวน์ก็จะเกิดขึ้น

3.3.3 วิธี Leader progression - วิธีการนี้พัฒนาโดย CIGRE เพื่อประเมินความคงทนต่อการawanไฟของลูกถ่ายหรือช่องว่างอากาศจากปร่างคลื่น เป็นการจำลองกระบวนการเบรคดาวน์ สมการนี้ได้จากการทดลองหาค่า corona inception time (t_c), streamer formative time (t_s), leader propagation time (t_l) วิธีการนี้เป็นที่ยอมรับสำหรับช่องว่างอากาศ แต่ใช้ไม่ได้กับชนวนลูกถ่าย ทำให้การคำนวณด้วยโปรแกรมซ้ำกันวิธีอื่น แต่เป็นวิธีที่สุดในการหาความคงทน

3.4 คุณลักษณะการกราดข่องเส้าส่ง

คุณลักษณะการกราดเป็นตัวแปรสำคัญมากต่อสมรรถนะฟ้าผ่าสายส่ง ในพื้นที่มีฟ้าผ่านอยู่เส้าส่งที่มีค่าความต้านทานต่ำจะให้สมรรถนะฟ้าผ่าดีกว่าใช้สายชีลด์หนึ่งหรือสองเส้น ความต้านทานที่ฐานเส้าเปลี่ยนแปลงไปตามความชื้นในดิน และไม่เป็นเชิงเส้นเมื่อมีเสียงเข้ามาในสายส่ง ในที่นี่พฤติกรรมของความต้านทานจะใช้ตาม Weck ดังสมการที่ 35, 36

$$R = \frac{R_o}{\sqrt{1 + \frac{I}{I_c}}} \quad (35)$$

$$I_c = \frac{\rho E_s}{2\pi R_o^2} \quad (36)$$

เมื่อ R คือ ความต้านทานของ ground electrode แบบฉับพลัน (โอห์ม)

- R_o ความต้านทานของ ground electrode ที่กระแสแต่ละความถี่ต่ำ (โอห์ม)
- I กระแสเข้าสู่ ground electrode แบบฉับพลัน (กิโลแอมป์)
- I_c กระแสวิกฤติการเกิดไฟ้อนของ electrode (กิโลแอมป์)
- E_s เกรดเดียนท์การเกิดไฟ้อนของดิน (กิโลโวลต์ต่อมเมตร)
- ρ ความต้านทานดิน (โอห์ม-เมตร)

3.5 เสิร์จอะเรสเตอร์ข่องสายส่ง

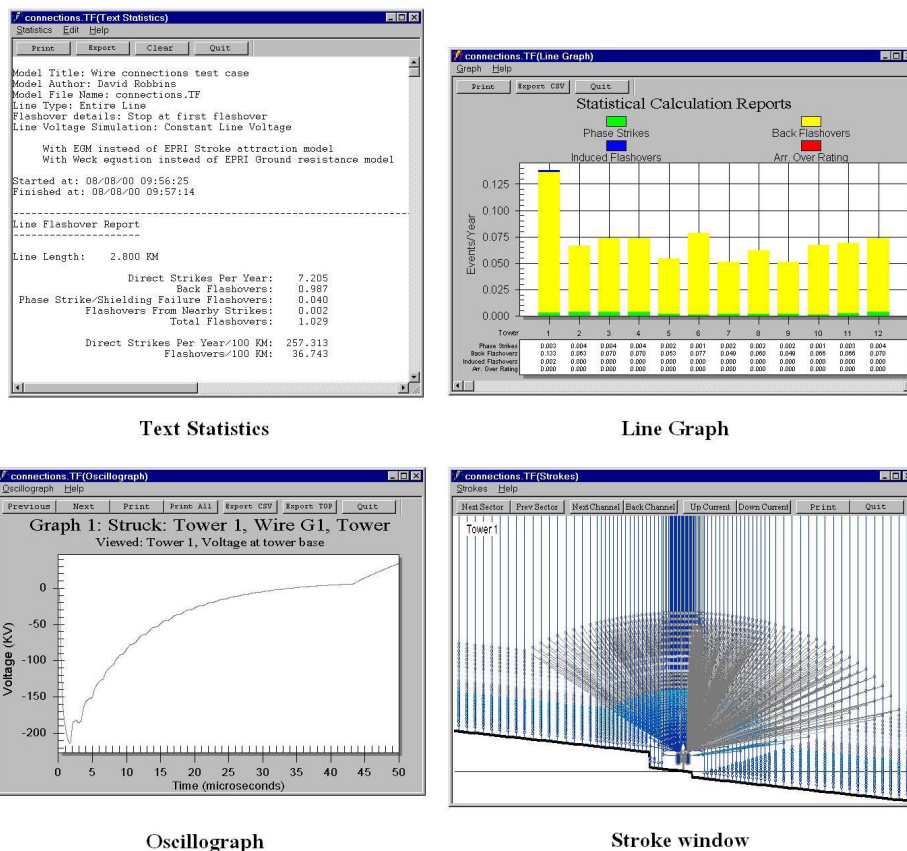
ก่อนทรงครามโลกครั้งที่ 2 “expulsion or protector tubes” ถูกใช้วางคร่อมลูกถ้ายเป็นท่อไฟเบอร์ที่มีโครงสร้างให้เสียหายด้านในก่อนที่ลูกถ้ายจะวางไฟ การอาร์กภายในท่อทำให้เกิดความดันสูง เมื่อกระแสฟ้าผ่าสูงขึ้นอุปกรณ์นี้ก็ไม่สามารถช่วยป้องกันได้ เสิร์จอะเรสเตอร์ที่คร่อมลูกถ้ายใช้กันมากในพื้นที่ที่มีทั้งฟ้าผ่านอยู่และความต้านทานดินสูง บ้างก็ใช้ต่อจากสายชีลด์ไป counterpoise ดังนั้นการใช้เสิร์จอะเรสเตอร์จึงกลายเป็นวิธีเฉพาะสำหรับบริเวณที่ต้องการความเชื่อถือสูง

3.6 ผลกระบวนการของโโคโรนาแบบไม่เป็นเชิงเดือน

โโคโรนาแบบไม่เป็นเชิงเดือนจากสายไฟและสายชีล์ดสามารถเปลี่ยนแปลงแรงดันครัวมูลค่าสูงมากถึง 15% เสิร์จโโคโรนานี้สามารถช่วยลดแรงดันยอดเวลาเดินทางของคลื่นได้

4. ผลลัพธ์ที่ได้จากการโปรแกรม

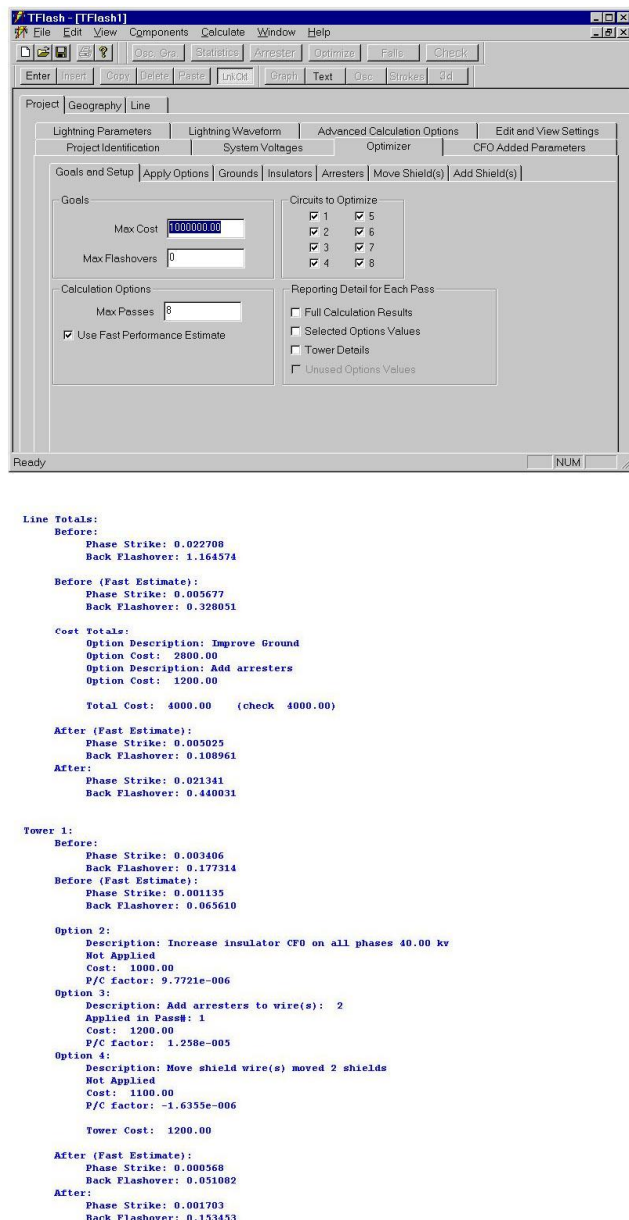
- Text Report Window แสดงข้อมูลที่ได้จากการคำนวณของโปรแกรม
- Line Graph Window แสดงกราฟที่ได้ทางสถิติจากการคำนวณ
- Oscillograph Output Window แสดงผลเป็นกราฟแรงดันของแต่ละเส้าส่าง
- Strokes Window แสดงทิศทางการเกิดฟ้าผ่าที่กระแสฟ้าผ่าค่าต่างๆ



ภาพที่ 28 หน้าต่างผลลัพธ์ที่ได้จากการโปรแกรม TFlash

ที่มา: TFlash Users' Guide

สำหรับ TFlash version 4.0.22 ได้เพิ่มเติมความสามารถในการ Optimize ทางเลือกเพื่อปรับปรุงสมรรถนะฟ้าผ่าสายส่งที่สัมพันธ์กับเงินดันทุน ช่วยให้การปรับปรุงที่ใช้เงินดันทุนได้อ่ายมีประสิทธิภาพมากที่สุด โดยกำหนดค่าความขัดข้องของระบบเป็นจำนวนครั้งต่อปี วงเงินที่ใช้เป็นทุน รวมถึงรายละเอียดของแต่ละทางเลือก การกำหนดค่าและผลที่ได้แสดงไว้ในภาพที่ 29

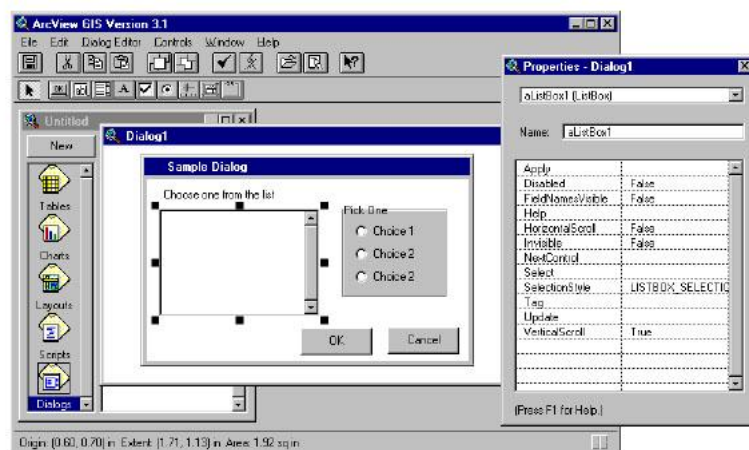


ภาพที่ 29 หน้าต่างการตั้งค่าและผลที่ได้จาก TFlash Optimizer
ที่มา: TFlash Users' Guide

โปรแกรม Arcview GIS

ArcView GIS เป็นโปรแกรม Geographic Information Systems (GIS) โปรแกรมหนึ่งที่ได้รับการพัฒนาจากบริษัท Environmental Systems Research Institute Inc. (ESRI) เพื่อใช้งานในการนำเสนอข้อมูล และเรียกคืนข้อมูล จากโปรแกรม Arc/Info หรือโปรแกรมอื่นๆ ที่สามารถใช้งานได้ง่ายและมีประสิทธิภาพ เนื่องจากการทำงานบนระบบปฏิบัติการของ Windows System ซึ่งมีเมนูต่างๆ แสดงบนหน้าจอ และสามารถเปิดได้หลายหน้าต่าง (Windows) ในระหว่างการทำงาน

โปรแกรม ArcView GIS โปรแกรมแรก คือ ArcView 1.0 สามารถใช้งานได้เฉพาะการนำเสนอในรูปแบบแผนที่เท่านั้น แต่โปรแกรมได้มีการพัฒนาเรื่อยมา ทำให้มีประสิทธิภาพมากขึ้น กล่าวคือ นอกจากผู้ใช้งานจะสามารถใช้งานนำเสนอ และเรียกคืนข้อมูลตามเงื่อนไขต่างๆ แล้ว ยังสามารถใช้ในการผลิตแผนที่ได้เป็นอย่างดี สร้างและแก้ไขข้อมูลทั้งที่เป็นพื้นที่ (Spatial Data) และตารางฐานข้อมูล (Database) ได้ และยังสามารถรับข้อมูลที่จัดเก็บในรูปแบบต่างๆ เช่น AutoCAD (.dwg), Image (.tiff, .bmp, etc.) และสามารถใช้ในการวิเคราะห์ข้อมูลเชิงพื้นที่ (Spatial Analysis) ได้ด้วย โดยการเขียนชุดคำสั่ง (Scripts) หรือใช้โปรแกรมประยุกต์ (ชุดคำสั่งสำเร็จรูป) นอกจากนี้ในการนำเสนอข้อมูลที่ถูกจัดสร้างขึ้น โดย ArcView ที่อยู่ในรูป Shape file ไปใช้งานหรือเผยแพร่ เราสามารถที่จะใช้ Software อื่นๆ เช่น ArcExplorer ซึ่งเป็น Freeware ที่ทางบริษัท ESRI ได้พัฒนาขึ้น และมีความสามารถในการแสดงผลข้อมูล สอบถามและวิเคราะห์ข้อมูล GIS ที่ได้จัดทำขึ้นได้อีกด้วย (gis2me.com, 2006)



ภาพที่ 30 หน้าต่างแรกของโปรแกรม Arcview

ที่มา: ESRI's ArcView 3.x Literature



ภาพที่ 31 การแสดงผลตำแหน่งต่างๆ บนแผนที่ของโปรแกรม Arcview

ที่มา: ESRI's ArcView 3.x Literature

อุปกรณ์และวิธีการ

อุปกรณ์

1. เครื่องคอมพิวเตอร์ส่วนบุคคล (Intel Pentium D 3.0 GHz, Ram 1 GB)
2. ระบบปฏิบัติการ Microsoft Windows XP
3. โปรแกรม TFlash version 3.0.21, version 4.0.22
4. โปรแกรม Arcview GIS version 3.3

วิธีการ

1. เลือกสายส่งเพื่อหาค่าสมรรถนะฟ้าผ่าสายส่งที่มีอยู่จากข้อมูลเหตุการณ์สายส่งไฟฟ้าแรงสูงขัดข้องเนื่องจากฟ้าผ่าจำนวนมากที่สุดของปีพ.ศ. 2548 ของการไฟฟ้าฝ่ายผลิตแห่งประเทศไทยจำนวน 3 ระดับแรงดัน คือ 115, 230, 500 กิโลโวลต์อย่างละ 1 สายส่ง
2. ใช้ข้อมูลฟ้าผ่าจากระบบทามาแน่น ฟ้าผ่าปีพ.ศ. 2548 ของการไฟฟ้าฝ่ายผลิตแห่งประเทศไทย มาวิเคราะห์แนวโน้มการเกิดฟ้าผ่าแบบเมฆลงดินของประเทศไทย โดยนำข้อมูลฟ้าผ่าที่ได้มาสร้างเป็น Shape file บนแพนที่ประเทศไทยด้วยโปรแกรม Arcview GIS
3. นำขั้นตอนจาก Chapter4 of Handbook for Improving Overhead Transmission Line Lightning Performance เพื่อหาค่าสมรรถนะฟ้าผ่าสายส่งที่มีอยู่ด้วยโปรแกรม TFlash version 3.0.21 โดยใช้ความหนาแน่นฟ้าผ่าลงดินต่อพื้นที่ (ครั้งต่อตารางกิโลเมตรต่อปี) ในแต่ละช่วงเสากลาง Shape file ข้อมูลฟ้าผ่าที่ระยะ 0.5, 1 กิโลเมตร วัดจากแนวกึ่งกลางสายส่งออกไปด้านข้างทั้งสองด้าน สำหรับรายละเอียดของสายส่งใช้ค่าจากแบบทางวิศวกรรม และเลือกปรับปรุงสมรรถนะฟ้าผ่าจากสายส่งที่มีค่ามากกว่ามาตรฐาน IEEE 1313.2-1999 clause 5.1 ด้วยการใช้ Optimizer of TFlash version 4.0.22 โดยกำหนดเงินทุนไม่เกิน 1 ล้านบาท

การสร้างฐานข้อมูล

1. ข้อมูลเหตุการณ์สายส่งไฟฟ้าแรงสูงขัดข้องเนื่องจากไฟฟ้าผ่า

ใช้ข้อมูลเหตุการณ์สายส่งไฟฟ้าแรงสูงขัดข้องเนื่องจากไฟฟ้าผ่าของปี พ.ศ. 2548 เพื่อเลือกสายส่งที่มีจำนวนเหตุการณ์ขัดข้องมากที่สุด โดยระบุช่วงเวลาและสถานที่หลักดังภาพที่ 32

ภาพที่ 32 หน้าต่างการค้นหาข้อมูลเหตุการณ์สายส่งไฟฟ้าแรงสูงขัดข้อง
ที่มา: แผนกสมรรถนะระบบไฟฟ้า การไฟฟ้าฝ่ายผลิตแห่งประเทศไทย (2548)

จากข้อมูลปี พ.ศ. 2548 ทำให้เลือกแนวสายส่งได้ 3 แนว คือ

- 115 kV แกลง – จันทบุรี (KLA-CT) จำนวนเหตุการณ์ขัดข้อง 6 ครั้ง
- 230 kV อ่างทอง – ท่าล้าน 3 (AT-TL3) จำนวนเหตุการณ์ขัดข้อง 3 ครั้ง
- 500 kV ไทรน้อย – วังน้อย วงศ์ที่ 3 (SNO-WN#3) จำนวนเหตุการณ์ขัดข้อง 1 ครั้ง

เพื่อหาเหตุการณ์ขัดข้องเฉลี่ยเนื่องจากไฟฟ้าผ่า จึงใช้ข้อมูลย้อนหลัง 5 ปี ตั้งแต่ปี พ.ศ. 2544 – 2548 มีรายละเอียดดังตารางที่ 1

ตารางที่ 1 รายละเอียดเหตุการณ์ขัดข้องเนื่องจากฟ้าผ่าปี พ.ศ. 2544-2548 (ค.ศ. 2001-2005)

| สายส่ง | เวลา | รายละเอียด |
|---------------------------|--------------------|---|
| 115 kV แกลง – จันทบุรี | 2/4/2001 15:02 | 115 kV.Line CT-KLA Trip RC. ทำงานสับติดทั้ง 2 ด้าน หลัก 3-ส. ตรวจพบที่ T.78/1 ฟ้าผ่า Arcing horn |
| | 15/4/2001 12:16 | 115 kV.Line KLA-CT Trip RC. ทำงานสับติด 2 ด้าน ตรวจพบที่ T.69/1 ลูกถักไฟ Flashover เนื่องจากฟ้าผ่า สภาพอากาศมีฝนตก |
| | 6/6/2001 13:12 | 115 kV.Line KLA-CT Trip RC. ทำงานสับติด 2 ด้าน หลัก 2-ส. ตรวจ พบที่ T.78/1 Arcing Horn มีรอย Arc เนื่องจากฟ้าผ่าเสาร์โกรงเหล็ก |
| | 11/6/2001 15:26 | 115 kV.Line KLA-CT Trip RC. ทำงานสับติดด้านเดียวที่ CT. หลัก 2-ส. ตรวจพบที่ T.91/2 Flashover เนื่องจากฟ้าผ่าเสาร์โกรงเหล็ก |
| | 25/7/2001 4:54 | 115 kV.Line CT-KLA Trip RC. สับติด 2 ด้าน ตรวจพบที่ T.62/3 Arcing Horn ไฟฟ้า C มีรอย Arc เนื่องจากฟ้าผ่าเสาร์โกรงเหล็ก |
| | 12/9/2001 10:51 | 115kV.Line CT-KLA Trip RC. ทำงานสับติด 2 ด้าน ตรวจพบที่ T.53/2 Arcing Horn มีรอย Arc เนื่องจากฟ้าผ่า |
| | 5/10/2001 14:16 | 115 kV.Line CT-KLA Trip RC. ทำงานสับติด 2 ด้าน ตรวจพบที่ T.57/1 Arcing Horn มีรอย Arc ไฟฟ้า C เนื่องจากฟ้าผ่าเสาร์โกรงเหล็ก |
| | 8/5/2002 12:40 | 115 kV Line CT-KLA Trip RC. สับติดด้านเดียวที่ KLA หลัก 2-ส. ตรวจพบที่ T.89/3 Arcing Horn ไฟฟ้า A มีรอย Arc เนื่องจากฟ้าผ่า |
| | 5/12/2002 15:48 | 115 kV Line CT-KLA Trip RC ทำงานสับติดทั้ง 2 ด้าน ที่ สฟ. CT ฝนตก LFL. Show Phase C ระยะทาง 13.5 km (เต็ม 57.0 km) ที่ สฟ. KLA ปกติ สาเหตุ หลัก 2-ส. ตรวจพบที่ Tower 91/1 Arcing Horn Phase B มีรอย Arc บริเวณ ต. ทุ่งเบญญา อ. ท่าใหม่ จ. จันทบุรี |
| | 10/5/2003 15:53 | 115 kV Line CT-KLA Trip RC ทำงานสับติดทั้ง 2 ด้าน สาเหตุ หลัก 2-ส. ตรวจสอบพบที่ T.68/2 ไฟฟ้า C และ T.72/2 ไฟฟ้า A,C Arcing Horn มีรอยฟ้าผ่าอุปกรณ์ไม่เสียหาย สภาพอากาศ ที่ สฟ. CT ฝนตก ลมแรง , ที่ สฟ. KLA มีดครึ่ม สรูปไฟดับ ไม่มี |
| | 15/6/2003 3:22 | 115 kV Line CT-KLA Trip RC ทำงานสับติดทั้ง 2 ด้าน สาเหตุ หลัก 2-ส. ตรวจพบที่ Tower 75/2 ลูกถักไฟ Flash Over ทั้ง 3 Phase สภาพอากาศ ฝนตกหนักทั้งสองสฟ. สรูปไฟดับ ไม่มี |

ตารางที่ 1 (ต่อ)

| สายส่ง | เวลา | รายละเอียด |
|---------------------------|---------------------|---|
| 115 kV แกลง – จันทบุรี | 6/9/2003 13:43 | 115 kV Line CT-KLA Trip RC ทำงานสับติดทั้ง 2 ด้าน สาเหตุ ทดสอบ – ส. ตรวจสายส่งพบ ที่ Tower 55/3 Arcing Horn มีรอย Arc สภาพอากาศ ฝนตก ทั้ง 2 สฟ. สรูปไฟดับไม่มี |
| | 16/10/2004 11:00 | 115 kV Line CT-KLA Trip RC. สับติดทั้ง 2 ด้าน สาเหตุ ทดสอบ – ส. ตรวจพบ T 85/2 Arcing Horn Phase C มีรอย Arc สันนิฐานฟ้าผ่าเสาร์โครง สภาพอากาศปกติ ทั้ง 2 สฟ. |
| | 18/5/2005 9:13 | 115 kV Line CT-KLA Trip RC. สับติดทั้ง 2 ด้าน สาเหตุ ทดสอบ – ส. ตรวจพบ Arcing Horn Phase A มีรอย Arc เนื่องจากฟ้าผ่า ที่ Tower 65/3 ต.นายอาม อ.นายอาม จ.จันทบุรี สภาพอากาศ ที่ สฟ.CT มีครึ่ม ที่ สฟ.KLA ฝนตกฟ้าคะนอง |
| | 1/8/2005 9:43 | 115 kV Line CT-KLA Trip RC. สับติดทั้ง 2 ด้าน สาเหตุ หน่วยทดสอบ – ส. ตรวจสอบพบ รอย Arc เนื่องจากฟ้าผ่า ที่ Tower 76/1 เฟส C ห้องที่ ต.วังใหม่ อ.นายอาม จ.จันทบุรี สภาพอากาศ ฝนตก ทั้ง 2 สฟ. |
| | 16/8/2005 2:16 | 115 kV Line CT-KLA Trip RC. สับติดทั้ง 2 ด้าน สาเหตุ หน่วยทดสอบ – ส. ตรวจสายส่งพบ Arcing Horn Phase A,B มีรอย Arc เนื่องจากฟ้าผ่า ที่ Tower 95/2 ต.เขนาวยศรี อ.ท่าใหม่ จ.จันทบุรี สภาพอากาศ ที่ สฟ.CT ฝนตกลมแรง , ที่ สฟ. KLA ปกติ |
| | 28/8/2005 12:52 | 115 kV Line CT-KLA Trip RC. "OFF" อยู่ สาเหตุ ทดสอบ – ส. ตรวจพบที่ Tower 91/1 Arcing Horn เฟส B มีรอย Arc สรูปไฟดับ ที่สฟ. CT 38.7 MW นาน 10 นาที สภาพอากาศ มีครึ่ม ทั้ง 2 สฟ. มี Switching Solid จ่าย 115 kV Line to PEA. ที่ สฟ.CT อยู่ |
| | 4/10/2005 2:11 | 115 kV Line CT-KLA Trip RC. สับติดทั้ง 2 ด้าน ทดสอบ – ส. ตรวจพบ ที่ Tower 63/2 Arcing Horn เฟส C มีรอย Arc สภาพอากาศฝนตก ทั้ง 2 สฟ. |

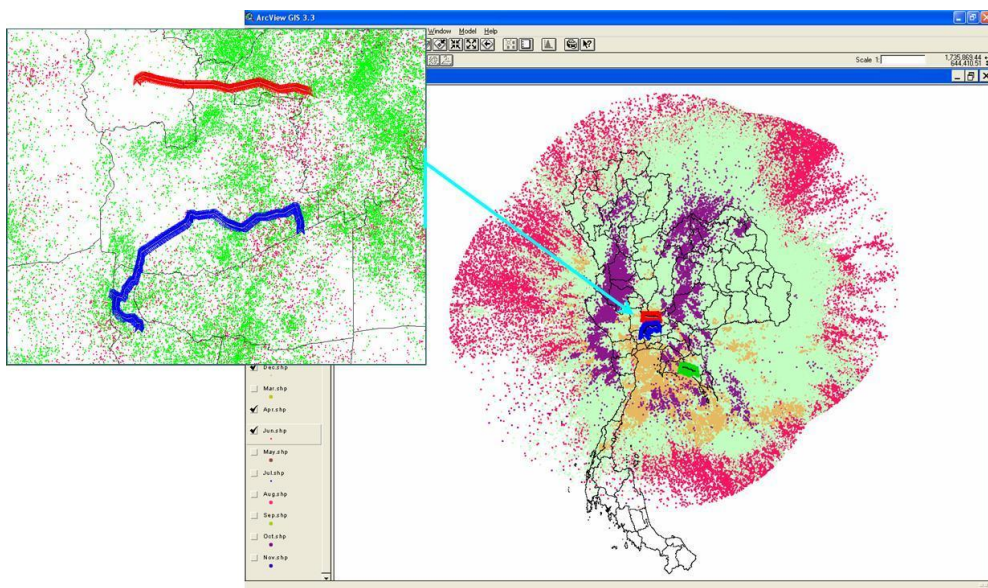
ตารางที่ 1 (ต่อ)

| สายส่ง | เวลา | รายละเอียด |
|--|--------------------|---|
| | 7/10/2005 14:43 | 115 kV Line CT-KLA Trip RC. สับติดห้อง 2 ด้าน สาเหตุ หลัก2-สส. ตรวจสอบที่ Tower 83/2 ลูกถ้วย Phase C Fash Over สภาพอากาศ ที่ สฟ. CT ผนตกล , ที่ สฟ. KLA มีดครึ่ม |
| 230 kV อ่างทอง – ท่าศาลา3 | 24/9/2001 0:55 | 230 kV.Line AT2-TL3#2 Trip RC. ทำงานสับติด2 ด้าน ตรวจสอบที่ T.16/3 ลูกถ้วยมีรอย Flashover เนื่องจากฟ้าผ่า |
| | 13/10/2001 1:24 | 230 kV.Line AT2-TL3#1 Trip RC. ทำงานสับติด 2 ด้าน หลัก3-ส. ตรวจสอบที่ T.21/3 ลูกถ้วย Flashover เนื่องจากฟ้าผ่า |
| | 24/6/2005 18:29 | 230 kV Line AT2-TL3#2 Trip RC. สับติดห้อง 2 ด้าน สาเหตุ หลัก1-สส. ตรวจสอบที่ Tower 39/2 ลูกถ้วย เฟส B Flashover เนื่องจากฟ้าผ่า บริเวณ ต.โโคกใหม่ อ.บ้านหม้อ จ.สระบุรี สภาพอากาศ มีฝนตก ห้อง 2 สฟ. |
| | 13/9/2005 21:27 | 230 kV Line AT2-TL3#1 Trip RC. สับติดห้อง 2 ด้าน สาเหตุ หลัก1-สส. ตรวจสอบที่ Tower 44/1 Phase C ลูกถ้วย Flash Over เนื่องจากฟ้าผ่า สภาพอากาศ ที่ สฟ.TL3 ผนตกล , ที่ สฟ. AT2 มีดครึ่ม |
| | 2/10/2005 20:12 | 230 kV Line AT2-TL3#2 Trip RC. ทำงาน Lockout สาเหตุ หลัก1-สส. ตรวจสอบที่ Tower 40/1 ลูกถ้วย Phase A,B Flashover เนื่องจากฟ้าผ่า สภาพอากาศ ที่ TL3 ผนตกล ที่ AT2 มีดครึ่ม สรุปไม่มีไฟฟ้าดับ |
| 500 kV ไกรน้อย – วังน้อย วชรที่3 | 26/3/2005 17:59 | 500 kV Line SNO-WN No.3 Trip RC สับติด สาเหตุลูกถ้วย Flashover จากฟ้าผ่า ที่ T118/3A เฟส C |

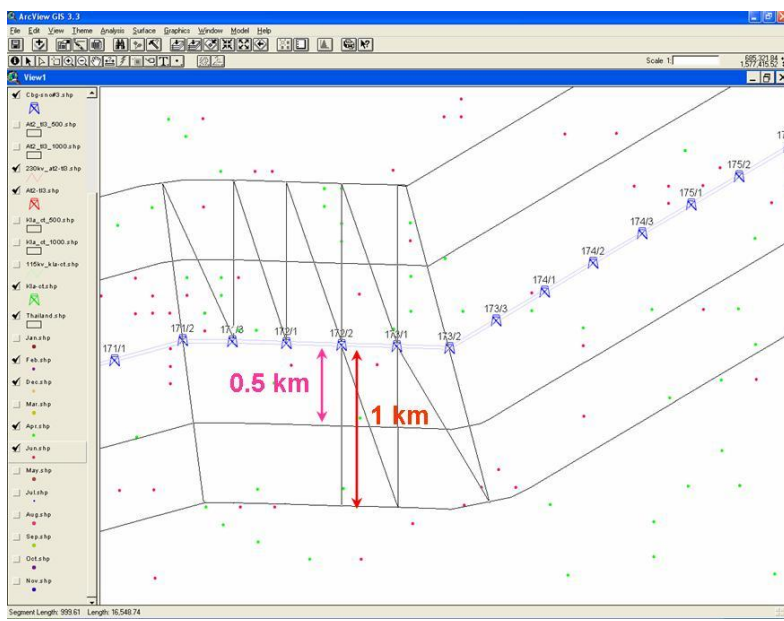
2. ข้อมูลฟ้าผ่า

ใช้ข้อมูลจากระบบทางด้านแผนที่ฟ้าผ่าหาความหนาแน่นฟ้าผ่าเป็นจำนวนครั้งของฟ้าผ่าต่อพื้นที่ในแต่ละช่วงเวลา (ครั้งต่อตารางกิโลเมตรต่อปี) โดยใช้ระยะ 0.5, 1 กิโลเมตรจากแนวกึ่งกลางสายส่งออกไปด้านข้างทั้งสอง

ข้อมูลฟ้าผ่าที่ได้เป็น Text Document ต้องนำไปแปลงให้เป็นไฟล์ Excel Comma Delimited (*. csv) เพื่อสร้างตาราง Attributes และสร้าง Shapefile ด้วยโปรแกรม Arcview เมื่อนำแนวของสายส่งมาวางและสร้างระยะทางออกมายังด้านข้างด้วย Buffer 0.5, 1 กิโลเมตร ทำให้สามารถหาจำนวนฟ้าผ่าได้ดังภาพที่ 33, 34



ภาพที่ 33 แสดงแนวสายส่งบน Shapefile ที่สร้างจากข้อมูลฟ้าผ่า LLS



ภาพที่ 34 การหาจำนวนฟ้าผ่าแต่ละช่วงเส้นของโปรแกรม Arcview

3. รูปร่างเสา

เสาที่ใช้เป็นเสาโถรังเหล็ก (Tower) ประกอบด้วยเหล็กพากสามประกอบกัน มีความสูงไม่ต่ำกว่า 10 เมตร มีฐานราก 4 ขา รูปสี่เหลี่ยม

สำหรับสายสั่ง 115 kV แกลง – จันทบุรี

- เสาโถรังเหล็กแบบบางจรเดียว type SA1, LSA1, SB1, SD1 & SDE

สำหรับสายสั่ง 230 kV อ่างทอง – ท่าคลาน 3

- เสาโถรังเหล็กแบบบางจรคู่ type DA1, LDA1, DB1, DC2, DD2, DDE & DT2

สำหรับสายสั่ง 500 kV ไทรน้อย – วังน้อย วงจรที่ 3

- เสาโถรังเหล็กแบบบางจรคู่ type DL, DM, DH, DT20, DT40, DT60 & DTR



ภาพที่ 35 เสาโครงเหล็กแบบบางจระเดี่ยว
ที่มา: กองวิศวกรรมสายสั่ง การไฟฟ้าฝ่ายผลิตแห่งประเทศไทย (2549)



ภาพที่ 36 เสาโครงเหล็กวงจรคู่
ที่มา: กองวิศวกรรมสายสั่ง การไฟฟ้าฝ่ายผลิตแห่งประเทศไทย (2549)

4. ระยะห่างของแต่ละช่วงเสาและระยะหย่อนสาย (Span and Sag)

สำหรับสายสั้น 115 kV, 230 kV, 500 kV เนพะสามสายสั้นนี้มีค่า Ruling span เท่ากับ 350, 400, 390 เมตร ตามลำดับ แต่สำหรับระยะห่างของช่วงเสาจริงที่ติดตั้งจะใช้ค่าจากแบบ Structure list และมีระยะหย่อนสายที่กึ่งกลางช่วงเสา มีค่าดังนี้

ในที่นี้เลือกใช้ที่อุณหภูมิสูงสุดที่ใช้งาน (Maximum operating temperature) และ

Ambient Temperature 32°C

สำหรับสายสั้น 115 kV แกลง – จันทบุรี

- สายตัวนำไฟฟ้า (65°C) เท่ากับ 10.62 เมตร, สายชีล์ด์ (40°C) เท่ากับ 7.66 เมตร

สำหรับสายสั้น 230 kV อ่างทอง – ท่าลาน3

- สายตัวนำไฟฟ้า (65°C) เท่ากับ 14.80 เมตร, สายชีล์ด์ (40°C) เท่ากับ 4.63 เมตร
- เนพะสำหรับ type LDA1 ที่มีระยะห่างช่วงเสามาก (Ruling span เท่ากับ 550 เมตร) ระยะหย่อนสายของสายตัวนำไฟฟ้า (65°C) เท่ากับ 27.93 เมตร, สายชีล์ด์ (40°C) เท่ากับ 8.76 เมตร

สำหรับสายสั้น 500 kV ไทรน้อย – วังน้อย วงจรที่3

- สายตัวนำไฟฟ้า (75°C) เท่ากับ 15.67 เมตร, สายชีล์ด์ (40°C) เท่ากับ 10.74 เมตร

5. สายตัวนำ

สายตัวนำไฟฟ้าเป็นสายตีเกลี่ยว (Strand) ชนิดอะลูมิเนียมแคนาเหล็ก (Aluminum Conductor Steel Reinforced : ACSR) สายตัวนำดำเนินนอกเป็นอะลูมิเนียมตีเกลี่ยว ภายในเป็นแคนาเหล็กตีเกลี่ยวเพื่อช่วยในการรับแรง

สำหรับสายสั้น 115 kV แกลง – จันทบุรี

- สายตัวนำเป็นสาย 477 MCM ACSR “HAWK” จำนวน Al/St = 26/7
จำนวนสายต่อเฟส = 1 เส้น

สำหรับสายสั้น 230 kV อ่างทอง – ท่าลาน3

- สายตัวนำเป็นสาย 1272 MCM ACSR จำนวน Al/St = 42/7 จำนวนสาย
ต่อเฟส = 1 เส้น

สำหรับสายสั้น 500 kV ไทรน้อย – วังน้อย วงจรที่3

- สายตัวนำเป็นสาย 1272 MCM ACSR จำนวน Al/St = 42/7 จำนวนสายต่อเฟส = 4 เส้น



ภาพที่ 37 สายตัวนำ 1272MCM ACSR

ที่มา: กองวิศวกรรมสายส่ง การไฟฟ้าฝ่ายผลิตแห่งประเทศไทย (2549)

6. สายชีลต์

สายชีลต์หรือบางครั้งเรียกสาย Overhead Ground Wire ; OHGW มีหน้าที่ป้องกันสายตัวนำไฟฟ้าไม่ให้เสียหายเนื่องจากถูกฟ้าผ่า สายนี้จะขึ้งอยู่บนยอดเสาและมีมุนคลอบคลุมสายตัวนำได้ สำหรับสายชีลต์ทั้ง 3 สายส่งนี้เป็นสายเหล็กชุบสังกะสี 7 เส้นตีเกลียว (Galvanized steel wire strand) ขนาดเส้นผ่าศูนย์กลางผิวนอกเท่ากับ 3/8 นิ้ว

สำหรับสายส่ง 115 kV แกลง – ขันทนูรี

- มุนป้องกัน 30° จำนวน 1 เส้น

สำหรับสายส่ง 230 kV อ่างทอง – ท่าลาน 3

- มุนป้องกัน 15° จำนวน 2 เส้น

สำหรับสายส่ง 500 kV ไทรน้อย – วังน้อย วงจรที่ 3

- มุนป้องกัน 8° จำนวน 2 เส้น



ภาพที่ 38 สาย 3/8" OHGW

ที่มา: กองวิศวกรรมสายสั่ง การไฟฟ้าฝ่ายผลิตแห่งประเทศไทย (2549)

7. ลูกถ้วยและอุปกรณ์จับยึด (Hardware Assemblies)

ลูกถ้วยที่ใช้ทำจากกระเบื้องเคลือบ (Porcelain) มีความแข็งแกร่ง บริเวณผิวเคลือบเป็นมันเพื่อให้น้ำฝนชำระสิ่งสกปรกได้ง่าย ลูกถ้วยที่ใช้เป็นลูกถ้วยแขวน (Suspension type insulator) มีลักษณะการต่อเป็นแบบข้อต่อ Ball and Socket type

ชุดอุปกรณ์จับยึดของสายตัวนำและสายชิลค์แบ่งเป็น 2 ชนิดคือ แบบแขวน (Suspension type) และแบบแรงดึง (Tension type) สำหรับชุดอุปกรณ์จับยึดของสายตัวนำซึ่งแบ่งย่อยลงไประดับเป็นแบบแขวนเดี่ยว, แขวนคู่, แบบแขวนรูปตัว V เดี่ยว, แบบแขวนรูปตัว V คู่, แบบแรงดึงเดี่ยว, แบบแรงดึงคู่ การเลือกใช้งานแบบใดก็ขึ้นอยู่กับแรงดึงของสายสั่ง นอกจากนี้ยังมีอุปกรณ์ประกอบสายอื่นๆ เช่น Vibration damper, Spacer เป็นต้น

สำหรับสายสั่ง 115 kV แกลง – จันทบุรี

- ชุดลูกถ้วยแบบแขวนเดี่ยวเป็นลูกถ้วย class 52-3 จำนวน 8 ลูก x 1 แฉ
- ชุดลูกถ้วยแบบแขวนคู่เป็นลูกถ้วย class 52-3 จำนวน 8 ลูก x 2 แฉ
- ชุดลูกถ้วยแบบแรงดึงเดี่ยวเป็นลูกถ้วย class 52-3 จำนวน 11 ลูก x 1 แฉ

สำหรับสายส่ง 230 kV อ่างทอง – ท่าลาน 3

- ชุดลูกถ้วยแบบแนวโน้มเดี่ยวเป็นลูกถ้วย class 52-8 จำนวน 14 ลูก x 1 แฉว
- ชุดลูกถ้วยแบบแนวคู่เป็นลูกถ้วย class 52-8 จำนวน 14 ลูก x 2 แฉว
- ชุดลูกถ้วยแบบแรงดึงเดี่ยวเป็นลูกถ้วย class 52-8 จำนวน 15 ลูก x 1 แฉว
- ชุดลูกถ้วยแบบแรงดึงคู่เป็นลูกถ้วย class 52-8 จำนวน 15 ลูก x 2 แฉว

สำหรับสายส่ง 500 kV ไทรน้อย – วังน้อย

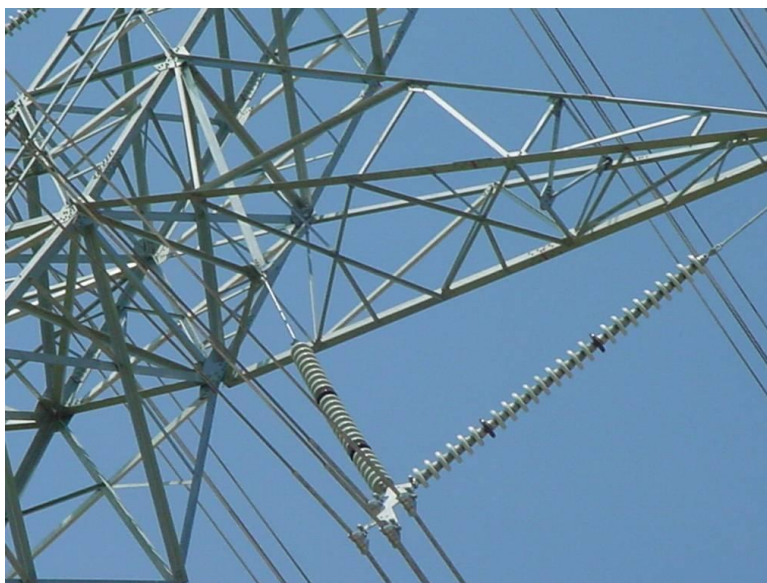
- ชุดลูกถ้วยแบบแนวรูปตัว V เดี่ยวเป็นลูกถ้วย class 52-8 จำนวน 26 ลูก x 2 แฉว
- ชุดลูกถ้วยแบบแนวรูปตัว V คู่เป็นลูกถ้วย class 52-8 จำนวน 26 ลูก x 4 แฉว
- ชุดลูกถ้วยแบบแรงดึงเดี่ยวเป็นลูกถ้วย class 52-8 จำนวน 28 ลูก x 1 แฉว
- ชุดลูกถ้วยแบบแรงดึงคู่เป็นลูกถ้วย class 52-11 จำนวน 27 ลูก x 2 แฉว

เนื่องจากโปรแกรม TFlash ลูกถ้วยที่ใช้จะถูกระบุเป็น Porcelain Standard type
ไม่สามารถออก class ของลูกถ้วยได้ จึงระบุได้เพียงจำนวนลูกถ้วยที่ใช้ต่อเค้าเท่านั้น



ภาพที่ 39 ชุดลูกถ้วยแบบแนวคู่

ที่มา: กองวิศวกรรมสายส่ง การไฟฟ้าฝ่ายผลิตแห่งประเทศไทย (2549)

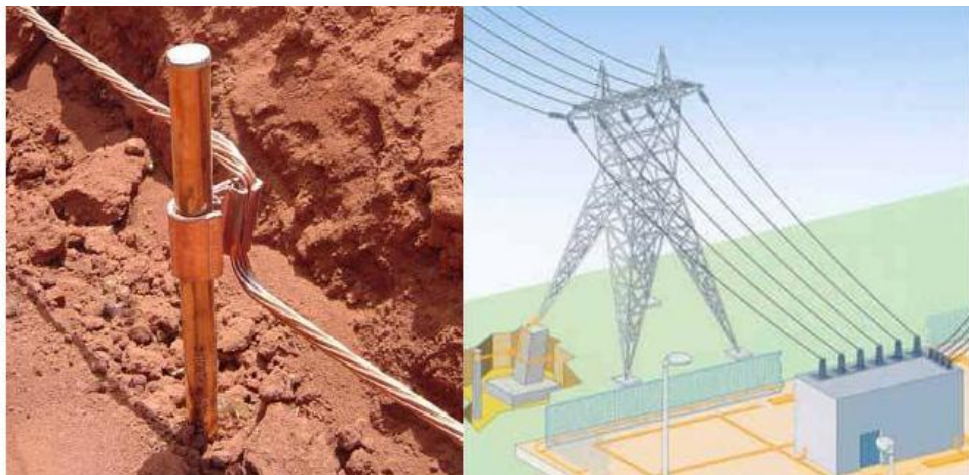


ภาพที่ 40 ชุดลูกถักแบบแขนรูปตัว V

ที่มา: กองวิศวกรรมสายส่ง การไฟฟ้าฝ่ายผลิตแห่งประเทศไทย (2549)

8. การกราว์ด

ระบบการต่อลงดินที่ฐานรากของเสาโครงเหล็ก โดยทั่วไปตามแบบกำหนดให้ทำที่ฐานรากสองฐาน หรือสี่ฐานตามความจำเป็นเพื่อให้ค่าความด้านทานลดลงและสามารถรับประจุถ่ายเทจากตัวเสาลงดินให้มากที่สุด ค่าตามที่กำหนดไว้ของ กฟผ. ไม่เกิน 10 โอห์มทั้งสามแรงดันระบบต่อลงดินประกอบด้วยแท่งสายดิน (Ground rod) สายต่อโดยฐานรากของเสาโครงเหล็ก (Counter poise) ซึ่งฝังอยู่ในดินและมีสายต่อขึ้นติดกับ Stub โดยมี Connecting Ground Plate เป็นตัวยึด กรณีของ 115& 230 kV มีทางเลือกให้ต่อลงดิน 4 แบบ สำหรับ 500 kV มีทางเลือกให้ต่อลงดิน 5 แบบ

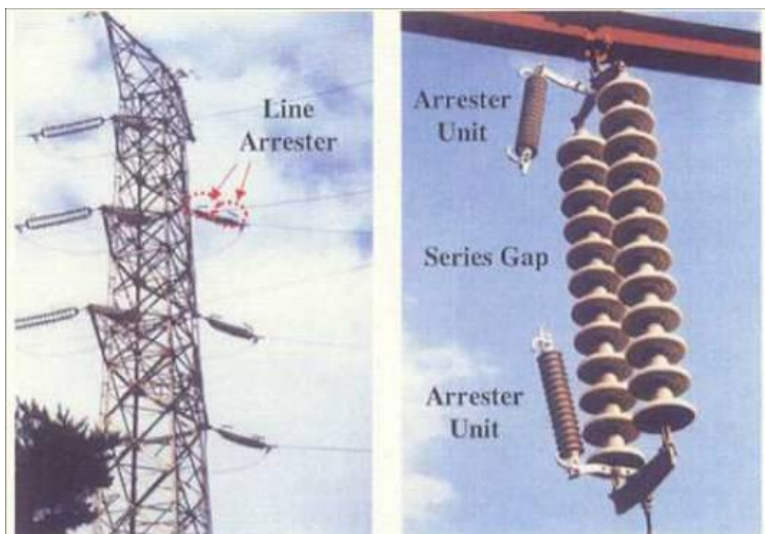


ภาพที่ 41 Ground rod ที่ฝังในดินของสายส่ง

ที่มา: กองวิศวกรรมสายส่ง การไฟฟ้าฝ่ายผลิตแห่งประเทศไทย (2549)

9. อะเรสเตอร์

สำหรับสายส่งของ กฟผ. เดิมไม่มีการใช้อะเรสเตอร์ ในที่นี้การปรับปรุงสมรรถนะ ฟ้าผ่ามีการจำลองการติดตั้งอะเรสเตอร์ ซึ่งเลือกใช้เป็น NGK Arrester ชนิด Zno Series gap แบบ Normal Duty type มีพิกัดแรงดัน 87 kV (เดิมใช้งานกับ 230 kV แต่ประยุกต์ใช้กับ 115 kV)



ภาพที่ 42 ลักษณะการติดตั้งใช้งาน NGK Arrester

ที่มา: NGK Insulators Ltd. (2004)

สำหรับรายละเอียดทั้งหมดของข้อมูลที่จำลองลงในโปรแกรมของทั้ง 3 แนวสายส่งนี้
จะแสดงไว้ในภาคผนวกที่ ก (ตารางผนวกที่ ก1 - ก3)

ผลและวิจารณ์

ผล

1. ผลจากข้อมูลเหตุการณ์สายส่งไฟฟ้าแรงสูงขัดข้องเนื่องจากฟ้าผ่า

1.1 สายส่ง 115 kV แกลง-จันทบุรี (ความยาวสายส่ง 56.085 กิโลเมตร)

ตารางที่ 2 ตารางแสดงเหตุการณ์ขัดข้องเนื่องจากฟ้าผ่าเฉลี่ยของสายส่ง 115 kV KLA-CT

| ปี พ.ศ. | จำนวนครั้งขัดข้องรวม | | จำนวนครั้งขัดข้องเฉลี่ย/ปี/กิโลเมตร | จำนวนครั้งขัดข้องเฉลี่ย/ปี/100กิโลเมตร |
|---------|----------------------|--------------------|-------------------------------------|--|
| | แต่ละปี | เฉลี่ย/ปี/กิโลเมตร | | |
| 2544 | 7 | | | |
| 2545 | 2 | | | |
| 2546 | 3 | 0.0678 | 6.7754 | |
| 2547 | 1 | | | |
| 2548 | 6 | | | |

1.2 สายส่ง 230 kV อ่างทอง2 - ท่าลาน3 (ความยาวสายส่ง 51.414 กิโลเมตร)

ตารางที่ 3 ตารางแสดงเหตุการณ์ขัดข้องเนื่องจากฟ้าผ่าเฉลี่ยของสายส่ง 230 kV AT2-TL3

| ปี พ.ศ. | จำนวนครั้งขัดข้องรวม | | จำนวนครั้งขัดข้องเฉลี่ย/ปี/กิโลเมตร | จำนวนครั้งขัดข้องเฉลี่ย/ปี/100กิโลเมตร |
|---------|----------------------|--------------------|-------------------------------------|--|
| | แต่ละปี | เฉลี่ย/ปี/กิโลเมตร | | |
| 2544 | 2 | | | |
| 2545 | 0 | | | |
| 2546 | 0 | 0.0194 | 1.9450 | |
| 2547 | 0 | | | |
| 2548 | 3 | | | |

1.3 สายส่ง 500 kV ไทรน้อย – วังน้อย วงจรที่ 3 (ความยาวสายส่ง 89.609 กิโลเมตร)

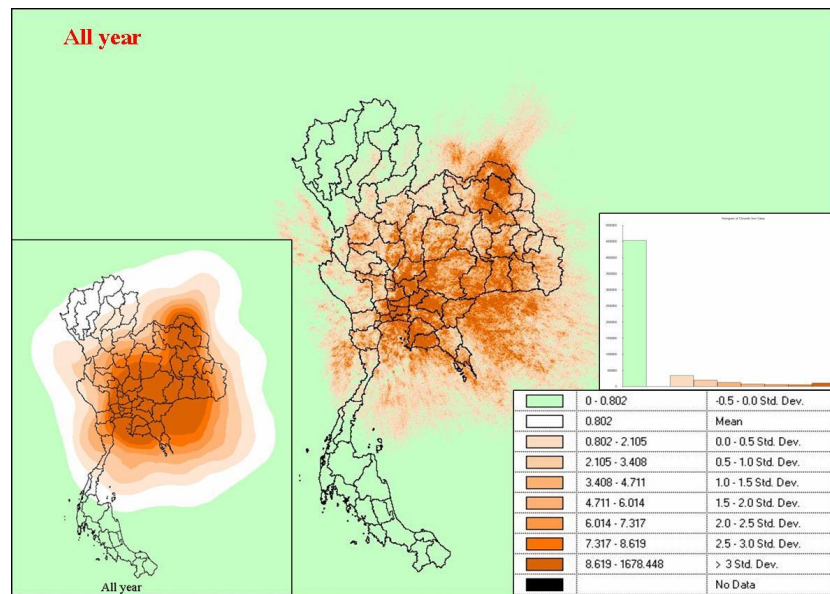
ตารางที่ 4 ตารางแสดงเหตุการณ์ขัดข้องเนื่องจากฟ้าผ่าเฉลี่ยของสายส่ง 500 kV SNO-WN#3

| ปี พ.ศ. | จำนวนครั้งขัดข้องรวม | จำนวนครั้งขัดข้อง | จำนวนครั้งขัดข้อง |
|---------|----------------------|--------------------|------------------------|
| | แต่ละปี | เฉลี่ย/ปี/กิโลเมตร | เฉลี่ย/ปี/100 กิโลเมตร |
| 2544 | 0 | | |
| 2545 | 0 | | |
| 2546 | 0 | 0.0022 | 0.2232 |
| 2547 | 0 | | |
| 2548 | 1 | | |

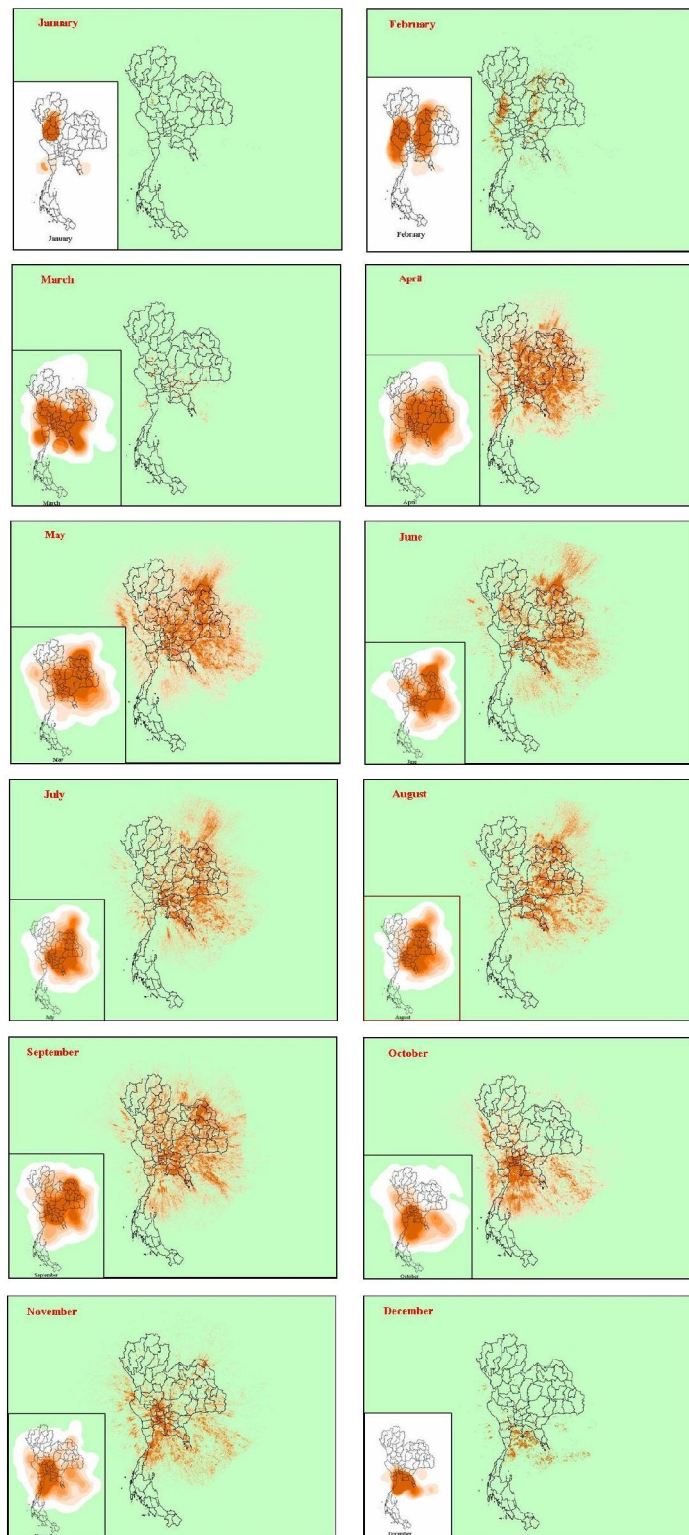
2. ผลจากโปรแกรม Arcview GIS ที่นำมาใช้กับข้อมูลฟ้าผ่า EGAT LLS

2.1 ผลจากการนำข้อมูลฟ้าผ่าปี พ.ศ.2548 มาสร้าง Shape file บนแผนที่ประเทศไทย

2.1.1 แนวโน้มความหนาแน่นฟ้าผ่านพื้นที่ทั้งปีและแต่ละเดือน

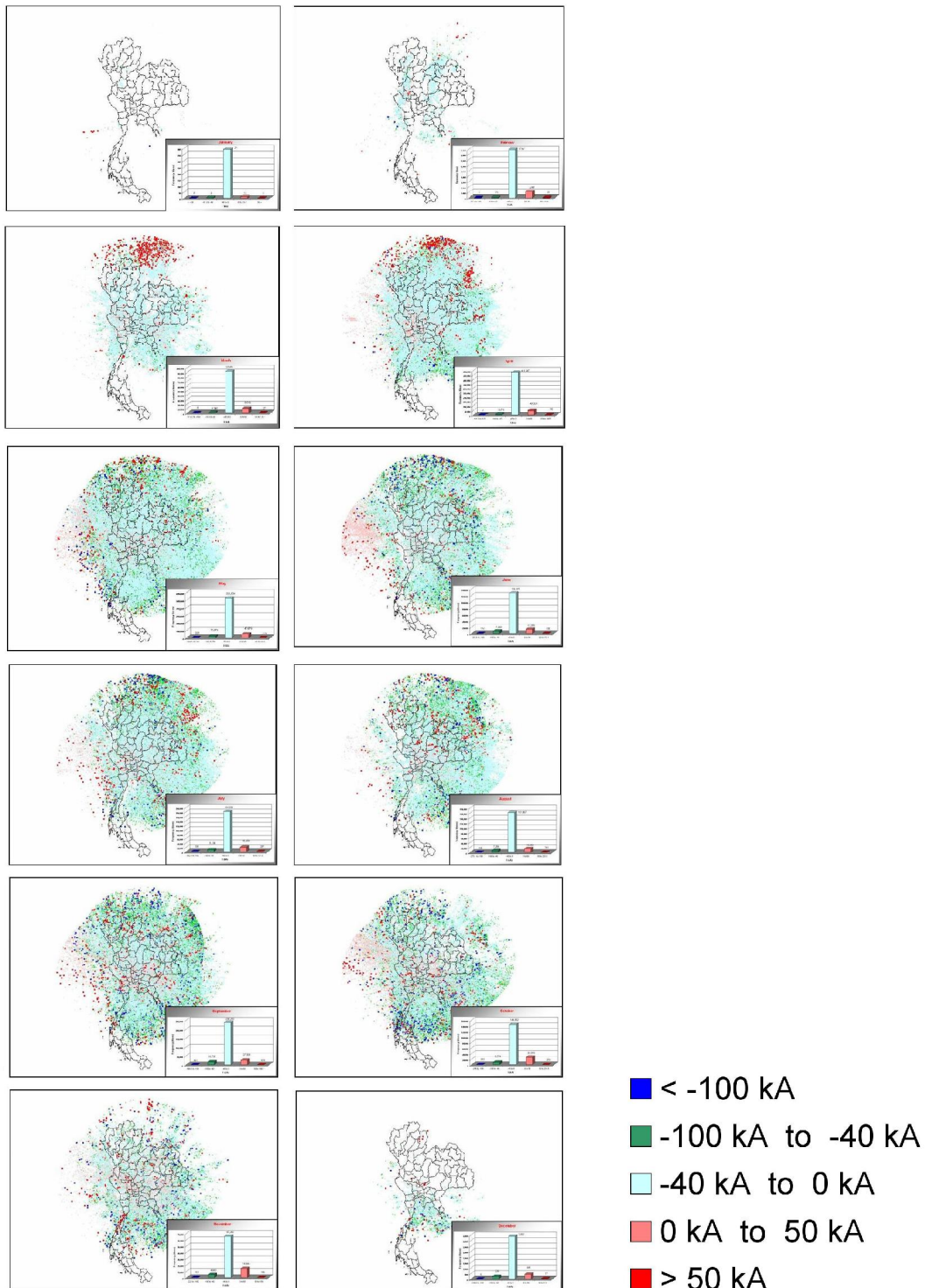


ภาพที่ 43 ความหนาแน่นฟ้าผ่านแบบเมมลังดินทั้งหมดของปี พ.ศ.2548

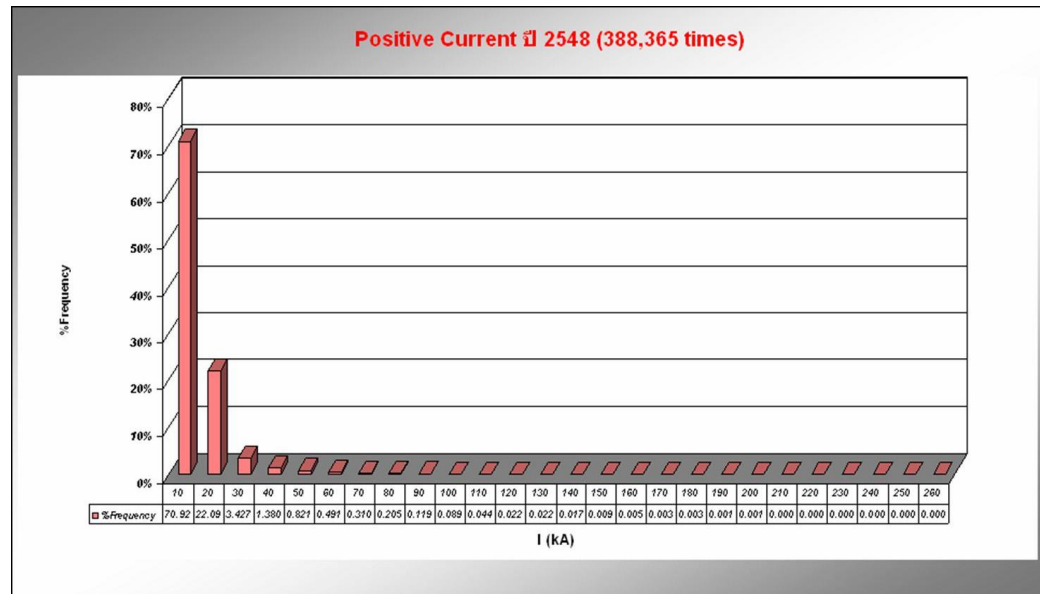


ภาพที่ 44 พื้นที่รainsแบบเมฆลงดินในแต่ละเดือนของปี พ.ศ.2548

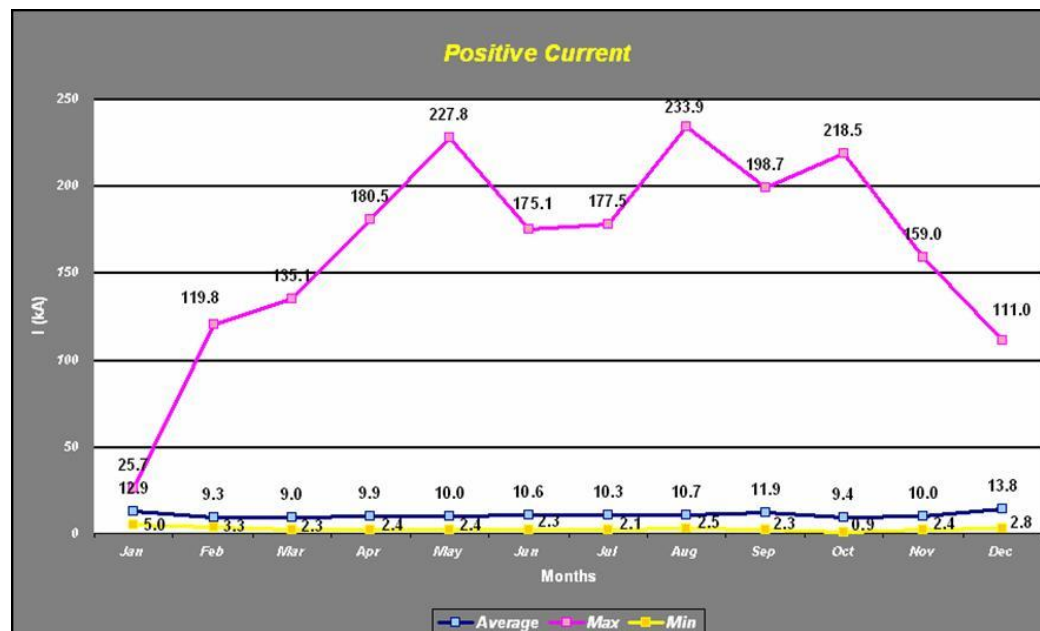
2.1.2 แนวโน้มค่ากระแสฟ้าผ่าของแต่ละเดือน



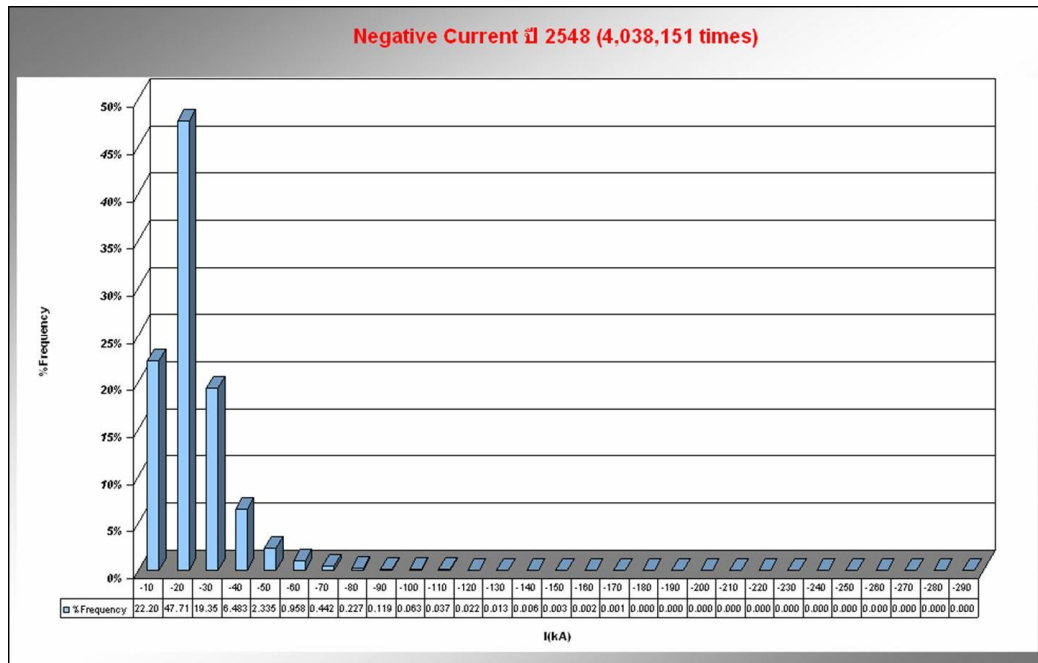
ภาพที่ 45 กระแสฟ้าผ่าที่เกิดขึ้นในปี พ.ศ.2548



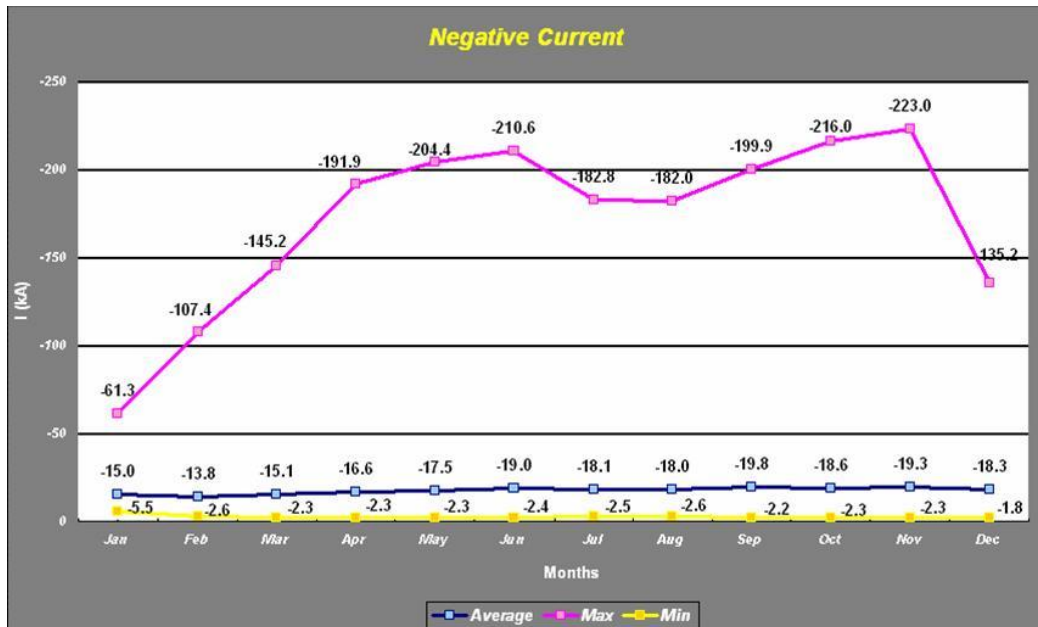
ภาพที่ 46 ความน่าจะเป็นของพ้าผ่าบวกปี พ.ศ.2548 (จำนวนพ้าผ่าบวกทั้งหมด 388,365 ครั้ง)



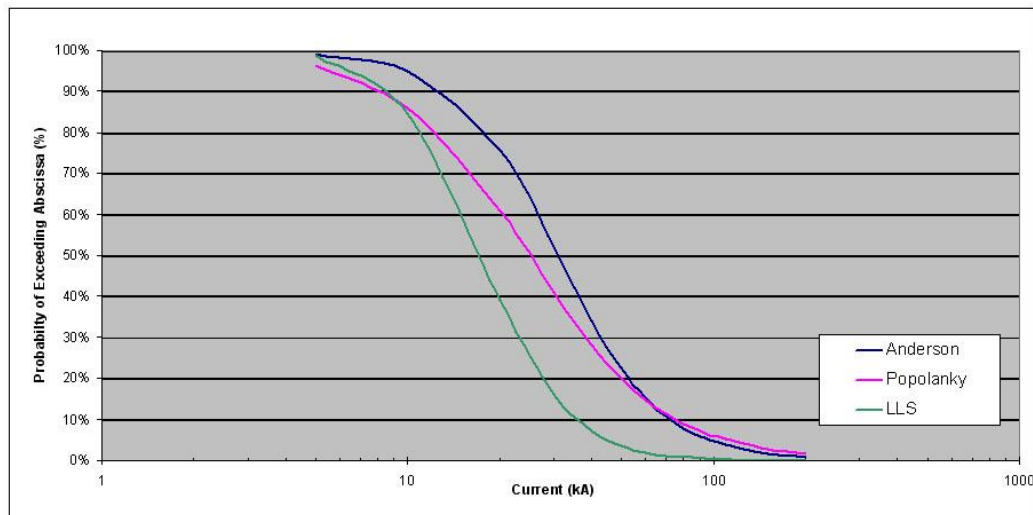
ภาพที่ 47 สรุปค่าสูงสุด-ต่ำสุด-เฉลี่ยของกระแสพ้าผ่าบวกปี พ.ศ. 2548



ภาพที่ 48 ความน่าจะเป็นของฟ้าผ่าลงปี พ.ศ.2548 (จำนวนฟ้าผ่าลงทั้งหมด 4,038,151 ครั้ง)



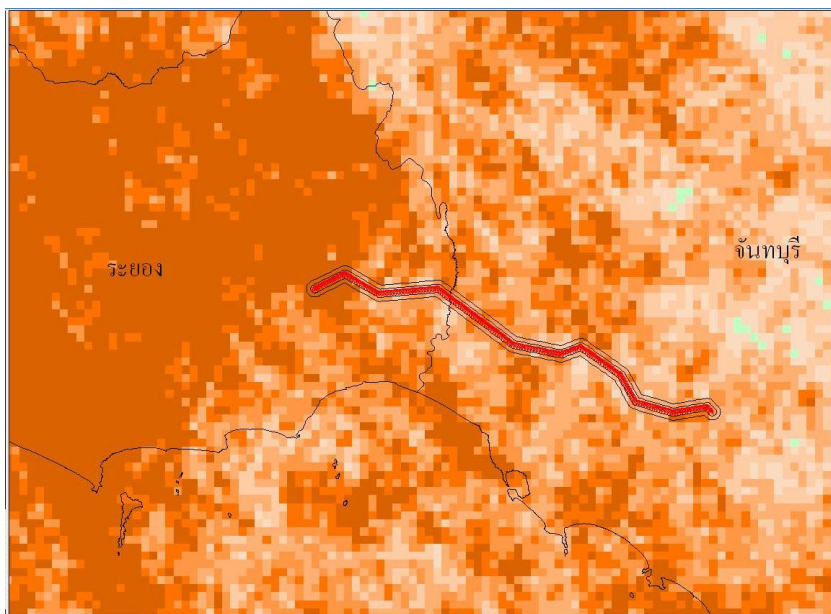
ภาพที่ 49 สรุปค่าสูงสุด-ต่ำสุด-เฉลี่ยของกระแสฟ้าผ่าลงปี พ.ศ.2548



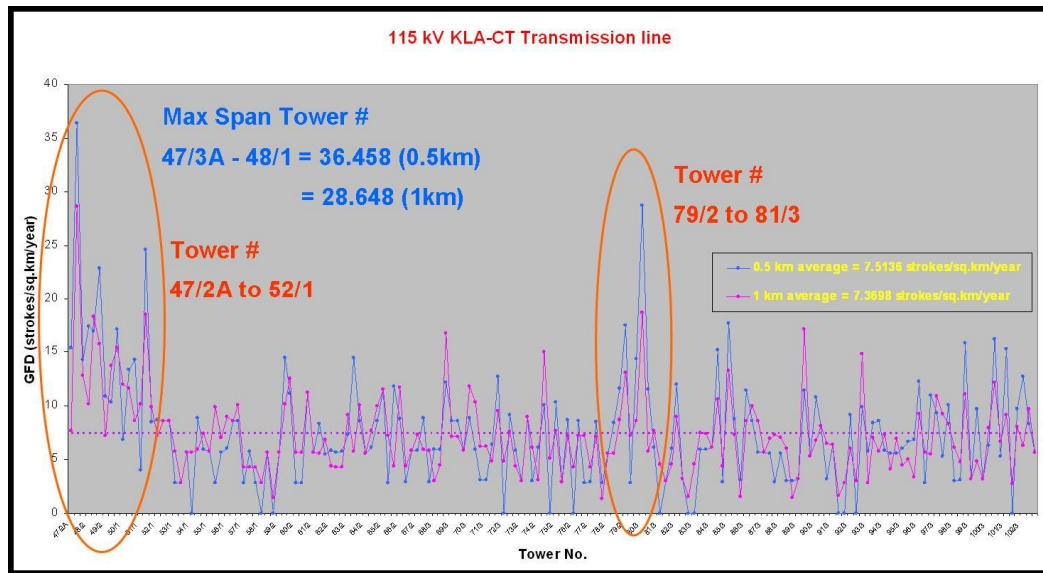
ภาพที่ 50 เปรียบเทียบความน่าจะเป็นของกระแสฟ้าผ่า LLS, CIGRE, IEEE

2.2 จำนวนฟ้าผ่าลงดิน (ครั้งต่อตารางกิโลเมตรต่อปี) ของแต่ละช่วงเสาที่ระยะ 0.5, 1 กิโลเมตร จากแนวกึงกลางสายส่งออกไปด้านข้างทั้งสองด้าน

2.2.1 สายส่ง 115 kV แกลง-จันทบุรี

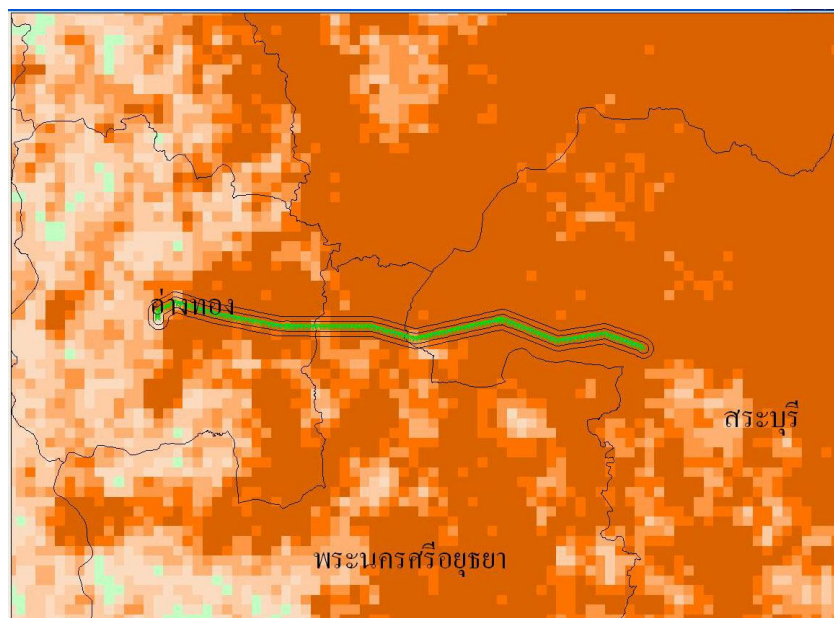


ภาพที่ 51 ความหนาแน่นฟ้าผ่านบนแนวสายส่ง 115 kV KLA-CT

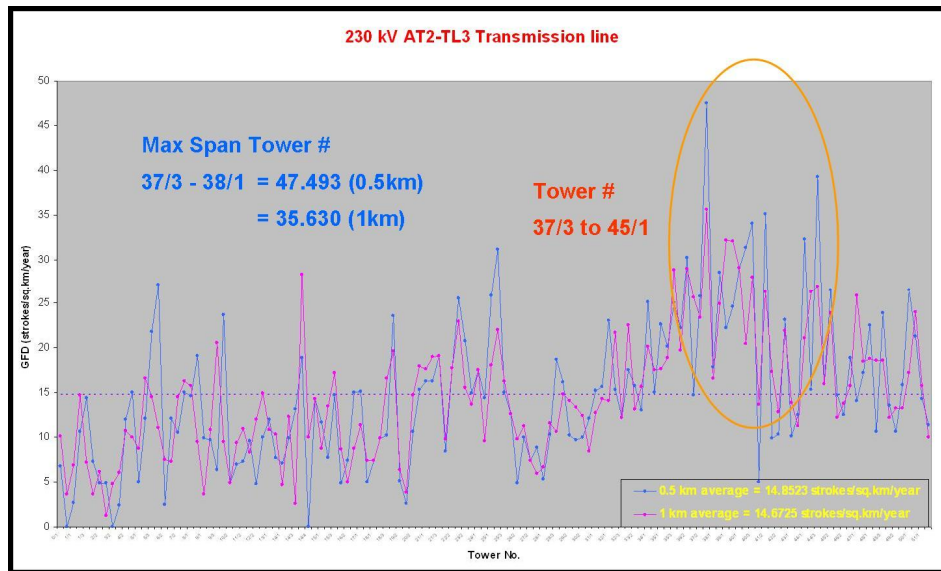


ภาพที่ 52 เปรียบเทียบความหนาแน่นฟ้าผ่าที่ระยะ 0.5, 1 กิโลเมตรของสายส่ง 115 kV KLA-CT

2.2.2 สายส่ง 230 kV อ่างทอง2 - ท่าลาน3

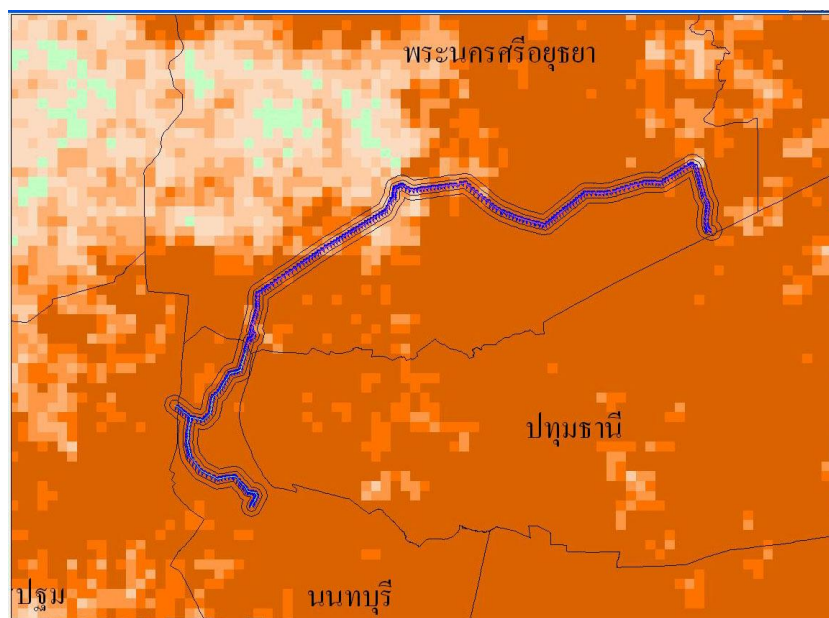


ภาพที่ 53 ความหนาแน่นฟ้าผ่านบนแนวสายส่ง 230 kV AT2-TL3

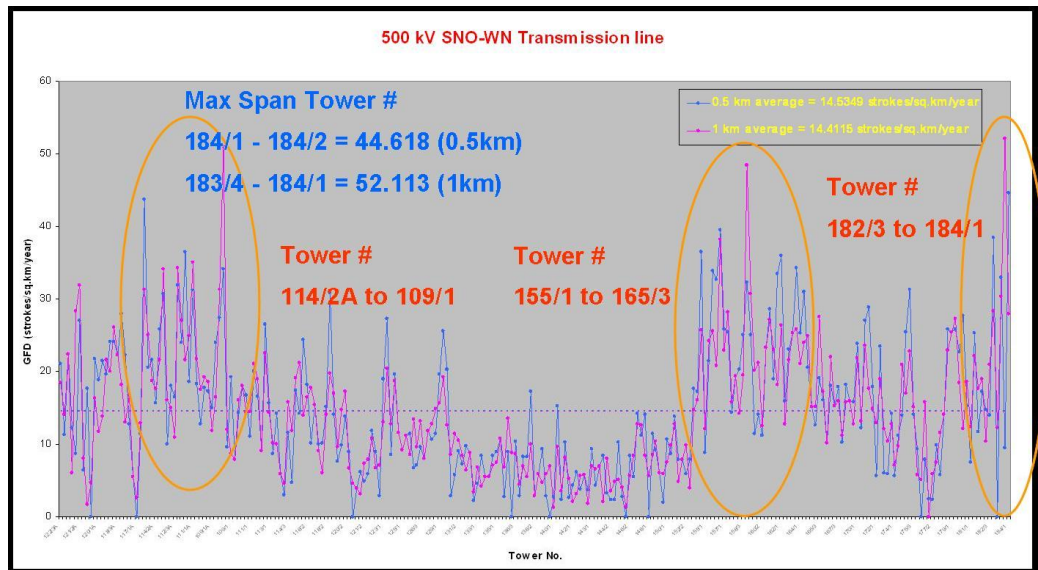


ภาพที่ 54 เมริยนเทียบความหนาแน่นฟ้าผ่าที่ระยะ 0.5, 1 กิโลเมตรของสายส่ง 230kV AT2-TL3

2.2.3 สายส่ง 500 kV ไทรน้อย – วังน้อย วงจรที่ 3



ภาพที่ 55 ความหนาแน่นฟ้าผ่าบนแนวสายส่ง 500 kV SNO-WN#3



ภาพที่ 56 เปรียบเทียบความหนาแน่นฟ้าผ่าที่ระยะ 0.5, 1 กิโลเมตรของสายส่ง 500kV SNO-WN#3

สำหรับรายละเอียดความหนาแน่นฟ้าผ่าที่ระยะ 0.5, 1 กิโลเมตรทุกช่วงเสาของทั้ง 3 แนวสายส่ง (พ.ศ.2548) จะแสดงไว้ในภาคผนวกที่ ก (ตารางผนวกที่ ก1 - ก3)

3. ผลจากการปรับปรุงสมรรถนะฟ้าผ่าสายส่งตามวิธีการ EPRI Handbook และโปรแกรม TFlash

3.1 สาเหตุความขัดข้องทางไฟฟ้า

3.1.1 ความขัดข้องทางไฟฟ้านี้องจากฟ้าผ่าใช้ข้อมูลจากแผนกสมรรถนะระบบไฟฟ้า การไฟฟ้าฝ่ายผลิตแห่งประเทศไทย ซึ่งแสดงรายละเอียดตามตารางที่ 1

3.1.2 เปรียบเทียบสมรรถนะฟ้าผ่าโดยใช้ค่าเฉลี่ยของสายส่งทั้งสาม (ตารางที่ 2-4)
กับมาตรฐาน IEEE 1313.2-1999 clause 5.1

ตารางที่ 5 แสดงการเปรียบเทียบค่าเฉลี่ยสมรรถนะฟ้าผ่ากับมาตรฐาน IEEE

| สายส่ง | จำนวนครั้งเหตุการณ์ขัดข้อง (พ.ศ. 2544-2548) เฉลี่ย/ปี/100 กิโลเมตร | ค่าที่ระบุใน IEEE เฉลี่ย/ปี/100 กิโลเมตร |
|-----------------|---|---|
| 115 kV KLA-CT | 6.7754 | 20 |
| 230 kV AT-TL3 | 1.9450 | 20 |
| 500 kV SNO-WN#3 | 0.2232 | 0.5 |

3.1.3 ผลของความขัดข้องทางไฟฟ้าเมื่อพิจารณารายละเอียดจากตารางที่ 1 สามารถสรุปเป็นจำนวนครั้งและเหตุการณ์ที่เกิดขึ้นได้ดังนี้

ตารางที่ 6 สรุปจำนวนครั้งและเหตุการณ์ขัดข้องเนื่องจากฟ้าผ่าที่เกิดขึ้น พ.ศ. 2544-2548

| เหตุการณ์ขัดข้อง | 115 kV KLA-CT | 230 kV AT-TL3 | 500 kV SNO-WN#3 |
|--|---------------|---------------|-----------------|
| จำนวนเหตุการณ์เนื่องจากฟ้าผ่าทั้งหมด | 19 | 5 | 1 |
| ไฟดับ | 1 | 0 | 0 |
| Trip Recloser | 19 | 5 | 1 |
| Arcing Horn มีรอย arc | 14 | 0 | 0 |
| ถูกถ่าย flashover | 3 | 5 | 1 |
| Distance Relay ทำงานแสดงจุดที่เกิด fault | 1 | 0 | 0 |

3.2 หานิດและดำเนินการขัดข้องทางไฟฟ้านี้องจากฟ้าผ่า

3.1.1 พิสูจน์ว่าฟ้าผ่าเป็นสาเหตุความขัดข้องจริงโดยใช้ข้อมูลบันทึกสภาพอากาศจากรายละเอียดตารางที่ 1

ตารางที่ 7 สภาพอากาศในเหตุการณ์ขัดข้องเนื่องจากฟ้าผ่า พ.ศ.2544-2548

| สภาพอากาศ | 115 kV KLA-CT | 230 kV AT-TL3 | 500 kV SNO-WN#3 |
|------------|---------------|---------------|-----------------|
| เกิดฟ้าผ่า | 12 | 5 | 1 |
| ฝนตก | 10 | 2 | 0 |
| มีคลื่นลม | 4 | 2 | 0 |
| ปกติ | 3 | 0 | 0 |
| ไม่ระบุ | 7 | 2 | 1 |

หากความสัมพันธ์ระหว่างเหตุการณ์ขัดข้องที่เกิดขึ้นจริงและเหตุการณ์ฟ้าผ่าจากข้อมูลระบบ การหาตำแหน่งฟ้าผ่า ในที่นี่มีข้อมูลตำแหน่งฟ้าผ่าจากระบบ EGAT LLS (เวลาที่ระบุเป็น GMT Time = เวลาประเทศไทย - 7) มีเพียงปี พ.ศ.2548 เท่านั้น นำมาใช้กับโปรแกรม Arcview GIS หากความสัมพันธ์โดยเบริยบเทียบตำแหน่งที่เกิดเหตุการณ์ขัดข้องกับตำแหน่งฟ้าผ่าที่เป็นไปได้จาก เวลา ระยะทาง ขนาดกระಡี่ฟ้าผ่า

นอกจากนี้ยังใช้ Stroke window ของโปรแกรม TFlash version 4.0.22 ตรวจสอบว่าขนาด กระಡี่ฟ้าผ่าทำให้เกิดการวานไฟแบบใด โดยเบริยบเทียบระยะทางจากเส้นถึงตำแหน่งฟ้าผ่า (D_T) หรือระยะทางจากแนวสายส่งถึงตำแหน่งฟ้าผ่า (D_L) ว่าอยู่ในช่วงใดของ X-Distance ซึ่งแบ่งเป็น ช่วงดังนี้ (ระบบการหาตำแหน่งฟ้าผ่านมีความคลาดเคลื่อนของระยะทางประมาณ 500 เมตร)

- อยู่ในช่วงที่มีโอกาสฟ้าผ่าลงสายชีล์ด → Back flashover (BFO)
- อยู่ในช่วงที่มีโอกาสฟ้าผ่าลงสายเฟส → Shielding failure flashover (SFO)
- ไม่อยู่ในช่วงใดเลย → ระบุไม่ได้ว่าเป็นการวานไฟแบบใด

ตารางที่ 8 แสดงการเปรียบเทียบเหตุการณ์ฟ้าผ่าและเหตุการณ์ขัดข้องของสายส่ง 115kV KLA-CT

| เหตุการณ์ขัดข้อง (ตารางที่ 1) | | | | เหตุการณ์ฟ้าผ่าจาก EGAT LLS (Arcview GIS) | | | | | Stroke window (TFlash) | | |
|-------------------------------|------|-------------------|-------------|---|---------------|------------|---------------------|---------------------|------------------------|----------------|------------------|
| เสา ต้นที่ | ไฟล์ | เวลา ประเทศไทย | GMT Time | GMT Time | Δ Time | กระแส | ระยะทาง | ระยะทาง | ระยะห่างจาก | ไฟล์ที่มีโอกาส | ชนิดการ วานไฟ |
| | | | | | | ฟ้าผ่า | จากเสา | จากแนวสายส่ง | ฟ้าผ่าถึงเสาส่ง | ฟ้าผ่านเข้ามา | |
| | | | | | | I (kA) | D _T (km) | D _L (km) | X (m) | | |
| 65/3 | | | | | | | | | | | |
| C | A | 18/5/2005 | 18/5/2005 | | | | | | 108 | C | |
| A | | 9:13 | | 2:13 | 2:26:32.101 | 13:32.101 | 29.0 | 7.67 | 6.88 | | ระบุไม่ได้ |
| B | | | | | | | | | 108 > | G | |
| 76/1 | | | | | | | | | | | |
| C | C | 1/8/2005 | 1/8/2005 | | | | | | | | |
| A | | 9:43 | | 2:43 | 2:40:30.527 | -02:29.473 | -112.5 | 8.21 | 0.31 | 168 > | G BFO |
| B | | | | | | | | | | | |
| 95/2 | | | | | | | | | | | |
| A | A,B | 16/8/2005 | 15/8/2005 | | | | | | | | |
| B | | 2:16 | | 19:16 | 19:19:17.701 | 03:17.701 | -33.5 | 1.86 | 0.42 | 100.5 > | G BFO |
| C | | | | | | | | | | | |

ตารางที่ 8 (ต่อ)

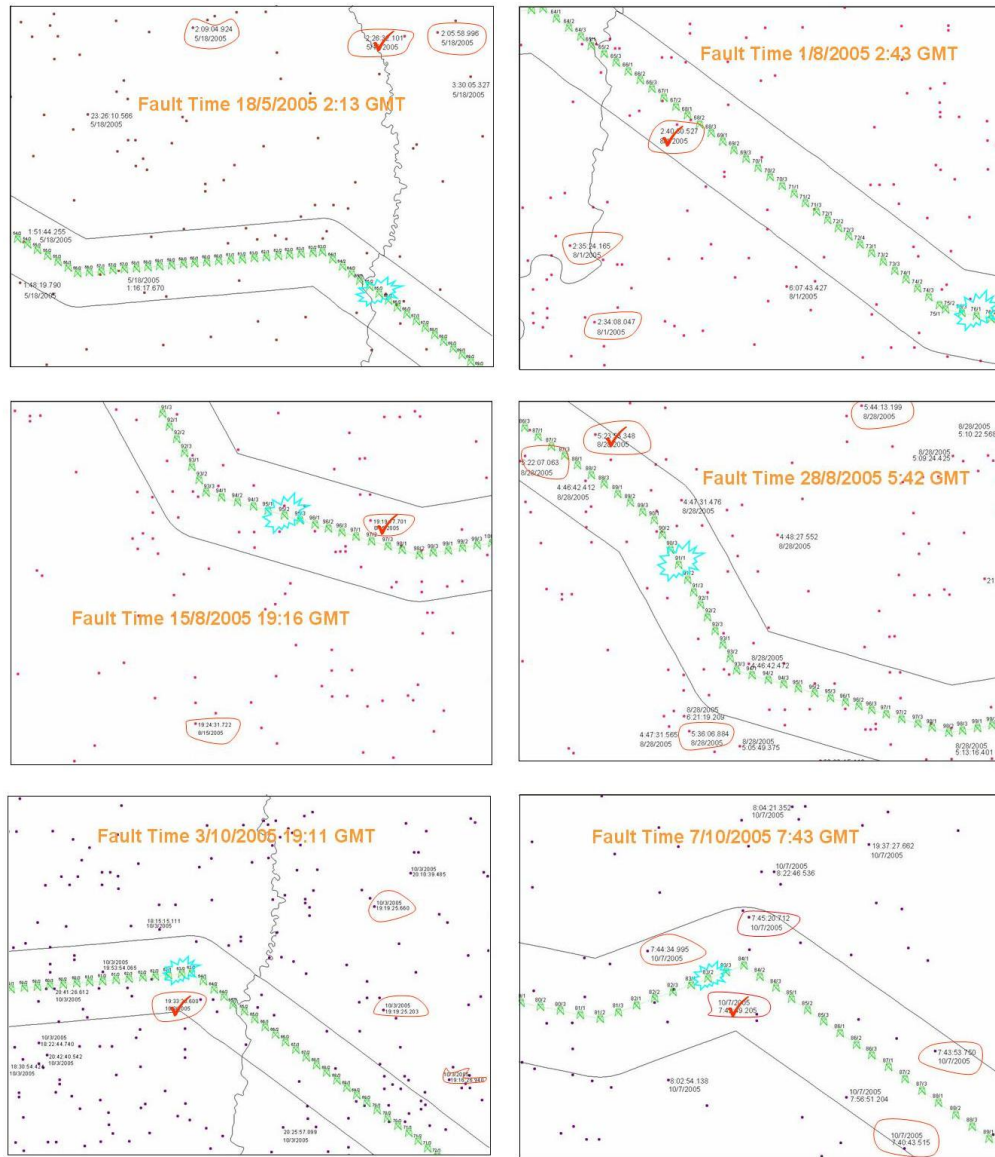
| เหตุการณ์ขัดข้อง (ตารางที่ 1) | | | | เหตุการณ์ฟ้าผ่าจาก EGAT LLS (Arcview GIS) | | | | | Stroke window (TFlash) | | |
|-------------------------------|---------------------|---------------------|-------------|---|---------------|------------|---------|---------------|------------------------|--------------|------------|
| เสา ต้นที่ | ไฟสี | เวลา ประเทศไทย | GMT Time | GMT Time | Δ Time | กระแส | ระยะทาง | ระยะทาง | ระยะห่างจาก | ไฟที่มีโอกาส | ชนิดการ |
| | | | | | | ฟ้าผ่า | จากเสา | จากแนวสายสั่ง | ฟ้าผ่าถึงเสาสั่ง | ไฟผ่านเข้ามา | วางไฟ |
| I (kA) | D _T (km) | D _L (km) | X (m) | | | | | | | | |
| 91/1 | | | | | | | | | 95.5 | B | |
| A | B | 28/8/2005 | 28/8/2005 | | | | | | | | |
| | | 12:42 | | 5:42 | 5:23:53.348 | -18:06.652 | -20.6 | 3.35 | 0.74 | | ระบุไม่ได้ |
| | | | | | | | | | 95.5 > | G | |
| 63/2 | | | | | | | | | 70.5 - 60.5 | C | |
| C | C | 4/10/2005 | 3/10/2005 | | | | | | | | |
| | | 2:11 | | 19:11 | 19:33:28.600 | 22:28.600 | 9.8 | 0.85 | 0.42 | | ระบุไม่ได้ |
| B | | | | | | | | | 60.5 > | G | |
| 83/2 | | | | | | | | | 85.5 - 80.5 | C | |
| C | C | 7/10/2005 | 7/10/2005 | | | | | | | | |
| | | 14:43 | | 7:43 | 7:42:49.205 | -00:10.795 | -14.2 | 1.03 | 0.55 | | BFO |
| B | | | | | | | | | 80.5 > | G | |

ตารางที่ 9 แสดงการเปรียบเทียบเหตุการณ์ฟ้าผ่าและเหตุการณ์ขัดข้องของสายส่ง 230kV AT2-TL3

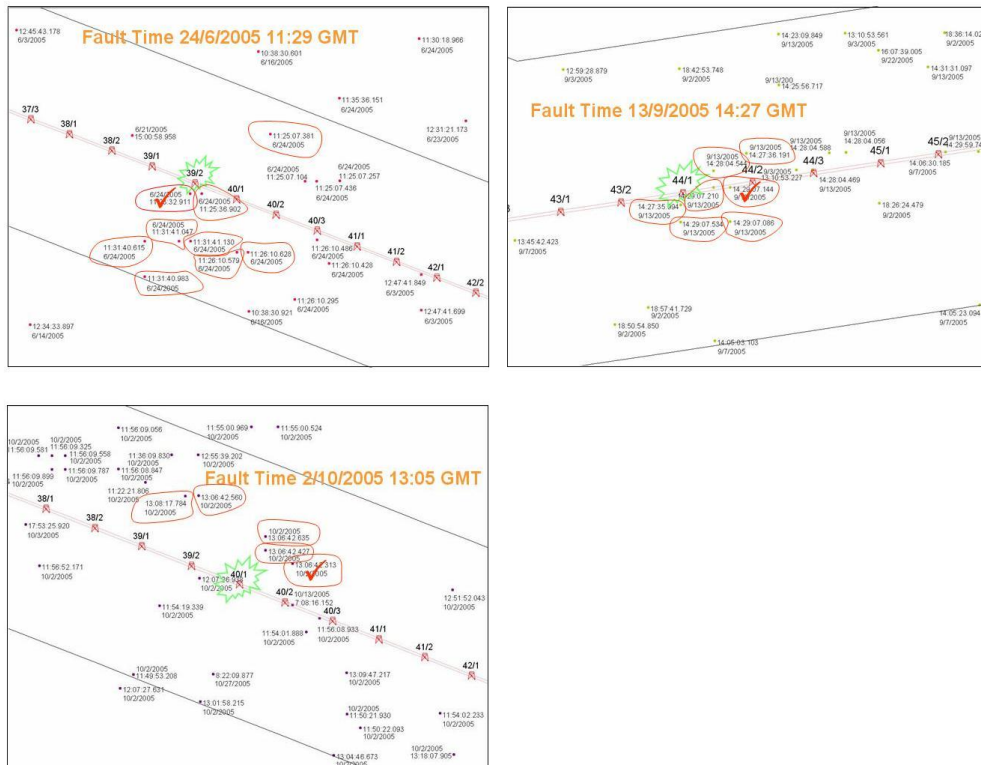
| เหตุการณ์ขัดข้อง (ตารางที่1) | | | | เหตุการณ์ฟ้าผ่าจาก EGAT LLS (Arcview GIS) | | | | | Stroke window (TFlash) | | |
|------------------------------|------|-------------------|-------------|---|---------------|------------|---------|----------|------------------------|-----------------|------------------|
| เส้น ต้นที่ | ไฟล์ | เวลา ประเทศไทย | GMT Time | GMT Time | Δ Time | กระแส | ระยะทาง | ระยะทาง | ระยะห่างจาก | ไฟล์ที่มีอุบัติ | ชนิดการ วานไฟ |
| | | | | | | I (kA) | ฟ้าผ่า | จากเสา | จากแนวสายส่ง | ฟ้าผ่าถึงเสาส่ง | |
| 39/2 | | | | | | | | | | | |
| B-C | B | 24/6/2005 | 24/6/2005 | | | | | | 131 | B | |
| A-A | | 18.29 | | 11:29 | 11:23:32.911 | -05:27.089 | -14.0 | 0.11 | 0.095 | | BFO |
| C-B | | | | | | | | | 131 > | G | |
| 44/1 | | | | | | | | | | | |
| B-C | C | 13/9/2005 | 13/9/2005 | | | | | | | | |
| A-A | | 21:27 | | 14:27 | 14:29:07.144 | 02:07.144 | -33.4 | 0.75Span | 0 | 181 > | BFO |
| C-B | | | | | | | | | | G | |
| 40/1 | | | | | | | | | | | |
| B-C | A,B | 2/10/2005 | 2/10/2005 | | | | | | 161 | B | |
| A-A | | 20:05 | | 13:05 | 13:06:42.313 | 01:42.313 | -24.6 | 0.47 | 0.30 | | SFO |
| C-B | | | | | | | | | 161 > | G | |

ตารางที่ 10 แสดงการเปรียบเทียบทดูกิจกรรมฟ้าผ่าและเหตุการณ์ขัดข้องของสายส่ง 500kV SNO-WN#3

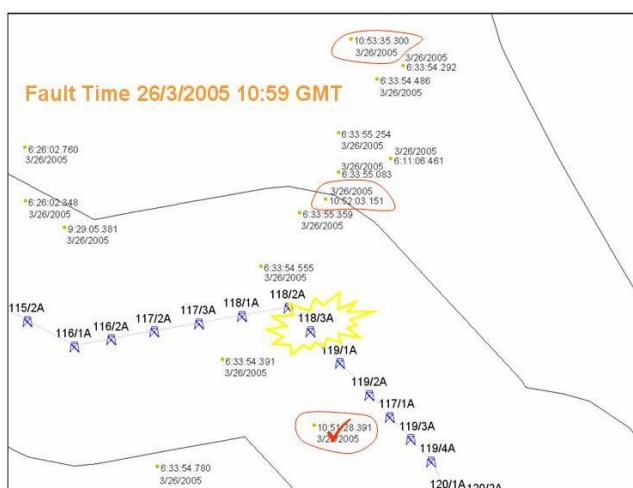
| เหตุการณ์ขัดข้อง (ตารางที่1) | | | | เหตุการณ์ฟ้าผ่าจาก EGAT LLS (Arcview GIS) | | | | | | Stroke window (TFlash) | | |
|------------------------------|------|-------------------|-------------|---|---------------|------------|---------------------|---------------------|-----------------|------------------------|---------|------------|
| เส้น ต้นที่ | ไฟล์ | เวลา ประเทศไทย | GMT Time | GMT Time | Δ Time | กระแส | ระยะทาง | ระยะทาง | ระยะห่างจาก | ไฟล์ที่มีโอกาส | ชนิดการ | |
| | | | | | | ฟ้าผ่า | จากเส้น | จากแนวสายส่ง | ฟ้าผ่าถึงเสาส่ง | | | |
| | | | | | | I (kA) | D _T (km) | D _L (km) | X (m) | | | |
| 118/3A | | | | | | | | | 158 | A | | |
| C-C | C | 26/3/2005 | 26/3/2005 | | | | | | | | | |
| A-A | | 17:59 | | 10:59 | 10:51:28.391 | -07:31.609 | -10.7 | 0.77 | 0.52 | 148 -118 | C | ระบุไม่ได้ |
| B-B | | | | | | | | | 118 > | G | | |



ภาพที่ 57 เหตุการณ์ไฟผ่าที่เป็นไปได้และเสาะส่างที่เกิดเหตุขัดข้องของสายส่ง 115kV KLA-CT



ภาพที่ 58 เหตุการณ์ไฟผ่าที่เป็นไปได้และเสาร่างที่เกิดเหตุบัดข่องของสายส่ง 230kV AT2-TL3



ภาพที่ 59 เหตุการณ์ไฟฟ้าที่เป็นไปได้และเสาร่างที่เกิดเหตุขึ้นของสายส่ง 500kV SNO-WN#3

3.2.1 หาตำแหน่งที่เกิดการวานไฟตามผิวของลูกถ้วยในสายส่งด้วยวิธี

ใช้ข้อมูลจากแผนกสมรรถนะระบบไฟฟ้าของการไฟฟ้าฝ่ายผลิตแห่งประเทศไทย ซึ่งเป็นข้อมูลบันทึกของหน่วยงานที่ดำเนินการแก้ไขเหตุการณ์ขัดข้อง ทำให้ทราบ ตำแหน่งของเสาส่งและเฟสที่เกิดไฟฟ่า รวมถึงวัน เวลาที่เกิดเหตุการณ์ขัดข้อง โดยมีบันทึก การทำงานของเรียลไทม์ในข้อมูลของตารางที่ 1 ด้วยเช่นกัน

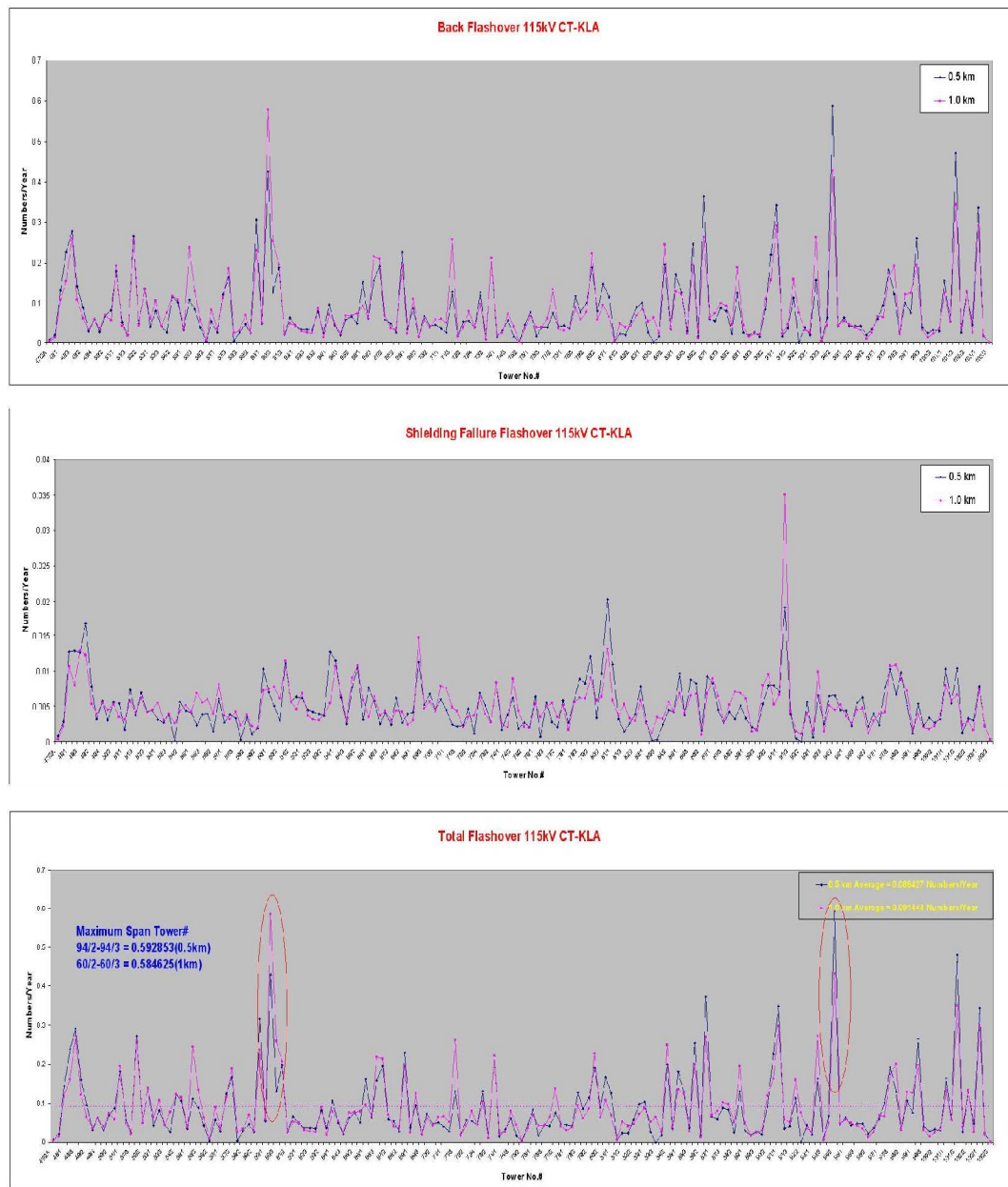
3.3 คำนวณสมรรถนะไฟฟ้าผ่านของสายส่งจากข้อมูลการออกแบบที่ได้

3.3.1 รวบรวมข้อมูลที่จำเป็นในการคำนวณสมรรถนะไฟฟ่า

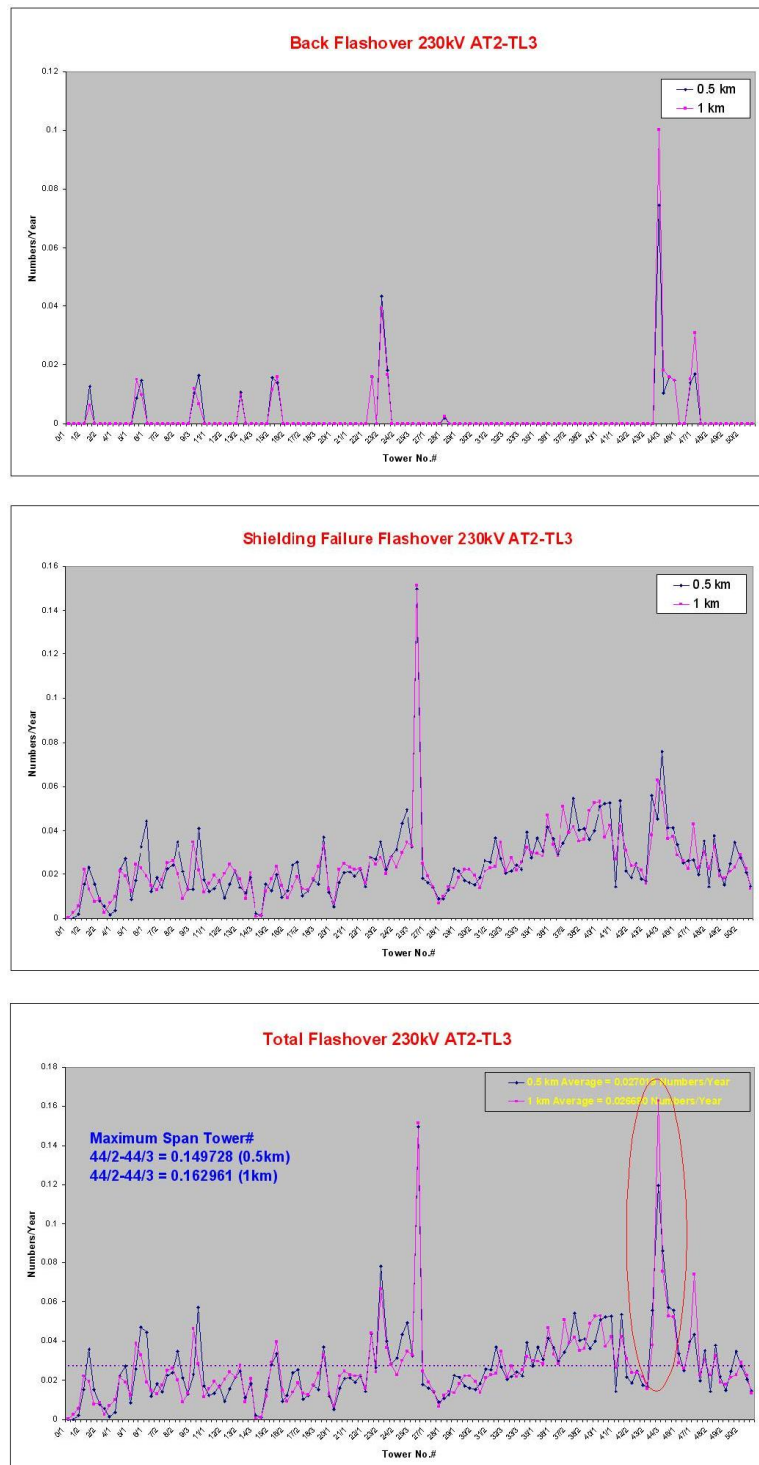
ในที่นี้ใช้ข้อมูลพื้นฐานในการออกแบบจากหน่วยงานกองวิศวกรรมสายส่ง โดยใช้แบบ Structure list, Insulators and Hardwares list, List of Ground Electrodes ของทั้ง 3 สายส่ง เป็นข้อมูลรายละเอียดของเสาส่งร่วมกับการใช้ข้อมูลไฟฟ้าที่ได้ของแต่ละช่วงเสา จากข้อ 2.2 (ภาคผนวกที่ 1) กำหนดเข้าในโปรแกรม TFlash version 3.0.21 เพื่อคำนวณ สมรรถนะไฟฟ้าผ่านของสายส่งทั้งหมด

ตารางที่ 11 สมรรถนะไฟฟ้าผ่านของทั้ง 3 สายส่งคำนวณจากโปรแกรม TFlash

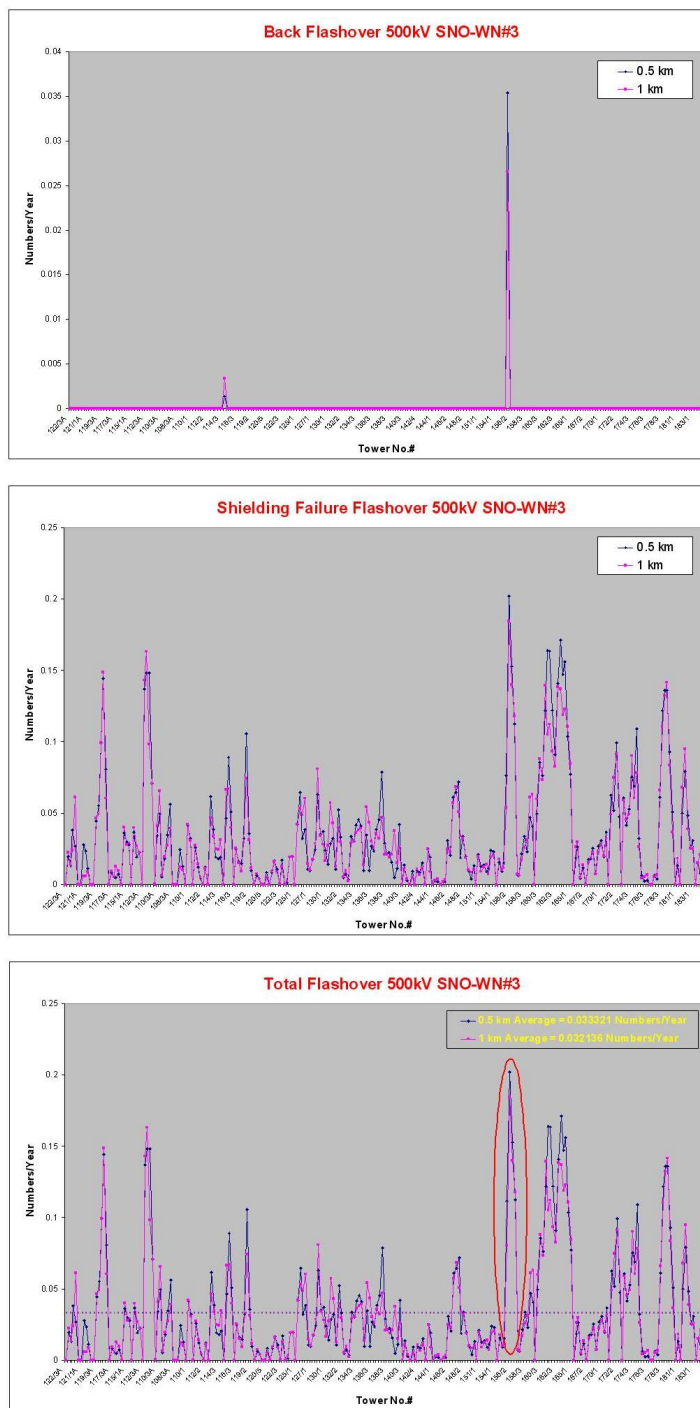
| สายส่ง | ระยะห่างจากแนวกึ่งกลางสายส่ง | | | ระยะห่างจากแนวกึ่งกลางสายส่ง | | |
|-------------------|------------------------------|--------------------------|----------------------------|------------------------------|--------------------------|----------------------------|
| | 0.5 กิโลเมตร | | | 1.0 กิโลเมตร | | |
| | SFO (ครั้ง/ปี/100 km) | BFO (ครั้ง/ปี/100 km) | Total (ครั้ง/ปี/100 km) | SFO (ครั้ง/ปี/100 km) | BFO (ครั้ง/ปี/100 km) | Total (ครั้ง/ปี/100 km) |
| 115 kV KLA-CT | 1.546 | 25.401 | 26.947 | 1.569 | 25.986 | 27.555 |
| 230kV AT2-TL3 | 6.349 | 0.640 | 6.989 | 6.208 | 0.694 | 6.902 |
| 500kV SNO-WN#3 | 9.329 | 0.041 | 9.370 | 9.004 | 0.033 | 9.037 |



ภาพที่ 60 สมรรถนะฟ้าผ่าของแต่ละช่วงเสาสำหรับสายส่ง 115kV KLA-CT



ภาพที่ 61 สมมติฐานฟ้าผ่าของเดื่อจะช่วงเสาสำหรับสายสั้น 230kV AT2-TL3



ภาพที่ 62 สมรรถนะฟ้าผ่าของแต่ละช่วงเสาสำหรับสายส่ง 500kV SNO-WN#3

สำหรับรายละเอียดผลสมรรถนะของแต่ละช่วงเสาทั้ง 3 สายส่ง แสดงไว้ในภาคผนวกที่ ข (ตารางผนวกที่ ข1 - ข3)

3.3.2 ผลจากคำนวณสมรรถนะฟ้าผ่า

ตารางที่ 12 เปรียบเทียบทดุการณ์ขัดข้องที่ได้จากการคำนวณและเกิดขึ้นจริง

| สายส่ง | เหตุการณ์เกิดขึ้นจริง (ตารางที่5) | เหตุการณ์จากการคำนวณ (ตารางที่11 - ระยะห่าง 1 กม.) | จำนวนเท่าความแตกต่าง |
|-------------------|--------------------------------------|---|----------------------|
| 115 kV KLA-CT | 6.7754 – BFO | 27.555 – BFO | 4.067 |
| 230kV AT2-TL3 | 1.9450 – BFO, SFO | 6.902 – BFO, SFO | 3.549 |
| 500kV SNO-WN#3 | 0.2232 – SFO | 9.037 – SFO | 40.488 |

เนื่องจากมีความแตกต่างระหว่างการคำนวณและเหตุการณ์จริงมาก จึงต้องใช้ข้อมูลจากการตรวจสอบสายส่งของหน่วยงานปฏิบัติการเขตภาคกลาง ซึ่งในที่นี้มีเฉพาะข้อมูลของสายส่ง 115kV แกลง-จันทบุรีปี พ.ศ.2547 เท่านั้น (รายละเอียดอยู่ในภาคผนวกที่ ค ตารางผนวกที่ ค1) จึงได้ทำการแก้ไขค่าความต้านทานที่ฐานเสาในโปรแกรม TFlash version 3.0.21 และเปรียบเทียบ เฉพาะปี พ.ศ.2548 เนื่องจากความหนาแน่นฟ้าผ่าที่ได้เป็นของปี พ.ศ.2548

ตารางที่ 13 สมรรถนะฟ้าผ่าหลังจากใช้ข้อมูลสำรวจของสายส่ง 115kV KLA-CT

| ค่าความต้านทานที่ฐานเสา (พ.ศ.2548) | เหตุการณ์เกิดขึ้นจริง (ครั้ง/ปี/100 km) | เหตุการณ์จากการคำนวณ (ครั้ง/ปี/100 km) | จำนวนเท่าความ แตกต่าง |
|---------------------------------------|--|---|--------------------------|
| ค่าที่สำรวจได้ปี พ.ศ.2547 | 10.698 | 15.660 | 1.464 |
| ค่าหลังจากปรับปรุง พ.ศ.2547 | | 14.650 | 1.369 |

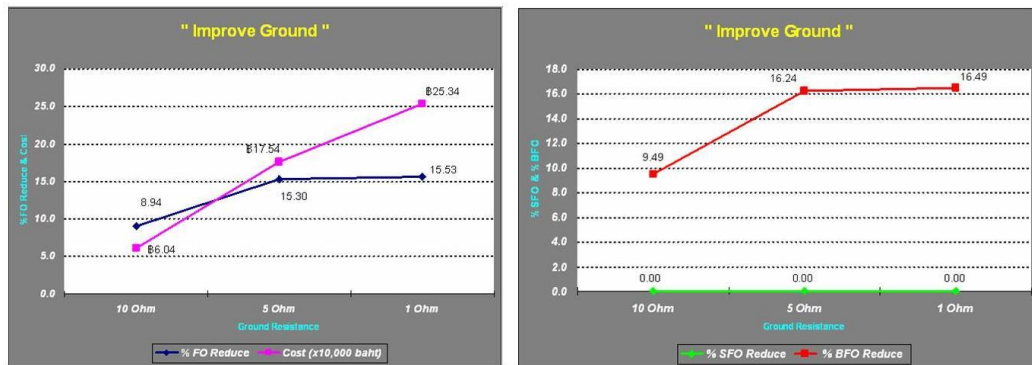
3.3.3 ระบุค่าอัตราความขัดข้องทางไฟฟ้าที่เป็นเป้าหมายและระบุข้อจำกัดของต้นทุนที่ใช้

เลือกข้อจำกัดของต้นทุนเป็นเงิน 1 ล้านบาท ระบุเป้าหมายอัตราความขัดข้องเป็น 1 ครั้งต่อปี และเลือกเป้าหมายจากจำนวนเงินต่อการลดลงของเหตุการณ์ขัดข้องที่ให้ประสิทธิผลมากที่สุดแทน โดยเลือกปรับปรุงเฉพาะสายส่งซึ่งมีค่าความขัดข้องเนื่องจาก

ฟ้าผ่าเฉลี่ยมากที่สุดจากตารางที่ 5 จึงเลือกปรับปรุงสายส่ง 115kV แกลง-จันทบุรี และเป็นสายส่งที่มีข้อมูลใกล้เคียงค่าสำรวจจริง

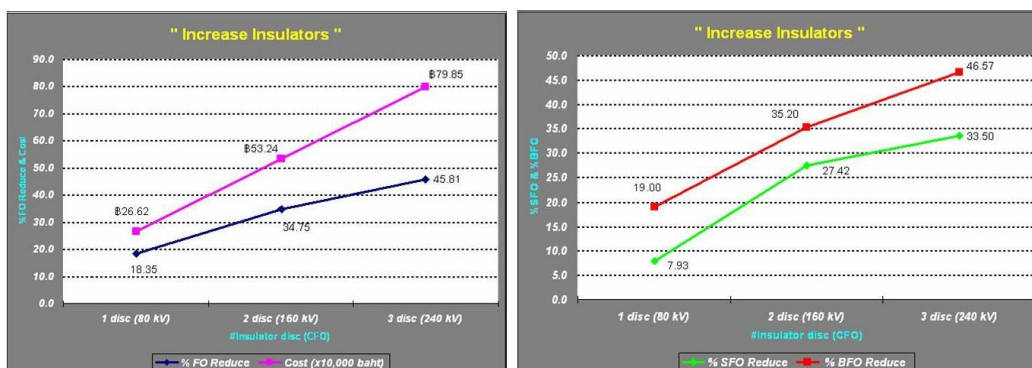
3.4 หาตัวแปรที่มีผลกระทบต่อสมรรถนะฟ้าผ่าของสายส่ง

ค่าความด้านทานฐานเสา - มีการปรับปรุงค่าเป็น 10, 5, 1 Ω หิม ราคาของชุด Ground rod เท่ากับ 350 บาทและชุด Ground rod with Counterpoise เท่ากับ 648 บาท



ภาพที่ 63 ผลกระทบต่อสมรรถนะฟ้าผ่าสายส่งจากการเปลี่ยนแปลงค่าความด้านทานฐานเสา

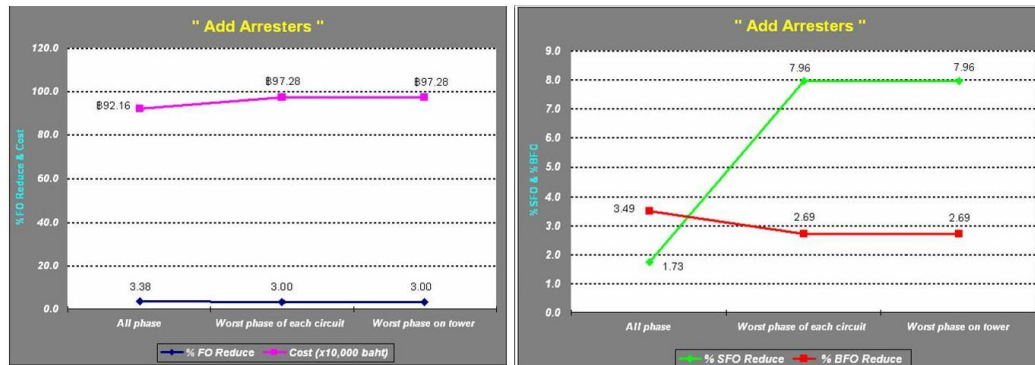
ค่า CFO ของจำนวน - เพิ่มค่านี้โดยเพิ่มจำนวนลูกถ่วง type 52-3 (CFO = 80kV) ราคาลูกละ 525 บาท จำนวน 1, 2, 3 ลูก



ภาพที่ 64 ผลกระทบต่อสมรรถนะฟ้าผ่าสายส่งจากการเปลี่ยนแปลงค่านวน

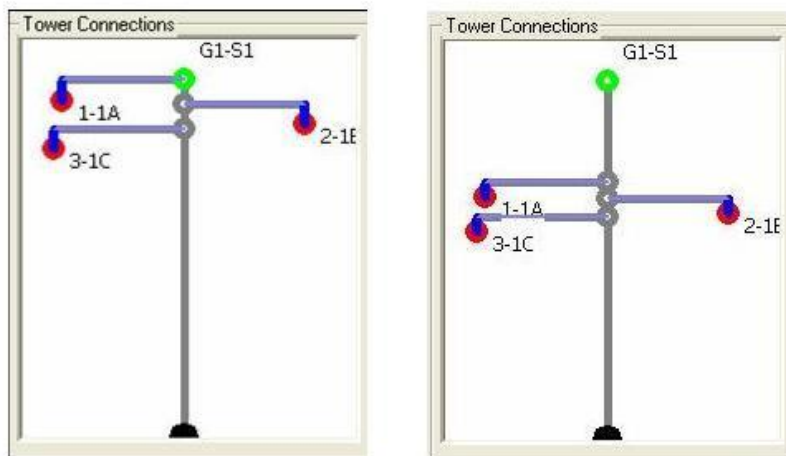
การเพิ่ม Arrester - ช่วยลดแรงดันเกินของลูกถ่วงได้โดยตรง แต่เนื่องด้วยราคาสูง ในที่นี้ใช้ NGK Arrester ราคาประมาณชุดละ 51,200 บาท จึงต้องเลือกติดตั้งเฉพาะบางต้นบางเฟสที่มีปัญหา

เท่านั้น วิธีเลือกติดตั้งใช้วิธีจาก TFlash version 4.0.223 มีอยู่ 3 แบบ คือ ติดตั้งทุกเฟสของเสาส่ง ติดตั้งเฉพาะเฟสที่มีปัญหาที่สุดของแต่ละวงจร และติดตั้งเฉพาะเฟสที่มีปัญหาที่สุดของแต่ละเสาส่ง เนื่องจากสายส่ง 115 kV KLA-CT เป็นวงจรเดี่ยว วิธีติดตั้งสองแบบหลังจึงให้ผลเหมือนกัน

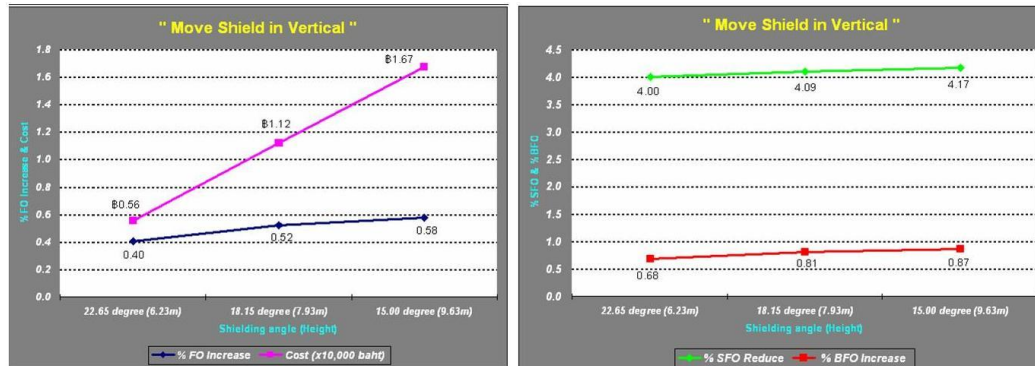


ภาพที่ 65 ผลกระทบสมมติณฑ์ฟ้าผ่าสายส่งจากการติดตั้งอะเรสเตอร์

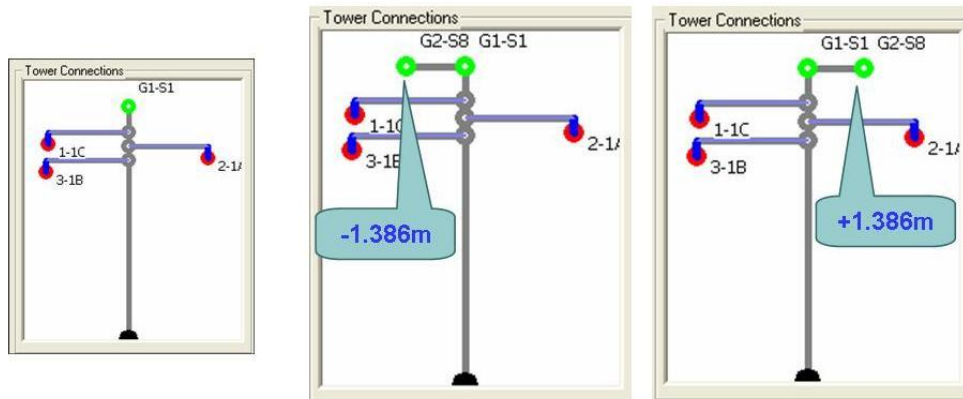
มุมป้องกัน (Shielding angle) - ช่วยป้องกันไม่ให้ฟ้าผ่าเข้ามาสายไฟโดยตรง เดิมเป็นมุม 30° ลดลงเหลือ 15° ด้วย 2 วิธี คือ ข่ายสายชิดค์โดยเพิ่มความสูงของเสาอีก 9.63 เมตร คิดเป็นเงินประมาณ 16,739 บาท มุมป้องกันนี้จะลดลงเป็นทีละขั้นคือ 22.65° , 18.15° , 15° ตามลำดับ สำหรับอีกวิธีคือการเพิ่มสายชิดค์อีกเส้นจากเส้นเดิมเป็นระยะห่าง 1.386 เมตร ไปทางซ้าย(-) หรือขวา(+) คิดเป็นเงินของสายชิดค์รวมเหลือประมาณ 6,443 + 8,410 บาท การเพิ่มจะเพิ่มทีละเส้นทีละด้าน จึงเป็น 1W ($-1.386, +1.386$), 2W ($+1.386, -1.386$)



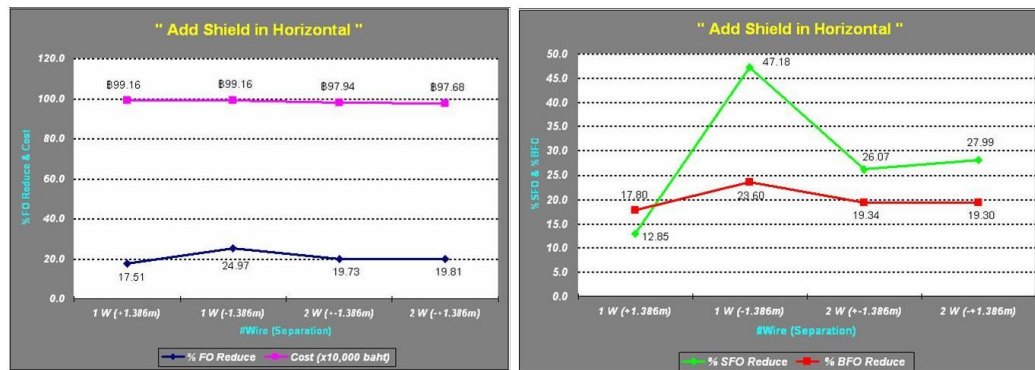
ภาพที่ 66 วิธีการข่ายสายชิดค์ให้สูงขึ้นของโปรแกรม TFlash



ภาพที่ 67 ผลกระทบสมรรถนะฟ้าผ่าจากการย้ายสายชีล์ด์ให้สูงขึ้น



ภาพที่ 68 การเพิ่มสายชีล์ดด้วยโปรแกรม TFlash



ภาพที่ 69 ผลกระทบสมรรถนะฟ้าผ่าจากการเพิ่มสายชีล์ด์

3.5 ประเมินวิธีการปรับปรุงที่ให้ผลประโยชน์มากที่สุด

3.5.1 ระบบทางเลือกที่เป็นไปได้ในการปรับปรุง

จากตัวแปรที่มีผลผลกระทบสมรรถนะฟ้าผ่าในข้อ 3.4 จึงเลือกใช้วิธีปรับปรุง 4 วิธี คือ

- ปรับปรุงค่าความด้านทานฐานเสาเหลือ 10, 5 โอม
- เพิ่มลูกถ่วง 1, 2 ลูก ($CFO = 80, 160 \text{ kV}$)
- ติดตั้งอะเรสเตอร์ทุกเฟสและติดตั้งเฉลพะเฟสที่มีปัญหาที่สุด
- เพิ่มสายชีลด์ 1 เส้นทางด้านซ้าย (-1.386 เมตร)

3.5.2 คำนวณสมรรถนะฟ้าผ่าใหม่จากแต่ละทางเลือกที่ปรับปรุง

ใช้วิธีการ Optimizer of TFlash version 4.0.22 เพื่อสร้างทางเลือกจากวิธีปรับปรุง ในข้อ 3.5.1 โดยเลือกใช้ที่ลักษณะ 4 วิธี (รูปแบบที่ 1-8), 3 วิธี (รูปแบบที่ 9-28), 2 วิธี (รูปแบบที่ 29-46) ทำให้ได้รูปแบบทั้งหมด 46 รูปแบบ

ตารางที่ 14 รูปแบบทั้งหมดที่ใช้ปรับปรุงสมรรถนะฟ้าผ่า

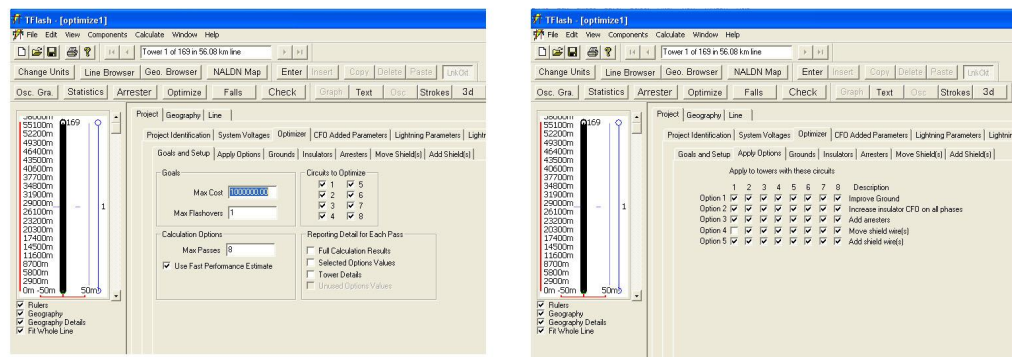
| รูปแบบที่ | วิธีการ |
|-----------|--|
| 1 | 10 ohm+1Insulator(80kV)+Arrester worst phase+ 1W Shield |
| 2 | 5 ohm+1Insulator(80kV)+Arrester worst phase+ 1W Shield |
| 3 | 10 ohm+1Insulator(80kV)+Arrester all phase+ 1W Shield |
| 4 | 5 ohm+1Insulator(80kV)+Arrester all phase+ 1W Shield |
| 5 | 10 ohm+2Insulator(160kV)+Arrester worst phase+ 1W Shield |
| 6 | 5 ohm+2Insulator(160kV)+Arrester worst phase+ 1W Shield |
| 7 | 10 ohm+2Insulator(160kV)+Arrester all phase+ 1W Shield |
| 8 | 5 ohm+2Insulator(160kV)+Arrester all phase+ 1W Shield |
| 9 | 10 ohm+1Insulator(80kV)+Arrester worst phase |
| 10 | 5 ohm+1Insulator(80kV)+Arrester worst phase |
| 11 | 10 ohm+1Insulator(80kV)+Arrester all phase |
| 12 | 5 ohm+1Insulator(80kV)+Arrester all phase |
| 13 | 10 ohm+2Insulator(160kV)+Arrester worst phase |

ตารางที่ 14 (ต่อ)

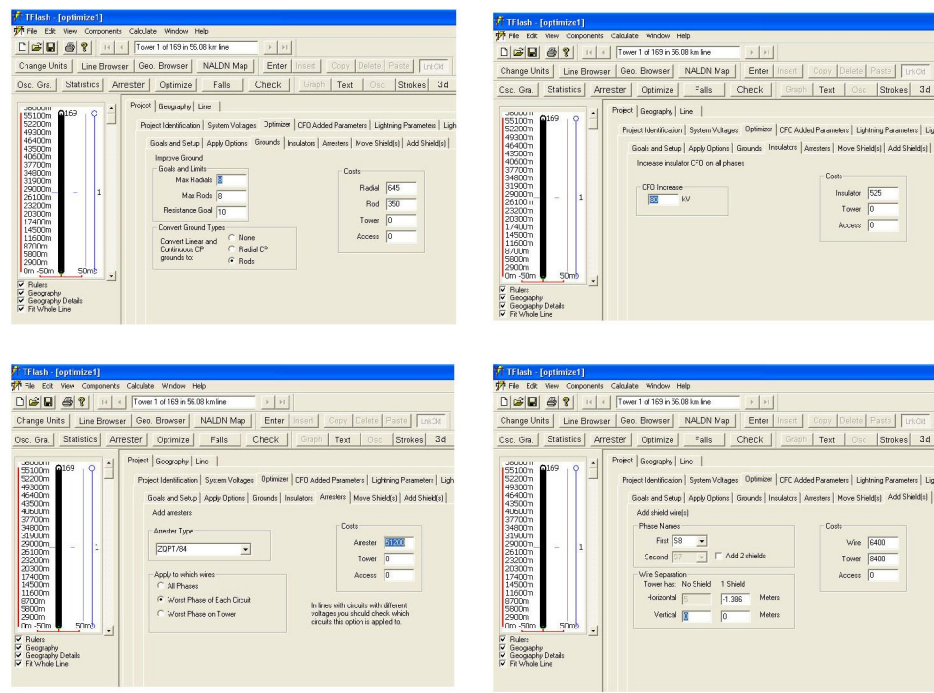
| รูปแบบที่ | วิธีการ |
|-----------|--|
| 14 | 5 ohm+2Insulator(160kV)+Arrester worst phase |
| 15 | 10 ohm+2Insulator(160kV)+Arrester all phase |
| 16 | 5 ohm+2Insulator(160kV)+Arrester all phase |
| 17 | 1Insulator(80kV)+Arrester worst phase+1W Shield |
| 18 | 2Insulator(160kV)+Arrester worst phase+1W Shield |
| 19 | 1Insulator(80kV)+Arrester all phase+1W Shield |
| 20 | 2Insulator(160kV)+Arrester all phase+1W Shield |
| 21 | Arrester worst phase+1W Shield+10ohm |
| 22 | Arrester worst phase+1W Shield+5ohm |
| 23 | Arrester all phase+1W Shield+10ohm |
| 24 | Arrester all phase+1W Shield+5ohm |
| 25 | 1W Shield+10 ohm+1Insulator(80kV) |
| 26 | 1W Shield+5 ohm+1Insulator(80kV) |
| 27 | 1W Shield+10 ohm+2Insulator(160kV) |
| 28 | 1W Shield+10 ohm+2Insulator(160kV) |
| 29 | 10 ohm+1Insulator(80kV) |
| 30 | 5 ohm+1Insulator(80kV) |
| 31 | 10 ohm+2Insulator(160kV) |
| 32 | 5 ohm+2Insulator(160kV) |
| 33 | 10 ohm+Arrester worst phase |
| 34 | 5 ohm+Arrester worst phase |
| 35 | 10 ohm+Arrester all phase |
| 36 | 5 ohm+Arrester all phase |
| 37 | 10 ohm+1W Shield |
| 38 | 5 ohm+1W Shield |
| 39 | 1Insulator(80kV)+Arrester worst phase |

ตารางที่ 14 (ต่อ)

| รูปแบบที่ | วิธีการ |
|-----------|--|
| 40 | 2Insulator(160kV)+Arrester worst phase |
| 41 | 1Insulator(80kV)+Arrester all phase |
| 42 | 2Insulator(160kV)+Arrester all phase |
| 43 | 1Insulator(80kV)+1W Shield |
| 44 | 2Insulator(160kV)+1W Shield |
| 45 | Arrester worst phase+1W Shield |
| 46 | Arrester all phase+1W Shield |



ภาพที่ 70 การกำหนดเป้าหมาย, เงื่อนไขและทางเลือกปรับปรุงสมรรถนะใน Optimizer of TFlash



ภาพที่ 71 การกำหนดค่าและราคาในวิธีการทั้ง 4 วิธี

3.5.3 แสดงการวิเคราะห์ผลประযุชน์และต้นทุนที่ให้ประสิทธิผลมากที่สุด

ตารางที่ 15 ผลที่ได้จากการ Optimization โดยใช้ 4 วิธี

| รูปแบบ | ก่อนแก้ไข | | | | หลังแก้ไข | | | | วิธีที่ได้จากการ Optimize | จำนวนต้นที่ต้องแก้ไข | คิดเป็นเงิน (บาท) | % การลดลงของ | | | สมรรถนะฟ้าผ่า | Cost/%FO |
|--------|-----------|--------|--------|----------|-----------|-------|-------|----------|------------------------------|----------------------|----------------------|--------------|--------|--------|---------------|----------|
| | SFO | BFO | FO | FO/100km | SFO | BFO | FO | FO/100km | | | | SFO | BFO | FO | | |
| 1 | 0.819 | 13.286 | 14.106 | 25.151 | 0.423 | 7.232 | 7.655 | 13.649 | Ground | 35 | 56,040 | -48.37 | -45.57 | -45.73 | 21,864.85 | |
| | | | | | | | | | Insulator | 167 | 263,025 | | | | | |
| | | | | | | | | | Add shield | 46 | 680,800 | | | | | |
| | | | | | | | | | | | 999,865 | | | | | |
| 2 | 0.819 | 13.286 | 14.106 | 25.151 | 0.418 | 6.558 | 6.975 | 12.437 | Ground | 86 | 173,075 | -49.01 | -50.64 | -50.55 | 19,753.36 | |
| | | | | | | | | | Insulator | 167 | 263,025 | | | | | |
| | | | | | | | | | Add shield | 38 | 562,400 | | | | | |
| | | | | | | | | | | | 998,500 | | | | | |
| 3 | 0.819 | 13.286 | 14.106 | 25.151 | 0.423 | 7.232 | 7.655 | 13.649 | Ground | 35 | 56,040 | -48.37 | -45.57 | -45.73 | 21,864.85 | |
| | | | | | | | | | Insulator | 167 | 263,025 | | | | | |
| | | | | | | | | | Add shield | 46 | 680,800 | | | | | |
| | | | | | | | | | | | 999,865 | | | | | |

ตารางที่ 15 (ต่อ)

| รูปแบบ | ก่อนแก้ไข | | | | หลังแก้ไข | | | | วิธีแก้ไข จากการ Optimize | จำนวนต้น ที่ต้องแก้ไข | คิดเป็นเงิน (บาท) | % การลดลงของ สมรรถนะฟ้าผ่า | | | Cost/%FO |
|--------|-----------|--------|--------|----------|-----------|-------|-------|----------|---------------------------------|--------------------------|----------------------|-------------------------------|--------|--------|-----------|
| | SFO | BFO | FO | FO/100km | SFO | BFO | FO | FO/100km | | | | SFO | BFO | FO | |
| 4 | 0.819 | 13.286 | 14.106 | 25.151 | 0.418 | 6.558 | 6.975 | 12.437 | Ground | 86 | 173,075 | -49.01 | -50.64 | -50.55 | 19,753.36 |
| | | | | | | | | | Insulator | 167 | 263,025 | | | | |
| | | | | | | | | | Add shield | 38 | 562,400 | | | | |
| | | | | | | | | | | | 998,500 | | | | |
| 5 | 0.819 | 13.286 | 14.106 | 25.151 | 0.355 | 5.734 | 6.089 | 10.857 | Ground | 39 | 63,080 | -56.70 | -56.84 | -56.83 | 17,508.05 |
| | | | | | | | | | Insulator | 169 | 532,350 | | | | |
| | | | | | | | | | Add shield | 27 | 399,600 | | | | |
| | | | | | | | | | | | 995,030 | | | | |
| 6 | 0.819 | 13.286 | 14.106 | 25.151 | 0.358 | 5.578 | 5.936 | 10.583 | Ground | 75 | 156,785 | -56.34 | -58.02 | -57.92 | 17,264.08 |
| | | | | | | | | | Insulator | 169 | 532,350 | | | | |
| | | | | | | | | | Add shield | 21 | 310,800 | | | | |
| | | | | | | | | | | | 999,935 | | | | |
| 7 | 0.819 | 13.286 | 14.106 | 25.151 | 0.355 | 5.734 | 6.089 | 10.857 | Ground | 39 | 63,080 | -56.70 | -56.84 | -56.83 | 17,508.05 |
| | | | | | | | | | Insulator | 169 | 532,350 | | | | |
| | | | | | | | | | Add shield | 27 | 399,600 | | | | |
| | | | | | | | | | | | 995,030 | | | | |

ตารางที่ 15 (ต่อ)

| รูปแบบ | ก่อนแก้ไข | | | | | หลังแก้ไข | | | | | วิธีที่ได้ จากการ Optimize | จำนวนต้น ที่ต้องแก้ไข | คิดเป็นเงิน (บาท) | % การลดลงของ | | | สมรรถนะฟ้าผ่า | Cost/%FO |
|--------|-----------|--------|--------|----------|-------|-----------|-------|----------|------------|-----|----------------------------------|--------------------------|----------------------|--------------|-----------|----|---------------|----------|
| | SFO | BFO | FO | FO/100km | SFO | BFO | FO | FO/100km | SFO | BFO | FO | | | SFO | BFO | FO | | |
| 8 | 0.819 | 13.286 | 14.106 | 25.151 | 0.358 | 5.578 | 5.936 | 10.583 | Ground | 75 | 156,785 | -56.34 | -58.02 | -57.92 | 17,264.08 | | | |
| | | | | | | | | | Insulator | 169 | 532,350 | | | | | | | |
| | | | | | | | | | Add shield | 21 | 310,800 | | | | | | | |
| | | | | | | | | | | | 999,935 | | | | | | | |

ตารางที่ 16 ผลที่ได้จากการ Optimization โดยใช้ 3 วิธี

| รูปแบบ | ก่อนแก้ไข | | | | | หลังแก้ไข | | | | | วิธีที่ได้ จากการ Optimize | จำนวนต้น ที่ต้องแก้ไข | คิดเป็นเงิน (บาท) | % การลดลงของ | | | สมรรถนะฟ้าผ่า | Cost/%FO |
|--------|-----------|--------|--------|----------|-------|-----------|--------|----------|-----------|-----|----------------------------------|--------------------------|----------------------|--------------|-----------|----|---------------|----------|
| | SFO | BFO | FO | FO/100km | SFO | BFO | FO | FO/100km | SFO | BFO | FO | | | SFO | BFO | FO | | |
| 9 | 0.819 | 13.286 | 14.106 | 25.151 | 0.694 | 9.630 | 10.324 | 18.408 | Ground | 32 | 54,990 | -15.36 | -27.52 | -26.81 | 36,806.19 | | | |
| | | | | | | | | | Insulator | 169 | 266,175 | | | | | | | |
| | | | | | | | | | Arrester | 13 | 665,600 | | | | | | | |
| | | | | | | | | | | | 986,765 | | | | | | | |

ตารางที่ 16 (ต่อ)

| รูปแบบ | ก่อนแก้ไข | | | | หลังแก้ไข | | | | วิธีที่ได้ จาก การ Optimize | จำนวนต้น ที่ต้องแก้ไข | คิดเป็นเงิน (บาท) | % การลดลงของ สมรรถนะฟ้าผ่า | | | Cost/%FO |
|--------|-----------|--------|--------|----------|-----------|-------|--------|----------|-----------------------------------|--------------------------|----------------------|-------------------------------|--------|--------|-----------|
| | SFO | BFO | FO | FO/100km | SFO | BFO | FO | FO/100km | | | | SFO | BFO | FO | |
| 10 | 0.819 | 13.286 | 14.106 | 25.151 | 0.713 | 8.810 | 9.523 | 16.980 | Ground | 88 | 178,235 | -12.97 | -33.69 | -32.49 | 29,438.63 |
| | | | | | | | | | Insulator | 169 | 266,175 | | | | |
| | | | | | | | | | Arrester | 10 | 512,000 | | | | |
| | | | | | | | | | | | 956,410 | | | | |
| 11 | 0.819 | 13.286 | 14.106 | 25.151 | 0.737 | 9.846 | 10.583 | 18.870 | Ground | 31 | 54,345 | -10.05 | -25.89 | -24.97 | 37,440.83 |
| | | | | | | | | | Insulator | 169 | 266,175 | | | | |
| | | | | | | | | | Arrester | 4 | 614,400 | | | | |
| | | | | | | | | | | | 934,920 | | | | |
| 12 | 0.819 | 13.286 | 14.106 | 25.151 | 0.743 | 8.671 | 9.414 | 16.785 | Ground | 88 | 178,235 | -9.37 | -34.74 | -33.26 | 27,213.99 |
| | | | | | | | | | Insulator | 169 | 266,175 | | | | |
| | | | | | | | | | Arrester | 3 | 460,800 | | | | |
| | | | | | | | | | | | 905,210 | | | | |
| 13 | 0.819 | 13.286 | 14.106 | 25.151 | 0.563 | 7.802 | 8.365 | 14.916 | Ground | 36 | 60,795 | -31.28 | -41.28 | -40.69 | 23,382.80 |
| | | | | | | | | | Insulator | 169 | 532,350 | | | | |
| | | | | | | | | | Arrester | 7 | 358,400 | | | | |
| | | | | | | | | | | | 951,545 | | | | |

ตารางที่ 16 (ต่อ)

| รูปแบบ | ก่อนแก้ไข | | | | หลังแก้ไข | | | | วิธีที่ได้ จาก การ Optimize | จำนวนต้น ที่ต้องแก้ไข | คิดเป็นเงิน (บาท) | % การลดลงของ สมรรถนะฟ้าผ่า | | | Cost/%FO |
|--------|-----------|--------|--------|----------|-----------|-------|-------|----------|-----------------------------------|--------------------------|----------------------|-------------------------------|--------|--------|-----------|
| | SFO | BFO | FO | FO/100km | SFO | BFO | FO | FO/100km | | | | SFO | BFO | FO | |
| 14 | 0.819 | 13.286 | 14.106 | 25.151 | 0.575 | 7.296 | 7.871 | 14.034 | Ground | 76 | 159,365 | -29.82 | -45.09 | -44.20 | 22,600.40 |
| | | | | | | | | | Insulator | 169 | 532,350 | | | | |
| | | | | | | | | | Arrester | 6 | 307,200 | | | | |
| | | | | | | | | | | | 998,915 | | | | |
| 15 | 0.819 | 13.286 | 14.106 | 25.151 | 0.589 | 7.812 | 8.401 | 14.979 | Ground | 36 | 60,795 | -28.13 | -41.20 | -40.44 | 22,262.60 |
| | | | | | | | | | Insulator | 169 | 532,350 | | | | |
| | | | | | | | | | Arrester | 2 | 307,200 | | | | |
| | | | | | | | | | | | 900,345 | | | | |
| 16 | 0.819 | 13.286 | 14.106 | 25.151 | 0.590 | 7.333 | 7.924 | 14.128 | Ground | 76 | 159,365 | -27.95 | -44.80 | -43.83 | 22,792.81 |
| | | | | | | | | | Insulator | 169 | 532,350 | | | | |
| | | | | | | | | | Arrester | 2 | 307,200 | | | | |
| | | | | | | | | | | | 998,915 | | | | |
| 17 | 0.819 | 13.286 | 14.106 | 25.151 | 0.430 | 8.406 | 8.835 | 15.753 | Insulator | 169 | 266,175 | -47.58 | -36.73 | -37.36 | 26,533.33 |
| | | | | | | | | | Add shield | 49 | 725,200 | | | | |
| | | | | | | | | | | | 991,375 | | | | |

ตารางที่ 16 (ต่อ)

| รูปแบบ | ก่อนแก้ไข | | | | หลังแก้ไข | | | | วิธีที่ได้ จากการ Optimize | จำนวนต้น ที่ต้องแก้ไข | คิดเป็นเงิน (บาท) | % การลดลงของ สมรรถนะฟ้าผ่า | | | Cost/%FO |
|--------|-----------|--------|--------|----------|-----------|-------|-------|----------|----------------------------------|--------------------------|----------------------|-------------------------------|--------|--------|-----------|
| | SFO | BFO | FO | FO/100km | SFO | BFO | FO | FO/100km | | | | SFO | BFO | FO | |
| 18 | 0.819 | 13.286 | 14.106 | 25.151 | 0.313 | 6.576 | 6.889 | 12.284 | Insulator | 169 | 532,350 | -61.77 | -50.51 | -51.16 | 19,373.71 |
| | | | | | | | | | Add shield | 31 | 458,800 | | | | |
| | | | | | | | | | | | 991,150 | | | | |
| 19 | 0.819 | 13.286 | 14.106 | 25.151 | 0.430 | 8.406 | 8.835 | 15.753 | Insulator | 169 | 266,175 | -47.58 | -36.73 | -37.36 | 26,533.33 |
| | | | | | | | | | Add shield | 49 | 725,200 | | | | |
| | | | | | | | | | | | 991,375 | | | | |
| 20 | 0.819 | 13.286 | 14.106 | 25.151 | 0.313 | 6.576 | 6.889 | 12.284 | Insulator | 169 | 532,350 | -61.77 | -50.51 | -51.16 | 19,373.71 |
| | | | | | | | | | Add shield | 31 | 458,800 | | | | |
| | | | | | | | | | | | 991,150 | | | | |
| 21 | 0.819 | 13.286 | 14.106 | 25.151 | 0.402 | 8.243 | 8.645 | 15.414 | Ground | 44 | 65,420 | -50.88 | -37.96 | -38.71 | 25,775.32 |
| | | | | | | | | | Add shield | 63 | 932,400 | | | | |
| | | | | | | | | | | | 997,820 | | | | |
| 22 | 0.819 | 13.286 | 14.106 | 25.151 | 0.447 | 8.281 | 8.728 | 15.562 | Ground | 75 | 169,445 | -45.44 | -37.67 | -38.12 | 26,185.17 |
| | | | | | | | | | Add shield | 56 | 828,800 | | | | |
| | | | | | | | | | | | 998,245 | | | | |

ตารางที่ 16 (ต่อ)

| รูปแบบ | ก่อนแก้ไข | | | | หลังแก้ไข | | | | วิธีที่ได้ จากการ Optimize | จำนวนต้น ที่ต้องแก้ไข | คิดเป็นเงิน (บาท) | % การลดลงของ สมรรถนะฟ้าผ่า | | | Cost/%FO |
|--------|-----------|--------|--------|----------|-----------|-------|-------|----------|----------------------------------|--------------------------|----------------------|-------------------------------|--------|--------|-----------|
| | SFO | BFO | FO | FO/100km | SFO | BFO | FO | FO/100km | | | | SFO | BFO | FO | |
| 23 | 0.819 | 13.286 | 14.106 | 25.151 | 0.402 | 8.243 | 8.645 | 15.414 | Ground | 44 | 65,420 | -50.88 | -37.96 | -38.71 | 25,775.32 |
| | | | | | | | | | Add shield | 63 | 932,400 | | | | |
| | | | | | | | | | | | 997,820 | | | | |
| 24 | 0.819 | 13.286 | 14.106 | 25.151 | 0.447 | 8.281 | 8.728 | 15.562 | Ground | 75 | 169,445 | -45.44 | -37.67 | -38.12 | 26,185.17 |
| | | | | | | | | | Add shield | 56 | 828,800 | | | | |
| | | | | | | | | | | | 998,245 | | | | |
| 25 | 0.819 | 13.286 | 14.106 | 25.151 | 0.423 | 7.232 | 7.655 | 13.649 | Ground | 35 | 56,040 | -48.37 | -45.57 | -45.73 | 21,864.85 |
| | | | | | | | | | Insulator | 167 | 263,025 | | | | |
| | | | | | | | | | Add shield | 46 | 680,800 | | | | |
| | | | | | | | | | | | 999,865 | | | | |
| 26 | 0.819 | 13.286 | 14.106 | 25.151 | 0.418 | 6.558 | 6.975 | 12.437 | Ground | 86 | 173,075 | -49.01 | -50.64 | -50.55 | 19,753.36 |
| | | | | | | | | | Insulator | 167 | 263,025 | | | | |
| | | | | | | | | | Add shield | 38 | 562,400 | | | | |
| | | | | | | | | | | | 998,500 | | | | |

ตารางที่ 16 (ต่อ)

| รูปแบบ | ก่อนแก้ไข | | | | หลังแก้ไข | | | | วิธีที่ได้ จากการ Optimize | จำนวนต้น ที่ต้องแก้ไข | คิดเป็นเงิน (บาท) | % การลดลงของ สมรรถนะฟ้าผ่า | | | Cost/%FO |
|--------|-----------|--------|--------|----------|-----------|-------|-------|----------|----------------------------------|--------------------------|----------------------|-------------------------------|--------|--------|-----------|
| | SFO | BFO | FO | FO/100km | SFO | BFO | FO | FO/100km | | | | SFO | BFO | FO | |
| 27 | 0.819 | 13.286 | 14.106 | 25.151 | 0.355 | 5.734 | 6.089 | 10.857 | Ground | 39 | 63,080 | -56.70 | -56.84 | -56.83 | 17,508.05 |
| | | | | | | | | | Insulator | 169 | 532,350 | | | | |
| | | | | | | | | | Add shield | 27 | 399,600 | | | | |
| | | | | | | | | | | | 995,030 | | | | |
| 28 | 0.819 | 13.286 | 14.106 | 25.151 | 0.358 | 5.578 | 5.936 | 10.583 | Ground | 75 | 156,785 | -56.34 | -58.02 | -57.92 | 17,264.08 |
| | | | | | | | | | Insulator | 169 | 532,350 | | | | |
| | | | | | | | | | Add shield | 21 | 310,800 | | | | |
| | | | | | | | | | | | 999,935 | | | | |

ตารางที่ 17 ผลที่ได้จากการ Optimization โดยใช้ 2 วิธี

| รูปแบบ | ก่อนแก้ไข | | | | | | หลังแก้ไข | | | | | | วิธีที่ได้ จากการ ที่ต้องแก้ไข | จำนวนต้น คิดเป็นเงิน (บาท) | % การลดลงของ สมรรถนะฟ้าผ่า | | | Cost/%FO |
|--------|-----------|--------|--------|----------|-------|--------|-----------|----------|-----------|-----|---------|--------|--------------------------------------|----------------------------------|-------------------------------|-----|----|----------|
| | SFO | BFO | FO | FO/100km | SFO | BFO | FO | FO/100km | Optimize | SFO | BFO | FO | | | SFO | BFO | FO | |
| 29 | 0.819 | 13.286 | 14.106 | 25.151 | 0.754 | 9.864 | 10.618 | 18.933 | Ground | 31 | 54,345 | -7.93 | -25.76 | -24.72 | 12,964.56 | | | |
| | | | | | | | | | Insulator | 169 | 266,175 | | | | | | | |
| | | | | | | | | | | | 320,520 | | | | | | | |
| 30 | 0.819 | 13.286 | 14.106 | 25.151 | 0.754 | 8.690 | 9.444 | 16.839 | Ground | 88 | 178,235 | -7.93 | -34.59 | -33.05 | 13,448.45 | | | |
| | | | | | | | | | Insulator | 169 | 266,175 | | | | | | | |
| | | | | | | | | | | | 444,410 | | | | | | | |
| 31 | 0.819 | 13.286 | 14.106 | 25.151 | 0.595 | 7.794 | 8.389 | 14.958 | Ground | 36 | 60,795 | -27.42 | -41.33 | -40.53 | 14,636.28 | | | |
| | | | | | | | | | Insulator | 169 | 532,350 | | | | | | | |
| | | | | | | | | | | | 593,145 | | | | | | | |
| 32 | 0.819 | 13.286 | 14.106 | 25.151 | 0.595 | 7.305 | 7.900 | 14.085 | Ground | 76 | 159,365 | -27.42 | -45.02 | -44.00 | 15,721.84 | | | |
| | | | | | | | | | Insulator | 169 | 532,350 | | | | | | | |
| | | | | | | | | | | | 691,715 | | | | | | | |
| 33 | 0.819 | 13.286 | 14.106 | 25.151 | 0.754 | 12.043 | 12.796 | 22.816 | Ground | 36 | 61,440 | -8.05 | -9.36 | -9.28 | 105,899.75 | | | |
| | | | | | | | | | Arrester | 18 | 921,600 | | | | | | | |
| | | | | | | | | | | | 983,040 | | | | | | | |

ตารางที่ 17 (ต่อ)

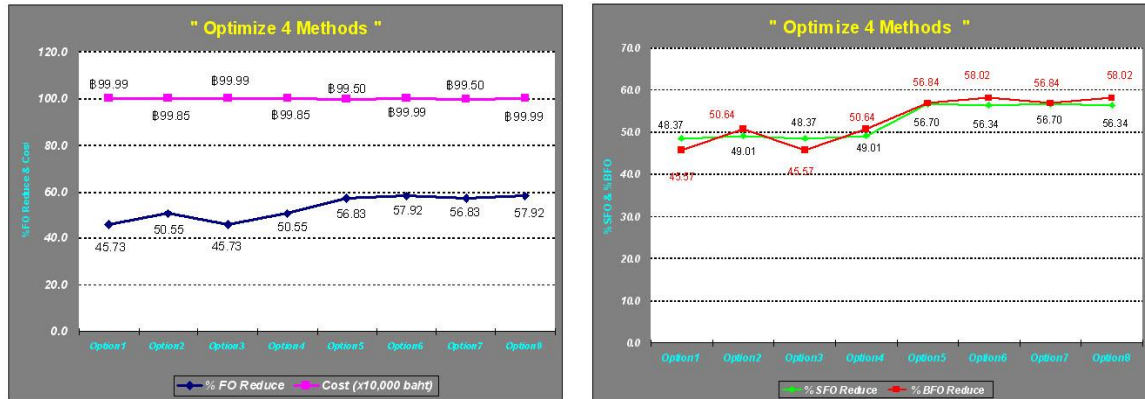
| รูปแบบ | ก่อนแก้ไข | | | | หลังแก้ไข | | | | วิธีที่ได้ จาก การ ที่ต้องแก้ไข | จำนวนต้น ที่ต้องแก้ไข | คิดเป็นเงิน (บาท) | % การลดลงของ สมรรถนะฟ้าผ่า | | | Cost/%FO |
|--------|-----------|--------|--------|----------|-----------|--------|--------|----------|---------------------------------------|--------------------------|----------------------|-------------------------------|--------|--------|------------|
| | SFO | BFO | FO | FO/100km | SFO | BFO | FO | FO/100km | | | | SFO | BFO | FO | |
| 34 | 0.819 | 13.286 | 14.106 | 25.151 | 0.764 | 11.412 | 12.175 | 21.709 | Ground | 77 | 174,605 | -6.80 | -14.11 | -13.69 | 72,619.22 |
| | | | | | | | | | Arrester | 16 | 819,200 | | | | |
| | | | | | | | | | | | 993,805 | | | | |
| 35 | 0.819 | 13.286 | 14.106 | 25.151 | 0.805 | 11.998 | 12.803 | 22.829 | Ground | 35 | 60,150 | -1.76 | -9.69 | -9.23 | 106,346.03 |
| | | | | | | | | | Arrester | 6 | 921,600 | | | | |
| | | | | | | | | | | | 981,750 | | | | |
| 36 | 0.819 | 13.286 | 14.106 | 25.151 | 0.806 | 11.118 | 11.924 | 21.261 | Ground | 77 | 174,605 | -1.65 | -16.32 | -15.47 | 60,950.81 |
| | | | | | | | | | Arrester | 5 | 768,000 | | | | |
| | | | | | | | | | | | 942,605 | | | | |
| 37 | 0.819 | 13.286 | 14.106 | 25.151 | 0.402 | 8.243 | 8.645 | 15.414 | Ground | 44 | 65,420 | -50.88 | -37.96 | -38.71 | 25,775.32 |
| | | | | | | | | | Add shield | 63 | 932,400 | | | | |
| | | | | | | | | | | | 997,820 | | | | |
| 38 | 0.819 | 13.286 | 14.106 | 25.151 | 0.447 | 8.281 | 8.728 | 15.562 | Ground | 75 | 169,445 | -45.44 | -37.67 | -38.12 | 26,185.17 |
| | | | | | | | | | Add shield | 56 | 828,800 | | | | |
| | | | | | | | | | | | 998,245 | | | | |

ตารางที่ 17 (ต่อ)

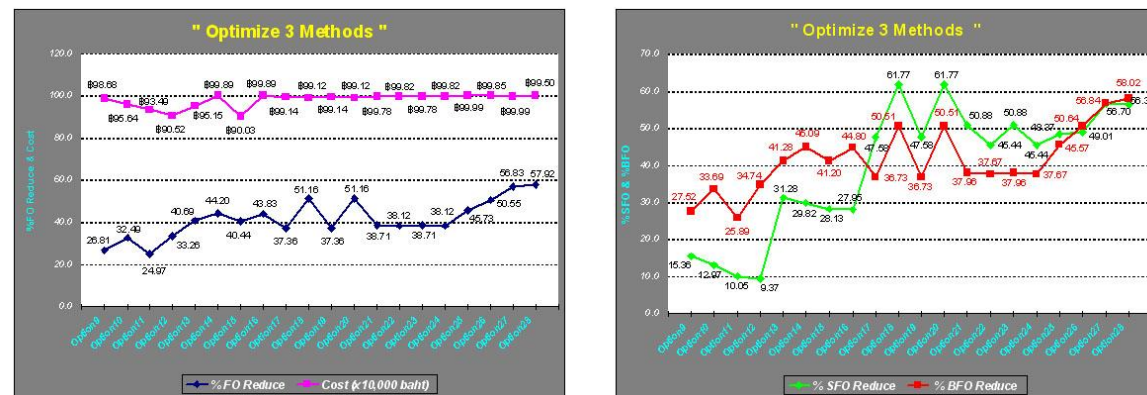
| รุปแบบ | ก่อนแก้ไข | | | | หลังแก้ไข | | | | วิธีที่ได้ จาก การ ที่ต้องแก้ไข | จำนวนต้น ที่ต้องแก้ไข | คิดเป็นเงิน (บาท) | % การลดลงของ สมรรถนะฟ้าผ่า | | | Cost/%FO |
|--------|-----------|--------|--------|----------|-----------|--------|--------|----------|---------------------------------------|--------------------------|----------------------|-------------------------------|--------|--------|-----------|
| | SFO | BFO | FO | FO/100km | SFO | BFO | FO | FO/100km | | | | SFO | BFO | FO | |
| 39 | 0.819 | 13.286 | 14.106 | 25.151 | 0.695 | 10.369 | 11.064 | 19.727 | Insulator | 169 | 266,175 | -15.24 | -21.96 | -21.57 | 45,580.64 |
| | | | | | | | | | Arrester | 14 | 716,800 | | | | |
| | | | | | | | | | | | 982,975 | | | | |
| 40 | 0.819 | 13.286 | 14.106 | 25.151 | 0.562 | 8.259 | 8.821 | 15.728 | Insulator | 169 | 532,350 | -31.37 | -37.84 | -37.47 | 26,508.71 |
| | | | | | | | | | Arrester | 9 | 460,800 | | | | |
| | | | | | | | | | | | 993,150 | | | | |
| 41 | 0.819 | 13.286 | 14.106 | 25.151 | 0.742 | 10.440 | 11.182 | 19.938 | Insulator | 169 | 266,175 | -9.46 | -21.42 | -20.72 | 42,489.62 |
| | | | | | | | | | Arrester | 4 | 614,400 | | | | |
| | | | | | | | | | | | 880,575 | | | | |
| 42 | 0.819 | 13.286 | 14.106 | 25.151 | 0.591 | 8.383 | 8.974 | 16.001 | Insulator | 169 | 532,350 | -27.93 | -36.90 | -36.38 | 27,298.65 |
| | | | | | | | | | Arrester | 3 | 460,800 | | | | |
| | | | | | | | | | | | 993,150 | | | | |
| 43 | 0.819 | 13.286 | 14.106 | 25.151 | 0.430 | 8.406 | 8.835 | 15.753 | Insulator | 169 | 266,175 | -47.58 | -36.73 | -37.36 | 26,533.33 |
| | | | | | | | | | Add shield | 49 | 725,200 | | | | |
| | | | | | | | | | | | 991,375 | | | | |

ตารางที่ 17 (ต่อ)

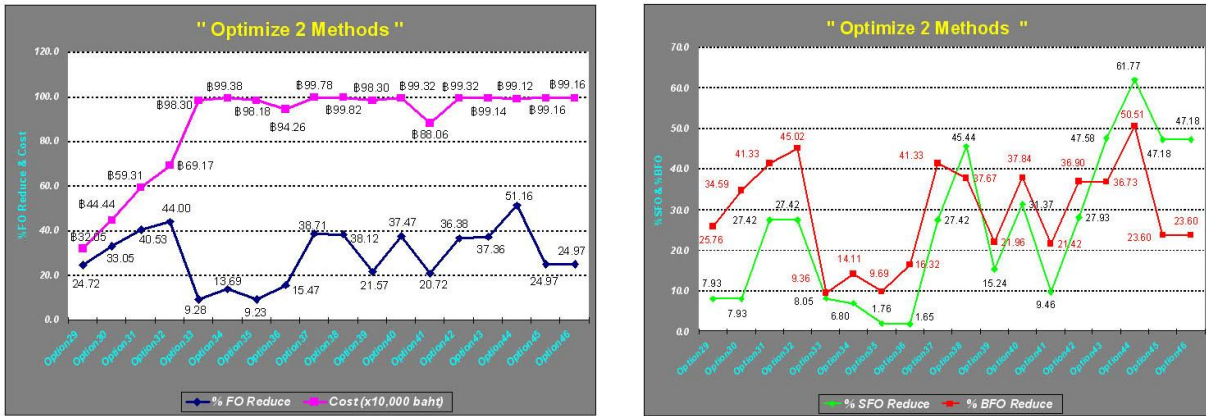
| รูปแบบ | ก่อนแก้ไข | | | | หลังแก้ไข | | | | วิธีที่ได้ จากการ ที่ต้องแก้ไข | จำนวนต้น ที่ต้องแก้ไข | คิดเป็นเงิน (บาท) | % การลดลงของ สมรรถนะฟ้าผ่า | | | Cost/%FO |
|--------|-----------|--------|--------|----------|-----------|--------|--------|----------|--------------------------------------|--------------------------|----------------------|-------------------------------|--------|--------|-----------|
| | SFO | BFO | FO | FO/100km | SFO | BFO | FO | FO/100km | | | | SFO | BFO | FO | |
| 44 | 0.819 | 13.286 | 14.106 | 25.151 | 0.313 | 6.576 | 6.889 | 12.284 | Insulator | 169 | 532,350 | -61.77 | -50.51 | -51.16 | 19,373.71 |
| | | | | | | | | | Add shield | 31 | 458,800 | | | | |
| | | | | | | | | | | | 991,150 | | | | |
| 45 | 0.819 | 13.286 | 14.106 | 25.151 | 0.433 | 10.150 | 10.583 | 18.870 | Add shield | 67 | 991,600 | -47.18 | -23.60 | -24.97 | 39,706.33 |
| | | | | | | | | | | | 991,600 | | | | |
| 46 | 0.819 | 13.286 | 14.106 | 25.151 | 0.433 | 10.150 | 10.583 | 18.870 | Add shield | 67 | 991,600 | -47.18 | -23.60 | -24.97 | 39,706.33 |
| | | | | | | | | | | | 991,600 | | | | |



ภาพที่ 72 กราฟแสดงสมรรถนะฟ้าผ่าที่ลดลงจากการ Optimization 4 วิธี



ภาพที่ 73 กราฟแสดงสมรรถนะฟ้าผ่าที่ลดลงจากการ Optimization 3 วิธี



ภาพที่ 74 กราฟแสดงสมรรถนะฟ้าผ่าที่ลดลงจากการ Optimization 2 วิธี

3.5.4 เลือกทางเลือกที่ให้การปรับปรุงเกิดประสิทธิผลมากที่สุด

ตารางที่ 18 เปรียบเทียบทางเลือกที่ให้ประสิทธิผลที่สุด

| รุปแบบ | % การลดลงของ สมรรถนะฟ้าผ่า | | | จำนวนสาที่ต้องปรับปรุง | | | ต้นทุน (บาท) | | | | Cost/%FO | Remark |
|--------|-------------------------------|---------------|---------------|------------------------|-----------|------------|------------------------------|---------|---------|---------|------------------|--|
| | SFO | BFO | FO | Ground | Insulator | Add shield | Cost | Cost | Cost | Sum | | |
| | | | | Ground | Insulator | Add shield | Cost | Cost | Cost | Cost | | |
| 29 | -7.93 | -25.76 | -24.72 | 31 | 169 | - | 54,345 | 266,175 | - | 320,520 | 12,964.56 | Cost/%FO น้อยที่สุด |
| 29-1 | -7.93 | -34.58 | -33.03 | 10Ω - 31 5Ω - 72 | 169 | - | 10Ω - 54,345 5Ω - 112,280 | 266,175 | - | 432,800 | 13,103.63 | เนื่องจากรุปแบบที่ 29 มีต้นทุนรวม ไม่ถึง 1 ล้านบาท จึงปรับปรุงด้วย ค่าความต้านคัน 5Ω เพิ่มเติม |
| 6 | -56.34 | -58.02 | -57.92 | 75 | 169 | 21 | 156,785 | 532,350 | 310,800 | 999,935 | 17,264.08 | %FO, %BFO ลดลงมากที่สุด |
| 18 | -61.77 | -50.51 | -51.16 | - | 169 | 31 | - | 532,350 | 458800 | 991150 | 19,373.71 | %SFO ลดลงมากที่สุด |

วิจารณ์

1. ข้อมูลฟ้าผ่าเมมลงดินของ EGAT LLS

จากการใช้โปรแกรม Arcview GIS ร่วมกับข้อมูลฟ้าผ่าแบบเมมลงดินของ EGAT LLS ทำให้ได้แนวโน้มฟ้าผ่าในประเทศไทยของปี พ.ศ.2548 พบว่ามีความหนาแน่นมากในพื้นที่ภาคกลาง ภาคตะวันออก ภาคตะวันออกเฉียงเหนือ กระแสฟ้าผ่าส่วนใหญ่จะเป็นฟ้าผ่าแบบลบ (~ 90%) มีค่าอยู่ในช่วง 0 ถึง -40 kA สำหรับกระแสฟ้าผ่าแบบบวก (~ 10%) มีค่าอยู่ในช่วง 0 ถึง 20 kA พบในบริเวณภาคกลาง ค่ากระแสฟ้าผ่าสูงสุดที่รัศมีคือ -223.0 kA, 233.9 kA มีความน่าจะเป็นของกราฟรูปร่างใกล้เคียงกับรูปแบบ IEEE และมีค่าความน่าจะเป็นต่ำกว่า สามารถแบ่งออกได้เป็น 4 ช่วง คือ

- ช่วงที่1 มกราคม-มีนาคม เป็นช่วงที่มีความหนาแน่นฟ้าผ่าน้อยที่สุด เริ่มต้นที่ภาคเหนือ ตอนล่าง ภาคตะวันออกเฉียงเหนือ และลงสู่ภาคกลาง จำนวนฟ้าผ่าและค่ากระแสฟ้าผ่าไม่สูงมาก

- ช่วงที่2 เมษายน-พฤษภาคม เป็นช่วงที่มีความหนาแน่นฟ้าผ่าและจำนวนฟ้าผ่ามากที่สุด โดยเฉพาะภาคกลาง ภาคตะวันออก ภาคตะวันออกเฉียงเหนือตอนล่าง

- ช่วงที่3 มิถุนายน-กันยายน เป็นช่วงที่มีความหนาแน่นฟ้าผ่าและจำนวนฟ้าผ่าค่อนข้างสูง ใกล้เคียงกันทั้ง 4 เดือน

- ช่วงที่4 ตุลาคม-ธันวาคม เป็นช่วงที่มีความหนาแน่นฟ้าผ่าลดลงเนื่องจากเข้าสู่ฤดูหนาว และฟ้าผ่าส่วนมากอยู่ในบริเวณอ่าวไทย

เมื่อนำสายส่งทั้ง 3 เส้นทางมาหาค่า GFD ของแต่ละช่วงสภาพว่าทั้งระยะ 0.5 และ 1 กิโลเมตร ให้ค่าเฉลี่ย GFD ใกล้เคียงกัน สำหรับสายส่ง 230kV AT2-TL3, 500kV SNO-WN#3 มีค่าเฉลี่ย GFD ~ 14.5 ครั้งต่อตารางกิโลเมตรต่อปี และแนวสายส่ง 115kV KLA-CT มีค่าเฉลี่ย GFD ~ 7.5 ครั้งต่อตารางกิโลเมตรต่อปี

2. สมรรถนะฟ้าผ่าของทั้ง 3 แนวสายส่ง

เมื่อนำข้อมูลการเกิดเหตุการณ์ขัดข้องเนื่องจากฟ้าผ่าขึ้นหลัง 5 ปีของทั้ง 3 สายส่งพบว่า เหตุการณ์ส่วนมากไม่เกิดไฟดับ มีเพียงเหตุการณ์ Trip Recloser และตรวจสอบการอาร์คที่ Arcing Horn หรือวานไฟที่ถูกถ่ายเท่านั้น สภាពากาศมักรอบว่ามีฟ้าผ่า ฝนตก สมรรถนะฟ้าผ่าของทั้ง 3 แนวสายส่งจากเหตุการณ์ขัดข้องที่เกิดขึ้นขึ้นหลัง 5 ปี ยังอยู่ในเกณฑ์มาตรฐานของ IEEE 1313.2-1999 สำหรับสายส่งที่มีจำนวนเหตุการณ์ขัดข้องเฉลี่ยมากที่สุด คือ 115kV KLA-CT (6.7754 ครั้ง ต่อปีต่อ 100 กิโลเมตร)

เพื่อให้แน่ใจว่าฟ้าผ่าจะเป็นสาเหตุของเหตุการณ์ขัดข้องจริง จึงนำข้อมูล EGAT LLS ในปี พ.ศ.2548 หาความสัมพันธ์ที่ยังกับเหตุการณ์ขัดข้องเนื่องจากฟ้าผ่าที่เกิดขึ้นจริง และประเมินว่า เหตุการณ์ขัดข้องน่าจะเป็นการวานไฟชนิดใดด้วยโปรแกรม TFlash พบร่วมกัน

- สายส่ง 115kV KLA-CT ไม่มีฟ้าผ่าเกิดขึ้นในระยะใกล้เสา (D_T) แต่มีฟ้าผ่าไกลแนวสายส่ง (D_L) ในระยะหนึ่งกิโลเมตร การวานไฟส่วนใหญ่เป็น Back Flashover
- สายส่ง 230kV AT2-TL3 มีฟ้าผ่าเกิดขึ้นระยะใกล้เสา (D_T) และแนวสายส่ง (D_L) ในระยะ 0.5 กิโลเมตร การวานไฟเป็นทั้ง Back Flashover และ Shielding Failure
- สายส่ง 500kV SNO-WN#3 มีฟ้าผ่าเกิดขึ้นระยะใกล้เสา (D_T) และแนวสายส่ง (D_L) ในระยะหนึ่งกิโลเมตร การวานไฟครั้งเดียวไม่สามารถระบุได้ว่าเป็นแบบใด

การหาสมรรถนะฟ้าผ่าจากการคำนวณด้วยโปรแกรม TFlash version 3.0.21 และข้อมูล ความหนาแน่นฟ้าผ่าต่อพื้นที่ในแต่ละช่วงเสา โดยใช้รายละเอียดสายส่งจากการออกแบบเดิม พบร่วมกัน ข้อมูลความหนาแน่นฟ้าผ่าที่ระยะ 0.5 กิโลเมตรให้ค่าสมรรถนะฟ้าผ่าใกล้เคียงกับระยะ 1 กิโลเมตร ถึงแม้จะมีบางช่วงเสาของที่ระยะ 0.5 กิโลเมตรให้ค่าความหนาแน่นฟ้าผ่าเป็นศูนย์ ขณะที่ระยะ 1 กิโลเมตรของช่วงเสาเดียวกันมีค่าความหนาแน่นฟ้าผ่าไม่เป็นศูนย์

สำหรับค่าสมรรถนะฟ้าผ่าจากการคำนวณของโปรแกรม TFlash version 3.0.21 พบร่วมกัน สายส่ง 115kV KLA-CT และ 500kV SNO-WN#3 มีค่ามากกว่าเกณฑ์มาตรฐานของ IEEE 1313.2-1999 นอกจากนี้ทั้ง 3 สายส่งยังมีค่าสมรรถนะฟ้าผ่าจากการคำนวณสูงกว่าเหตุการณ์ขัดข้องจริง ค่อนข้างมากทำให้ต้องเลือกใช้ข้อมูลที่ได้จากการสำรวจเพิ่มเติม เนื่องจากข้อมูลที่ได้จากการสำรวจ

มีเพียงแนวเดียว คือ 115kV KLA-CT จึงเปลี่ยนค่าความด้านท่านที่ฐานเสาใหม่ให้เป็นไปตามจริง และเปรียบเทียบกับเหตุการณ์ขัดข้องจริงเฉพาะปี พ.ศ. 2548 เท่านั้น ทำให้สมรรถนะฟ้าผ่าจากการคำนวณที่ได้จากโปรแกรม TFlash version 3.0.21 มีจำนวนเท่าความแตกต่างลดลงเหลือเพียง 1.369 เท่า ซึ่งใกล้เคียงเหตุการณ์ขัดข้องจริงมากกว่า

3. การปรับปรุงสมรรถนะฟ้าผ่า

การปรับปรุงสมรรถนะฟ้าผ่าด้วยโปรแกรม TFlash version 4.0.22 ซึ่งปรับปรุงเฉพาะสายส่ง 115kV KLA-CT เนื่องจากมีเหตุการณ์ขัดข้องเฉลี่ยมากที่สุด และสมรรถนะฟ้าผ่าของ TFlash ทั้งสองเวอร์ชัน ให้ค่าไม่เท่ากัน (Version 4.0.22 มีค่า 25.151 ครั้งต่อปีต่อ 100 กิโลเมตร ขณะที่ Version 3.0.21 มีค่า 14.650 ครั้งต่อปีต่อ 100 กิโลเมตร) จึงเปรียบเทียบความแตกต่างของสมรรถนะฟ้าผ่าหลังการปรับปรุงเป็นการลดลงของค่า %BFO, %SFO, %FO

การเลือกแนวทางเพื่อปรับปรุงเลือกจากแนวโน้มผลกระทบของแต่ละแนวทาง พบว่า

- การลดค่าความด้านท่านที่ฐานเสาช่วยลดค่า BFO อย่างเดียว และการลดความด้านท่านเหลือ 1 โอห์ม ให้ผลลัพธ์ไม่แตกต่างกัน 5 โอห์ม

- การเพิ่มค่า CFO โดยการเพิ่มจำนวนลูกถ่ายช่วยลดทั้งค่า BFO, SFO เลือกการเพิ่มเป็น 1, 2 ลูก เนื่องจากจำนวนลูกถ่ายเดิมที่ใช้ในสายส่งนี้มีจำนวนมากเพียงพอสำหรับระดับแรงดันนี้

- การติดตั้ง Arrester ช่วยลดทั้งค่า BFO, SFO การเลือกติดตั้งเฉพาะเฟสที่มีปัญหาจะช่วยลด SFO ได้มากกว่าการติดตั้งทุกเฟส

- การขยายนายชีล์ด์ให้สูงขึ้นเพื่อลดมุมชีล์ด์จาก 30° เหลือ 15° ลดได้เฉพาะค่า SFO แต่ทำให้ BFO มีค่าสูงขึ้น จึงไม่เลือกแนวทางนี้ในการปรับปรุง

- การเพิ่มสายชีล์ดเพื่อลดมุมชีล์ด์จาก 30° เหลือ 15° ช่วยลดทั้งค่า BFO, SFO โดยเฉพาะการเพิ่มสายชีล์ดทั้งด้านซ้ายจะลดได้มากกว่า เนื่องจากสามารถป้องกันสายไฟได้ถึง 2 เฟส ดังนั้น จึงเลือกการเพิ่มสายชีล์ดทั้งด้านซ้ายเพียงวิธีเดียว

เมื่อเลือกแนวทางทั้งหมดเพื่อใช้ปรับปรุงได้ และ Optimization ครั้งละ 2, 3, 4 วิธี ทำให้ได้รูปแบบทั้งหมดที่แตกต่างกันถึง 46 รูปแบบ แต่หลังจากใช้โปรแกรม TFlash version 4.0.22 Optimizer แล้วพบว่าผลของทั้ง 46 รูปแบบนี้ซ้ำกันบางรูปแบบ เหลือผลที่ไม่ซ้ำกันเพียง

29 รูปแบบและ Optimization ครั้งละ 2 วิธีทำให้บางวิธีใช้ต้นทุนไม่ถึง 50% (ในที่นี้กำหนดต้นทุน 1 ล้านบาท) ทุกรูปแบบหลังจาก Optimization แล้วไม่สามารถลดสมรรถนะฟ้าผ่าให้เหลือ 1 ครั้ง ต่อปีต่อ 100 กิโลเมตรตามเป้าหมายที่กำหนดได้

เมื่อทำการพิจารณาทั้ง 29 รูปแบบ พบว่าวิธีการรูปแบบที่ 29 ต้องปรับปรุงความด้านท่านฐานเสาให้เหลือ 10 โไอห์ม, เพิ่มลูกถ่วง 1 ลูก ส่งผลให้ค่า Cost/%FO น้อยที่สุดเพียง 12,964.56 บาท แต่วิธีการนี้ใช้ต้นทุนไม่ถึง 50% จึง Optimization เพิ่มด้วยการลดความด้านท่านที่ฐานเสาอีก 5 โไอห์ม แต่ยังคงทำให้ค่า Cost/%FO น้อยที่สุดเพียง 13,103.63 บาทและใช้ต้นทุนไม่ถึง 50% เช่นเดิม สามารถลดค่าสมรรถนะฟ้าผ่าได้เพียง 33.03% และลดได้แต่เพียงค่า BFO เท่านั้น

ทั้งพิจารณาเป็นค่าสมรรถนะฟ้าผ่าที่ลดลงมากที่สุด รูปแบบที่สามารถลดค่า SFO มากที่สุด คือ รูปแบบที่ 18 และรูปแบบที่สามารถลดค่า BFO, FO มากที่สุด คือ รูปแบบที่ 6 แต่มีเบร์ียนเทียบ ทั้งสองรูปแบบนี้ พบว่ารูปแบบที่ 6 สามารถลด SFO ได้ใกล้เคียงกับรูปแบบที่ 18 และยังมีค่า Cost/%FO น้อยกว่าด้วย

เนื่องจากสายส่ง 115kV KLA-CT มีการวานไฟส่วนมากเป็นแบบ BFO ทั้งเหตุการณ์จริง และการคำนวณจากโปรแกรม เมื่อพิจารณาจากสมรรถนะฟ้าผ่า, ชนิดการวานไฟ, Cost/%FO พบว่า รูปแบบที่ 6 ซึ่งต้องปรับปรุงความด้านท่านฐานเสาให้เหลือ 5 โไอห์ม, เพิ่มลูกถ่วง 2 ลูก, เพิ่มสายชีล์ด เป็นรูปแบบที่ให้ประสิทธิภาพดีที่สุด เพราะสามารถลดได้ทั้งค่า BFO, SFO, FO ได้สูงถึง 58.02%, 56.34%, 57.92% ตามลำดับ โดยที่มีค่า Cost/%FO เพียง 17,264.08 บาท เมื่อใช้เงินลงทุนไม่เกิน 1 ล้านบาท

สรุปและข้อเสนอแนะ

สรุป

จากการนำข้อมูลฟ้าผ่าที่ได้จากการทดสอบการหาตำแหน่งฟ้าผ่านมาวิเคราะห์ด้วยโปรแกรม Arcview GIS และคำนวณหาสมมติฐานฟ้าผ่าของสายส่งที่ใช้งานอยู่ทั้ง 3 สายส่งด้วยโปรแกรม TFlash version 3.0.21 เปรียบเทียบกับเหตุการณ์ขัดข้องจริง สรุปได้ว่า

1. การนำข้อมูลฟ้าผ่านมาสร้างบนแผนที่ประเทศไทยเป็นแผนที่ความหนาแน่นฟ้าผ่าสามารถใช้บอกพื้นที่ที่มีฟ้าผ่านแบบแม่กลงคืนบอยได้ช่วยให้เราทราบว่าพื้นที่นั้นส่งผลกระทบกับสายส่งเนื่องจากฟ้าผ่านมากน้อยเพียงใด แต่ข้อมูลในที่นี้มีเพียงปี พ.ศ.2548 เท่านั้น จึงควรจะเก็บข้อมูลฟ้าผ่าให้มากกว่านี้ และควรเก็บในรูปแบบสถิติเพื่อดูแนวโน้มของฟ้าผ่าที่เกิดขึ้นในแต่ละปี
2. เหตุการณ์ขัดข้องจริงที่เกิดขึ้นมีความสัมพันธ์กับตำแหน่งฟ้าผ่าที่เกิดขึ้น ทำให้เราสามารถใช้ข้อมูล EGAT LLS พิสูจน์ว่าฟ้าผ่านเป็นสาเหตุสำคัญ原因之一 และคาดคะเนรูปแบบการวางไฟที่มักเกิดขึ้นได้ เพื่อหาแนวทางการปรับปรุงสายส่งได้อย่างเหมาะสม
3. การคำนวณสมมติฐานฟ้าผ่านสามารถใช้รายละเอียดสายส่งจากข้อมูลการออกแนวได้แต่หลังจากสายส่งใช้งานไปแล้วควรใช้ข้อมูลความด้านทานฐานเสาที่ได้จากการสำรวจจริง หรือถ้ามีการเปลี่ยนแปลงบางอย่างในแนวสายส่งขณะใช้งานก็ควรใช้ข้อมูลนั้นด้วย จึงจะสามารถคาดคะเนสมมติฐานฟ้าผ่าของสายส่งได้ใกล้เคียงกับเหตุการณ์ขัดข้องจริงมากขึ้น

สำหรับการปรับปรุงสมมติฐานฟ้าผ่าของสายส่ง 115kV แกลง-จันทบุรีด้วยโปรแกรม TFlash version 4.0.22 ทำให้เห็นว่าสายส่งนี้เดิมมีค่าความด้านทานที่ฐานเสาสูง แม้มีการปรับปรุงแล้วในปี พ.ศ.2547 แต่ยังสามารถเกิดการวางไฟข้อนอกลั่นเนื่องจากฟ้าผ่าได้ในปี พ.ศ.2548 ถึง 6 ครั้ง และคงว่าการลดค่าความด้านทานที่ฐานเสาให้ได้ตามข้อกำหนดโดยยังไม่พิจพoit เมื่อใช้โปรแกรม Optimization เลือกวิธีการที่ให้ประสิทธิผลมากที่สุด พบว่า ควรミニการปรับปรุงค่าความด้านทานที่ฐานเสาให้น้อยกว่าข้อกำหนด เพิ่มลูกอัจฉริยะมากขึ้น เพิ่มสายชีล์ดอีกเส้นเพื่อให้มุนช์คด์น้อยลงในเสาร่องทางด้านที่มีปัญหา จะช่วยลดสมมติฐานฟ้าผ่าได้มากเกือบ 60%

เนื่องจากไฟฟ้ามีผลกระทบกับสายส่งแรงดัน 115 KV ค่อนข้างมาก ดังนั้นในกรณีที่จะสร้างสายส่งระดับแรงดันนี้ จึงควรจะศึกษาถ่องว่าพื้นที่ที่จะติดตั้งมีความหนาแน่นไฟฟ้าสูงหรือไม่ด้วยข้อมูลไฟฟ้าที่มีการเก็บค่าเป็นสถิติ ในการณ์ที่พื้นที่นั้นมีความหนาแน่นไฟฟ้าสูงอาจจะให้คำว่าต้านทานที่ฐานเสาไม่ค้านอยกว่าข้อกำหนด มีจำนวนลูกถ่วงมากกว่าปกติ เพิ่มค่า CFO และมีมุนช์ลดน้อยลงหรือมีสายชีล์ด์มากกว่าหนึ่งเส้น จะช่วยลดการวางไฟทั้งหมดซึ่งเป็นผลทำให้เกิดเหตุการณ์ขัดข้องของระบบสายส่งไฟฟ้าได้ ทำให้สมรรถนะไฟฟ้าของสายส่งดีขึ้นด้วย

ข้อเสนอแนะ

วิทยาพนธ์นี้นำเสนอเพียงแนวทางการนำข้อมูลทั้งไฟฟ้า ข้อมูลเหตุการณ์ขัดข้องที่มีอยู่มาใช้ประโยชน์ในการหาสมรรถนะไฟฟ้า ปรับปรุงสายส่งที่ใช้งานอยู่ หากจะใช้แนวทางนี้ในการออกแบบเคราะห์กับสายส่งหลายๆแนว เพื่อให้สามารถสรุปปัญหาที่เกิดขึ้นทั้งหมด นำมาสร้างข้อกำหนดที่ชัดเจนขึ้นและคุ้มค่ากับการลงทุนสร้างสายส่งที่มีสมรรถนะไฟฟ้าดี นอกจากนี้ ข้อมูลไฟฟ้าที่ได้ ถ้ามีการเก็บข้อมูลในรูปแบบสถิติเป็นเวลาไม่น้อยกว่า 5 ปี และนำมาช่วยในการออกแบบค่าสมรรถนะไฟฟ้า จะช่วยให้ความแม่นยำใกล้เคียงเหตุการณ์ที่จะเกิดขึ้นจริง ได้อีกด้วย

เอกสารและสิ่งอ้างอิง

กองวิศวกรรมสายสั่ง ฝ่ายวิศวกรรมระบบสั่ง. 2549. สายสั่งไฟฟ้าแรงสูง. (Microsoft Power Point). สำนักงานใหญ่การไฟฟ้าฝ่ายผลิตแห่งประเทศไทย จังหวัดนนทบุรี.

คำศัพท์กรมอุตุนิยมวิทยา. www.tmd.go.th. ตุลาคม 2549.

ชำนาญ ห่อเกียรติ, รศ.ดร. 2548. การวิเคราะห์ระบบไฟฟ้ากำลัง. ครั้งที่ 1. โครงการพัฒนาความชำนาญด้านไฟฟ้ากำลัง ภาควิชาวิศวกรรมไฟฟ้า คณะวิศวกรรมศาสตร์ มหาวิทยาลัยเกษตรศาสตร์, กรุงเทพฯ.

บุญมาก สมิทธิลีลา และ สุพัตรา ภูมิวัฒน์. 2539. ท่าฯ. วารสาร กฟผ. 5 (3): 12-21.

แผนกสมรรถนะระบบไฟฟ้า กองวางแผนปฏิบัติการระบบสั่งไฟฟ้า. ข้อมูลสายสั่งไฟฟ้าแรงสูง ขัดข้อง. (Intranet). สำนักงานใหญ่การไฟฟ้าฝ่ายผลิตแห่งประเทศไทย จังหวัดนนทบุรี.

ศุนย์วิจัยระบบภูมิศาสตร์เพื่อการพัฒนาท้องถิ่น ภาควิชาเทคโนโลยีชั้นนำ มหาวิทยาลัยธรรมศาสตร์. 30 กันยายน 2006. เรียนรู้การใช้งาน PC Arcview GIS 3.1. www.gis2me.com. พฤศจิกายน 2006.

สำราญ สังฆะสาด, ดร. 2547. วิศวกรรมไฟฟ้าแรงสูง.
ครั้งที่ 1. ภาควิชาวิศวกรรมไฟฟ้า คณะวิศวกรรมศาสตร์ มหาวิทยาลัยจุฬาลงกรณ์, กรุงเทพฯ.

สรุปผล ดำรงกิตติกุล. 2535. วิศวกรรมไฟฟ้าแรงสูง.
ครั้งที่ 1. ภาควิชาวิศวกรรมไฟฟ้า คณะวิศวกรรมศาสตร์ มหาวิทยาลัยเชียงใหม่, เชียงใหม่.

Andrew R.Hileman. 1999. **Insulation Coordination for Power Systems.** ครั้งที่ 2. Marrel Dekker, Inc., New York USA.

Ed Bardo (Vaisala Inc.). 2005. The New TS Series Lightning Detection Network, *In Lightning Location System Seminar*. Electricity Generating Authority of Thailand, Chacheongsao Thailand.

Electric Power Research Institute (EPRI). 2000. **TFlash User's Guide.** (Help Topics in Program TFlash). Palo Alto, California USA.

Environmental Systems Research Institute, Inc. June 2002. What's New in Arcview 3.1,3.2 and 3.3, *In An ESRI Whitepaper*. ESRI, California USA.

J.G.Anderson. 1987. **Chapter12 of Transmission Line Reference Book 345 kV and Above.** Electric Power Research Institute(EPRI). 2 ed.California USA.

J.G. Anderson and W.A. Chisholm. 2004. **Chapter6 of EPRI AC Transmission Line Reference Book-200 kV and Above.** Electric Power Research Institute(EPRI). 3 ed. California USA.

Kliebphipat, Ravadee. 2005. Overview of EGAT LLS, *In Lightning Location System Seminar*. Electricity Generating Authority of Thailand, Chacheongsao Thailand.

K&R Consulting, LLC Cosponsored by EPRI. 2004. **Handbook for Improving Overhead Transmission Line Lightning Performance (1002019).** 160.

Lightning Location and Protection, Inc. 1993. **Advanced Lightning Direction Finder Installation Operation and Maintenance Manual.** Arizona USA.

Martin A.Uman. 1984. **Lightning.** Revised ed. Mc Graw-Hill, New York USA.

Scott Michael Steiger. 2001. **Cloud-To-Ground Lightning Characteristics over Houston, Texas.** Master of Science thesis, Texas A&M University.

Transmission and Distribution Committee of the IEEE Power Engineering Society. 1997. IEEE Guide for Improving the Lightning Performance of Transmission Lines (IEEE Std.1243-1997), ISBN 1-55937-937-5. *In IEEE Standard Board Approved 26 June 1997.* The Institute of Electrical and Electronics Engineers, Inc., New York USA.

Vernon Coorey. 2003. **The Lightning Flash.** IEE, UK.

Vladimir A.Rakov and Martin A.Uman. 2003. **Lightning, Physics and Effects.** คัมภีร์ 1. Cambridge University Press, Cambridge UK.

ภาคผนวก

ภาคผนวก ก

รายละเอียดของสายสั่ง

ตารางผนวกที่ ก1 รายละเอียดสายส่ง 115kV แกลง-จันทบุรี
(จำนวนเสา 169 ต้น ระยะทาง 56.085 กิโลเมตร)

| เสาต้นที่/ชนิดเสา/ ชนิดของชุดลูกกล้ำ | ความสูงเสา (เมตร) | ระยะห่าง ช่วงเสา (เมตร) | ชนิดของ Ground | ความต้านทาน ฐานเสา (โอห์ม) | ความหนาแน่นไฟฟ้า | |
|---|----------------------|-------------------------------|-------------------|----------------------------------|--|---------------------------|
| | | | | | แต่ละช่วงเสา (ครั้งต่อตารางกิโลเมตรต่อปี) | 0.5 กิโลเมตร 1.0 กิโลเมตร |
| #47/2A SDE+0 SS | 28.02 | 195.07 | Driven Rod | 1 | 15.379 | 7.689 |
| #47/3A SD1+0 SS | 28.02 | 192 | Driven Rod | 1 | 36.458 | 28.646 |
| #48/1 SA1+0 SS | 28.155 | 350 | Driven Rod | 1 | 14.286 | 12.857 |
| #48/2 SA1+1 SS | 29.155 | 345 | Radial CP | 30 | 17.391 | 10.145 |
| #48/3 SA1+1 SS | 29.155 | 355 | Radial CP | 32 | 16.901 | 18.31 |
| #49/1 SA1+0 SS | 28.155 | 350 | Driven Rod | 20 | 22.857 | 15.714 |
| #49/2 SA1+0 SS | 28.155 | 275 | Radial CP | 10.5 | 10.909 | 7.273 |
| #49/3 SA1-3 SS | 25.155 | 291 | Driven Rod | 17 | 10.309 | 13.746 |
| #49/4 SA1-2 SS | 26.155 | 292 | Radial CP | 16.4 | 17.123 | 15.411 |
| #50/1 SA1-2 SS | 26.155 | 292 | Radial CP | 5.5 | 6.849 | 11.986 |
| #50/2 SA1-1 SS | 27.155 | 300 | Radial CP | 16 | 13.333 | 11.667 |
| #50/3 SA1-2 SS | 26.155 | 350 | Radial CP | 25 | 14.286 | 8.571 |
| #51/1 SA1-3 SS | 25.155 | 247 | Radial CP | 52 | 4.049 | 10.121 |
| #51/2 SA1-3 SS | 25.155 | 243.3 | Radial CP | 10.2 | 24.661 | 18.496 |
| #51/3 SD1+0 ST | 28.02 | 353.7 | Driven Rod | 43 | 8.482 | 9.895 |
| #52/1 SA1+0 SS | 28.155 | 346 | Radial CP | 50 | 8.671 | 7.225 |
| #52/2 SA1-1 SS | 27.155 | 349 | Radial CP | 10.7 | 8.596 | 8.596 |
| #52/3 SA1-1 SS | 27.155 | 348 | Radial CP | 32 | 8.621 | 8.621 |
| #53/1 SA1+2 SS | 30.155 | 347 | Radial CP | 25 | 2.882 | 5.764 |
| #53/2 SA1+2 SS | 30.155 | 347 | Radial CP | 45 | 2.882 | 2.882 |
| #53/3 SA1+0 SS | 28.155 | 353 | Radial CP | 24 | 5.666 | 5.666 |
| #54/1 SA1-1 SS | 27.155 | 352 | Radial CP | 32 | 0 | 5.682 |
| #54/2 SA1+0 SS | 28.155 | 337 | Radial CP | 40 | 8.902 | 5.935 |
| #54/3 SA1+0 SS | 28.155 | 337.92 | Radial CP | 35 | 5.919 | 7.398 |
| #55/1 SA1+0 SS | 28.155 | 348 | Radial CP | 5.6 | 5.747 | 5.747 |
| #55/2 SA1+0 SS | 28.155 | 353 | Radial CP | 50 | 2.833 | 9.915 |

ตารางผนวกที่ ก1 (ต่อ)

| เลขที่/ชนิดเสา/ ชนิดของชุดลูกกลิ้ง | ความสูงเสา (เมตร) | ระยะห่าง ช่วงเสา (เมตร) | ชนิดของ Ground | ความต้านทาน | | ความหนาแน่นไฟฟ้า | |
|---------------------------------------|----------------------|-------------------------------|-------------------|-------------------|------------------------------|------------------------------|--------------|
| | | | | ฐานเสา (โอห์ม) | (ครั้งต่อตารางกิโลเมตรต่อปี) | แต่ละช่วงเสา 0.5 กิโลเมตร | 1.0 กิโลเมตร |
| #55/3 SA1+0 SS | 28.155 | 353 | Radial CP | 35 | 5.666 | 7.082 | |
| #56/1 SA1+0 DS | 28.155 | 333.39 | Radial CP | 3.9 | 5.999 | 8.998 | |
| #56/2 SD1+0 ST&DT | 28.02 | 348.61 | Radial CP | 6.5 | 2.833 | 8.606 | |
| #56/3 SA1+1 SS | 29.155 | 349 | Driven Rod | 12 | 8.596 | 10.029 | |
| #57/1 SA1+1 SS | 29.155 | 350 | Driven Rod | 1.3 | 2.857 | 4.286 | |
| #57/2 SA1+1 SS | 29.155 | 346 | Radial CP | 50 | 5.78 | 4.335 | |
| #57/3 SA1+2 SS | 30.155 | 350 | Radial CP | 70 | 2.857 | 4.285 | |
| #58/1 SA1+0 SS | 28.155 | 348 | Driven Rod | 25 | 0 | 2.874 | |
| #58/2 SA1+1 SS | 29.155 | 350 | Radial CP | 14.8 | 5.714 | 5.714 | |
| #59/1 SA1+2 SS | 30.155 | 350 | Radial CP | 40 | 0 | 1.429 | |
| #59/2 SA1+3 SS | 25.155 | 350 | Radial CP | 23 | 5.714 | 5.714 | |
| #59/3 SA1+0 SS | 28.155 | 346 | Radial CP | 45 | 14.451 | 10.116 | |
| #60/1 SB1+0 ST | 28.03 | 359 | Radial CP | 36 | 11.142 | 12.535 | |
| #60/2 SA1+2 SS | 30.155 | 355 | Radial CP | 120 | 2.817 | 5.634 | |
| #60/3 SA1+3 SS | 31.155 | 352 | Radial CP | 80 | 2.841 | 5.682 | |
| #61/1 SA1+2 SS | 30.155 | 354 | Radial CP | 38 | 11.299 | 11.299 | |
| #61/2 SB1+3 ST | 31.03 | 353 | Radial CP | 20 | 5.666 | 5.666 | |
| #61/3 SA1+1 SS | 29.155 | 361 | Driven Rod | 13.9 | 8.31 | 5.54 | |
| #62/1 SA1+2 SS | 30.155 | 364 | Radial CP | 14.5 | 5.495 | 6.868 | |
| #62/2 SA1+0 SS | 28.155 | 342 | Driven Rod | 1 | 5.848 | 4.386 | |
| #62/3 SA1+1 SS | 29.155 | 350 | Driven Rod | 9.5 | 5.714 | 4.286 | |
| #63/1 SA1+0 SS | 28.155 | 348 | Driven Rod | 3.2 | 5.747 | 4.31 | |
| #63/2 SA1-3 SS | 25.155 | 271.96 | Radial CP | 30 | 7.354 | 9.193 | |
| #63/3 SD1+3 ST | 31.02 | 346.04 | Radial CP | 1 | 14.449 | 5.78 | |
| #64/1 SA1+3 SS | 31.155 | 349 | Driven Rod | 4.5 | 8.596 | 10.029 | |
| #64/2 SA1+3 SS | 31.155 | 356 | Radial CP | 12.3 | 5.618 | 5.618 | |
| #64/3 SA1-3 SS | 25.155 | 325 | Driven Rod | 6.3 | 6.154 | 7.692 | |

ตารางผนวกที่ ก1 (ต่อ)

| เลขที่/ชนิดเสา/ ชนิดของชุดลูกกลิ้ง | ความสูงเสา (เมตร) | ระยะห่าง ช่วงเสา (เมตร) | ชนิดของ Ground | ความต้านทาน | | ความหนาแน่นไฟฟ้า แต่ละช่วงเสา (ครั้งต่อตารางกิโลเมตรต่อปี) 0.5 กิโลเมตร 1.0 กิโลเมตร |
|---------------------------------------|----------------------|-------------------------------|-------------------|------------------|---------------------|---|
| | | | | ฐานเสา (เมตร) | จุดติดตั้ง บนเสา | |
| #65/1 SA1+2 SS | 30.155 | 350 | Radial CP | 8.7 | 8.571 | 10 |
| #65/2 SA1+2 SS | 30.155 | 346 | Driven Rod | 1 | 11.561 | 11.561 |
| #65/3 SA1+0 SS | 28.155 | 347 | Radial CP | 22 | 2.882 | 7.205 |
| #66/1 SA1+1 SS | 29.155 | 340 | Radial CP | 35 | 11.765 | 4.412 |
| #66/2 SA1+0 DS | 28.155 | 342 | Radial CP | 19 | 8.772 | 11.696 |
| #66/3 SA1+1 DS | 29.155 | 343 | Radial CP | 56 | 2.915 | 4.373 |
| #67/1 SA1+1 SS | 29.155 | 344 | Radial CP | 67 | 5.814 | 5.814 |
| #67/2 SA1-2 SS | 26.155 | 343 | Radial CP | 30 | 5.831 | 7.289 |
| #68/1 SA1+0 SS | 28.155 | 338 | Driven Rod | 3.5 | 8.876 | 5.917 |
| #68/2 SA1+1 SS | 29.155 | 343 | Driven Rod | 2 | 2.915 | 5.831 |
| #68/3 SA1+0 SS | 28.155 | 335 | Radial CP | 80 | 5.97 | 2.985 |
| #69/1 SA1+0 SS | 28.155 | 335 | Driven Rod | 1.7 | 5.97 | 4.478 |
| #69/2 SA1+2 SS | 30.155 | 328 | Driven Rod | 16.5 | 12.195 | 16.768 |
| #69/3 SB1+0 ST | 28.03 | 350 | Radial CP | 20 | 8.571 | 7.143 |
| #70/1 SA1+0 SS | 28.155 | 350 | Driven Rod | 2 | 8.571 | 7.143 |
| #70/2 SA1+0 SS | 28.155 | 341 | Driven Rod | 3 | 5.865 | 5.865 |
| #70/3 SA1+0 SS | 28.155 | 338 | Radial CP | 10 | 8.876 | 11.834 |
| #71/1 SA1+0 SS | 28.155 | 337 | Radial CP | 3.5 | 5.935 | 10.386 |
| #71/2 SA1+1 SS | 29.155 | 320.2 | Driven Rod | 17.3 | 3.123 | 6.246 |
| #71/3 SA1+0 SS | 28.155 | 320 | Radial CP | 75 | 3.125 | 6.25 |
| #72/1 SA1-2 SS | 26.155 | 310 | Radial CP | 6 | 6.452 | 4.839 |
| #72/2 SA1-2 SS | 26.155 | 315 | Radial CP | 19.3 | 12.698 | 9.524 |
| #72/3 SA1+0 SS | 28.155 | 311 | Radial CP | 28 | 0 | 4.823 |
| #72/4 SA1+2 SS | 30.155 | 329 | Driven Rod | 4.8 | 9.119 | 7.599 |
| #73/1 SA1+0 SS | 28.155 | 339 | Radial CP | 35 | 5.9 | 4.425 |
| #73/2 SB1+3 ST | 31.03 | 336 | Radial CP | 14 | 2.976 | 2.976 |
| #73/3 SA1+3 SS | 31.155 | 334 | Radial CP | 50 | 8.982 | 8.982 |

ตารางผนวกที่ ก1 (ต่อ)

| เลขที่/ชนิดเสา/ ชนิดของชุดลูกกลิ้ง | ความสูงเสา (เมตร) | ระยะห่าง ช่วงเสา (เมตร) | ชนิดของ Ground | ความต้านทาน | | ความหนาแน่นไฟฟ้า | |
|---------------------------------------|----------------------|-------------------------------|-------------------|------------------|------------------------------|---|--|
| | | | | ฐานเสา (เมตร) | (ครั้งต่อตารางกิโลเมตรต่อปี) | แต่ละช่วงเสา (0.5 กิโลเมตร 1.0 กิโลเมตร) | |
| #74/1 SA1-3 SS | 25.155 | 328 | Driven Rod | 14 | 3.049 | 6.098 | |
| #74/2 SA1+0 SS | 28.155 | 326 | Radial CP | 7 | 6.135 | 3.068 | |
| #74/3 SA1+0 SS | 28.155 | 299 | Radial CP | 16 | 10.033 | 15.05 | |
| #75/1 SA1+0 SS | 28.155 | 193.74 | Radial CP | 11 | 0 | 5.162 | |
| #75/2 SD1-2 ST | 26.02 | 388.26 | Radial CP | 5 | 10.302 | 7.727 | |
| #75/3 SB1+0 ST&SI | 28.03 | 345 | Radial CP | 30 | 2.899 | 2.899 | |
| #76/1 SA1+0 SS | 28.155 | 345 | Radial CP | 25 | 8.696 | 7.246 | |
| #76/2 SA1+0 SS | 28.155 | 347 | Radial CP | 20 | 0 | 4.323 | |
| #76/3 SA1+1 SS | 29.155 | 347 | Radial CP | 12.5 | 8.646 | 7.205 | |
| #77/1 SA1+0 SS | 28.155 | 347 | Driven Rod | 35 | 2.882 | 7.205 | |
| #77/2 SA1+1 SS | 29.155 | 346 | Radial CP | 45 | 2.89 | 4.335 | |
| #77/3 SA1+0 SS | 28.155 | 351 | Radial CP | 7 | 8.547 | 7.122 | |
| #78/1 SA1+1 SS | 29.155 | 356 | Driven Rod | 35 | 2.809 | 1.405 | |
| #78/2 SA1+3 SS | 31.155 | 356 | Driven Rod | 17 | 5.618 | 5.618 | |
| #78/3 SA1+3 SS | 31.155 | 356 | Radial CP | 30 | 8.427 | 5.618 | |
| #79/1 SA1+0 SS | 28.155 | 344 | Driven Rod | 30 | 11.628 | 8.721 | |
| #79/2 SA1+0 SS | 28.155 | 343 | Radial CP | 17.5 | 17.493 | 13.12 | |
| #80/1 SA1+0 SS | 28.155 | 347 | Radial CP | 44 | 2.882 | 7.205 | |
| #80/2 SA1+1 SS | 29.155 | 347 | Driven Rod | 17 | 14.409 | 8.646 | |
| #80/3 SA1+1 SS | 29.155 | 348 | Driven Rod | 9 | 28.736 | 18.678 | |
| #81/1 SA1+1 SS | 29.155 | 346.99 | Driven Rod | 13 | 11.528 | 5.764 | |
| #81/2 SD1+0 ST | 28.02 | 325.01 | Driven Rod | 11 | 6.154 | 7.692 | |
| #81/3 SA1+2 SS | 30.155 | 330 | Radial CP | 10 | 0 | 4.545 | |
| #82/1 SA1+3 SS | 31.155 | 329 | Driven Rod | 50 | 3.04 | 3.039 | |
| #82/2 SA1+0 SS | 28.155 | 330 | Driven Rod | 75 | 6.061 | 4.545 | |
| #82/3 SA1+0 SS | 28.155 | 333 | Driven Rod | 57 | 12.012 | 9.009 | |
| #83/1 SA1+0 SS | 28.155 | 316 | Radial CP | 42 | 3.165 | 3.165 | |

ตารางผนวกที่ ก1 (ต่อ)

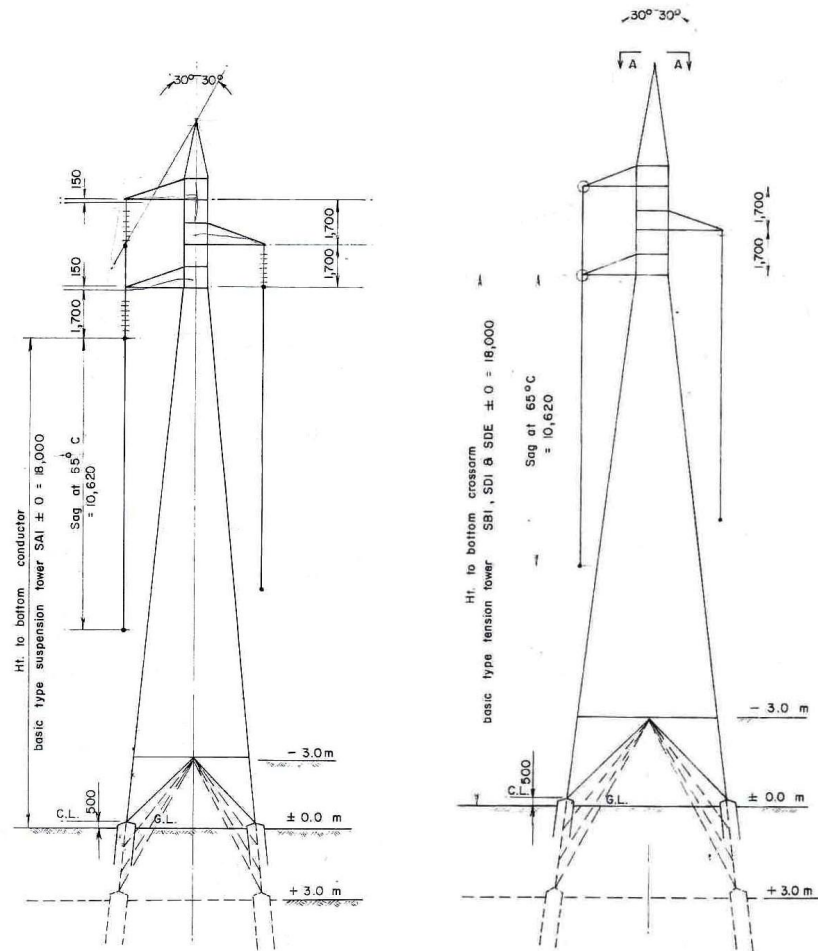
| เลขที่/ชนิดเสา/ ชนิดของชุดลูกกลิ้ง | ความสูงเสา (เมตร) | ระยะห่าง ช่วงเสา (เมตร) | ชนิดของ Ground | ความต้านทาน | | ความหนาแน่นไฟฟ้า | |
|---------------------------------------|----------------------|-------------------------------|-------------------|-------------------|------------------------------|--|---------------------------|
| | | | | ฐานเสา (โอห์ม) | (ครั้งต่อตารางกิโลเมตรต่อปี) | แต่ละช่วงเสา (ครั้งต่อตารางกิโลเมตรต่อปี) | 0.5 กิโลเมตร 1.0 กิโลเมตร |
| #83/2 SA1+0 SS | 28.155 | 327 | Radial CP | 54 | 0 | 1.529 | |
| #83/3 SA1+0 SS | 28.155 | 326.19 | Radial CP | 35 | 0 | 4.598 | |
| #84/1 SD1+0 ST | 28.02 | 334.81 | Radial CP | 32 | 5.974 | 7.467 | |
| #84/2 SA1+0 SS | 28.155 | 336 | Radial CP | 55 | 5.952 | 7.44 | |
| #84/3 SA1+0 SS | 28.155 | 328 | Radial CP | 3 | 6.098 | 6.098 | |
| #85/1 SA1+0 SS | 28.155 | 329 | Radial CP | 33 | 15.198 | 10.638 | |
| #85/2 SA1+0 SS | 28.155 | 340 | Radial CP | 38 | 2.941 | 4.412 | |
| #85/3 SB1+0 ST | 28.03 | 340 | Radial CP | 23 | 17.647 | 13.235 | |
| #86/1 SA1+1 SS | 29.155 | 340 | Radial CP | 35 | 8.824 | 7.353 | |
| #86/2 SA1-3 SS | 25.155 | 320 | Driven Rod | 30 | 3.125 | 1.563 | |
| #86/3 SA1+2 DS | 30.155 | 350 | Radial CP | 67 | 11.429 | 8.571 | |
| #87/1 SA1+2 DS | 30.155 | 350 | Radial CP | 12 | 8.571 | 10 | |
| #87/2 SA1+0 SS | 28.155 | 350 | Radial CP | 21 | 5.714 | 8.571 | |
| #87/3 SA1-2 SS | 26.155 | 350 | Radial CP | 35 | 5.714 | 5.714 | |
| #88/1 SA1+0 SS | 28.155 | 358 | Radial CP | 30 | 5.587 | 6.983 | |
| #88/2 SA1+2 SS | 30.155 | 342 | Radial CP | 11 | 2.924 | 7.31 | |
| #88/3 SA1+2 SS | 30.155 | 356 | Radial CP | 44 | 5.618 | 7.023 | |
| #89/1 SA1+2 SS | 30.155 | 333 | Radial CP | 17 | 3.003 | 6.006 | |
| #89/2 SA1+1 SS | 29.155 | 336 | Radial CP | 10.4 | 2.976 | 1.488 | |
| #89/3 SA1-3 SS | 25.155 | 310.94 | Radial CP | 27 | 3.216 | 3.216 | |
| #90/1 SD1+0 ST | 28.02 | 350.06 | Driven Rod | 35 | 11.427 | 17.14 | |
| #90/2 SA1+3 SS | 31.155 | 374 | Radial CP | 20 | 5.348 | 5.348 | |
| #90/3 SA1+1 SS | 29.155 | 371 | Radial CP | 44 | 10.782 | 6.739 | |
| #91/1 SA1+0 SS | 28.155 | 369 | Radial CP | 60 | 8.13 | 8.13 | |
| #91/2 LSA1-3 SS | 25.03 | 309 | Radial CP | 18.5 | 3.236 | 6.472 | |
| #91/3 SA1+0 SS | 28.155 | 310 | Radial CP | 18 | 6.452 | 6.452 | |
| #92/1 SA1+0 SS | 28.155 | 306 | Radial CP | 100 | 0 | 1.634 | |

ตารางผนวกที่ ก1 (ต่อ)

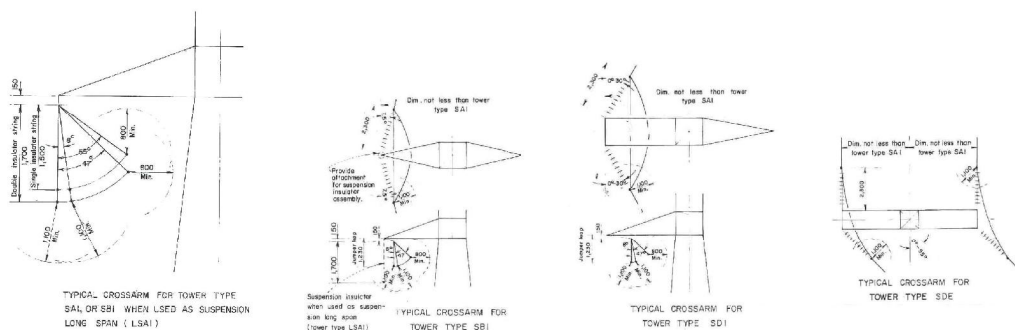
| เลขที่/ชนิดเสา/ ชนิดของชุดลูกกลิ้ง | ความสูงเสา (เมตร) | ระยะห่าง ช่วงเสา (เมตร) | ชนิดของ Ground | ความต้านทาน | | ความหนาแน่นไฟฟ้า | |
|---------------------------------------|----------------------|-------------------------------|-------------------|-------------------|------------------------------|--|---------------------------|
| | | | | ฐานเสา (โอห์ม) | (ครั้งต่อตารางกิโลเมตรต่อปี) | แต่ละช่วงเสา (ครั้งต่อตารางกิโลเมตรต่อปี) | 0.5 กิโลเมตร 1.0 กิโลเมตร |
| #92/2 SA1-2 SS | 26.155 | 350 | Radial CP | 65 | 0 | 2.857 | |
| #92/3 SA1+0 SS | 28.155 | 329 | Radial CP | 7 | 9.119 | 6.079 | |
| #93/1 SA1-2 SS | 26.155 | 331 | Radial CP | 25 | 0 | 3.021 | |
| #93/2 SA1+0 SS | 28.155 | 303.19 | Radial CP | 48 | 9.895 | 14.842 | |
| #93/3 SD1+0 ST | 28.02 | 347.81 | Radial CP | 12 | 5.75 | 2.875 | |
| #94/1 SA1+1 SS | 29.155 | 355 | Radial CP | 15 | 8.451 | 7.042 | |
| #94/2 SA1+0 SS | 28.155 | 347 | Radial CP | 128 | 8.646 | 5.764 | |
| #94/3 SA1+0 SS | 28.155 | 343 | Radial CP | 17 | 5.831 | 7.289 | |
| #95/1 SA1+1 SS | 29.155 | 361 | Radial CP | 25 | 5.54 | 4.155 | |
| #95/2 SA1-2 SS | 26.155 | 358 | Radial CP | 25 | 5.587 | 6.983 | |
| #95/3 SA1+2 SS | 30.155 | 332 | Radial CP | 13.5 | 6.024 | 4.518 | |
| #96/1 SA1+3 SS | 31.155 | 300 | Radial CP | 12.8 | 6.667 | 5 | |
| #96/2 SA1-2 SS | 26.155 | 293 | Radial CP | 11 | 6.826 | 3.413 | |
| #96/3 SA1-3 SS | 25.155 | 325 | Radial CP | 14 | 12.308 | 9.231 | |
| #97/1 SA1+0 SS | 28.155 | 350 | Radial CP | 24 | 2.857 | 5.714 | |
| #97/2 SA1+1 SS | 29.155 | 365 | Radial CP | 28 | 10.959 | 5.479 | |
| #97/3 SA1+3 SS | 31.155 | 320 | Radial CP | 34 | 9.375 | 10.938 | |
| #98/1 SA1+3 SS | 31.155 | 377.99 | Radial CP | 35 | 5.291 | 9.259 | |
| #98/2 SD1+0 ST | 31.02 | 299.01 | Driven Rod | 24 | 10.033 | 8.361 | |
| #98/3 SA1+3 SS | 31.155 | 328 | Radial CP | 36 | 3.049 | 6.098 | |
| #99/1 SA1-2 SS | 26.155 | 317 | Radial CP | 55 | 3.155 | 4.732 | |
| #99/2 SA1-2 SS | 26.155 | 316 | Radial CP | 50 | 15.823 | 11.076 | |
| #99/3 SA1-1 SS | 27.155 | 315 | Radial CP | 16.5 | 3.175 | 3.175 | |
| #100/1 SA1-2 SS | 26.155 | 308 | Driven Rod | 8.5 | 9.74 | 4.87 | |
| #100/2 SA1+0 SS | 28.155 | 310 | Radial CP | 9.4 | 3.226 | 3.226 | |
| #100/3 SA1+0 DS | 28.155 | 315 | Driven Rod | 3.6 | 6.349 | 7.937 | |
| #101/1 SA1+1 DS | 29.155 | 370 | Radial CP | 25 | 16.216 | 12.162 | |

ตารางผนวกที่ ก1 (ต่อ)

| เสาต้นที่/ชนิดเสา/ ชนิดของชุดลูกกล้ำย | ความสูงเสา (เมตร) | ระยะห่าง ช่วงเสา (เมตร) | ชนิดของ Ground | ความต้านทาน | | ความหนาแน่นไฟฟ้า | |
|--|----------------------|-------------------------------|-------------------|---------------------|------------------------------|------------------|---------------------------|
| | | | | จิตานเสา (โอห์ม) | (ครั้งต่อตารางกิโลเมตรต่อปี) | แต่ละช่วงเสา | 0.5 กิโลเมตร 1.0 กิโลเมตร |
| #101/2 SA1+1 SS | 29.155 | 374 | Radial CP | 12 | 5.348 | 6.685 | |
| #101/3 SA1+0 SS | 28.155 | 328 | Radial CP | 69 | 15.244 | 9.146 | |
| #102/1 SA1+0 SS | 28.155 | 366.6 | Radial CP | 30 | 0 | 2.728 | |
| #102/2 SA1-3 SS | 25.155 | 310.09 | Radial CP | 47 | 9.675 | 8.062 | |
| #102/3 SD1-3 ST | 25.02 | 314.91 | Radial CP | 40 | 12.702 | 6.351 | |
| #103/1 SA1+1 SS | 29.155 | 360 | Radial CP | 57 | 8.333 | 9.722 | |
| #103/2 SA1-3 SS | 25.155 | 175.86 | Radial CP | 13 | 5.686 | 5.686 | |
| #103/3 SDE-3 ST | 25.02 | 84.7 | Radial CP | 13.5 | 5.686 | 5.686 | |



ภาพพนวกที่ 1 ชนิดของเสาสำหรับสายสั่ง 115kV แกลง-จันทบุรี



ภาพพนวกที่ 2 ความยาวชุดคู่ถ่วงของเสาชนิดต่างๆ สำหรับสายสั่ง 115kV แกลง-จันทบุรี

**ตารางผนวกที่ ก2 รายละเอียดสายส่ง 230kV อ่างทอง2-ท่าล้าน3
(จำนวนเสา 133 ต้น ระยะทาง 51.414 กิโลเมตร)**

| เสาต้นที่/ชนิดเสา/ ชนิดของชุดลูกถ้วย | ความสูงเสา (เมตร) | ระยะห่าง ช่วงเสา (เมตร) | ชนิดของ Ground | ความต้านทาน ดิน (โอห์ม-เมตร) | ความหนาแน่นฟ้าผ่า | |
|---|----------------------|-------------------------------|-------------------|------------------------------------|--|---------------------------|
| | | | | | แต่ละช่วงเสา (ครั้งต่อตารางกิโลเมตรต่อปี) | 0.5 กิโลเมตร 1.0 กิโลเมตร |
| #0/1 DDE-3 ST&DT | 39.05 | 148 | Driven Rod | 2 | 6.757 | 10.135 |
| #0/2 DA1-3 SS | 39.99 | 273.95 | Driven Rod | 5.4 | 0 | 3.65 |
| #1/1 DD2+0 DT | 42.05 | 363.52 | Driven Rod | 2.1 | 2.751 | 6.877 |
| #1/2 DA1+3 DS | 45.99 | 374.77 | Driven Rod | 6 | 10.673 | 14.676 |
| #1/3 DA1+0 SS | 42.99 | 418 | Driven Rod | 4.5 | 14.354 | 7.177 |
| #2/1 DA1+2 SS | 44.99 | 410 | Driven Rod | 4.5 | 7.317 | 3.658 |
| #2/2 DA1+0 DS | 42.99 | 409 | Driven Rod | 3.5 | 4.89 | 6.113 |
| #3/1 DD2+0 DT | 42.05 | 405.16 | Driven Rod | 15.9 | 4.936 | 1.234 |
| #3/2 DA1+1 SS | 43.99 | 413.22 | Driven Rod | 1.6 | 0 | 4.84 |
| #4/1 DA1+1 SS | 43.99 | 415 | Driven Rod | 1.6 | 2.41 | 6.024 |
| #4/2 DA1+3 DS | 45.99 | 418 | Driven Rod | 12 | 11.962 | 10.766 |
| #4/3 DA1+3 DS | 45.99 | 400 | Driven Rod | 7.4 | 15 | 10 |
| #5/1 DA1+0 DS | 42.99 | 400 | Driven Rod | 11.3 | 5 | 8.75 |
| #5/2 DA1+3 DS | 45.99 | 331 | Driven Rod | 2.1 | 12.085 | 16.616 |
| #5/3 DA1+0 SS | 42.99 | 413 | Driven Rod | 4.5 | 21.792 | 14.528 |
| #6/1 DA1+1 SS | 43.99 | 406 | Driven Rod | 4 | 27.094 | 11.084 |
| #6/2 DA1+2 SS | 44.99 | 398 | Driven Rod | 4 | 2.513 | 7.538 |
| #7/1 DA1+2 DS | 44.99 | 413 | Driven Rod | 3.6 | 12.106 | 7.264 |
| #7/2 DB2+0 DT | 42.04 | 378.06 | Driven Rod | 9.1 | 10.58 | 14.548 |
| #7/3 DA1+1 SS | 43.99 | 398.94 | Driven Rod | 2.4 | 15.04 | 16.293 |
| #8/1 DA1+1 SS | 43.99 | 412 | Driven Rod | 4.5 | 14.563 | 15.777 |
| #8/2 DA1+2 SS | 44.99 | 419 | Driven Rod | 8 | 19.093 | 9.547 |
| #9/1 DA1+2 SS | 44.99 | 405 | Driven Rod | 3.5 | 9.877 | 3.704 |
| #9/2 DB2+0 DT | 42.04 | 414 | Driven Rod | 2.5 | 9.662 | 10.87 |
| #9/3 DA1+3 DS | 45.99 | 316 | Driven Rod | 5 | 6.329 | 20.57 |

ตารางผนวกที่ ก2 (ต่อ)

| เสาต้นที่/ชนิดเสา/ ชนิดของชุดลูกสั่ง | ความสูงเสา (เมตร) | ระยะห่าง ช่วงเสา (เมตร) | ชนิดของ Ground | ความด้านทาน | | ความหนาแน่นฟ้าผ่า | |
|---|----------------------|-------------------------------|-------------------|---------------------|--|--|---------------------------|
| | | | | ดิน (กอห์ม-เมตร) | ดิน (กิโลเมตรต่อตารางกิโลเมตรต่อปี) | แต่ละช่วงเสา (ครั้งต่อตารางกิโลเมตรต่อปี) | 0.5 กิโลเมตร 1.0 กิโลเมตร |
| #10/1 DA1+3 DS | 45.99 | 422 | Driven Rod | 30 | 23.697 | 9.479 | |
| #10/2 DA1+3 SS | 45.99 | 410 | Driven Rod | 2 | 4.878 | 4.878 | |
| #11/1 DA1+2 SS | 44.99 | 428 | Driven Rod | 1.194 | 7.009 | 9.346 | |
| #11/2 DA1+1 SS | 43.99 | 412 | Driven Rod | 10 | 7.282 | 10.922 | |
| #12/1 DA1+3 SS | 45.99 | 418 | Driven Rod | 1.194 | 9.569 | 8.373 | |
| #12/2 DA1+0 SS | 42.99 | 415 | Driven Rod | 2.6 | 4.819 | 12.048 | |
| #12/3 DA1+1 SS | 43.99 | 401 | Driven Rod | 1.3 | 9.975 | 14.963 | |
| #13/1 DA1+3 SS | 45.99 | 416 | Driven Rod | 1.4 | 12.019 | 10.817 | |
| #13/2 DA1+0 SS | 42.99 | 386 | Driven Rod | 4 | 7.772 | 10.363 | |
| #14/1 DB2+3 DT | 45.04 | 424.83 | Driven Rod | 2 | 7.062 | 4.708 | |
| #14/2 DA1+3 DS | 45.99 | 422 | Driven Rod | 15 | 9.887 | 12.359 | |
| #14/3 DDE+0 ST&DT | 42.05 | 483 | Driven Rod | 5 | 13.158 | 2.632 | |
| #14/5 DDE+0 ST&DT | 42.05 | 140.32 | Driven Rod | 3.5 | 14.253 | 14.253 | |
| #15/1 DA1+3 DS | 45.99 | 343 | Driven Rod | 1.8 | 11.662 | 8.746 | |
| #15/2 DA1+3 DS | 45.99 | 259 | Driven Rod | 4 | 7.722 | 13.514 | |
| #15/3 DA1+0 SS | 42.99 | 407 | Driven Rod | 3.5 | 14.742 | 17.199 | |
| #16/1 DA1+1 SS | 43.99 | 404 | Driven Rod | 2.5 | 4.951 | 8.663 | |
| #16/2 DA1+0 SS | 42.99 | 402 | Driven Rod | 2.2 | 7.463 | 4.975 | |
| #16/3 DA1+0 SS | 42.99 | 400 | Driven Rod | 1.7 | 15 | 8.75 | |
| #17/1 DA1+0 SS | 42.99 | 397 | Driven Rod | 4.2 | 15.113 | 11.335 | |
| #17/2 DA1+0 SS | 42.99 | 403 | Driven Rod | 3 | 4.963 | 7.444 | |
| #18/1 DA1+0 SS | 42.99 | 404 | Driven Rod | 5 | 7.426 | 7.426 | |
| #18/2 DA1+0 SS | 42.99 | 405 | Driven Rod | 2.5 | 9.877 | 9.877 | |
| #18/3 DB2+0 DT | 42.04 | 391 | Driven Rod | 2 | 10.23 | 16.624 | |
| #19/1 DA1+0 SS | 42.99 | 382 | Driven Rod | 6.3 | 23.56 | 19.633 | |
| #19/2 DA1+0 SS | 42.99 | 393 | Driven Rod | 5 | 5.089 | 6.361 | |
| #20/1 DA1-1 SS | 41.99 | 391 | Driven Rod | 9 | 2.557 | 3.836 | |

ตารางผนวกที่ ก2 (ต่อ)

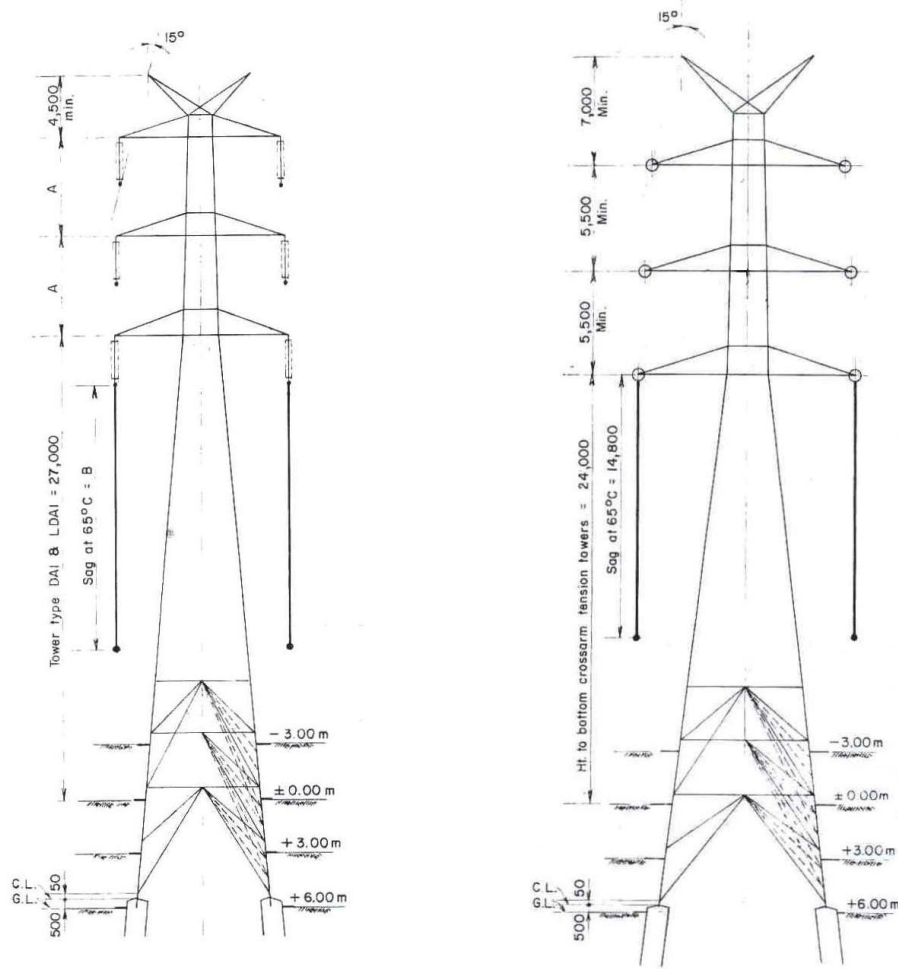
| เสาต้นที่/ชนิดเสา/ ชนิดของชุดลูกสั่ว | ความสูงเสา (เมตร) | ระยะห่าง ช่วงเสา (เมตร) | ชนิดของ Ground | ความด้านกัน | | ความหนาแน่นฟ้าผ่า | |
|---|----------------------|-------------------------------|-------------------|-------------|--------------|--|---------------------------|
| | | | | ดิน | (กอห์ม-เมตร) | แต่ละช่วงเสา (ครั้งต่อตารางกิโลเมตรต่อปี) | 0.5 กิโลเมตร 1.0 กิโลเมตร |
| #20/2 DA1+0 SS | 42.99 | 375 | Driven Rod | 10 | | 10.667 | 14.667 |
| #20/3 DA1-1 SS | 41.99 | 390 | Driven Rod | 2.2 | | 15.385 | 17.949 |
| #21/1 DA1-2 SS | 40.99 | 369 | Driven Rod | 1.3 | | 16.26 | 17.615 |
| #21/2 DA1-2 SS | 40.99 | 368 | Driven Rod | 1.5 | | 16.304 | 19.022 |
| #21/3 DA1-2 SS | 40.99 | 367 | Driven Rod | 1.2 | | 19.074 | 19.074 |
| #22/1 DA1+1 SS | 43.99 | 355 | Driven Rod | 1.4 | | 8.451 | 9.859 |
| #22/2 DA1+0 SS | 42.99 | 394 | Driven Rod | 1.3 | | 17.767 | 17.766 |
| #23/1 DD2+0 DT | 42.05 | 391.15 | Driven Rod | 7 | | 25.566 | 23.009 |
| #23/2 DA1+3 DS | 45.99 | 289.32 | Driven Rod | 7 | | 20.738 | 15.554 |
| #23/3 DA1+0 SS | 42.99 | 403 | Driven Rod | 1.6 | | 14.888 | 13.648 |
| #24/1 DA1+1 SS | 43.99 | 400 | Driven Rod | 1.3 | | 17.5 | 17.5 |
| #24/2 DA1+3 DS | 45.99 | 418 | Driven Rod | 1.9 | | 14.354 | 9.569 |
| #25/1 DA1+3 DS | 45.99 | 387 | Driven Rod | 110 | | 25.84 | 18.088 |
| #25/2 DA1+0 SS | 42.99 | 386 | Driven Rod | 2 | | 31.088 | 22.021 |
| #25/3 DA1+0 SS | 42.99 | 399 | Driven Rod | 2 | | 15.038 | 16.291 |
| #26/1 DT2+0 DT | 42.04 | 395 | Driven Rod | 1.3 | | 12.658 | 12.658 |
| #26/2 DA1+1 SS | 43.99 | 406 | Driven Rod | 1.194 | | 4.926 | 9.852 |
| #27/1 DA1+0 SS | 42.99 | 401 | Driven Rod | 1.2 | | 9.975 | 11.222 |
| #27/2 DA1+2 DS | 44.99 | 402 | Driven Rod | 1.6 | | 7.463 | 7.463 |
| #27/3 DD2-3 DT | 42.05 | 337.5 | Driven Rod | 10.6 | | 8.889 | 5.926 |
| #28/1 DA1+1 SS | 43.99 | 376.16 | Driven Rod | 1.4 | | 5.317 | 6.646 |
| #28/2 DA1-1 SS | 41.99 | 388 | Driven Rod | 1.2 | | 10.309 | 11.598 |
| #28/3 DA1-1 SS | 41.99 | 374 | Driven Rod | 3.5 | | 18.717 | 10.695 |
| #29/1 DA1-2 SS | 40.99 | 371 | Driven Rod | 1.6 | | 16.173 | 14.825 |
| #29/2 DA1+2 SS | 44.99 | 391 | Driven Rod | 1.9 | | 10.23 | 14.066 |
| #30/1 DA1+1 SS | 43.99 | 411 | Driven Rod | 1.7 | | 9.732 | 13.382 |
| #30/2 DA1+1 SS | 43.99 | 401 | Driven Rod | 4.8 | | 9.975 | 12.469 |

ตารางผนวกที่ ก2 (ต่อ)

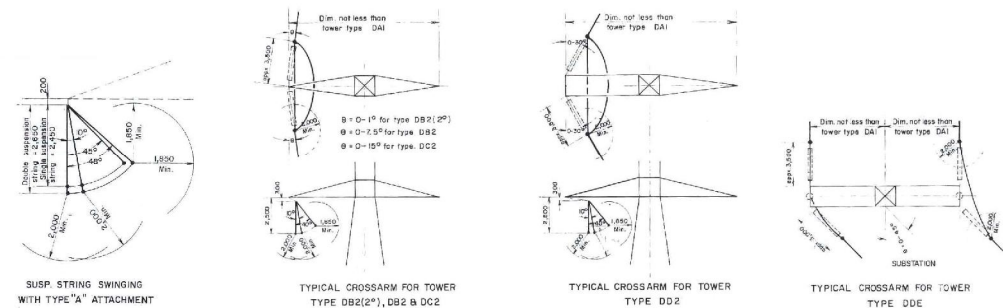
| เสาต้นที่/ชนิดเสา/ ชนิดของชุดลูกสั่ง | ความสูงเสา (เมตร) | ระยะห่าง ช่วงเสา (เมตร) | ชนิดของ Ground | ความด้านกัน ดิน (เมตร-เมตร) | ความหนาแน่นฟ้าผ่า | |
|---|----------------------|-------------------------------|-------------------|-----------------------------------|--|---------------------------|
| | | | | | แต่ละช่วงเสา (ครั้งต่อตารางกิโลเมตรต่อปี) | 0.5 กิโลเมตร 1.0 กิโลเมตร |
| #30/3 DA1+1 SS | 43.99 | 412 | Driven Rod | 1.5 | 12.136 | 8.495 |
| #31/1 DA1+0 SS | 42.99 | 393 | Driven Rod | 1.7 | 15.267 | 12.723 |
| #31/2 DA1-1 SS | 41.99 | 384 | Driven Rod | 1.194 | 15.625 | 14.323 |
| #32/1 DA1+0 SS | 42.99 | 391 | Driven Rod | 1.4 | 23.018 | 14.066 |
| #32/2 DA1+0 SS | 42.99 | 392 | Driven Rod | 1.194 | 15.306 | 21.684 |
| #32/3 DA1+1 SS | 43.99 | 408 | Driven Rod | 11 | 12.255 | 12.255 |
| #33/1 DB2+0 DT | 42.04 | 400 | Driven Rod | 1.9 | 17.5 | 22.5 |
| #33/2 DA1-1 SS | 41.99 | 380 | Driven Rod | 3.5 | 15.789 | 13.158 |
| #33/3 DA1+0 SS | 42.99 | 382 | Driven Rod | 1.6 | 13.089 | 15.707 |
| #34/1 DA1+0 SS | 42.99 | 398 | Driven Rod | 1.5 | 25.126 | 20.101 |
| #34/2 DA1+0 SS | 42.99 | 400 | Driven Rod | 1.6 | 15 | 17.5 |
| #35/1 DA1+0 SS | 42.99 | 397 | Driven Rod | 2.9 | 22.67 | 17.632 |
| #35/2 DA1+1 SS | 43.99 | 398 | Driven Rod | 1.8 | 20.101 | 18.844 |
| #35/3 DA1+0 SS | 42.99 | 399 | Driven Rod | 45 | 25.063 | 28.822 |
| #36/1 DA1+1 SS | 43.99 | 405 | Driven Rod | 8.5 | 22.222 | 19.753 |
| #36/2 DD2+0 DT | 42.05 | 397.7 | Driven Rod | 4 | 30.174 | 28.916 |
| #37/1 DA1+3 DS | 45.99 | 408.3 | Driven Rod | 4 | 14.695 | 25.716 |
| #37/2 DA1+2 DS | 44.99 | 426.76 | Driven Rod | 4.5 | 25.776 | 23.432 |
| #37/3 DA1-3 DS | 39.99 | 379 | Driven Rod | 6.4 | 47.493 | 35.62 |
| #38/1 DA1+3 DS | 45.99 | 392 | Driven Rod | 1.7 | 17.857 | 16.58 |
| #38/2 DA1+1 DS | 43.99 | 421 | Driven Rod | 4 | 28.504 | 24.94 |
| #39/1 DA1+1 SS | 43.99 | 405 | Driven Rod | 2.5 | 22.222 | 32.099 |
| #39/2 DA1+1 SS | 43.99 | 406 | Driven Rod | 1.5 | 24.631 | 32.018 |
| #40/1 DA1+2 SS | 44.99 | 413 | Driven Rod | 3.4 | 29.056 | 29.056 |
| #40/2 DA1+1 SS | 43.99 | 415 | Driven Rod | 1.7 | 31.325 | 20.482 |
| #40/3 DA1+1 SS | 43.99 | 411 | Driven Rod | 8.9 | 34.063 | 27.98 |
| #41/1 DA1+0 SS | 42.99 | 401 | Driven Rod | 4.3 | 4.988 | 13.716 |

ตารางผนวกที่ ก2 (ต่อ)

| เสาต้นที่/ชนิดเสา/ ชนิดของชุดลูกสั่ง | ความสูงเสา (เมตร) | ระยะห่าง ช่วงเสา (เมตร) | ชนิดของ Ground | ความด้านทาน | | ความหนาแน่นฟ้าผ่า | |
|---|----------------------|-------------------------------|-------------------|---------------------|--|--|---------------------------|
| | | | | ดิน (กอห์ม-เมตร) | ดิน (กิโลเมตรต่อตารางกิโลเมตรต่อปี) | แต่ละช่วงเสา (ครั้งต่อตารางกิโลเมตรต่อปี) | 0.5 กิโลเมตร 1.0 กิโลเมตร |
| #41/2 DA1+0 SS | 42.99 | 399 | Driven Rod | 1.9 | 35.088 | 26.316 | |
| #42/1 DA1+0 SS | 42.99 | 405 | Driven Rod | 3.5 | 9.877 | 17.284 | |
| #42/2 DA1+0 SS | 42.99 | 388 | Driven Rod | 1.8 | 10.309 | 12.887 | |
| #42/3 DD2+0 DT | 42.05 | 387.7 | Driven Rod | 2 | 23.214 | 21.924 | |
| #43/1 DA1+0 DS | 42.99 | 397 | Driven Rod | 3.9 | 10.076 | 13.854 | |
| #43/2 DA1+0 DS | 42.99 | 400 | Driven Rod | 1.4 | 12.5 | 11.25 | |
| #44/1 DA1+4 DS | 46.99 | 403 | Driven Rod | 3 | 32.258 | 21.092 | |
| #44/2 DA1+6 DS | 48.99 | 457 | Driven Rod | 2 | 15.317 | 26.258 | |
| #44/3 DA1+4 DS | 46.99 | 408 | Driven Rod | 3 | 39.216 | 26.961 | |
| #45/1 DA1+3 DS | 45.99 | 438 | Driven Rod | 2.4 | 15.982 | 15.982 | |
| #45/2 DA1+1 DS | 43.99 | 377 | Driven Rod | 18 | 26.525 | 23.873 | |
| #46/1 DA1+3 DS | 45.99 | 409.09 | Driven Rod | 2 | 14.667 | 12.222 | |
| #46/2 DA1+3 DS | 45.99 | 399 | Driven Rod | 9 | 12.531 | 13.784 | |
| #46/3 DA1+2 DS | 44.99 | 318 | Driven Rod | 3.5 | 18.868 | 15.723 | |
| #47/1 DA1+3 DS | 45.99 | 425 | Driven Rod | 4 | 14.118 | 25.882 | |
| #47/2 DD2+0 DT | 42.05 | 405.85 | Driven Rod | 6 | 17.248 | 18.48 | |
| #48/1 DA1+0 DS | 42.99 | 398.7 | Driven Rod | 6 | 22.573 | 18.811 | |
| #48/2 DA1-3 SS | 39.99 | 376 | Driven Rod | 6.5 | 10.638 | 18.617 | |
| #48/3 DA1+0 SS | 42.99 | 376 | Driven Rod | 5 | 23.936 | 18.617 | |
| #49/1 DA1-1 SS | 41.99 | 369 | Driven Rod | 17.3 | 13.55 | 12.195 | |
| #49/2 DA1-2 SS | 40.99 | 377 | Driven Rod | 1.6 | 10.61 | 13.263 | |
| #49/3 DA1+0 SS | 42.99 | 377 | Driven Rod | 5 | 15.915 | 13.263 | |
| #50/1 DA1-2 SS | 40.99 | 377 | Driven Rod | 4.8 | 26.525 | 17.241 | |
| #50/2 DA1-1 SS | 41.99 | 375 | Driven Rod | 12 | 21.333 | 24 | |
| #51/1 DA1-2 SS | 40.99 | 350 | Driven Rod | 7.9 | 14.286 | 15.714 | |
| #51/2 DA1-1 SS | 41.99 | 350 | Driven Rod | 12.5 | 11.429 | 10 | |
| #51/3 DA1-3 SS | 39.99 | 350 | Driven Rod | 14.5 | 11.429 | 10 | |



ภาพพนวกที่ 3 ชนิดของเสาสำหรับสายส่ง 230kV อ่างทอง 2-ท่าล้าน 3



ภาพพนวกที่ 4 ความยาวชุดลูกฟ้ำของเสาชนิดต่างๆ สำหรับสายส่ง 230 kV อ่างทอง 2-ท่าล้าน 3

ตารางผนวกที่ ก3 รายละเอียดสายส่ง 500 kV ไทรน้อย-วังน้อย วงจรที่ 3

(จำนวนเสา 252 ต้น ระยะทาง 89.609 กิโลเมตร)

| เสาต้นที่/ชนิดเสา/ ชนิดของชุดลูกถ้วย | ความสูงเสา (เมตร) | ระยะห่าง ช่วงเสา (เมตร) | ชนิดของ Ground | ความต้านทาน ดิน (โอห์ม-เมตร) | ความหนาแน่นไฟฟ้าต่ำและช่วงเสา (ครั้งต่อตารางกิโลเมตรต่อปี) | |
|---|----------------------|-------------------------------|-------------------|------------------------------------|---|--------------|
| | | | | | 0.5 กิโลเมตร | 1.0 กิโลเมตร |
| #122/3A DT60+4.5 ST15&DT13 | 57.5 | 177.28 | Driven Rod | 0.1 | 21.011 | 18.384 |
| #122/2A DL+6 VS3 | 56 | 178.98 | Driven Rod | 0.1 | 11.282 | 14.102 |
| #122/1A DM+10.5 VS18 | 60.5 | 246.02 | Driven Rod | 0.1 | 22.349 | 22.349 |
| #121/4A DL+6 VS3 | 56 | 230 | Driven Rod | 0.1 | 12.194 | 6.097 |
| #121/3A DL+6 VS3 | 56 | 297.46 | Driven Rod | 0.1 | 8.696 | 28.261 |
| #121/2A DT60+9 DT13 | 62 | 313.35 | Driven Rod | 0.1 | 26.894 | 31.937 |
| #121/1A DT60+4.5 DT13 | 57.5 | 284.19 | Driven Rod | 0.1 | 6.383 | 7.978 |
| #120/4A DL+6 VS3 | 56 | 210 | Driven Rod | 0.1 | 17.594 | 1.759 |
| #120/3A DM+10.5+15B VS18 | 75.5 | 92.21 | Driven Rod | 0.1 | 0 | 4.762 |
| #120/2A DM+10.5+15B VS18 | 75.5 | 213.38 | Driven Rod | 0.1 | 21.69 | 16.267 |
| #120/1A DT60+7.5 DT13 | 60.5 | 326.32 | Driven Rod | 0.1 | 18.746 | 11.717 |
| #119/4A DT20+4.5 DT14 | 57.5 | 255.32 | Driven Rod | 0.1 | 21.451 | 13.79 |
| #119/3A DL+3 VS3 | 53 | 250 | Driven Rod | 0.2 | 19.583 | 21.542 |
| #119/2A DL+3 VS3 | 53 | 250 | Driven Rod | 0.3 | 24 | 20 |

ตารางผนวกที่ ก3 (ต่อ)

| เลขที่/ชนิดเสา/ ชนิดของชุดลูกถ้วย | ความสูงเสา (เมตร) | ระยะห่าง ช่วงเสา (เมตร) | ชนิดของ Ground | ความต้านทาน ดิน (โอห์ม-เมตร) | ความหนาแน่นไฟฟ้าแต่ละช่วงเสา (ครั้งต่อตารางกิโลเมตรต่อปี) | |
|--------------------------------------|----------------------|-------------------------------|-------------------|------------------------------------|--|--------------|
| | | | | | 0.5 กิโลเมตร | 1.0 กิโลเมตร |
| #119/1A DL+7.5 VS3 | 57.5 | 360 | Driven Rod | 0.2 | 24 | 26 |
| #118/3A DL+4.5+7.5B VS3 | 62 | 359 | Driven Rod | 0.1 | 22,222 | 22,222 |
| #118/2A DL+7.5 VS3 | 57.5 | 269.66 | Driven Rod | 0.1 | 27.855 | 18.106 |
| #118/1A DT60+4.5 DT13 | 57.5 | 391.34 | Driven Rod | 0.1 | 22.25 | 12.979 |
| #117/3A DM+10.5+7.5B VS18 | 68 | 360 | Driven Rod | 0.1 | 12.777 | 16.61 |
| #117/2A DM+7.5+7.5B VS18 | 65 | 380 | Driven Rod | 0.1 | 5.556 | 5.556 |
| #117/1A DL+10.5 VS3 | 60.5 | 350 | Driven Rod | 0.1 | 0 | 2.632 |
| #116/2A DM+7.5+15B VS18 | 72.5 | 319.8 | Driven Rod | 0.1 | 11.429 | 12.857 |
| #116/1A DT40+10.5 DT14 | 63.5 | 440.2 | Driven Rod | 0.1 | 43.777 | 31.27 |
| #115/2A DM+10.5+15B VS18 | 75.5 | 510 | Driven Rod | 0.1 | 20.445 | 24.989 |
| #115/1A DM+9+15B VS18 | 74 | 510 | Driven Rod | 0.1 | 21.569 | 18.627 |
| #114/2A DM+10.5+15B VS18 | 75.5 | 465.33 | Driven Rod | 0.1 | 15.686 | 17.647 |
| #114/1A DT40+10.5 DT14 | 63.5 | 424.67 | Driven Rod | 0.1 | 25.788 | 21.49 |
| #113/2A DM+9+15B VS18 | 74 | 500 | Driven Rod | 0.1 | 30.612 | 34.144 |

ตารางผนวกที่ ก3 (ต่อ)

| เสาต้นที่/ชนิดเสา/ ชนิดของชุดลูกกลิ้ง | ความสูงเสา (เมตร) | ระยะห่าง ช่วงเสา (เมตร) | ชนิดของ Ground | ความต้านทาน ดิน (โอห์ม-เมตร) | ความหนาแน่นไฟผ่าแต่ละช่วงเสา (ครั้งต่อตารางกิโลเมตรต่อปี) | |
|--|----------------------|-------------------------------|-------------------|------------------------------------|--|--------------|
| | | | | | 0.5 กิโลเมตร | 1.0 กิโลเมตร |
| #113/1A DM+9+15B VS18 | 74 | 501 | Driven Rod | 0.1 | 10 | 16 |
| #112/4A DM+10.5+15B VS18 | 75.5 | 365.92 | Driven Rod | 0.1 | 17.964 | 14.97 |
| #112/3A DT40+3 DT14 | 56 | 219.08 | Driven Rod | 0.1 | 16.397 | 10.93 |
| #112/2A DL+10.5+7.5B VS3 | 68 | 334 | Driven Rod | 0.1 | 31.952 | 34.234 |
| #112/1A DL+9+7.5B VS3 | 66.5 | 301 | Driven Rod | 0.1 | 23.952 | 26.946 |
| #111/3A DL+10.5 VS3 | 60.5 | 323 | Driven Rod | 0.1 | 36.545 | 21.595 |
| #111/2A DL+7.5 VS3 | 57.5 | 256.95 | Driven Rod | 0.1 | 18.576 | 24.768 |
| #111/1A DT20+10.5 DT14 | 63.5 | 439.05 | Driven Rod | 0.1 | 31.134 | 35.026 |
| #110/3A DM+4.5+15B VS18 | 69.5 | 315 | Driven Rod | 0.1 | 18.221 | 21.638 |
| #110/2A DL+10.5 VS3 | 60.5 | 338.2 | Driven Rod | 0.1 | 12.698 | 17.46 |
| #110/1A DM+9 VS5&VS19 | 59 | 405.8 | Driven Rod | 0.1 | 17.741 | 19.219 |
| #109/2A DM+4.5+15B VS18 | 69.5 | 467 | Driven Rod | 0.1 | 17.25 | 18.482 |
| #109/1A DM+7.5+15B VS18 | 72.5 | 334 | Driven Rod | 0.1 | 14.989 | 11.777 |
| #108/4A DL+6 VS3 | 56 | 256 | Driven Rod | 0.1 | 23.952 | 16.467 |

ตารางผนวกที่ ก3 (ต่อ)

| เลขที่/ชนิดเสา/ ชนิดของชุดลูกถ้วย | ความสูงเสา (เมตร) | ระยะห่าง ช่วงเสา (เมตร) | ชนิดของ Ground | ความต้านทาน ดิน (โอห์ม-เมตร) | ความหนาแน่นไฟผ่าแต่ละช่วงเสา (ครั้งต่อตารางกิโลเมตรต่อปี) | |
|--------------------------------------|----------------------|-------------------------------|-------------------|------------------------------------|--|--------------|
| | | | | | 0.5 กิโลเมตร | 1.0 กิโลเมตร |
| #108/3A DT60+3 DT13 | 56 | 78 | Driven Rod | 0.1 | 27.344 | 31.25 |
| #108/2 DT60+3 DT13 | 56 | 88 | Driven Rod | 0.1 | 34.091 | 51.136 |
| #108/3 DT60+10.5 DT13 | 63.5 | 418 | Driven Rod | 0.1 | 9.569 | 11.962 |
| #109/1 DM+10.5+15B VS18 | 75.5 | 522 | Driven Rod | 0.1 | 19.157 | 8.621 |
| #109/2 DM+10.5+15B VS18 | 75.5 | 380.2 | Driven Rod | 0.1 | 7.891 | 7.891 |
| #109/3 DT60+3 DT13 | 56 | 279.8 | Driven Rod | 0.1 | 14.296 | 16.083 |
| #110/1 DL+4.5 VS3 | 54.5 | 333 | Driven Rod | 0.1 | 18.018 | 18.018 |
| #110/2 DM+7.5+15B VS18 | 72.5 | 420 | Driven Rod | 0.1 | 16.667 | 14.286 |
| #111/1 DT40+9 DT14 | 62 | 452 | Driven Rod | 0.1 | 11.062 | 14.38 |
| #111/2 DM+10.5+15B VS18 | 75.5 | 500 | Driven Rod | 0.1 | 20 | 21 |
| #111/3 DM+10.5+7.5B VS18 | 68 | 422 | Driven Rod | 0.1 | 16.588 | 18.957 |
| #112/1 DM+7.5+7.5B VS18 | 65 | 329.5 | Driven Rod | 0.1 | 9.105 | 9.105 |
| #112/2 DT40+4.5 DT14 | 57.5 | 378.5 | Driven Rod | 0.1 | 26.42 | 22.457 |
| #113/1 DM+9+7.5B VS18 | 66.5 | 385.3 | Driven Rod | 0.1 | 15.572 | 14.275 |

ตารางผนวกที่ ก3 (ต่อ)

| เลขด้านที่/ชนิดเสา/ ชนิดของชุดลูกกลิ้ง | ความสูงเสา (เมตร) | ระยะห่าง ช่วงเสา (เมตร) | ชนิดของ Ground | ความต้านทาน ดิน (โอห์ม-เมตร) | ความหนาแน่นไฟฟ้าแต่ละช่วงเสา (ครั้งต่อตารางกิโลเมตรต่อปี) | |
|---|----------------------|-------------------------------|-------------------|------------------------------------|--|--------------|
| | | | | | 0.5 กิโลเมตร | 1.0 กิโลเมตร |
| #113/2 DT20+10.5 DT14 | 63.5 | 344.7 | Driven Rod | 0.1 | 8.703 | 10.154 |
| #113/3 DL+10.5 VS3 | 60.5 | 351 | Driven Rod | 0.1 | 14.245 | 9.972 |
| #114/1 DL+9 VS3 | 59 | 339 | Driven Rod | 0.1 | 5.9 | 5.9 |
| #114/2 DL+9 VS3 | 59 | 330 | Driven Rod | 0.1 | 3.03 | 4.545 |
| #114/3 DTR+6 VS3 | 58.5 | 348 | Driven Rod | 0.1 | 11.494 | 15.805 |
| #115/1 DM+10.5+15B VS18 | 75.5 | 422.3 | Driven Rod | 0.1 | 4.736 | 11.84 |
| #115/2 DT60+6 DT13 | 59 | 288.7 | Driven Rod | 0.1 | 17.319 | 19.051 |
| #115/3 DL+6 VS3 | 56 | 283 | Driven Rod | 0.1 | 14.134 | 21.201 |
| #116/1 DL+7.5 VS3 | 57.5 | 288 | Driven Rod | 0.1 | 24.306 | 13.889 |
| #116/2 DL+4.5 VS3 | 54.5 | 275.3 | Driven Rod | 0.1 | 18.162 | 16.346 |
| #116/3 DT60+6 DT13 | 59 | 394.7 | Driven Rod | 0.1 | 10.134 | 17.735 |
| #117/1 DM+10.5+15B VS18 | 75.5 | 520 | Driven Rod | 0.1 | 15.385 | 15.385 |
| #117/2 DM+10.5+15B VS18 | 75.5 | 500 | Driven Rod | 0.1 | 10 | 9 |
| #118/1 DM+10.5+15B VS18 | 75.5 | 494 | Driven Rod | 0.1 | 10.122 | 6.073 |

ตารางผนวกที่ ก3 (ต่อ)

| เสาต้นที่/ชนิดเสา/ ชนิดของชุดลูกถ้วย | ความสูงเสา (เมตร) | ระยะห่าง ช่วงเสา (เมตร) | ชนิดของ Ground | ความต้านทาน ดิน (โอห์ม-เมตร) | ความหนาแน่นไฟผ่าแต่ละช่วงเสา (ครั้งต่อตารางกิโลเมตรต่อปี) | |
|---|----------------------|-------------------------------|-------------------|------------------------------------|--|--------------|
| | | | | | 0.5 กิโลเมตร | 1.0 กิโลเมตร |
| #118/2 DM+10.5+15B VS18 | 75.5 | 464 | Driven Rod | 0.1 | 15.086 | 14.009 |
| #119/1 DL+7.5+7.5B VS3 | 65 | 228 | Driven Rod | 0.1 | 30.702 | 19.737 |
| #119/2 DM+10.5+15B VS18 | 75.5 | 500 | Driven Rod | 0.1 | 14 | 17 |
| #119/3 DM+10.5+15B VS18 | 75.5 | 262.11 | Driven Rod | 0.1 | 7.63 | 9.538 |
| #120/1 DT60+3 DT13 | 56 | 101.89 | Driven Rod | 0.1 | 9.814 | 14.722 |
| #120/2 DM+10.5+15B VS18 | 75.5 | 145 | Driven Rod | 0.1 | 13.793 | 17.241 |
| #120/3 DM+9+15B VS18 | 74 | 224.16 | Driven Rod | 0.1 | 8.922 | 6.692 |
| #120/4 DT60+6 DT13 | 59 | 325.4 | Driven Rod | 0.1 | 0 | 4.61 |
| #120/5 DT60+6 DT13 | 59 | 253.44 | Driven Rod | 0.1 | 3.946 | 3.946 |
| #121/1 DL+3 VS3 | 53 | 160.86 | Driven Rod | 0.1 | 6.217 | 3.108 |
| #121/2 DT60+6 DT13 | 59 | 406.79 | Driven Rod | 0.2 | 4.917 | 7.375 |
| #121/3 DM+7.5+15B VS18 | 72.5 | 510 | Driven Rod | 0.1 | 5.882 | 7.843 |
| #122/1 DM+10.5+15B VS18 | 75.5 | 510 | Driven Rod | 0.1 | 11.765 | 10.784 |
| #122/2 DM+10.5+15B VS18 | 75.5 | 225 | Driven Rod | 0.1 | 8.889 | 6.667 |

ตารางผนวกที่ ก3 (ต่อ)

| เลขที่/ชนิดเสา/ ชนิดของชุดลูกถ้วย | ความสูงเสา (เมตร) | ระยะห่าง ช่วงเสา (เมตร) | ชนิดของ Ground | ความต้านทาน ดิน (โอห์ม-เมตร) | ความหนาแน่นไฟผ่าแต่ละช่วงเสา (ครั้งต่อตารางกิโลเมตรต่อปี) | |
|--------------------------------------|----------------------|-------------------------------|-------------------|------------------------------------|--|--------------|
| | | | | | 0.5 กิโลเมตร | 1.0 กิโลเมตร |
| #122/3 DM+6 VS18 | 56 | 352 | Driven Rod | 0.1 | 2.841 | 7.102 |
| #123/1 DM+9+15B VS18 | 74 | 423.21 | Driven Rod | 0.1 | 18.903 | 12.996 |
| #123/2 DT20+10.5 DT14 | 63.5 | 294.79 | Driven Rod | 0.1 | 27.138 | 20.354 |
| #124/1 DM+3 VS18 | 53 | 235 | Driven Rod | 0.1 | 8.511 | 12.766 |
| #124/2 DM+7.5+15B VS18 | 72.5 | 510 | Driven Rod | 0.1 | 19.608 | 18.628 |
| #124/3 DM+10.5+15B VS18 | 75.5 | 433.7 | Driven Rod | 0.1 | 11.529 | 11.529 |
| #125/1 DT60+6 DT13 | 59 | 326.3 | Driven Rod | 0.2 | 9.194 | 9.134 |
| #125/2 DL+9 VS3 | 59 | 360 | Driven Rod | 0.1 | 11.111 | 11.111 |
| #125/3 DL+10.5 VS3 | 60.5 | 350 | Driven Rod | 0.1 | 11.429 | 8.571 |
| #126/1 DL+9 VS3 | 59 | 300 | Driven Rod | 0.1 | 6.667 | 13.333 |
| #126/2 DL+7.5+7.5B VS3 | 65 | 420 | Driven Rod | 0.1 | 7.143 | 9.524 |
| #126/3 DM+10.5+7.5B VS18 | 68 | 420 | Driven Rod | 0.2 | 9.524 | 13.095 |
| #127/1 DM+7.5+15B VS18 | 72.5 | 500 | Driven Rod | 0.1 | 8 | 8 |
| #127/2 DM+10.5+15B VS18 | 75.5 | 510 | Driven Rod | 0.1 | 11.765 | 11.765 |

ตารางผนวกที่ ก3 (ต่อ)

| เลขที่/ชนิดเสา/ ชนิดของชุดลูกถ้วย | ความสูงเสา (เมตร) | ระยะห่าง ช่วงเสา (เมตร) | ชนิดของ Ground | ความต้านทาน ดิน (โอห์ม-เมตร) | ความหนาแน่นไฟผ่าแต่ละช่วงเสา (ครั้งต่อตารางกิโลเมตรต่อปี) | |
|--------------------------------------|----------------------|-------------------------------|-------------------|------------------------------------|--|--------------|
| | | | | | 0.5 กิโลเมตร | 1.0 กิโลเมตร |
| #128/1 DM+10.5+15B VS18 | 75.5 | 470 | Driven Rod | 0.1 | 10.638 | 12.766 |
| #128/2 DL+7.5+7.5B VS3 | 65 | 440 | Driven Rod | 0.1 | 11.364 | 14.773 |
| #129/1 DM+10.5+15B VS18 | 75.5 | 510 | Driven Rod | 0.1 | 19.608 | 15.686 |
| #129/2 DM+10.5+15B VS18 | 75.5 | 470 | Driven Rod | 0.2 | 25.532 | 19.149 |
| #130/1 DM+4.5+15B VS18 | 69.5 | 396 | Driven Rod | 0.1 | 20.202 | 12.626 |
| #130/2 DTR+10.5 VS3 | 63 | 354 | Driven Rod | 0.1 | 2.825 | 8.475 |
| #131/1 DL+10.5 VS3 | 60.5 | 350 | Driven Rod | 0.1 | 5.714 | 11.429 |
| #131/2 DL+9 VS3 | 59 | 332 | Driven Rod | 0.1 | 9.036 | 10.542 |
| #131/3 DM+6+7.5B VS18 | 63.5 | 414 | Driven Rod | 0.1 | 7.246 | 8.454 |
| #132/1 DL+7.5+7.5B VS3 | 65 | 310 | Driven Rod | 0.1 | 9.677 | 6.452 |
| #132/2 DL+9 VS3 | 59 | 339 | Driven Rod | 0.1 | 8.85 | 8.85 |
| #132/3 DM+7.5+7.5B VS18 | 65 | 441 | Driven Rod | 0.1 | 2.268 | 3.401 |
| #133/1 DM+10.5+15B VS18 | 75.5 | 437 | Driven Rod | 0.1 | 4.577 | 6.865 |
| #133/2 DM+10.5 VS18 | 60.5 | 357 | Driven Rod | 0.1 | 8.403 | 4.202 |

ตารางผนวกที่ ก3 (ต่อ)

| เสาต้นที่/ชนิดเสา/ ชนิดของชุดลูกกลิ้ง | ความสูงเสา (เมตร) | ระยะห่าง ช่วงเสา (เมตร) | ชนิดของ Ground | ความต้านทาน ดิน (โอห์ม-เมตร) | ความหนาแน่นไฟผ่าแต่ละช่วงเสา (ครั้งต่อตารางกิโลเมตรต่อปี) | |
|--|----------------------|-------------------------------|-------------------|------------------------------------|--|--------------|
| | | | | | 0.5 กิโลเมตร | 1.0 กิโลเมตร |
| #134/1 DL+6+7.5B VS3 | 63.5 | 360 | Driven Rod | 0.1 | 5.556 | 5.556 |
| #134/2 DL+10.5 VS3 | 60.5 | 360 | Driven Rod | 0.1 | 5.556 | 5.556 |
| #134/3 DL+10.5 VS3 | 60.5 | 355 | Driven Rod | 0.1 | 8.451 | 7.042 |
| #135/1 DL+10.5 VS3 | 60.5 | 335 | Driven Rod | 0.1 | 8.955 | 7.463 |
| #135/2 DL+9 VS3 | 59 | 371 | Driven Rod | 0.1 | 10.782 | 10.782 |
| #135/3 DM+7.5+7.5B VS18 | 65 | 369 | Driven Rod | 0.1 | 2.71 | 6.775 |
| #136/1 DL+9 VS3 | 59 | 334 | Driven Rod | 0.1 | 8.982 | 13.473 |
| #136/2 DL+9 VS3 | 59 | 286 | Driven Rod | 0.1 | 0 | 8.741 |
| #136/3 DL+6 VS3 | 56 | 289 | Driven Rod | 0.1 | 10.381 | 8.651 |
| #137/1 DL+9 VS3 | 59 | 341 | Driven Rod | 0.1 | 2.933 | 4.399 |
| #137/2 DL+10.5 VS3 | 60.5 | 360 | Driven Rod | 0.1 | 8.333 | 6.944 |
| #137/3 DL+10.5 VS3 | 60.5 | 360 | Driven Rod | 0.1 | 8.333 | 5.556 |
| #138/1 DL+10.5 VS3 | 60.5 | 350 | Driven Rod | 0.1 | 17.143 | 10 |
| #138/2 DL+9 VS3 | 59 | 340 | Driven Rod | 0.1 | 2.941 | 2.941 |

ตารางผนวกที่ ก3 (ต่อ)

| เลขด้านที่/ชนิดเสา/ ชนิดของชุดลูกกลิ้ง | ความสูงเสา (เมตร) | ระยะห่าง ช่วงเสา (เมตร) | ชนิดของ Ground | ความต้านทาน ดิน (โอห์ม-เมตร) | ความหนาแน่นไฟฟ้าแต่ละช่วงเสา (ครั้งต่อตารางกิโลเมตรต่อปี) | |
|---|----------------------|-------------------------------|-------------------|------------------------------------|--|--------------|
| | | | | | 0.5 กิโลเมตร | 1.0 กิโลเมตร |
| #138/3 DL+4.5+7.5B VS3 | 62 | 340 | Driven Rod | 0.1 | 5.882 | 5.882 |
| #139/1 DM+9+15B VS18 | 74 | 320 | Driven Rod | 0.2 | 9.375 | 4.688 |
| #139/2 DL+9 VS3 | 59 | 340 | Driven Rod | 0.1 | 2.941 | 5.882 |
| #139/3 DL+10.5 VS3 | 60.5 | 360 | Driven Rod | 0.1 | 0 | 6.944 |
| #140/1 DL+10.5 VS3 | 60.5 | 365 | Driven Rod | 0.1 | 2.74 | 1.37 |
| #140/2 DL+10.5 VS3 | 60.5 | 261.92 | Driven Rod | 0.1 | 15.272 | 9.545 |
| #140/3 DT40+4.5 DT14 | 57.5 | 415.88 | Driven Rod | 0.1 | 2.405 | 3.607 |
| #141/1 DM+10.5+15B VS18 | 75.5 | 488 | Driven Rod | 0.1 | 10.246 | 8.197 |
| #141/2 DM+10.5+7.5B VS18 | 68 | 382.87 | Driven Rod | 0.1 | 2.612 | 5.224 |
| #142/1 DT20+7.5 DT14 | 60.5 | 231.13 | Driven Rod | 0.1 | 4.327 | 2.163 |
| #142/2 DL+4.5 VS3 | 54.5 | 161.38 | Driven Rod | 0.1 | 6.197 | 3.098 |
| #142/3 DT60+3 DT13 | 56 | 263.62 | Driven Rod | 0.1 | 3.793 | 5.69 |
| #142/4 DL+6 VS3 | 56 | 173.56 | Driven Rod | 0.1 | 5.762 | 5.762 |
| #142/5 DH+4.5+7.5B VS9A&VS20 | 62 | 269.44 | Driven Rod | 0.1 | 3.711 | 1.856 |

ตารางผนวกที่ ก3 (ต่อ)

| เสาต้นที่/ชนิดเสา/ ชนิดของชุดลูกถ้วย | ความสูงเสา (เมตร) | ระยะห่าง ช่วงเสา (เมตร) | ชนิดของ Ground | ความต้านทาน ดิน (โอห์ม-เมตร) | ความหนาแน่นไฟผ่าแต่ละช่วงเสา (ครั้งต่อตารางกิโลเมตรต่อปี) | |
|---|----------------------|-------------------------------|-------------------|------------------------------------|--|--------------|
| | | | | | 0.5 กิโลเมตร | 1.0 กิโลเมตร |
| #143/1 DL+1.5 VS3 | 51.5 | 213.87 | Driven Rod | 0.1 | 9.351 | 7.014 |
| #143/2 DT60+3 DT13 | 56 | 228.13 | Driven Rod | 0.1 | 4.384 | 6.575 |
| #143/3 DL+10.5 VS3 | 60.5 | 286 | Driven Rod | 0.1 | 6.993 | 6.993 |
| #143/4 DL+4.5 VS3 | 54.5 | 238.36 | Driven Rod | 0.1 | 8.391 | 2.098 |
| #144/1 DT60+3 DT13 | 56 | 310.64 | Driven Rod | 0.1 | 3.219 | 8.048 |
| #144/2 DM+9+7.5B VS18 | 66.5 | 423 | Driven Rod | 0.1 | 2.364 | 3.546 |
| #144/3 DM+6+15B VS18 | 71 | 413.98 | Driven Rod | 0.1 | 2.416 | 4.831 |
| #145/1 DT40+10.5 DT14 | 63.5 | 389.16 | Driven Rod | 0.1 | 10.278 | 5.139 |
| #145/2 DM+4.5+7.5B VS18 | 62 | 365 | Driven Rod | 0.1 | 2.74 | 4.11 |
| #146/1 DM+10.5+7.5B VS18 | 68 | 364 | Driven Rod | 0.1 | 0 | 1.374 |
| #146/2 DL+10.5 VS3 | 60.5 | 358 | Driven Rod | 0.1 | 8.38 | 5.587 |
| #146/3 DTR+10.5 VS3 | 63 | 359 | Driven Rod | 0.1 | 5.571 | 8.356 |
| #147/1 DL+10.5 VS3 | 60.5 | 354 | Driven Rod | 0.1 | 14.124 | 12.712 |
| #147/2 DL+10.5 VS3 | 60.5 | 357 | Driven Rod | 0.1 | 11.205 | 12.605 |

ตารางผนวกที่ ก3 (ต่อ)

| เสาต้นที่/ชนิดเสา/ ชนิดของชุดลูกถ้วย | ความสูงเสา (เมตร) | ระยะห่าง ช่วงเสา (เมตร) | ชนิดของ Ground | ความต้านทาน ดิน (โอห์ม-เมตร) | ความหนาแน่นไฟผ่าแต่ละช่วงเสา (ครั้งต่อตารางกิโลเมตรต่อปี) | |
|---|----------------------|-------------------------------|-------------------|------------------------------------|--|--------------|
| | | | | | 0.5 กิโลเมตร | 1.0 กิโลเมตร |
| #147/3 DL+10.5 VS3 | 60.5 | 356 | Driven Rod | 0.1 | 14.045 | 8.427 |
| #148/1 DL+10.5 VS3 | 60.5 | 355 | Driven Rod | 0.1 | 0 | 5.634 |
| #148/2 DL+10.5 VS3 | 60.5 | 352 | Driven Rod | 0.1 | 11.364 | 8.523 |
| #148/3 DM+4.5+15B VS18 | 69.5 | 435 | Driven Rod | 0.2 | 9.195 | 10.345 |
| #149/1 DM+10.5+15B VS18 | 75.5 | 498 | Driven Rod | 0.2 | 6.024 | 6.024 |
| #149/2 DM+10.5+15B VS18 | 75.5 | 509 | Driven Rod | 0.1 | 1.965 | 5.894 |
| #150/1 DM+10.5+15B VS18 | 75.5 | 470.09 | Driven Rod | 0.1 | 10.636 | 7.445 |
| #150/2 DT60+10.5 DT13 | 63.5 | 458.91 | Driven Rod | 0.1 | 8.716 | 9.806 |
| #151/1 DM+10.5+15B VS18 | 75.5 | 510 | Driven Rod | 0.1 | 13.726 | 12.745 |
| #151/2 DM+9+15B VS18 | 74 | 510 | Driven Rod | 0.1 | 7.843 | 4.902 |
| #152/1 DM+10.5+15B VS18 | 75.5 | 510 | Driven Rod | 0.1 | 7.843 | 7.843 |
| #152/2 DM+10.5+15B VS18 | 75.5 | 510 | Driven Rod | 0.1 | 5.882 | 9.804 |
| #153/1 DM+10.5+15B VS18 | 75.5 | 510 | Driven Rod | 0.1 | 7.843 | 3.922 |
| #153/2 DM+10.5+15B VS18 | 75.5 | 510 | Driven Rod | 0.1 | 17.647 | 14.706 |

ตารางผนวกที่ ก3 (ต่อ)

| เลขด้านที่/ชนิดเสา/ ชนิดของชุดลูกกลิ้ง | ความสูงเสา (เมตร) | ระยะห่าง ช่วงเสา (เมตร) | ชนิดของ Ground | ความต้านทาน ดิน (โอห์ม-เมตร) | ความหนาแน่นไฟผ่าแต่ละช่วงเสา (ครั้งต่อตารางกิโลเมตรต่อปี) | |
|---|----------------------|-------------------------------|-------------------|------------------------------------|--|--------------|
| | | | | | 0.5 กิโลเมตร | 1.0 กิโลเมตร |
| #154/1 DM+10.5+15B VS18 | 75.5 | 407.11 | Driven Rod | 0.1 | 17.194 | 15.966 |
| #154/2 DT20+6 DT14 | 59 | 410.89 | Driven Rod | 0.1 | 36.506 | 25.554 |
| #155/1 DM+10.5+15B VS18 | 75.5 | 454.25 | Driven Rod | 0.2 | 8.806 | 12.108 |
| #155/2 DH+10.5+7.5B VS9A&VS20 | 68 | 186.75 | Driven Rod | 0.2 | 21.419 | 24.096 |
| #155/3 DM+10.5+7.5B VS18 | 68 | 472 | Driven Rod | 0.1 | 33.898 | 25.424 |
| #156/1 DM+10.5+15B VS18 | 75.5 | 337 | Driven Rod | 0.1 | 32.641 | 20.771 |
| #156/2 DL+7.5+7.5B VS3 | 65 | 380 | Driven Rod | 0.2 | 39.474 | 38.158 |
| #157/1 DL+10.5 VS3 | 60.5 | 350 | Driven Rod | 0.1 | 25.714 | 22.857 |
| #157/2 DL+10.5 VS3 | 60.5 | 350 | Driven Rod | 0.1 | 25.319 | 28.132 |
| #157/3 DM+9 VS5&VS19 | 59 | 350.53 | Driven Rod | 0.1 | 14.264 | 15.691 |
| #158/1 DM+10.5 VS18 | 60.5 | 414 | Driven Rod | 0.1 | 19.324 | 19.324 |
| #158/2 DM+6+15B VS18 | 71 | 494 | Driven Rod | 0.2 | 20.243 | 14.17 |
| #158/3 DM+10.5+15B VS18 | 75.5 | 360 | Driven Rod | 0.1 | 25 | 19.444 |
| #159/1 DM+10.5+15B VS18 | 75.5 | 124 | Driven Rod | 0.1 | 32.258 | 48.387 |

ตารางผนวกที่ ก3 (ต่อ)

| เสาคันที่/ชนิดเสา/ ชนิดของชุดลูกกลิ้ง | ความสูงเสา (เมตร) | ระยะห่าง ช่วงเสา (เมตร) | ชนิดของ Ground | ความต้านทาน ดิน (โอห์ม-เมตร) | ความหนาแน่นไฟฟ้าแต่ละช่วงเสา (ครั้งต่อตารางกิโลเมตรต่อปี) | |
|--|----------------------|-------------------------------|-------------------|------------------------------------|--|--------------|
| | | | | | 0.5 กิโลเมตร | 1.0 กิโลเมตร |
| #159/2 DM+10.5+15B VS18 | 75.5 | 360 | Driven Rod | 0.2 | 25 | 30.556 |
| #159/3 DL+7.5 VS3 | 57.5 | 348.8 | Driven Rod | 0.1 | 11.468 | 20.069 |
| #160/1 DT60+9 DT13 | 62 | 355.2 | Driven Rod | 0.2 | 14.077 | 21.115 |
| #160/2 DL+9 VS3 | 59 | 359 | Driven Rod | 0.2 | 11.142 | 12.535 |
| #160/3 DL+10.5 VS3 | 60.5 | 345 | Driven Rod | 0.3 | 23.188 | 23.188 |
| #161/1 DTR+9 VS3 | 61.5 | 351 | Driven Rod | 0.2 | 28.49 | 27.066 |
| #161/2 DL+10.5 VS3 | 60.5 | 369 | Driven Rod | 0.2 | 18.97 | 23.035 |
| #161/3 DL+10.5 VS3 | 60.5 | 358 | Driven Rod | 0.1 | 33.52 | 18.156 |
| #162/1 DL+9 VS3 | 59 | 361 | Driven Rod | 0.1 | 36.011 | 26.316 |
| #162/2 DL+10.5 VS3 | 60.5 | 315 | Driven Rod | 0.1 | 15.873 | 12.698 |
| #162/3 DL+9 VS3 | 59 | 349 | Driven Rod | 0.2 | 22.923 | 21.49 |
| #163/1 DL+10.5 VS3 | 60.5 | 357 | Driven Rod | 0.2 | 25.21 | 25.21 |
| #163/2 DL+10.5 VS3 | 60.5 | 350 | Driven Rod | 0.1 | 34.286 | 25.714 |
| #164/1 DL+10.5 VS3 | 60.5 | 357 | Driven Rod | 0.2 | 25.21 | 21.008 |

ตารางผนวกที่ ก3 (ต่อ)

| เลขด้านที่/ชนิดเสา/ ชนิดของชุดลูกถ้วย | ความสูงเสา (เมตร) | ระยะห่าง ช่วงเสา (เมตร) | ชนิดของ Ground | ความต้านทาน ดิน (โอห์ม-เมตร) | ความหนาแน่นไฟผ่าแต่ละช่วงเสา (ครั้งต่อตารางกิโลเมตรต่อปี) | |
|--|----------------------|-------------------------------|-------------------|------------------------------------|--|--------------|
| | | | | | 0.5 กิโลเมตร | 1.0 กิโลเมตร |
| #164/2 DL+10.5 VS3 | 60.5 | 356 | Driven Rod | 0.2 | 30.899 | 23.876 |
| #164/3 DL+9 VS3 | 59 | 342 | Driven Rod | 0.3 | 20.468 | 24.854 |
| #165/1 DL+10.5 VS3 | 60.5 | 331.18 | Driven Rod | 0.2 | 15.098 | 15.097 |
| #165/2 DT40+4.5 DT14 | 57.5 | 397.82 | Driven Rod | 0.3 | 12.568 | 15.082 |
| #165/3 DM+4.5+15B VS18 | 69.5 | 474 | Driven Rod | 0.2 | 18.987 | 27.426 |
| #166/1 DM+10.5+15B VS18 | 75.5 | 437 | Driven Rod | 0.2 | 16.018 | 17.163 |
| #166/2 DM+10.5 VS18 | 60.5 | 394 | Driven Rod | 0.4 | 10.152 | 10.152 |
| #167/1 DM+9+7.5B VS18 | 66.5 | 388.4 | Driven Rod | 0.2 | 18.023 | 21.885 |
| #167/2 DT20+6 DT14 | 59 | 327.6 | Driven Rod | 0.2 | 15.262 | 15.262 |
| #167/3 DM+7.5+15B VS18 | 72.5 | 505 | Driven Rod | 0.2 | 17.822 | 15.842 |
| #168/1 DM+10.5+15B VS18 | 75.5 | 491 | Driven Rod | 0.1 | 10.183 | 11.202 |
| #168/2 DM+10.5+15B VS18 | 75.5 | 443 | Driven Rod | 0.2 | 18.059 | 15.801 |
| #169/1 DM+10.5 VS18 | 60.5 | 439 | Driven Rod | 0.2 | 15.945 | 15.945 |
| #169/2 DM+10.5+15B VS18 | 75.5 | 508 | Driven Rod | 0.2 | 15.748 | 12.795 |

ตารางผนวกที่ ก3 (ต่อ)

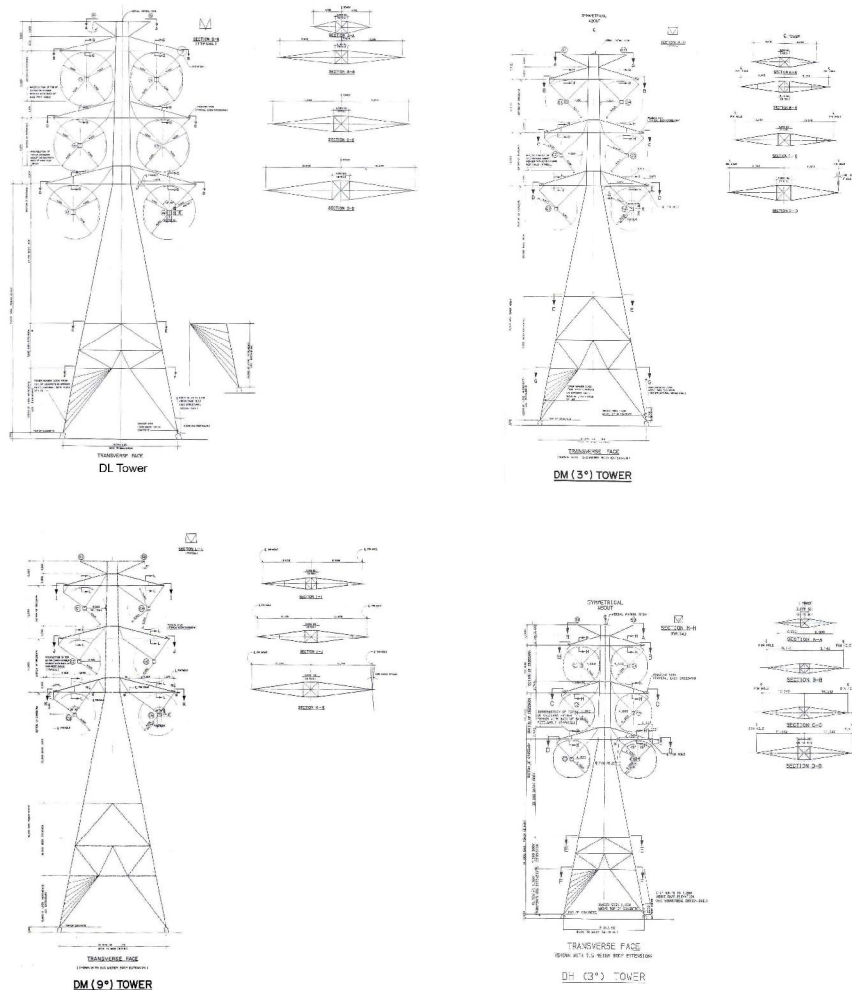
| เลขที่/ชนิดเสา/ ชนิดของชุดลูกถ้วย | ความสูงเสา (เมตร) | ระยะห่าง ช่วงเสา (เมตร) | ชนิดของ Ground | ความต้านทาน ดิน (โอห์ม-เมตร) | ความหนาแน่นฟ้าผ่าแต่ละช่วงเสา (ครั้งต่อตารางกิโลเมตรต่อปี) | |
|--------------------------------------|----------------------|-------------------------------|-------------------|------------------------------------|---|--------------|
| | | | | | 0.5 กิโลเมตร | 1.0 กิโลเมตร |
| #170/1 DM+9+15B VS18 | 74 | 505 | Driven Rod | 0.2 | 23.762 | 21.782 |
| #170/2 DM+9+15B VS18 | 74 | 494 | Driven Rod | 0.1 | 12.146 | 13.158 |
| #171/1 DM+10.5+15B VS18 | 75.5 | 446.25 | Driven Rod | 0.2 | 26.891 | 23.529 |
| #171/2 DT20+9 DT14 | 62 | 312.75 | Driven Rod | 0.3 | 28.777 | 17.586 |
| #171/3 DL+7.5 VS3 | 57.5 | 336 | Driven Rod | 0.2 | 17.857 | 14.881 |
| #172/1 DL+10.5 VS3 | 60.5 | 351 | Driven Rod | 0.2 | 5.698 | 12.821 |
| #172/2 DL+10.5 VS3 | 60.5 | 343 | Driven Rod | 0.2 | 23.324 | 18.95 |
| #173/1 DL+10.5 VS3 | 60.5 | 332.94 | Driven Rod | 0.2 | 6.007 | 12.014 |
| #173/2 DT40+4.5 DT14 | 57.5 | 337.06 | Driven Rod | 0.1 | 5.934 | 10.384 |
| #173/3 DL+10.5 VS3 | 60.5 | 354 | Driven Rod | 0.1 | 14.124 | 12.712 |
| #174/1 DL+10.5 VS3 | 60.5 | 354 | Driven Rod | 0.2 | 5.65 | 7.062 |
| #174/2 DL+10.5 VS3 | 60.5 | 359 | Driven Rod | 0.2 | 11.142 | 9.749 |
| #174/3 DL+10.5 VS3 | 60.5 | 360 | Driven Rod | 0.2 | 13.889 | 20.833 |
| #175/1 DTR+10.5 VS3 | 63 | 355 | Driven Rod | 0.2 | 25.352 | 16.901 |

ตารางผนวกที่ ก3 (ต่อ)

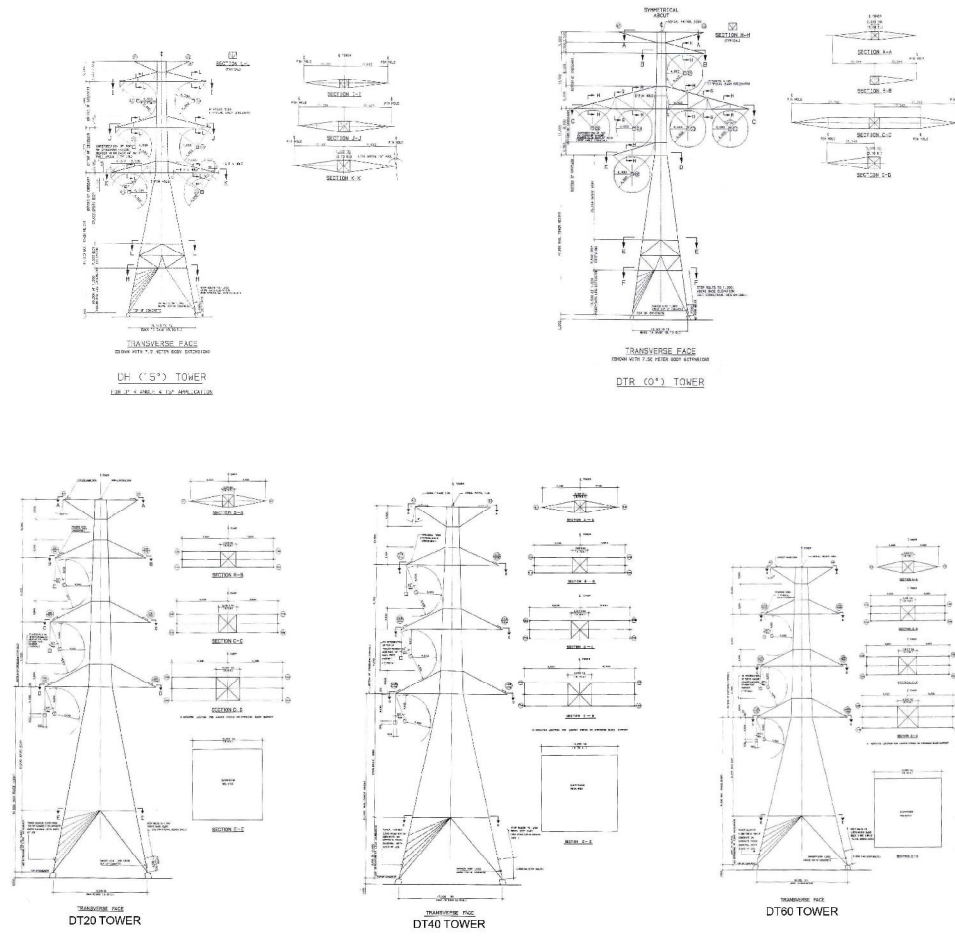
| เสาต้นที่/ชนิดเสา/ ชนิดของชุดลูกถ้วย | ความสูงเสา (เมตร) | ระยะห่าง ช่วงเสา (เมตร) | ชนิดของ Ground | ความต้านทาน ดิน (โอห์ม-เมตร) | ความหนาแน่นไฟผ่าแต่ละช่วงเสา (ครั้งต่อตารางกิโลเมตรต่อปี) | |
|---|----------------------|-------------------------------|-------------------|------------------------------------|--|--------------|
| | | | | | 0.5 กิโลเมตร | 1.0 กิโลเมตร |
| #175/2 DL+10.5 VS3 | 60.5 | 352 | Driven Rod | 0.1 | 31.25 | 22.727 |
| #175/3 DM+10.5+7.5B VS18 | 68 | 429 | Driven Rod | 0.2 | 13.986 | 15.151 |
| #176/1 DM+10.5+7.5B VS18 | 68 | 431 | Driven Rod | 0.2 | 9.281 | 5.8 |
| #176/2 DM+10.5+15B VS18 | 75.5 | 196 | Driven Rod | 0.2 | 0 | 5.102 |
| #176/3 DM+10.5+15B VS18 | 75.5 | 127.44 | Driven Rod | 0.3 | 7.847 | 15.694 |
| #177/1 DT60+10.5 DT13 | 63.5 | 400.32 | Driven Rod | 0.3 | 2.498 | 0 |
| #177/2 DT60+10.5 DT13 | 63.5 | 423.24 | Driven Rod | 0.2 | 2.363 | 5.907 |
| #177/3 DM+10.5+7.5B VS18 | 68 | 403.92 | Driven Rod | 0.2 | 9.903 | 7.427 |
| #178/1 DH+10.5 VS9A&VS20 | 60.5 | 345.08 | Driven Rod | 0.2 | 5.796 | 11.592 |
| #178/2 DL+10.5 VS3 | 60.5 | 357 | Driven Rod | 0.4 | 14.006 | 14.006 |
| #178/3 DL+10.5 VS3 | 60.5 | 350 | Driven Rod | 0.3 | 25.714 | 22.857 |
| #179/1 DL+10.5 VS3 | 60.5 | 355 | Driven Rod | 0.2 | 25.352 | 25.352 |
| #179/2 DL+10.5 VS3 | 60.5 | 349 | Driven Rod | 0.2 | 25.788 | 27.221 |
| #179/3 DL+10.5 VS3 | 60.5 | 354 | Driven Rod | 0.2 | 22.599 | 18.362 |

ตารางผนวกที่ ก3 (ต่อ)

| เลขด้านที่/ชนิดเสา/ ชนิดของชุดลูกถ้วย | ความสูงเสา (เมตร) | ระยะห่าง ช่วงเสา (เมตร) | ชนิดของ Ground | ความต้านทาน ดิน (โอห์ม-เมตร) | ความหนาแน่นไฟผ่าแต่ละช่วงเสา (ครั้งต่อตารางกิโลเมตรต่อปี) | |
|--|----------------------|-------------------------------|-------------------|------------------------------------|--|--------------|
| | | | | | 0.5 กิโลเมตร | 1.0 กิโลเมตร |
| #180/1 DM+9+15B VS18 | 74 | 289.99 | Driven Rod | 0.2 | 27.587 | 12.069 |
| #180/2 DT20+10.5 DT14 | 63.5 | 458.01 | Driven Rod | 0.2 | 15.283 | 18.559 |
| #181/1 DM+10.5+15B VS18 | 75.5 | 403.79 | Driven Rod | 0.1 | 7.43 | 12.383 |
| #181/2 DT40+3 DT14 | 56 | 317.21 | Driven Rod | 0.1 | 25.22 | 22.067 |
| #181/3 DL+9 VS3 | 59 | 341 | Driven Rod | 0.2 | 11.73 | 17.595 |
| #182/1 DL+10.5 VS3 | 60.5 | 291 | Driven Rod | 0.2 | 17.182 | 18.9 |
| #182/2 DL+6 VS3 | 56 | 338.53 | Driven Rod | 0.1 | 14.77 | 10.339 |
| #182/3 DM+10.5+7.5B VS5&VS19 | 68 | 430.47 | Driven Rod | 0.1 | 13.938 | 20.907 |
| #183/1 DM+7.5+15B VS18 | 72.5 | 441.87 | Driven Rod | 0.2 | 38.473 | 28.289 |
| #183/2 DT20+6 DT14 | 59 | 164.13 | Driven Rod | 0.2 | 0 | 12.186 |
| #183/3 DM+10.5+15B VS18 | 75.5 | 182 | Driven Rod | 0.1 | 32.967 | 30.22 |
| #183/4 DM+10.5+15B VS18 | 75.5 | 105.54 | Driven Rod | 0.1 | 9.475 | 52.113 |
| #184/1 DT60+4.5 DT13 | 57.5 | 179.3 | Driven Rod | 0.2 | 44.618 | 27.886 |
| #184/2 DT60+6 ST15&DT13 | 59 | 220.17 | Driven Rod | 0.1 | 44.618 | 27.886 |



ภาพผนวกที่ 5 ชนิดเสาและความยาวชุดคู่ถักวิ่งสำหรับสายส่ง 500kV ไทรน้อย-วังน้อย วงจรที่ 3



ภาพผนวกที่ 6 ชนิดเสาและความยาวชุดคู่ถักสำหรับสายส่ง 500kV ไทรน้อย-วังน้อย วงจรที่ 3 (ต่อ)

ภาคผนวกที่ ๖

รายละเอียดสมรรถนะฟ้าฝ่าทั่วได้จากการคำนวณด้วยโปรแกรม TFlash

ตารางผนวกที่ ข1 ผลของสมรรถนะฟ้าผ่าแต่ละช่วงเสาสำหรับสายส่ง 115kV แกลง-ขันทบุรี

| เสาต้นที่ | ระยะ 0.5 กิโลเมตร | | | ระยะ 1.0 กิโลเมตร | | |
|-----------|-------------------|----------|----------|-------------------|----------|----------|
| | SFO | BFO | Total | SFO | BFO | Total |
| #47/2A | 0.000888 | 0.007495 | 0.008383 | 0.000444 | 0.003748 | 0.004192 |
| #47/3A | 0.002864 | 0.018913 | 0.021777 | 0.002184 | 0.013973 | 0.016157 |
| #48/1 | 0.012681 | 0.131382 | 0.144063 | 0.010619 | 0.108584 | 0.119203 |
| #48/2 | 0.012897 | 0.226216 | 0.239113 | 0.007997 | 0.153525 | 0.161522 |
| #48/3 | 0.012618 | 0.27892 | 0.291538 | 0.012843 | 0.260103 | 0.272946 |
| #49/1 | 0.016714 | 0.142467 | 0.159181 | 0.012265 | 0.108922 | 0.121187 |
| #49/2 | 0.00787 | 0.088043 | 0.095913 | 0.005355 | 0.059678 | 0.065033 |
| #49/3 | 0.003219 | 0.02884 | 0.032059 | 0.004005 | 0.033589 | 0.037594 |
| #49/4 | 0.005815 | 0.058157 | 0.063972 | 0.005448 | 0.056523 | 0.061971 |
| #50/1 | 0.003097 | 0.026616 | 0.029713 | 0.004531 | 0.036324 | 0.040855 |
| #50/2 | 0.005651 | 0.06587 | 0.071521 | 0.005282 | 0.069395 | 0.074677 |
| #50/3 | 0.005477 | 0.081418 | 0.086895 | 0.003475 | 0.054678 | 0.058153 |
| #51/1 | 0.001703 | 0.179915 | 0.181618 | 0.003168 | 0.191 | 0.194168 |
| #51/2 | 0.007359 | 0.050553 | 0.057912 | 0.005785 | 0.041928 | 0.047713 |
| #51/3 | 0.003837 | 0.018876 | 0.022713 | 0.004194 | 0.018181 | 0.022375 |
| #52/1 | 0.006979 | 0.266452 | 0.273431 | 0.006254 | 0.256517 | 0.262771 |
| #52/2 | 0.004224 | 0.045849 | 0.050073 | 0.004174 | 0.043864 | 0.048038 |
| #52/3 | 0.004525 | 0.13547 | 0.139995 | 0.004525 | 0.13547 | 0.139995 |
| #53/1 | 0.003155 | 0.040772 | 0.043927 | 0.005569 | 0.059262 | 0.064831 |
| #53/2 | 0.002732 | 0.079107 | 0.081839 | 0.003111 | 0.10592 | 0.109031 |
| #53/3 | 0.003994 | 0.041328 | 0.045322 | 0.003994 | 0.041328 | 0.045322 |
| #54/1 | 0.000199 | 0.025566 | 0.025765 | 0.002679 | 0.074984 | 0.077663 |
| #54/2 | 0.005604 | 0.116813 | 0.122417 | 0.004338 | 0.117749 | 0.122087 |
| #54/3 | 0.004456 | 0.103012 | 0.107468 | 0.005107 | 0.109018 | 0.114125 |
| #55/1 | 0.004151 | 0.03196 | 0.036111 | 0.004283 | 0.033982 | 0.038265 |
| #55/2 | 0.002351 | 0.109034 | 0.111385 | 0.006908 | 0.238157 | 0.245065 |
| #55/3 | 0.003932 | 0.083887 | 0.087819 | 0.005509 | 0.130238 | 0.135747 |
| #56/1 | 0.003975 | 0.039347 | 0.043322 | 0.006024 | 0.056995 | 0.063019 |
| #56/2 | 0.001426 | 0.002559 | 0.003985 | 0.004036 | 0.005863 | 0.009899 |

ตารางผนวกที่ ข1 (ต่อ)

| สถานที่ | ระยะ 0.5 กิโลเมตร | | | ระยะ 1.0 กิโลเมตร | | |
|---------|-------------------|----------|----------|-------------------|----------|----------|
| | SFO | BFO | Total | SFO | BFO | Total |
| #56/3 | 0.006163 | 0.051739 | 0.057902 | 0.008122 | 0.08184 | 0.089962 |
| #57/1 | 0.002714 | 0.025195 | 0.027909 | 0.003795 | 0.033574 | 0.037369 |
| #57/2 | 0.003886 | 0.120964 | 0.12485 | 0.003121 | 0.113262 | 0.116383 |
| #57/3 | 0.003365 | 0.16469 | 0.168055 | 0.004278 | 0.185691 | 0.189969 |
| #58/1 | 0.000326 | 0.005095 | 0.005421 | 0.002365 | 0.023541 | 0.025906 |
| #58/2 | 0.003584 | 0.026166 | 0.02975 | 0.003883 | 0.030522 | 0.034405 |
| #59/1 | 0.001071 | 0.046235 | 0.047306 | 0.002226 | 0.069156 | 0.071382 |
| #59/2 | 0.001982 | 0.023676 | 0.025658 | 0.002063 | 0.025272 | 0.027335 |
| #59/3 | 0.010281 | 0.306185 | 0.316466 | 0.007275 | 0.229957 | 0.237232 |
| #60/1 | 0.006997 | 0.047585 | 0.054582 | 0.007517 | 0.04925 | 0.056767 |
| #60/2 | 0.005023 | 0.425098 | 0.430121 | 0.007738 | 0.576887 | 0.584625 |
| #60/3 | 0.003072 | 0.126661 | 0.129733 | 0.006144 | 0.253322 | 0.259466 |
| #61/1 | 0.011103 | 0.187954 | 0.199057 | 0.011494 | 0.196392 | 0.207886 |
| #61/2 | 0.005634 | 0.021345 | 0.026979 | 0.005634 | 0.021345 | 0.026979 |
| #61/3 | 0.006416 | 0.060895 | 0.067311 | 0.004637 | 0.047688 | 0.052325 |
| #62/1 | 0.006224 | 0.041183 | 0.047407 | 0.006883 | 0.043422 | 0.050305 |
| #62/2 | 0.004496 | 0.032802 | 0.037298 | 0.003698 | 0.028735 | 0.032433 |
| #62/3 | 0.004261 | 0.033571 | 0.037832 | 0.003196 | 0.02518 | 0.028376 |
| #63/1 | 0.004034 | 0.03169 | 0.035724 | 0.003036 | 0.023767 | 0.026803 |
| #63/2 | 0.003703 | 0.077944 | 0.081647 | 0.003911 | 0.08624 | 0.090151 |
| #63/3 | 0.012745 | 0.023903 | 0.036648 | 0.005474 | 0.012756 | 0.01823 |
| #64/1 | 0.011474 | 0.095726 | 0.1072 | 0.010669 | 0.069911 | 0.08058 |
| #64/2 | 0.006344 | 0.045344 | 0.051688 | 0.006592 | 0.047896 | 0.054488 |
| #64/3 | 0.002548 | 0.01901 | 0.021558 | 0.003073 | 0.022536 | 0.025609 |
| #65/1 | 0.007702 | 0.056464 | 0.064166 | 0.009042 | 0.067053 | 0.076095 |
| #65/2 | 0.010591 | 0.064997 | 0.075588 | 0.010781 | 0.067192 | 0.077973 |
| #65/3 | 0.003174 | 0.048152 | 0.051326 | 0.005979 | 0.072952 | 0.078931 |
| #66/1 | 0.007713 | 0.152932 | 0.160645 | 0.003528 | 0.093121 | 0.096649 |
| #66/2 | 0.005808 | 0.059184 | 0.064992 | 0.006494 | 0.061197 | 0.067691 |

ตารางผนวกที่ ข1 (ต่อ)

| สถานที่ | ระยะ 0.5 กิโลเมตร | | | ระยะ 1.0 กิโลเมตร | | |
|---------|-------------------|----------|----------|-------------------|----------|----------|
| | SFO | BFO | Total | SFO | BFO | Total |
| #66/3 | 0.002588 | 0.155095 | 0.157683 | 0.003738 | 0.215423 | 0.219161 |
| #67/1 | 0.004182 | 0.190788 | 0.19497 | 0.004331 | 0.209356 | 0.213687 |
| #67/2 | 0.002502 | 0.05681 | 0.059312 | 0.003046 | 0.06905 | 0.072096 |
| #68/1 | 0.006215 | 0.047357 | 0.053572 | 0.004473 | 0.037729 | 0.042202 |
| #68/2 | 0.002735 | 0.024901 | 0.027636 | 0.004274 | 0.033148 | 0.037422 |
| #68/3 | 0.00403 | 0.22616 | 0.23019 | 0.002504 | 0.192018 | 0.194522 |
| #69/1 | 0.004273 | 0.032353 | 0.036626 | 0.003073 | 0.022244 | 0.025317 |
| #69/2 | 0.011242 | 0.085756 | 0.096998 | 0.014712 | 0.110197 | 0.124909 |
| #69/3 | 0.005206 | 0.015495 | 0.020701 | 0.004723 | 0.015143 | 0.019866 |
| #70/1 | 0.006848 | 0.067645 | 0.074493 | 0.005707 | 0.056375 | 0.062082 |
| #70/2 | 0.004501 | 0.041876 | 0.046377 | 0.004369 | 0.038919 | 0.043288 |
| #70/3 | 0.00605 | 0.044744 | 0.050794 | 0.00789 | 0.056881 | 0.064771 |
| #71/1 | 0.004542 | 0.036381 | 0.040923 | 0.007617 | 0.058609 | 0.066226 |
| #71/2 | 0.002488 | 0.0258 | 0.028288 | 0.004826 | 0.048635 | 0.053461 |
| #71/3 | 0.002183 | 0.128714 | 0.130897 | 0.004343 | 0.257428 | 0.261771 |
| #72/1 | 0.002392 | 0.016998 | 0.01939 | 0.002074 | 0.015811 | 0.017885 |
| #72/2 | 0.004694 | 0.052342 | 0.057036 | 0.003521 | 0.039258 | 0.042779 |
| #72/3 | 0.001204 | 0.053678 | 0.054882 | 0.003726 | 0.077527 | 0.081253 |
| #72/4 | 0.006893 | 0.038369 | 0.045262 | 0.006315 | 0.038587 | 0.044902 |
| #73/1 | 0.005154 | 0.126658 | 0.131812 | 0.003947 | 0.099282 | 0.103229 |
| #73/2 | 0.002855 | 0.009096 | 0.011951 | 0.002715 | 0.008017 | 0.010732 |
| #73/3 | 0.008326 | 0.212905 | 0.221231 | 0.008355 | 0.212905 | 0.22126 |
| #74/1 | 0.001671 | 0.014347 | 0.016018 | 0.00267 | 0.021343 | 0.024013 |
| #74/2 | 0.003797 | 0.030531 | 0.034328 | 0.002079 | 0.025009 | 0.027088 |
| #74/3 | 0.006239 | 0.055013 | 0.061252 | 0.00883 | 0.071143 | 0.079973 |
| #75/1 | 0.001898 | 0.015506 | 0.017404 | 0.004438 | 0.04015 | 0.044588 |
| #75/2 | 0.002762 | 0.002074 | 0.004836 | 0.002097 | 0.001751 | 0.003848 |
| #75/3 | 0.002091 | 0.044881 | 0.046972 | 0.001975 | 0.035572 | 0.037547 |
| #76/1 | 0.006358 | 0.076703 | 0.083061 | 0.005385 | 0.066315 | 0.0717 |

ตารางผนวกที่ ข1 (ต่อ)

| สถานที่ | ระยะ 0.5 กิโลเมตร | | | ระยะ 1.0 กิโลเมตร | | |
|---------|-------------------|----------|----------|-------------------|----------|----------|
| | SFO | BFO | Total | SFO | BFO | Total |
| #76/2 | 0.000793 | 0.016139 | 0.016932 | 0.003462 | 0.039238 | 0.0427 |
| #76/3 | 0.005548 | 0.038919 | 0.044467 | 0.005072 | 0.038968 | 0.04404 |
| #77/1 | 0.00285 | 0.039619 | 0.042469 | 0.005496 | 0.059557 | 0.065053 |
| #77/2 | 0.00215 | 0.0742 | 0.07635 | 0.003525 | 0.135101 | 0.138626 |
| #77/3 | 0.005909 | 0.040291 | 0.0462 | 0.005142 | 0.036272 | 0.041414 |
| #78/1 | 0.002753 | 0.042733 | 0.045486 | 0.001676 | 0.029692 | 0.031368 |
| #78/2 | 0.005751 | 0.035566 | 0.041317 | 0.005504 | 0.032867 | 0.038371 |
| #78/3 | 0.008842 | 0.118147 | 0.126989 | 0.006208 | 0.088071 | 0.094279 |
| #79/1 | 0.008242 | 0.076679 | 0.084921 | 0.006115 | 0.056228 | 0.062343 |
| #79/2 | 0.012073 | 0.102214 | 0.114287 | 0.009054 | 0.076659 | 0.085713 |
| #80/1 | 0.003449 | 0.187875 | 0.191324 | 0.005847 | 0.222737 | 0.228584 |
| #80/2 | 0.009745 | 0.079544 | 0.089289 | 0.006415 | 0.056735 | 0.06315 |
| #80/3 | 0.020248 | 0.147585 | 0.167833 | 0.013092 | 0.094874 | 0.107966 |
| #81/1 | 0.010882 | 0.114691 | 0.125573 | 0.005854 | 0.064501 | 0.070355 |
| #81/2 | 0.003204 | 0.005232 | 0.008436 | 0.003676 | 0.004676 | 0.008352 |
| #81/3 | 0.001424 | 0.022579 | 0.024003 | 0.00532 | 0.047445 | 0.052765 |
| #82/1 | 0.002637 | 0.019936 | 0.022573 | 0.003343 | 0.039092 | 0.042435 |
| #82/2 | 0.003929 | 0.053868 | 0.057797 | 0.003013 | 0.042864 | 0.045877 |
| #82/3 | 0.007835 | 0.090124 | 0.097959 | 0.005876 | 0.067591 | 0.073467 |
| #83/1 | 0.002933 | 0.101287 | 0.10422 | 0.002668 | 0.084501 | 0.087169 |
| #83/2 | 0.000264 | 0.025368 | 0.025632 | 0.001168 | 0.052034 | 0.053202 |
| #83/3 | 0.000323 | 0 | 0.000323 | 0.003528 | 0.061444 | 0.064972 |
| #84/1 | 0.002505 | 0.016198 | 0.018703 | 0.003276 | 0.022744 | 0.02602 |
| #84/2 | 0.00453 | 0.195706 | 0.200236 | 0.005662 | 0.244626 | 0.250288 |
| #84/3 | 0.004234 | 0.032212 | 0.036446 | 0.004366 | 0.034232 | 0.038598 |
| #85/1 | 0.009685 | 0.172297 | 0.181982 | 0.006938 | 0.129857 | 0.136795 |
| #85/2 | 0.003872 | 0.124919 | 0.128791 | 0.004063 | 0.120491 | 0.124554 |
| #85/3 | 0.008789 | 0.028256 | 0.037045 | 0.006591 | 0.021961 | 0.028552 |
| #86/1 | 0.008306 | 0.246705 | 0.255011 | 0.00673 | 0.193888 | 0.200618 |

ตารางผนวกที่ ข1 (ต่อ)

| สถานที่ | ระยะ 0.5 กิโลเมตร | | | ระยะ 1.0 กิโลเมตร | | |
|---------|-------------------|----------|----------|-------------------|----------|----------|
| | SFO | BFO | Total | SFO | BFO | Total |
| #86/2 | 0.001621 | 0.017074 | 0.018695 | 0.001006 | 0.011495 | 0.012501 |
| #86/3 | 0.009193 | 0.364802 | 0.373995 | 0.006803 | 0.262807 | 0.26961 |
| #87/1 | 0.008234 | 0.058929 | 0.067163 | 0.008973 | 0.061095 | 0.070068 |
| #87/2 | 0.004537 | 0.053972 | 0.058509 | 0.006509 | 0.074005 | 0.080514 |
| #87/3 | 0.002642 | 0.086222 | 0.088864 | 0.002875 | 0.100204 | 0.103079 |
| #88/1 | 0.004274 | 0.079185 | 0.083459 | 0.005201 | 0.093324 | 0.098525 |
| #88/2 | 0.003219 | 0.022132 | 0.025351 | 0.007096 | 0.044304 | 0.0514 |
| #88/3 | 0.005126 | 0.125127 | 0.130253 | 0.006882 | 0.189172 | 0.196054 |
| #89/1 | 0.003343 | 0.025782 | 0.029125 | 0.006117 | 0.044056 | 0.050173 |
| #89/2 | 0.002132 | 0.017268 | 0.0194 | 0.001408 | 0.015021 | 0.016429 |
| #89/3 | 0.001615 | 0.026065 | 0.02768 | 0.001672 | 0.022611 | 0.024283 |
| #90/1 | 0.005407 | 0.014615 | 0.020022 | 0.008038 | 0.021199 | 0.029237 |
| #90/2 | 0.00805 | 0.084002 | 0.092052 | 0.009528 | 0.110707 | 0.120235 |
| #90/3 | 0.008056 | 0.219182 | 0.227238 | 0.005273 | 0.157241 | 0.162514 |
| #91/1 | 0.007103 | 0.341834 | 0.348937 | 0.006614 | 0.29115 | 0.297764 |
| #91/2 | 0.019112 | 0.015939 | 0.035051 | 0.035025 | 0.022841 | 0.057866 |
| #91/3 | 0.004001 | 0.037204 | 0.041205 | 0.004339 | 0.04672 | 0.051059 |
| #92/1 | 0.000529 | 0.113264 | 0.113793 | 0.001461 | 0.157876 | 0.159337 |
| #92/2 | 0 | 0 | 0 | 0.001146 | 0.074164 | 0.07531 |
| #92/3 | 0.005661 | 0.038998 | 0.044659 | 0.004066 | 0.03115 | 0.035216 |
| #93/1 | 0.000673 | 0.01884 | 0.019513 | 0.001533 | 0.02513 | 0.026663 |
| #93/2 | 0.006601 | 0.156928 | 0.163529 | 0.00989 | 0.263126 | 0.273016 |
| #93/3 | 0.002525 | 0.004468 | 0.006993 | 0.001436 | 0.004097 | 0.005533 |
| #94/1 | 0.006506 | 0.062005 | 0.068511 | 0.005086 | 0.043921 | 0.049007 |
| #94/2 | 0.006533 | 0.58632 | 0.592853 | 0.004518 | 0.428234 | 0.432752 |
| #94/3 | 0.004555 | 0.041276 | 0.045831 | 0.005232 | 0.043579 | 0.048811 |
| #95/1 | 0.004399 | 0.061048 | 0.065447 | 0.003599 | 0.054509 | 0.058108 |
| #95/2 | 0.002262 | 0.041412 | 0.043674 | 0.002665 | 0.047025 | 0.04969 |
| #95/3 | 0.005548 | 0.04213 | 0.047678 | 0.004484 | 0.038729 | 0.043213 |

ตารางผนวกที่ ข1 (ต่อ)

| สถานที่ | ระยะ 0.5 กิโลเมตร | | | ระยะ 1.0 กิโลเมตร | | |
|---------|-------------------|----------|----------|-------------------|----------|----------|
| | SFO | BFO | Total | SFO | BFO | Total |
| #96/1 | 0.006353 | 0.04175 | 0.048103 | 0.004751 | 0.031311 | 0.036062 |
| #96/2 | 0.002248 | 0.019492 | 0.02174 | 0.001167 | 0.011031 | 0.012198 |
| #96/3 | 0.004062 | 0.032517 | 0.036579 | 0.002993 | 0.023195 | 0.026188 |
| #97/1 | 0.002372 | 0.058313 | 0.060685 | 0.00405 | 0.066089 | 0.070139 |
| #97/2 | 0.007641 | 0.09464 | 0.102281 | 0.004269 | 0.063015 | 0.067284 |
| #97/3 | 0.01031 | 0.182877 | 0.193187 | 0.010708 | 0.163794 | 0.174502 |
| #98/1 | 0.006641 | 0.122236 | 0.128877 | 0.0108 | 0.190944 | 0.201744 |
| #98/2 | 0.009806 | 0.022202 | 0.032008 | 0.008813 | 0.023075 | 0.031888 |
| #98/3 | 0.005139 | 0.102178 | 0.107317 | 0.007179 | 0.121262 | 0.128441 |
| #99/1 | 0.001171 | 0.075328 | 0.076499 | 0.001798 | 0.126202 | 0.128 |
| #99/2 | 0.005339 | 0.260488 | 0.265827 | 0.003901 | 0.195331 | 0.199232 |
| #99/3 | 0.002297 | 0.038663 | 0.04096 | 0.002008 | 0.031168 | 0.033176 |
| #100/1 | 0.003435 | 0.024288 | 0.027723 | 0.001803 | 0.013351 | 0.015154 |
| #100/2 | 0.002732 | 0.031838 | 0.03457 | 0.00228 | 0.021971 | 0.024251 |
| #100/3 | 0.003255 | 0.027997 | 0.031252 | 0.004002 | 0.033985 | 0.037987 |
| #101/1 | 0.010289 | 0.15487 | 0.165159 | 0.008004 | 0.125215 | 0.133219 |
| #101/2 | 0.005416 | 0.052372 | 0.057788 | 0.005902 | 0.052223 | 0.058125 |
| #101/3 | 0.010363 | 0.471492 | 0.481855 | 0.006641 | 0.344735 | 0.351376 |
| #102/1 | 0.001321 | 0.024693 | 0.026014 | 0.002387 | 0.036459 | 0.038846 |
| #102/2 | 0.003343 | 0.127778 | 0.131121 | 0.00293 | 0.129911 | 0.132841 |
| #102/3 | 0.003045 | 0.044766 | 0.047811 | 0.001593 | 0.025163 | 0.026756 |
| #103/1 | 0.007875 | 0.336025 | 0.3439 | 0.007533 | 0.293855 | 0.301388 |
| #103/2 | 0.002184 | 0.017702 | 0.019886 | 0.002282 | 0.018909 | 0.021191 |
| #103/3 | 0.000331 | 0.000681 | 0.001012 | 0.000331 | 0.000681 | 0.001012 |

ตารางผนวกที่ ข2 ผลของสมรรถนะฟ้าผ่าแต่ละช่วงเสาสำหรับสายส่ง 230kV อ่างทอง2-ท่าล้าน3

| เสาต้นที่ | ระยะ 0.5 กิโลเมตร | | | ระยะ 1.0 กิโลเมตร | | |
|-----------|-------------------|----------|----------|-------------------|----------|----------|
| | SFO | BFO | Total | SFO | BFO | Total |
| #0/1 | 0.000122 | 0 | 0.000122 | 0.000182 | 0 | 0.000182 |
| #0/2 | 0.000122 | 0 | 0.000122 | 0.002459 | 0 | 0.002459 |
| #1/1 | 0.002004 | 0 | 0.002004 | 0.005498 | 0 | 0.005498 |
| #1/2 | 0.015409 | 0 | 0.015409 | 0.022244 | 0 | 0.022244 |
| #1/3 | 0.023233 | 0.012591 | 0.035824 | 0.013054 | 0.006295 | 0.019349 |
| #2/1 | 0.015452 | 0 | 0.015452 | 0.007726 | 0 | 0.007726 |
| #2/2 | 0.007854 | 0 | 0.007854 | 0.008726 | 0 | 0.008726 |
| #3/1 | 0.005527 | 0 | 0.005527 | 0.002562 | 0 | 0.002562 |
| #3/2 | 0.001461 | 0 | 0.001461 | 0.007043 | 0 | 0.007043 |
| #4/1 | 0.003633 | 0 | 0.003633 | 0.009904 | 0 | 0.009904 |
| #4/2 | 0.022312 | 0 | 0.022312 | 0.021463 | 0 | 0.021463 |
| #4/3 | 0.027058 | 0 | 0.027058 | 0.019132 | 0 | 0.019132 |
| #5/1 | 0.008458 | 0 | 0.008458 | 0.012132 | 0 | 0.012132 |
| #5/2 | 0.017258 | 0.008537 | 0.025795 | 0.024242 | 0.01494 | 0.039182 |
| #5/3 | 0.032624 | 0.014776 | 0.0474 | 0.022913 | 0.009851 | 0.032764 |
| #6/1 | 0.044242 | 0 | 0.044242 | 0.019111 | 0 | 0.019111 |
| #6/2 | 0.011942 | 0 | 0.011942 | 0.014895 | 0 | 0.014895 |
| #7/1 | 0.018387 | 0 | 0.018387 | 0.012733 | 0 | 0.012733 |
| #7/2 | 0.013783 | 0 | 0.013783 | 0.017572 | 0 | 0.017572 |
| #7/3 | 0.022401 | 0 | 0.022401 | 0.025043 | 0 | 0.025043 |
| #8/1 | 0.024022 | 0 | 0.024022 | 0.026025 | 0 | 0.026025 |
| #8/2 | 0.034883 | 0 | 0.034883 | 0.020012 | 0 | 0.020012 |
| #9/1 | 0.021187 | 0 | 0.021187 | 0.008845 | 0 | 0.008845 |
| #9/2 | 0.01285 | 0 | 0.01285 | 0.013388 | 0 | 0.013388 |
| #9/3 | 0.012909 | 0.010508 | 0.023417 | 0.034761 | 0.011821 | 0.046582 |
| #10/1 | 0.040962 | 0.016418 | 0.05738 | 0.021723 | 0.006567 | 0.02829 |
| #10/2 | 0.01731 | 0 | 0.01731 | 0.011588 | 0 | 0.011588 |
| #11/1 | 0.012091 | 0 | 0.012091 | 0.015684 | 0 | 0.015684 |
| #11/2 | 0.013215 | 0 | 0.013215 | 0.019468 | 0 | 0.019468 |

ตารางผนวกที่ ข2 (ต่อ)

| เลขที่ | ระยะ 0.5 กิโลเมตร | | | ระยะ 1.0 กิโลเมตร | | |
|--------|-------------------|----------|----------|-------------------|----------|----------|
| | SFO | BFO | Total | SFO | BFO | Total |
| #12/2 | 0.009203 | 0 | 0.009203 | 0.020338 | 0 | 0.020338 |
| #12/3 | 0.015636 | 0 | 0.015636 | 0.024327 | 0 | 0.024327 |
| #13/1 | 0.021499 | 0 | 0.021499 | 0.021422 | 0 | 0.021422 |
| #13/2 | 0.013969 | 0.010813 | 0.024782 | 0.017687 | 0.009732 | 0.027419 |
| #14/1 | 0.011271 | 0 | 0.011271 | 0.008777 | 0 | 0.008777 |
| #14/2 | 0.018301 | 0 | 0.018301 | 0.020669 | 0 | 0.020669 |
| #14/3 | 0.002307 | 0 | 0.002307 | 0.0008 | 0 | 0.0008 |
| #14/5 | 0.001252 | 0 | 0.001252 | 0.001252 | 0 | 0.001252 |
| #15/1 | 0.015478 | 0 | 0.015478 | 0.01189 | 0 | 0.01189 |
| #15/2 | 0.012312 | 0.015731 | 0.028043 | 0.017593 | 0.011798 | 0.029391 |
| #15/3 | 0.01978 | 0.013791 | 0.033571 | 0.023516 | 0.01609 | 0.039606 |
| #16/1 | 0.009376 | 0 | 0.009376 | 0.014879 | 0 | 0.014879 |
| #16/2 | 0.012274 | 0 | 0.012274 | 0.009233 | 0 | 0.009233 |
| #16/3 | 0.024011 | 0 | 0.024011 | 0.014123 | 0 | 0.014123 |
| #17/1 | 0.025439 | 0 | 0.025439 | 0.018612 | 0 | 0.018612 |
| #17/2 | 0.010278 | 0 | 0.010278 | 0.013311 | 0 | 0.013311 |
| #18/1 | 0.012203 | 0 | 0.012203 | 0.012671 | 0 | 0.012671 |
| #18/2 | 0.017531 | 0 | 0.017531 | 0.017695 | 0 | 0.017695 |
| #18/3 | 0.015426 | 0 | 0.015426 | 0.023464 | 0 | 0.023464 |
| #19/1 | 0.036932 | 0 | 0.036932 | 0.032953 | 0 | 0.032953 |
| #19/2 | 0.011793 | 0 | 0.011793 | 0.012986 | 0 | 0.012986 |
| #20/1 | 0.004958 | 0 | 0.004958 | 0.00705 | 0 | 0.00705 |
| #20/2 | 0.016182 | 0 | 0.016182 | 0.02232 | 0 | 0.02232 |
| #20/3 | 0.020658 | 0 | 0.020658 | 0.024747 | 0 | 0.024747 |
| #21/1 | 0.021042 | 0 | 0.021042 | 0.023069 | 0 | 0.023069 |
| #21/2 | 0.01914 | 0 | 0.01914 | 0.022181 | 0 | 0.022181 |
| #21/3 | 0.02227 | 0 | 0.02227 | 0.022569 | 0 | 0.022569 |
| #22/1 | 0.014369 | 0 | 0.014369 | 0.016077 | 0 | 0.016077 |
| #22/2 | 0.027568 | 0.016037 | 0.043605 | 0.02781 | 0.016036 | 0.043846 |

ตารางผนวกที่ ข2 (ต่อ)

| เลขที่ | ระยะ 0.5 กิโลเมตร | | | ระยะ 1.0 กิโลเมตร | | |
|--------|-------------------|----------|----------|-------------------|----------|----------|
| | SFO | BFO | Total | SFO | BFO | Total |
| #23/1 | 0.02655 | 0 | 0.02655 | 0.024307 | 0 | 0.024307 |
| #23/2 | 0.034822 | 0.04341 | 0.078232 | 0.027541 | 0.039069 | 0.06661 |
| #23/3 | 0.022088 | 0.018116 | 0.040204 | 0.019872 | 0.016607 | 0.036479 |
| #24/1 | 0.028172 | 0 | 0.028172 | 0.027954 | 0 | 0.027954 |
| #24/2 | 0.031464 | 0 | 0.031464 | 0.022992 | 0 | 0.022992 |
| #25/1 | 0.043435 | 0 | 0.043435 | 0.030217 | 0 | 0.030217 |
| #25/2 | 0.049273 | 0 | 0.049273 | 0.034868 | 0 | 0.034868 |
| #25/3 | 0.032576 | 0 | 0.032576 | 0.033032 | 0 | 0.033032 |
| #26/1 | 0.149728 | 0 | 0.149728 | 0.15143 | 0 | 0.15143 |
| #26/2 | 0.017935 | 0 | 0.017935 | 0.024607 | 0 | 0.024607 |
| #27/1 | 0.016125 | 0 | 0.016125 | 0.01899 | 0 | 0.01899 |
| #27/2 | 0.013801 | 0 | 0.013801 | 0.014168 | 0 | 0.014168 |
| #27/3 | 0.008958 | 0 | 0.008958 | 0.006614 | 0 | 0.006614 |
| #28/1 | 0.008901 | 0.00197 | 0.010871 | 0.009773 | 0.002463 | 0.012236 |
| #28/2 | 0.012648 | 0 | 0.012648 | 0.014342 | 0 | 0.014342 |
| #28/3 | 0.022548 | 0 | 0.022548 | 0.013641 | 0 | 0.013641 |
| #29/1 | 0.021414 | 0 | 0.021414 | 0.018311 | 0 | 0.018311 |
| #29/2 | 0.017141 | 0 | 0.017141 | 0.022273 | 0 | 0.022273 |
| #30/1 | 0.016018 | 0 | 0.016018 | 0.022026 | 0 | 0.022026 |
| #30/2 | 0.015258 | 0 | 0.015258 | 0.019279 | 0 | 0.019279 |
| #30/3 | 0.018284 | 0 | 0.018284 | 0.013702 | 0 | 0.013702 |
| #31/1 | 0.025923 | 0 | 0.025923 | 0.02128 | 0 | 0.02128 |
| #31/2 | 0.025245 | 0 | 0.025245 | 0.022754 | 0 | 0.022754 |
| #32/1 | 0.036895 | 0 | 0.036895 | 0.023562 | 0 | 0.023562 |
| #32/2 | 0.026795 | 0 | 0.026795 | 0.034568 | 0 | 0.034568 |
| #32/3 | 0.020426 | 0 | 0.020426 | 0.021648 | 0 | 0.021648 |
| #33/1 | 0.021652 | 0 | 0.021652 | 0.027329 | 0 | 0.027329 |
| #33/2 | 0.024208 | 0 | 0.024208 | 0.021705 | 0 | 0.021705 |
| #33/3 | 0.022078 | 0 | 0.022078 | 0.025276 | 0 | 0.025276 |

ตารางผนวกที่ ข2 (ต่อ)

| เลขที่ | ระยะ 0.5 กิโลเมตร | | | ระยะ 1.0 กิโลเมตร | | |
|--------|-------------------|----------|----------|-------------------|----------|----------|
| | SFO | BFO | Total | SFO | BFO | Total |
| #34/1 | 0.039276 | 0 | 0.039276 | 0.032356 | 0 | 0.032356 |
| #34/2 | 0.027187 | 0 | 0.027187 | 0.030003 | 0 | 0.030003 |
| #35/1 | 0.036833 | 0 | 0.036833 | 0.029739 | 0 | 0.029739 |
| #35/2 | 0.030838 | 0 | 0.030838 | 0.028283 | 0 | 0.028283 |
| #35/3 | 0.041522 | 0 | 0.041522 | 0.046925 | 0 | 0.046925 |
| #36/1 | 0.036345 | 0 | 0.036345 | 0.033446 | 0 | 0.033446 |
| #36/2 | 0.029597 | 0 | 0.029597 | 0.028185 | 0 | 0.028185 |
| #37/1 | 0.034226 | 0 | 0.034226 | 0.050869 | 0 | 0.050869 |
| #37/2 | 0.039267 | 0 | 0.039267 | 0.039015 | 0 | 0.039015 |
| #37/3 | 0.054347 | 0 | 0.054347 | 0.041716 | 0 | 0.041716 |
| #38/1 | 0.040392 | 0 | 0.040392 | 0.035034 | 0 | 0.035034 |
| #38/2 | 0.040986 | 0 | 0.040986 | 0.036127 | 0 | 0.036127 |
| #39/1 | 0.036065 | 0 | 0.036065 | 0.049112 | 0 | 0.049112 |
| #39/2 | 0.040055 | 0 | 0.040055 | 0.052603 | 0 | 0.052603 |
| #40/1 | 0.05089 | 0 | 0.05089 | 0.053092 | 0 | 0.053092 |
| #40/2 | 0.052187 | 0 | 0.052187 | 0.037066 | 0 | 0.037066 |
| #40/3 | 0.052682 | 0 | 0.052682 | 0.04238 | 0 | 0.04238 |
| #41/1 | 0.014392 | 0 | 0.014392 | 0.026482 | 0 | 0.026482 |
| #41/2 | 0.053686 | 0 | 0.053686 | 0.042136 | 0 | 0.042136 |
| #42/1 | 0.021492 | 0 | 0.021492 | 0.03106 | 0 | 0.03106 |
| #42/2 | 0.018504 | 0 | 0.018504 | 0.02383 | 0 | 0.02383 |
| #42/3 | 0.024589 | 0 | 0.024589 | 0.023944 | 0 | 0.023944 |
| #43/1 | 0.017618 | 0 | 0.017618 | 0.021861 | 0 | 0.021861 |
| #43/2 | 0.016636 | 0 | 0.016636 | 0.015861 | 0 | 0.015861 |
| #44/1 | 0.055908 | 0 | 0.055908 | 0.038005 | 0 | 0.038005 |
| #44/2 | 0.045274 | 0.074316 | 0.11959 | 0.062722 | 0.100239 | 0.162961 |
| #44/3 | 0.075755 | 0.010541 | 0.086296 | 0.057282 | 0.018071 | 0.075353 |
| #45/1 | 0.041117 | 0.016037 | 0.057207 | 0.036488 | 0.016037 | 0.052525 |
| #45/2 | 0.041056 | 0.01469 | 0.055746 | 0.037447 | 0.01469 | 0.052137 |

ตารางผนวกที่ ข2 (ต่อ)

| เสาต้นที่ | ระยะ 0.5 กิโลเมตร | | | ระยะ 1.0 กิโลเมตร | | |
|-----------|-------------------|----------|----------|-------------------|----------|----------|
| | SFO | BFO | Total | SFO | BFO | Total |
| #46/1 | 0.033741 | 0 | 0.033741 | 0.028693 | 0 | 0.028693 |
| #46/2 | 0.025021 | 0 | 0.025021 | 0.026024 | 0 | 0.026024 |
| #46/3 | 0.026037 | 0.013776 | 0.039813 | 0.022574 | 0.015153 | 0.037727 |
| #47/1 | 0.026449 | 0.016978 | 0.043427 | 0.042989 | 0.031125 | 0.074114 |
| #47/2 | 0.019731 | 0 | 0.019731 | 0.022768 | 0 | 0.022768 |
| #48/1 | 0.035115 | 0 | 0.035115 | 0.030279 | 0 | 0.030279 |
| #48/2 | 0.014211 | 0 | 0.014211 | 0.022404 | 0 | 0.022404 |
| #48/3 | 0.037805 | 0 | 0.037805 | 0.032585 | 0 | 0.032585 |
| #49/1 | 0.021984 | 0 | 0.021984 | 0.018933 | 0 | 0.018933 |
| #49/2 | 0.015125 | 0 | 0.015125 | 0.01795 | 0 | 0.01795 |
| #49/3 | 0.024636 | 0 | 0.024636 | 0.021353 | 0 | 0.021353 |
| #50/1 | 0.034536 | 0 | 0.034536 | 0.023049 | 0 | 0.023049 |
| #50/2 | 0.027372 | 0 | 0.027372 | 0.02913 | 0 | 0.02913 |
| #51/1 | 0.020459 | 0 | 0.020459 | 0.022614 | 0 | 0.022614 |
| #51/2 | 0.014613 | 0 | 0.014613 | 0.013181 | 0 | 0.013181 |
| #51/3 | 0.006173 | 0 | 0.006173 | 0.005401 | 0 | 0.005401 |

**ตารางผนวกที่ ข3 ผลของสมการณะฟ้าผ่าแต่ละช่วงสำหรับสายส่ง 500kV ไทรน้อย-วังน้อย
วงจรที่ 3**

| เสาต้นที่ | ระยะ 0.5 กิโลเมตร | | | ระยะ 1.0 กิโลเมตร | | |
|-----------|-------------------|-----|----------|-------------------|-----|----------|
| | SFO | BFO | Total | SFO | BFO | Total |
| #122/3A | 0 | 0 | 0 | 0 | 0 | 0 |
| #122/2A | 0.019762 | 0 | 0.019762 | 0.022499 | 0 | 0.022499 |
| #122/1A | 0.013314 | 0 | 0.013314 | 0.013375 | 0 | 0.013375 |
| #121/4A | 0.037953 | 0 | 0.037953 | 0.023946 | 0 | 0.023946 |
| #121/3A | 0.026729 | 0 | 0.026729 | 0.061147 | 0 | 0.061147 |
| #121/2A | 0 | 0 | 0 | 0 | 0 | 0 |

ตารางผนวกที่ ข3 (ต่อ)

| เลขที่ | ระยะ 0.5 กิโลเมตร | | | ระยะ 1.0 กิโลเมตร | | |
|---------|-------------------|-----|----------|-------------------|-----|----------|
| | SFO | BFO | Total | SFO | BFO | Total |
| #121/1A | 0 | 0 | 0 | 0 | 0 | 0 |
| #120/4A | 0.027387 | 0 | 0.027387 | 0.005406 | 0 | 0.005406 |
| #120/3A | 0.023238 | 0 | 0.023238 | 0.005621 | 0 | 0.005621 |
| #120/2A | 0.011092 | 0 | 0.011092 | 0.008907 | 0 | 0.008907 |
| #120/1A | 0 | 0 | 0 | 0 | 0 | 0 |
| #119/4A | 0 | 0 | 0 | 0 | 0 | 0 |
| #119/3A | 0.044585 | 0 | 0.044585 | 0.046378 | 0 | 0.046378 |
| #119/2A | 0.055064 | 0 | 0.055064 | 0.048892 | 0 | 0.048892 |
| #119/1A | 0.098964 | 0 | 0.098964 | 0.099098 | 0 | 0.099098 |
| #118/3A | 0.144392 | 0 | 0.144392 | 0.148393 | 0 | 0.148393 |
| #118/2A | 0.080791 | 0 | 0.080791 | 0.060108 | 0 | 0.060108 |
| #118/1A | 0 | 0 | 0 | 0 | 0 | 0 |
| #117/3A | 0.007892 | 0 | 0.007892 | 0.009498 | 0 | 0.009498 |
| #117/2A | 0.004971 | 0 | 0.004971 | 0.005304 | 0 | 0.005304 |
| #117/1A | 0.004605 | 0 | 0.004605 | 0.012428 | 0 | 0.012428 |
| #116/2A | 0.007076 | 0 | 0.007076 | 0.009792 | 0 | 0.009792 |
| #116/1A | 0 | 0 | 0 | 0 | 0 | 0 |
| #115/2A | 0.036147 | 0 | 0.036147 | 0.040371 | 0 | 0.040371 |
| #115/1A | 0.030002 | 0 | 0.030002 | 0.027634 | 0 | 0.027634 |
| #114/2A | 0.027611 | 0 | 0.027611 | 0.028805 | 0 | 0.028805 |
| #114/1A | 0 | 0 | 0 | 0 | 0 | 0 |
| #113/2A | 0.036633 | 0 | 0.036633 | 0.039555 | 0 | 0.039555 |
| #113/1A | 0.018975 | 0 | 0.018975 | 0.026549 | 0 | 0.026549 |
| #112/4A | 0.022475 | 0 | 0.022475 | 0.022281 | 0 | 0.022281 |
| #112/3A | 0 | 0 | 0 | 0 | 0 | 0 |
| #112/2A | 0.137009 | 0 | 0.137009 | 0.143213 | 0 | 0.143213 |
| #112/1A | 0.148067 | 0 | 0.148067 | 0.162983 | 0 | 0.162983 |
| #111/3A | 0.148228 | 0 | 0.148228 | 0.098109 | 0 | 0.098109 |
| #111/2A | 0.071057 | 0 | 0.071057 | 0.070445 | 0 | 0.070445 |

ตารางผนวกที่ ข3 (ต่อ)

| สถานที่ | ระยะ 0.5 กิโลเมตร | | | ระยะ 1.0 กิโลเมตร | | |
|---------|-------------------|----------|----------|-------------------|----------|----------|
| | SFO | BFO | Total | SFO | BFO | Total |
| #111/1A | 0.000215 | 0 | 0.000215 | 0.000287 | 0 | 0.000287 |
| #110/3A | 0.034174 | 0 | 0.034174 | 0.041183 | 0 | 0.041183 |
| #110/2A | 0.049636 | 0 | 0.049636 | 0.065492 | 0 | 0.065492 |
| #110/1A | 0.005262 | 0 | 0.005262 | 0.005959 | 0 | 0.005959 |
| #109/2A | 0.01792 | 0 | 0.01792 | 0.019467 | 0 | 0.019467 |
| #109/1A | 0.034725 | 0 | 0.034725 | 0.027264 | 0 | 0.027264 |
| #108/4A | 0.056099 | 0 | 0.056099 | 0.039313 | 0 | 0.039313 |
| #108/3A | 0 | 0 | 0 | 0 | 0 | 0 |
| #108/2 | 0 | 0 | 0 | 0 | 0 | 0 |
| #108/3 | 0 | 0 | 0 | 0 | 0 | 0 |
| #109/1 | 0.024306 | 0 | 0.024306 | 0.012276 | 0 | 0.012276 |
| #109/2 | 0.012397 | 0 | 0.012397 | 0.010194 | 0 | 0.010194 |
| #109/3 | 0 | 0 | 0 | 0 | 0 | 0 |
| #110/1 | 0.041371 | 0 | 0.041371 | 0.042002 | 0 | 0.042002 |
| #110/2 | 0.032266 | 0 | 0.032266 | 0.031055 | 0 | 0.031055 |
| #111/1 | 0 | 0 | 0 | 0 | 0 | 0 |
| #111/2 | 0.025683 | 0 | 0.025683 | 0.027198 | 0 | 0.027198 |
| #111/3 | 0.01232 | 0 | 0.01232 | 0.01392 | 0 | 0.01392 |
| #112/1 | 0.00428 | 0 | 0.00428 | 0.004452 | 0 | 0.004452 |
| #112/2 | 0 | 0 | 0 | 0 | 0 | 0 |
| #113/1 | 0.012217 | 0 | 0.012217 | 0.011189 | 0 | 0.011189 |
| #113/2 | 0.000135 | 0 | 0.000135 | 0.000158 | 0 | 0.000158 |
| #113/3 | 0.061662 | 0 | 0.061662 | 0.046172 | 0 | 0.046172 |
| #114/1 | 0.038468 | 0 | 0.038468 | 0.033587 | 0 | 0.033587 |
| #114/2 | 0.01905 | 0 | 0.01905 | 0.024768 | 0 | 0.024768 |
| #114/3 | 0.017759 | 0 | 0.017759 | 0.024129 | 0 | 0.024129 |
| #115/1 | 0.019351 | 0.001337 | 0.020688 | 0.031077 | 0.003343 | 0.03442 |
| #115/2 | 0 | 0 | 0 | 0 | 0 | 0 |
| #115/3 | 0.046288 | 0 | 0.046288 | 0.066168 | 0 | 0.066168 |

ตารางผนวกที่ ข3 (ต่อ)

| เลขที่ | ระยะ 0.5 กิโลเมตร | | | ระยะ 1.0 กิโลเมตร | | |
|--------|-------------------|-----|----------|-------------------|-----|----------|
| | SFO | BFO | Total | SFO | BFO | Total |
| #116/1 | 0.088699 | 0 | 0.088699 | 0.066873 | 0 | 0.066873 |
| #116/2 | 0.051062 | 0 | 0.051062 | 0.03989 | 0 | 0.03989 |
| #116/3 | 0.000225 | 0 | 0.000225 | 0.000203 | 0 | 0.000203 |
| #117/1 | 0.024668 | 0 | 0.024668 | 0.025381 | 0 | 0.025381 |
| #117/2 | 0.01601 | 0 | 0.01601 | 0.014733 | 0 | 0.014733 |
| #118/1 | 0.014655 | 0 | 0.014655 | 0.0094 | 0 | 0.0094 |
| #118/2 | 0.032195 | 0 | 0.032195 | 0.02923 | 0 | 0.02923 |
| #119/1 | 0.105655 | 0 | 0.105655 | 0.074133 | 0 | 0.074133 |
| #119/2 | 0.035527 | 0 | 0.035527 | 0.031143 | 0 | 0.031143 |
| #119/3 | 0.00969 | 0 | 0.00969 | 0.011582 | 0 | 0.011582 |
| #120/1 | 0 | 0 | 0 | 0 | 0 | 0 |
| #120/2 | 0.005898 | 0 | 0.005898 | 0.007455 | 0 | 0.007455 |
| #120/3 | 0.004078 | 0 | 0.004078 | 0.003619 | 0 | 0.003619 |
| #120/4 | 0 | 0 | 0 | 0 | 0 | 0 |
| #120/5 | 0.000045 | 0 | 0.000045 | 0.000045 | 0 | 0.000045 |
| #121/1 | 0.00842 | 0 | 0.00842 | 0.004728 | 0 | 0.004728 |
| #121/2 | 0.000045 | 0 | 0.000045 | 0.000023 | 0 | 0.000023 |
| #121/3 | 0.007977 | 0 | 0.007977 | 0.009297 | 0 | 0.009297 |
| #122/1 | 0.016467 | 0 | 0.016467 | 0.015796 | 0 | 0.015796 |
| #122/2 | 0.010774 | 0 | 0.010774 | 0.008891 | 0 | 0.008891 |
| #122/3 | 0.000159 | 0 | 0.000159 | 0.000398 | 0 | 0.000398 |
| #123/1 | 0.016636 | 0 | 0.016636 | 0.012722 | 0 | 0.012722 |
| #123/2 | 0 | 0 | 0 | 0 | 0 | 0 |
| #124/1 | 0.001445 | 0 | 0.001445 | 0.002167 | 0 | 0.002167 |
| #124/2 | 0.019044 | 0 | 0.019044 | 0.019269 | 0 | 0.019269 |
| #124/3 | 0.019845 | 0 | 0.019845 | 0.019554 | 0 | 0.019554 |
| #125/1 | 0 | 0 | 0 | 0 | 0 | 0 |
| #125/2 | 0.04227 | 0 | 0.04227 | 0.042238 | 0 | 0.042238 |
| #125/3 | 0.064299 | 0 | 0.064299 | 0.053115 | 0 | 0.053115 |

ตารางผนวกที่ ข3 (ต่อ)

| เลขที่ | ระยะ 0.5 กิโลเมตร | | | ระยะ 1.0 กิโลเมตร | | |
|--------|-------------------|-----|----------|-------------------|-----|----------|
| | SFO | BFO | Total | SFO | BFO | Total |
| #126/1 | 0.032452 | 0 | 0.032452 | 0.04863 | 0 | 0.04863 |
| #126/2 | 0.038474 | 0 | 0.038474 | 0.060081 | 0 | 0.060081 |
| #126/3 | 0.010578 | 0 | 0.010578 | 0.014349 | 0 | 0.014349 |
| #127/1 | 0.009687 | 0 | 0.009687 | 0.010439 | 0 | 0.010439 |
| #127/2 | 0.017111 | 0 | 0.017111 | 0.017111 | 0 | 0.017111 |
| #128/1 | 0.024082 | 0 | 0.024082 | 0.028414 | 0 | 0.028414 |
| #128/2 | 0.063258 | 0 | 0.063258 | 0.080683 | 0 | 0.080683 |
| #129/1 | 0.035132 | 0 | 0.035132 | 0.034043 | 0 | 0.034043 |
| #129/2 | 0.036988 | 0 | 0.036988 | 0.027944 | 0 | 0.027944 |
| #130/1 | 0.023906 | 0 | 0.023906 | 0.016382 | 0 | 0.016382 |
| #130/2 | 0.013826 | 0 | 0.013826 | 0.026882 | 0 | 0.026882 |
| #131/1 | 0.028402 | 0 | 0.028402 | 0.056794 | 0 | 0.056794 |
| #131/2 | 0.032015 | 0 | 0.032015 | 0.042774 | 0 | 0.042774 |
| #131/3 | 0.010777 | 0 | 0.010777 | 0.012573 | 0 | 0.012573 |
| #132/1 | 0.052201 | 0 | 0.052201 | 0.039952 | 0 | 0.039952 |
| #132/2 | 0.033323 | 0 | 0.033323 | 0.03006 | 0 | 0.03006 |
| #132/3 | 0.004837 | 0 | 0.004837 | 0.005337 | 0 | 0.005337 |
| #133/1 | 0.00711 | 0 | 0.00711 | 0.009995 | 0 | 0.009995 |
| #133/2 | 0.003315 | 0 | 0.003315 | 0.002111 | 0 | 0.002111 |
| #134/1 | 0.033799 | 0 | 0.033799 | 0.028834 | 0 | 0.028834 |
| #134/2 | 0.030155 | 0 | 0.030155 | 0.030155 | 0 | 0.030155 |
| #134/3 | 0.04178 | 0 | 0.04178 | 0.036077 | 0 | 0.036077 |
| #135/1 | 0.04519 | 0 | 0.04519 | 0.03766 | 0 | 0.03766 |
| #135/2 | 0.041002 | 0 | 0.041002 | 0.039375 | 0 | 0.039375 |
| #135/3 | 0.00988 | 0 | 0.00988 | 0.013642 | 0 | 0.013642 |
| #136/1 | 0.034744 | 0 | 0.034744 | 0.054258 | 0 | 0.054258 |
| #136/2 | 0.009807 | 0 | 0.009807 | 0.043454 | 0 | 0.043454 |
| #136/3 | 0.026811 | 0 | 0.026811 | 0.030178 | 0 | 0.030178 |
| #137/1 | 0.023381 | 0 | 0.023381 | 0.025576 | 0 | 0.025576 |

ตารางผนวกที่ ข3 (ต่อ)

| เลขที่ | ระยะ 0.5 กิโลเมตร | | | ระยะ 1.0 กิโลเมตร | | |
|--------|-------------------|-----|----------|-------------------|-----|----------|
| | SFO | BFO | Total | SFO | BFO | Total |
| #137/2 | 0.038489 | 0 | 0.038489 | 0.035334 | 0 | 0.035334 |
| #137/3 | 0.045433 | 0 | 0.045433 | 0.032184 | 0 | 0.032184 |
| #138/1 | 0.07846 | 0 | 0.07846 | 0.046715 | 0 | 0.046715 |
| #138/2 | 0.029045 | 0 | 0.029045 | 0.02091 | 0 | 0.02091 |
| #138/3 | 0.021647 | 0 | 0.021647 | 0.021647 | 0 | 0.021647 |
| #139/1 | 0.022544 | 0 | 0.022544 | 0.018704 | 0 | 0.018704 |
| #139/2 | 0.015621 | 0 | 0.015621 | 0.020981 | 0 | 0.020981 |
| #139/3 | 0.00471 | 0 | 0.00471 | 0.037397 | 0 | 0.037397 |
| #140/1 | 0.011318 | 0 | 0.011318 | 0.015121 | 0 | 0.015121 |
| #140/2 | 0.042114 | 0 | 0.042114 | 0.025848 | 0 | 0.025848 |
| #140/3 | 0 | 0 | 0 | 0 | 0 | 0 |
| #141/1 | 0.013424 | 0 | 0.013424 | 0.010837 | 0 | 0.010837 |
| #141/2 | 0.002882 | 0 | 0.002882 | 0.003838 | 0 | 0.003838 |
| #142/1 | 0.00006 | 0 | 0.00006 | 0.00003 | 0 | 0.00003 |
| #142/2 | 0.009113 | 0 | 0.009113 | 0.004556 | 0 | 0.004556 |
| #142/3 | 0 | 0 | 0 | 0 | 0 | 0 |
| #142/4 | 0.009998 | 0 | 0.009998 | 0.010846 | 0 | 0.010846 |
| #142/5 | 0.008186 | 0 | 0.008186 | 0.006467 | 0 | 0.006467 |
| #143/1 | 0.015095 | 0 | 0.015095 | 0.011004 | 0 | 0.011004 |
| #143/2 | 0 | 0 | 0 | 0 | 0 | 0 |
| #143/3 | 0.024719 | 0 | 0.024719 | 0.024906 | 0 | 0.024906 |
| #143/4 | 0.018933 | 0 | 0.018933 | 0.009007 | 0 | 0.009007 |
| #144/1 | 0 | 0 | 0 | 0 | 0 | 0 |
| #144/2 | 0.002115 | 0 | 0.002115 | 0.002756 | 0 | 0.002756 |
| #144/3 | 0.002001 | 0 | 0.002001 | 0.00358 | 0 | 0.00358 |
| #145/1 | 0 | 0 | 0 | 0 | 0 | 0 |
| #145/2 | 0.001659 | 0 | 0.001659 | 0.001949 | 0 | 0.001949 |
| #146/1 | 0.001742 | 0 | 0.001742 | 0.003067 | 0 | 0.003067 |
| #146/2 | 0.031028 | 0 | 0.031028 | 0.024803 | 0 | 0.024803 |

ตารางผนวกที่ ข3 (ต่อ)

| เลขที่ | ระยะ 0.5 กิโลเมตร | | | ระยะ 1.0 กิโลเมตร | | |
|--------|-------------------|----------|----------|-------------------|----------|----------|
| | SFO | BFO | Total | SFO | BFO | Total |
| #146/3 | 0.020657 | 0 | 0.020657 | 0.023076 | 0 | 0.023076 |
| #147/1 | 0.061053 | 0 | 0.061053 | 0.056848 | 0 | 0.056848 |
| #147/2 | 0.064262 | 0 | 0.064262 | 0.068038 | 0 | 0.068038 |
| #147/3 | 0.071983 | 0 | 0.071983 | 0.051138 | 0 | 0.051138 |
| #148/1 | 0.018924 | 0 | 0.018924 | 0.033913 | 0 | 0.033913 |
| #148/2 | 0.033577 | 0 | 0.033577 | 0.032392 | 0 | 0.032392 |
| #148/3 | 0.019527 | 0 | 0.019527 | 0.018508 | 0 | 0.018508 |
| #149/1 | 0.009754 | 0 | 0.009754 | 0.010079 | 0 | 0.010079 |
| #149/2 | 0.003657 | 0 | 0.003657 | 0.008541 | 0 | 0.008541 |
| #150/1 | 0.013014 | 0 | 0.013014 | 0.010123 | 0 | 0.010123 |
| #150/2 | 0 | 0 | 0 | 0 | 0 | 0 |
| #151/1 | 0.021047 | 0 | 0.021047 | 0.019849 | 0 | 0.019849 |
| #151/2 | 0.012475 | 0 | 0.012475 | 0.008888 | 0 | 0.008888 |
| #152/1 | 0.013352 | 0 | 0.013352 | 0.01204 | 0 | 0.01204 |
| #152/2 | 0.00901 | 0 | 0.00901 | 0.013938 | 0 | 0.013938 |
| #153/1 | 0.011069 | 0 | 0.011069 | 0.006952 | 0 | 0.006952 |
| #153/2 | 0.023792 | 0 | 0.023792 | 0.019287 | 0 | 0.019287 |
| #154/1 | 0.022817 | 0 | 0.022817 | 0.020676 | 0 | 0.020676 |
| #154/2 | 0 | 0 | 0 | 0 | 0 | 0 |
| #155/1 | 0.015483 | 0 | 0.015483 | 0.017524 | 0 | 0.017524 |
| #155/2 | 0.009138 | 0 | 0.009138 | 0.010452 | 0 | 0.010452 |
| #155/3 | 0.015162 | 0 | 0.015162 | 0.011646 | 0 | 0.011646 |
| #156/1 | 0.076234 | 0.035354 | 0.111588 | 0.05394 | 0.026516 | 0.080456 |
| #156/2 | 0.20208 | 0 | 0.20208 | 0.184629 | 0 | 0.184629 |
| #157/1 | 0.15302 | 0 | 0.15302 | 0.139786 | 0 | 0.139786 |
| #157/2 | 0.112683 | 0 | 0.112683 | 0.117634 | 0 | 0.117634 |
| #157/3 | 0.006389 | 0 | 0.006389 | 0.007058 | 0 | 0.007058 |
| #158/1 | 0.00595 | 0 | 0.00595 | 0.006037 | 0 | 0.006037 |
| #158/2 | 0.02165 | 0 | 0.02165 | 0.016765 | 0 | 0.016765 |

ตารางผนวกที่ ข3 (ต่อ)

| เลขที่ | ระยะ 0.5 กิโลเมตร | | | ระยะ 1.0 กิโลเมตร | | |
|--------|-------------------|-----|----------|-------------------|-----|----------|
| | SFO | BFO | Total | SFO | BFO | Total |
| #158/3 | 0.033844 | 0 | 0.033844 | 0.025779 | 0 | 0.025779 |
| #159/1 | 0.022986 | 0 | 0.022986 | 0.031222 | 0 | 0.031222 |
| #159/2 | 0.046829 | 0 | 0.046829 | 0.061425 | 0 | 0.061425 |
| #159/3 | 0.04047 | 0 | 0.04047 | 0.063129 | 0 | 0.063129 |
| #160/1 | 0 | 0 | 0 | 0 | 0 | 0 |
| #160/2 | 0.049431 | 0 | 0.049431 | 0.059779 | 0 | 0.059779 |
| #160/3 | 0.08537 | 0 | 0.08537 | 0.087817 | 0 | 0.087817 |
| #161/1 | 0.075989 | 0 | 0.075989 | 0.073152 | 0 | 0.073152 |
| #161/2 | 0.121427 | 0 | 0.121427 | 0.13946 | 0 | 0.13946 |
| #161/3 | 0.163994 | 0 | 0.163994 | 0.104911 | 0 | 0.104911 |
| #162/1 | 0.163666 | 0 | 0.163666 | 0.112219 | 0 | 0.112219 |
| #162/2 | 0.122184 | 0 | 0.122184 | 0.093346 | 0 | 0.093346 |
| #162/3 | 0.09074 | 0 | 0.09074 | 0.082831 | 0 | 0.082831 |
| #163/1 | 0.140754 | 0 | 0.140754 | 0.138309 | 0 | 0.138309 |
| #163/2 | 0.171116 | 0 | 0.171116 | 0.13685 | 0 | 0.13685 |
| #164/1 | 0.147123 | 0 | 0.147123 | 0.118818 | 0 | 0.118818 |
| #164/2 | 0.15623 | 0 | 0.15623 | 0.122786 | 0 | 0.122786 |
| #164/3 | 0.10397 | 0 | 0.10397 | 0.110444 | 0 | 0.110444 |
| #165/1 | 0.077115 | 0 | 0.077115 | 0.084449 | 0 | 0.084449 |
| #165/2 | 0 | 0 | 0 | 0 | 0 | 0 |
| #165/3 | 0.018189 | 0 | 0.018189 | 0.026108 | 0 | 0.026108 |
| #166/1 | 0.025946 | 0 | 0.025946 | 0.029919 | 0 | 0.029919 |
| #166/2 | 0.004358 | 0 | 0.004358 | 0.004471 | 0 | 0.004471 |
| #167/1 | 0.011471 | 0 | 0.011471 | 0.013741 | 0 | 0.013741 |
| #167/2 | 0 | 0 | 0 | 0 | 0 | 0 |
| #167/3 | 0.017127 | 0 | 0.017127 | 0.015349 | 0 | 0.015349 |
| #168/1 | 0.017766 | 0 | 0.017766 | 0.018477 | 0 | 0.018477 |
| #168/2 | 0.025126 | 0 | 0.025126 | 0.022549 | 0 | 0.022549 |
| #169/1 | 0.007264 | 0 | 0.007264 | 0.007038 | 0 | 0.007038 |

ตารางผนวกที่ ข3 (ต่อ)

| เลขที่ | ระยะ 0.5 กิโลเมตร | | | ระยะ 1.0 กิโลเมตร | | |
|--------|-------------------|-----|----------|-------------------|-----|----------|
| | SFO | BFO | Total | SFO | BFO | Total |
| #169/2 | 0.026601 | 0 | 0.026601 | 0.022478 | 0 | 0.022478 |
| #170/1 | 0.030807 | 0 | 0.030807 | 0.027812 | 0 | 0.027812 |
| #170/2 | 0.019597 | 0 | 0.019597 | 0.020203 | 0 | 0.020203 |
| #171/1 | 0.036226 | 0 | 0.036226 | 0.032051 | 0 | 0.032051 |
| #171/2 | 0 | 0 | 0 | 0 | 0 | 0 |
| #171/3 | 0.062399 | 0 | 0.062399 | 0.049092 | 0 | 0.049092 |
| #172/1 | 0.051636 | 0 | 0.051636 | 0.07485 | 0 | 0.07485 |
| #172/2 | 0.099019 | 0 | 0.099019 | 0.091333 | 0 | 0.091333 |
| #173/1 | 0.047415 | 0 | 0.047415 | 0.058874 | 0 | 0.058874 |
| #173/2 | 0 | 0 | 0 | 0 | 0 | 0 |
| #173/3 | 0.060874 | 0 | 0.060874 | 0.058868 | 0 | 0.058868 |
| #174/1 | 0.041644 | 0 | 0.041644 | 0.045432 | 0 | 0.045432 |
| #174/2 | 0.052712 | 0 | 0.052712 | 0.04896 | 0 | 0.04896 |
| #174/3 | 0.075173 | 0 | 0.075173 | 0.09013 | 0 | 0.09013 |
| #175/1 | 0.068482 | 0 | 0.068482 | 0.060571 | 0 | 0.060571 |
| #175/2 | 0.108931 | 0 | 0.108931 | 0.078261 | 0 | 0.078261 |
| #175/3 | 0.03241 | 0 | 0.03241 | 0.026188 | 0 | 0.026188 |
| #176/1 | 0.00596 | 0 | 0.00596 | 0.004228 | 0 | 0.004228 |
| #176/2 | 0.002247 | 0 | 0.002247 | 0.005219 | 0 | 0.005219 |
| #176/3 | 0.002972 | 0 | 0.002972 | 0.006382 | 0 | 0.006382 |
| #177/1 | 0 | 0 | 0 | 0 | 0 | 0 |
| #177/2 | 0 | 0 | 0 | 0 | 0 | 0 |
| #177/3 | 0.006287 | 0 | 0.006287 | 0.005117 | 0 | 0.005117 |
| #178/1 | 0.003572 | 0 | 0.003572 | 0.006353 | 0 | 0.006353 |
| #178/2 | 0.061192 | 0 | 0.061192 | 0.066088 | 0 | 0.066088 |
| #178/3 | 0.121712 | 0 | 0.121712 | 0.110292 | 0 | 0.110292 |
| #179/1 | 0.135919 | 0 | 0.135919 | 0.132135 | 0 | 0.132135 |
| #179/2 | 0.135964 | 0 | 0.135964 | 0.141627 | 0 | 0.141627 |
| #179/3 | 0.093026 | 0 | 0.093026 | 0.083469 | 0 | 0.083469 |

ตารางผนวกที่ ข3 (ต่อ)

| สถานที่ | ระยะ 0.5 กิโลเมตร | | | ระยะ 1.0 กิโลเมตร | | |
|---------|-------------------|-----|----------|-------------------|-----|----------|
| | SFO | BFO | Total | SFO | BFO | Total |
| #180/1 | 0.050995 | 0 | 0.050995 | 0.036533 | 0 | 0.036533 |
| #180/2 | 0 | 0 | 0 | 0 | 0 | 0 |
| #181/1 | 0.013176 | 0 | 0.013176 | 0.018111 | 0 | 0.018111 |
| #181/2 | 0 | 0 | 0 | 0 | 0 | 0 |
| #181/3 | 0.049916 | 0 | 0.049916 | 0.067613 | 0 | 0.067613 |
| #182/1 | 0.079006 | 0 | 0.079006 | 0.094731 | 0 | 0.094731 |
| #182/2 | 0.047973 | 0 | 0.047973 | 0.038961 | 0 | 0.038961 |
| #182/3 | 0.025154 | 0 | 0.025154 | 0.025168 | 0 | 0.025168 |
| #183/1 | 0.030744 | 0 | 0.030744 | 0.024749 | 0 | 0.024749 |
| #183/2 | 0 | 0 | 0 | 0 | 0 | 0 |
| #183/3 | 0.015066 | 0 | 0.015066 | 0.014924 | 0 | 0.014924 |
| #183/4 | 0.0073 | 0 | 0.0073 | 0.02124 | 0 | 0.02124 |
| #184/1 | 0 | 0 | 0 | 0 | 0 | 0 |
| #184/2 | 0 | 0 | 0 | 0 | 0 | 0 |

ภาคผนวกที่ค

รายละเอียดข้อมูลความต้านทานที่ฐานเส้าจากการสำรวจ

**ตารางผนวกที่ ค1 ข้อมูลสำรวจและปรับปรุงความต้านทานที่ฐานเสา
(สายสั้ง 115kV แกลง-จันทบุรี)**

| ลำดับที่ | เสาสั้ง ต้นที่ | จำนวนจุดฝัง Ground rod | ความลึก (เมตร) | ค่ากราวด์เสาสั่ง (โอห์ม) | ก่อนแก้ไข | หลังแก้ไข | สภาพดิน | หมายเหตุ |
|----------|-------------------|---------------------------|-------------------|--------------------------|-----------|-----------|--|--|
| 1 | T.97/2 | 2 | 18, 24 | 21 | 6 | 6 | ดินร่วนปนทราย | - |
| 2 | T.96/2 | 1 | 18 | 16 | 4 | 4 | ดินเหนียวปนทราย | - |
| 3 | T.96/1 | 3 | 15, 24, 24 | 26 | 7 | 7 | ดินเหนียวปนทราย | - |
| 4 | T.95/3 | 1 | 21 | 15 | 5 | 5 | ดินเหนียวปนทราย | - |
| 5 | T.95/2 | 2 | 24, 21 | 14 | 7 | 7 | ลูกรัง, ดินเหนียว ลูกรัง, ดินเหนียว | หน้าดินชั้นลูกรัง อัดแน่น (เนินเขา) |
| 6 | T.94/1 | 1 | 8.5 | 13 | 9 | 9 | ลูกรัง, ดินเหนียว ลูกรัง, ดินเหนียว | มีชั้นหินกันหลุม (เนินเขา) |
| 7 | T.93/2 | 1 | 21 | 13 | 8 | 8 | ดินเหนียวปนทราย | |
| 8 | T.92/3 | 3 | 11, 11, 11 | 12 | 8 | 8 | ดินเหนียวปนทราย | มีชั้นหินกันหลุม |
| 9 | T.91/3 | 1 | 12.7 | 11 | 5 | 5 | ดินเหนียวปนทราย | มีชั้นหินกันหลุม |
| 10 | T.89/3 | 1 | 21 | 11 | 2 | 2 | ดินเหนียว | |
| 11 | T.87/3 | 1 | 21 | 12 | 5 | 5 | ดินเหนียวปนทราย | มีชั้นหินดินดาน กันหลุม |
| 12 | T.86/1 | 1 | 14.5 | 12 | 4 | 4 | ดินเหนียวปนทราย | มีชั้นหินกันหลุม |
| 13 | T.85/3 | 1 | 17 | 13 | 5 | 5 | ดินเหนียวปนทราย | มีชั้นหินกันหลุม |
| 14 | T.85/2 | 1 | 19.5 | 15 | 4 | 4 | ดินเหนียวปนทราย | มีชั้นหินดินดานกันหลุม |
| 15 | T.83/2 | 1 | 14 | 17 | 5 | 5 | ดินเหนียวปนทราย | มีชั้นหินดินดานกันหลุม |
| 16 | T.82/3 | - | - | - | - | - | | สวนสละรอบเสาสั่ง เข้าพื้นที่ไม่ได้ |
| 17 | T.82/2 | 1 | 11 | 12 | 6 | 6 | - | มีชั้นดินดานกันหลุม |
| 18 | T.82/1 | 1 | 12 | 14 | 5 | 5 | ดินเหนียวปนทราย | มีชั้นดินดานกันหลุม |
| 19 | T.81/3 | - | - | - | - | - | | สวนแก้วมังกร, ร่องน้ำ เข้าพื้นที่ไม่ได้ |
| 20 | T.80/1 | 1 | 17 | 13 | 6 | 6 | ลูกรัง, ดินเหนียว | มีชั้นดินดานกันหลุม |
| 21 | T.78/1 | 1 | 21 | 14 | 5 | 5 | ดินเหนียว | - |
| 22 | T77/2 | - | - | - | - | - | | สวนพริกไทย ไม่สามารถเข้าพื้นที่ได้ |

ตารางผนวกที่ ค1 (ต่อ)

| ลำดับที่ | เสาส่าง ต้นที่ | จำนวนจุดผั่ง Ground rod | ความลึก (เมตร) | ค่ากราวด์เสาส่าง (โอห์ม) | | | สภาพดิน | หมายเหตุ |
|----------|-------------------|----------------------------|----------------------|----------------------------|-----------|--|------------------|---|
| | | | | ก่อนแก้ไข | หลังแก้ไข | | | |
| 23 | T.76/1 | 1 | 21 | 13 | 4 | | ดินเหนียวปานราย | - |
| 24 | T.73/3 | 2 | 14.20 | 17 | 8 | | ลูกรัง,ดินเหนียว | มีชั้นหินกันหลุม |
| 25 | T.72/2 | 3 | 21, 21, 21 | 18 | 8 | | ลูกรัง | ชั้นหินหนาแน่นกันหลุม |
| 26 | T.71/2 | 1 | 4 | 10 | 9 | | หิน | ชั้นหินหนาแน่นกันหลุม |
| 27 | T.69/3 | 1 | 21 | 12 | 3 | | ดินเหนียว | ชั้นดินดานกันหลุม |
| 28 | T.65/1 | 1 | 20.5 | 9 | 3 | | ดินเหนียวปานราย | ชั้นดินดานกันหลุม |
| 29 | T.63/2 | 2 | 24, 24 | 23 | 5 | | ดินเหนียว | หน้าดินชั้nlูกรังอัด แน่น (เนินเขา) |
| 30 | T.62/1 | 1 | 21 | 9 | 3 | | ดินเหนียวปานราย | ชั้นดินดานกันหลุม |
| 31 | T.61/3 | 1 | 14 | 16 | 7 | | ดินเหนียวปานราย | ชั้นดินดานกันหลุม |
| 32 | T.58/1 | - | - | - | - | | | ไร่มันสำปะหลัง, มีร่องน้ำไม่สามารถ เข้าพื้นที่ได้ |
| 33 | T.55/3 | 1 | 20.5 | 13 | 5 | | ดินเหนียวปานราย | ชั้นดินดานกันหลุม |
| 34 | T.55/2 | 2 | 11.5, 11.00 | 16 | 5 | | ดินเหนียวปานราย | มีชั้นหินกันหลุม |
| 35 | T.54/2 | - | - | - | - | | | นำท่ำวน้ำไม่สามารถ เข้าพื้นที่ได้ |
| 36 | T.53/2 | 1 | 17.5 | 16 | 7 | | ดินเหนียวปานราย | มีชั้นหินกันหลุม |
| 37 | T.53/1 | 3 | 12.0, 14.0, 11.50 | 23 | 10 | | ดินเหนียวปานราย | มีชั้นหินกันหลุม |
| 38 | T.52/1 | 3 | 12.0, 12.0, 12.0 | 17 | 8 | | ดินเหนียวปานราย | มีชั้นหินกันหลุม |
| 39 | T.50/2 | 1 | 19 | 13 | 5 | | ลูกรัง,ดินเหนียว | ชั้นดินดานกันหลุม |
| 40 | T.49/4 | 1 | 19.5 | 16 | 3 | | ลูกรัง,ดินเหนียว | ชั้นดินดานกันหลุม |
| 41 | T.48/2 | 1 | 21 | 12 | 2 | | ดินเหนียวปานราย | - |

ประวัติการศึกษา และการทำงาน

| | |
|------------------------------|---------------------------------------|
| ชื่อ – นามสกุล | แฉควิริยา ชวลดิตชิติกร |
| วัน เดือน ปี ที่เกิด | 24 มกราคม พ.ศ.2522 |
| สถานที่เกิด | กรุงเทพฯ |
| ประวัติการศึกษา | ปริญญาตรีวิศวกรรมศาสตร์สาขาไฟฟ้ากำลัง |
| ตัวแทนนักเรียนปัจจุบัน | มหาวิทยาลัยธรรมศาสตร์ |
| สถานที่ทำงานปัจจุบัน | วิศวกรรมระดับ 5 |
| ผลงานเด่นและรางวัลทางวิชาการ | การไฟฟ้าฝ่ายผลิตแห่งประเทศไทย |
| ทุนการศึกษาที่ได้รับ | - |
| | - |